



دانشکده مکانیک

گروه طراحی کاربردی

رساله دکتری

**محاسبه پارامترهای شکست در صفحات مستطیلی ساخته شده از مواد**

**مرکب تابعی تحت بار مکانیکی و حرارتی**

محمد باقر نظری

اساتید راهنما

دکتر محمود شریعتی

دکتر محمد رضا اسلامی

استاد مشاور

دکتر بهروز حسنی

رساله دکتری جهت اخذ درجه دکتری

۱۳۸۹ اسفند

## تشکر و قدردانی

در ابتدا لازم می‌دانم از استادید محترم جناب آقای دکتر شریعتی و جناب آقای دکتر اسلامی که در طول مدت تحصیل از راهنماییهای ایشان بهره‌مند شدم، صمیمانه تشکر نمایم. همچنین، از جناب آقای دکتر حسنی نیز باخاطر زحمات و راهنماییهای بیدریغشان کمال تشکر را دارم.

از بحثهای جالب و مفید زمانهای استراحت با دانشجویان دوره دکتری آقایان دکتر رشیدی، دکتر نوروزی، دکتر عباس‌نژاد و آقای مهدیزاده بسیار آموختم؛ از تمامی آنان سپاسگزارم. کمکهای دوست عزیزم آقای جواد شاه‌حسینی و خانواده محترمش اقامت در تهران را برای من بسیار آسان نمود؛ از آنان نیز کمال تشکر و سپاس را دارم.

از روشنی‌بخش راه زندگی‌ام، پدر و مادر عزیزم، که همواره مشوق من هستند و در ایام تحصیلم متتحمل رنج فراوان شدند؛ خالصانه تشکر می‌کنم و خاضعانه دستشان را می‌بوسم. تلاشها و مشقتهای همسرم در به سرانجام رسیدن این رساله نقش حیاتی دارد؛ از وی و فاطمه کوچولو – که این رساله بخشی از خاطرات کودکی‌اش است – صمیمانه سپاسگزارم. در پایان از برادران، خواهرم و خانواده‌اش و همچنین خانواده همسرم تشکر می‌نمایم.

دانشجو تأیید می نماید که مطالب مندرج در این رساله نتیجه تحقیقات خودش می باشد و در صورت استفاده از نتایج دیگران مرجع آن را ذکر نموده است.

کلیه حقوق مادی مترتب از نتایج مطالعات، آزمایشات و نوآوری ناشی از تحقیق موضوع این رساله متعلق به دانشگاه صنعتی شهرورد می باشد.

## چکیده

از آنجایی که بسیاری از سازه‌ها و ماشین‌ها تحت گرadiان دما و یا دمای بالا قرار می‌گیرند؛ تحلیل تنش‌های حرارتی یکی از مهمترین موضوع‌های مهندسی است. طبق تحقیقات، شکست تحت بارهای حرارتی یکی از مرسوم‌ترین و پیچیده‌ترین حالت‌های گسیختگی در سازه‌ها می‌باشد. موضوع اصلی مورد بحث، بررسی رفتار ترک در مواد مرکب تابعی بصورت محاسبه پارامترهای شکست (ضرایب شدت تنش و تنش T) با استفاده از روش بدون‌المان گلرکین می‌باشد. برای محاسبه پارامترهای شکست حرارتی، علاوه بر اینکه روش انگرال برهم کنش توسعه یافته است؛ روش‌های انگرال I و همبستگی تغییر‌مکان‌ها نیز بکار رفته‌اند. مدل‌سازی ترک شامل فرآیند غنی‌سازی حوزه نوک ترک برای رصد مناسب تکنیکی میدان‌های ترموماستیک و اعمال ناپیوستگی متغیر میدان در سطح ترک با استفاده از مجموعه بردارهای مرتبه‌ای انجام شده است. در مسائل ترموماستیک که بصورت خطی در نظر گرفته شده؛ معادله هدایت گرمایی گذرا بصورت نیمه‌تحلیلی حل شده است. ابتدا این معادله با اعمال روش بدون‌المان گلرکین بصورت یک دستگاه معادلات دیفرانسیل مرتبه اول خطی در فضا در آمده است. سپس با استفاده از روش تحلیلی تجزیه مودی، حل دستگاه مذکور نسبت به زمان بدست آمده است. در مثالهای عددی، صفحات مستطیلی در نظر گرفته شده است که در آنها تغییر خصوصیات فیزیکی هم با استفاده از توابع پیوسته مثل تابع نمایی مدل شده است و هم با استفاده از مدل‌های میکرومکانیک مواد مرکب بیان شده که در مراجع مختلف برای مواد مرکب تابعی توسعه یافته‌اند. همچنین اثر تغییر خصوصیات فیزیکی، روی ضربی شدت تنش مود ا حرارتی برای توابع پیوسته مورد بحث قرار گرفته است.

**واژه‌های کلیدی:** مواد مرکب تابعی، روش بدون‌المان گلرکین، ضربی شدت تنش، تنش T، انگرال پایستار، تنش حرارتی.

صفحه

## فهرست مطالب

	فصل اول: مواد مرکب تابعی
۲	۱-۱- مقدمه
۴	۱-۲- روش‌های بدون المان
۸	۱-۳- مرور انجام شده مطالعات در شکست حرارتی FGM
۱۵	۱-۴- نتیجه‌گیری
۱۵	۱-۵- موضوع پایان‌نامه
۱۶	۱-۶- ساختار پایان‌نامه
	فصل دوم: روش بدون المان گلرکین
۱۸	۲-۱- مقدمه
۱۹	۲-۲- فرمولیندی و گسسته‌سازی معادلات در روش EFG
۲۷	۲-۳- ملاحظات عددی
۳۰	۲-۴- فرمولیندی مسائل الاستیسیته در روش بدون المان گلرکین مقید
۳۴	۲-۵- توابع شکل حداقل مربعات متحرک (MLS)
۴۰	۲-۶- انتقال حرارت در پیوستار جامد
۴۲	۲-۷- حل عددی معادله هدایت گرمایی
۴۶	۲-۸- هدایت گرمایی گذرا
۴۸	۲-۹- مثالهای عددی
	فصل سوم: مکانیک شکست مواد مرکب تابعی
۵۸	۳-۱- مقدمه
۵۸	۳-۲- روش‌های عددی در مکانیک شکست
۶۴	۳-۳- مدل‌سازی ترک با روش بدون المان گلرکین
۶۷	۳-۴- روش مجموعه بردارهای مرتبه‌ای
۷۴	۳-۵- روش‌های عددی محاسبه ضریب شدت تنش
۸۳	۳-۶- مکانیک شکست FGM
۸۷	۳-۷- مثالهای عددی
	فصل چهارم: شکست حرارتی مواد مرکب تابعی
۱۰۳	۴-۱- مقدمه
۱۰۳	۴-۲- بررسی ترک در میدان ترمولاستیک
۱۰۷	۴-۳- انتگرال ناحیه‌ای برای شکست حرارتی

۱۱۱	۴- مثال‌های عددی
فصل پنجم: انتگرال برهم‌کنش برای تحلیل شکست حرارتی مواد مرکب هدفمند	
۱۴۳	۱- مقدمه
۱۴۸	۲- میدان‌های کمکی
۱۵۰	۳- فرمولبندی انتگرال برهم‌کنش
۱۶۳	۴- استخراج ضرایب شدت تنش
۱۶۳	۵- استخراج تنش $T$
۱۶۶	۶- مدل‌های میکرومکانیک توسعه یافته برای FGM
۱۶۹	۷- مثال‌های عددی
فصل ششم: نتیجه‌گیری و پیشنهاد	
۱۸۷	۱- مقدمه
۱۸۸	۲- نتایج
۱۸۹	۳- پیشنهادها
ضمائمه	
۱۹۲	ضمیمه الف: چند مدل میکرومکانیک FGM
۲۱۲	ضمیمه ب: توابع زاویه‌ای حوزه نوک ترک
۲۱۴	مراجع

## فهرست شکل‌ها

### فصل اول: مواد مرکب تابعی

- ۳ شکل ۱-۱- نمای کلی از یک FGM با تغییر پیوسته ساختار میکروسکوپی
- ۴ شکل ۱-۲- ترک‌های ایجاد شده در سطح سرامیکی FGMs تحت شوک حرارتی
- ۶ شکل ۱-۳- مدل گسسته هندسه در روش المان محدود و روش‌های بدون المان
- ۷ شکل ۱-۴- فرآیند حل مساله با روش‌های بدون المان و روش المان محدود

### فصل دوم: روش بدون المان گلرکین

- ۲۱ شکل ۲-۱- نمایش ناحیه حل با گره‌ها و شبکه‌بندی زمینه در روش‌های بدون مش
- ۳۶ شکل ۲-۲- پارامترهای گرهی  $u_i^h$  و تابع تقریبی  $(x)^h$  حاصل از فرایند MLS
- ۳۹ شکل ۲-۳- نمایش ناحیه تکیه‌گاهی یک نقطه
- ۴۹ شکل ۲-۴- یک صفحه FGM تحت بار مکانیکی
- ۵۰ شکل ۲-۵- میدان تغییرمکان در مواد ایزوتropیک تحت بارگذاری کرنش ثابت
- ۵۰ شکل ۲-۶- اثر ارتوتروپی روی مولفه‌های تغییرمکان در بارگذاری کرنش معین
- ۵۱ شکل ۲-۷- اثر تغییر ضریب غیرهمگنی مدول الاستیسیته روی توزیع تنش
- ۵۲ شکل ۲-۸- میدان تنش حاصل تحت بارگذاری کششی
- ۵۳ شکل ۲-۹- میدان تنش تحت بارگذاری خمسی
- ۵۴ شکل ۲-۱۰- توزیع تنش حرارتی برای تغییر دمای یکنواخت
- ۵۶ شکل ۲-۱۱- توزیع تنش حرارتی برای دمای ثابت لبه چپ و تغییر دمای لبه راست
- ۵۶ شکل ۲-۱۲- توزیع تنش حرارتی برای دمای ثابت لبه چپ و تغییر دمای لبه راست
- ۵۷ شکل ۲-۱۳- اثر مقادیر مختلف ضریب غیرهمگنی ضریب هدایت گرمایی روی میدان دما

### فصل سوم: مکانیک شکست مواد مرکب تابعی

- ۶۳ شکل ۳-۱- نمای کلی کوپل تقریب‌های غنی‌شده و خطی
- ۶۴ شکل ۳-۲- محدود شدن ناحیه تکیه‌گاهی با کاربرد معیار دید
- ۶۵ شکل ۳-۳- کاربرد روش پراش برای تصحیح ناحیه تکیه‌گاهی
- ۶۷ شکل ۳-۴- کاربرد روش شفافیت برای تصحیح ناحیه تکیه‌گاهی

۶۹	شکل ۳-۵- بیان یک فصل مشترک با استفاده از LSM
۷۰	شکل ۳-۶- نمایش توابع $\varphi$ و $\psi$ بصورت مؤلفه‌های بردار موقعیت نقطه $x$
۷۲	شکل ۳-۷- توابع مجموعه مرتبه‌ای برای اعمال معیارهای مرسوم در مدلسازی ترک
۷۳	شکل ۳-۸- مجموعه گره‌های $N^c$
۷۳	شکل ۳-۹- مجموعه گره‌های $N^{tip}$
۷۴	شکل ۳-۱۰- کاربرد روش همبستگی تغییرمکان برای یک نقطه همبستگی
۷۷	شکل ۳-۱۱- بروندیابی ضریب شدت تنش در روش همبستگی تغییرمکانها
۷۹	شکل ۳-۱۲- منظور کردن اثر رشد مجازی ترک در میدان تغییرمکان
۸۰	شکل ۳-۱۳- مختصات محلی نوک ترک و کانتور برای محاسبه انتگرال $J$
۸۲	شکل ۳-۱۴- نواحی انتگرالگیری برای محاسبه فرم سطحی انتگرال $J$
۸۴	شکل ۳-۱۵- نمای کلی صفحه غیرهمگن تحت بارگذاری دوردست صفحه‌ای
۸۸	شکل ۳-۱۶- هندسه و بارگذاری FGP حاوی ترک لبه‌ای
۸۹	شکل ۳-۱۷- نمای کلی از هندسه، گره‌بندی کامل و گره‌بندی نوک ترک برای FGP
۸۹	شکل ۳-۱۸- شرایط مرزی و ناحیه انتگرال $J$ برای نصف مدل
۹۰	شکل ۳-۱۹- مقایسه بازشدنگی سطح ترک برای توابع پایه خطی و غنی‌شده
۹۰	شکل ۳-۲۰- بازشدنگی سطح ترک بر حسب $E(W)/E(0)$
۹۸	شکل ۳-۲۱- صفحه همگن تحت برش
۹۹	شکل ۳-۲۲- هندسه و تغییرشکل یافته صفحه محدود FGM حاوی یک ترک مایل
۱۰۰	شکل ۳-۲۳- ناحیه انتگرالگیری بدون سلولهای نوک ترک
۱۰۰	شکل ۳-۲۴- ناحیه انتگرالگیری شامل سلولهای نوک ترک
<b>فصل چهارم: شکست حرارتی مواد مرکب تابعی</b>	
۱۰۵	شکل ۴-۱- موقعیت ترک نسبت به خط ناپیوستگی ضعیف.
۱۰۸	شکل ۴-۲- صفحه FGM حاوی ترک نمایش کانتور C حول نوک ترک
۱۱۰	شکل ۴-۳- نمایش کانتور D و سطح A
۱۱۲	شکل ۴-۴- هندسه صفحه تحت بارگذاری، گره‌بندی کل ناحیه و نوک ترک

- شکل ۴-۵- ضرایب شدت تنش بر حسب طول ترک و دمای سرمایش ۱۱۵
- شکل ۴-۶- ضرایب شدت تنش بر حسب طول ترک و دمای سرمایش ۱۱۵
- شکل ۴-۷- ضرایب شدت تنش بر حسب طول ترک و دمای سرمایش ۱۱۶
- شکل ۴-۸- ضرایب شدت تنش بر حسب طول ترک و دمای سرمایش ۱۱۶
- شکل ۴-۹- ضرایب شدت تنش بر حسب طول ترک و دمای سرمایش ۱۱۷
- شکل ۴-۱۰- ضرایب شدت تنش بر حسب طول ترک و دمای سرمایش ۱۱۷
- شکل ۴-۱۱- توزیع دمای پایا بر حسب ضریب غیرهمگنی ضریب هدایت گرمایی ۱۱۸
- شکل ۴-۱۲- ضرایب شدت تنش بر حسب طول ترک و دمای لبه بدون ترک ۱۱۹
- شکل ۴-۱۳- ضرایب شدت تنش بر حسب طول ترک و دمای لبه بدون ترک ۱۱۹
- شکل ۴-۱۴- توزیع دمای گذرا در FGP بر حسب زمان نرمالیزه شده ۱۲۰
- شکل ۴-۱۵- ضرایب شدت تنش در صفحه ZrO<sub>2</sub>/Ti-6Al-4V - حالت کرنش صفحه‌ای ۱۲۰
- شکل ۴-۱۶- ضرایب شدت تنش در صفحه ZrO<sub>2</sub>/Ti-6Al-4V - حالت تنش صفحه‌ای ۱۲۱
- شکل ۴-۱۷- ضرایب شدت تنش گذرا بر حسب ضریب غیرهمگنی  $P_E$  ۱۲۲
- شکل ۴-۱۸- ضرایب شدت تنش گذرا بر حسب ضریب غیرهمگنی  $P_v$  ۱۲۲
- شکل ۴-۱۹- ضرایب شدت تنش گذرا بر حسب ضریب غیرهمگنی  $P_a$  ۱۲۳
- شکل ۴-۲۰- ضرایب شدت تنش گذرا بر حسب ضریب غیرهمگنی  $P_k$  ۱۲۴
- شکل ۴-۲۱- ضرایب شدت تنش گذرا بر حسب ضریب غیرهمگنی  $P_{pc}$  ۱۲۵
- شکل ۴-۲۲- ضرایب شدت تنش گذرا بر حسب دمای لبه بدون ترک ۱۲۵
- شکل ۴-۲۳- تغییرات کسر حجمی سرامیک در FGP بر حسب توان  $p$  ۱۲۶
- شکل ۴-۲۴- توزیع دمای گذرا در FGP بر حسب زمان نرمالیزه شده ۱۲۷
- شکل ۴-۲۵- تغییرات زمانی SIF برای حالت کرنش صفحه‌ای  $p=5$  ۱۲۸
- شکل ۴-۲۶- تغییرات زمانی SIF برای حالت تنش صفحه‌ای  $p=5$  ۱۲۸
- شکل ۴-۲۷- تغییرات زمانی SIF برای حالت کرنش صفحه‌ای  $p=1$  ۱۲۸
- شکل ۴-۲۸- تغییرات زمانی SIF برای حالت تنش صفحه‌ای  $p=1$  ۱۲۹
- شکل ۴-۲۹- تغییرات زمانی SIF برای حالت کرنش صفحه‌ای  $p=0.2$  ۱۳۰

- ۱۳۰- شکل ۴-۳۰- تغییرات زمانی SIF برای حالت تنش صفحه‌ای  $p=0.2$
- ۱۳۱- شکل ۴-۳۱- اثر تغییر توان پروفیل مدول الاستیسیته ( $p_E$ ) روی ضریب شدت تنش
- ۱۳۱- شکل ۴-۳۲- اثر تغییرات توان پروفیل ضریب پواسون  $p_v$  روی ضریب شدت تنش
- ۱۳۲- شکل ۴-۳۳- تغییرات SIF گذرا بر حسب مقادیر مختلف توان ضریب انبساط حرارتی
- ۱۳۲- شکل ۴-۳۴- اثر تغییرات ضریب هدایت گرمایی روی مقدار SIF
- ۱۳۳- شکل ۴-۳۵- تغییرات SIF نسبت به زمان و پارامتر غیرهمگنی  $\rho_c$
- ۱۳۳- شکل ۴-۳۶- توزیع دمای گذرا در صفحه  $ZrO_2/Ti-6Al-4V$  برای  $p=1$
- ۱۳۴- شکل ۴-۳۷- تغییرات زمانی SIF در صفحه  $ZrO_2/Ti-6Al-4V$  برای کرنش صفحه‌ای
- ۱۳۴- شکل ۴-۳۸- تغییرات زمانی SIF در صفحه  $ZrO_2/Ti-6Al-4V$  برای تنش صفحه‌ای
- ۱۳۵- شکل ۴-۳۹- تغییرات زمانی SIF برای اعمال شرایط مختلف دمایی به لبه بدون ترک
- ۱۳۶- شکل ۴-۴۰- مدلسازی لایه مرکب با سه لایه و تغییرات تابع تانژانت هیپربولیک
- ۱۳۷- شکل ۴-۴۱- توزیع دمای گذرا در صفحه مرکب
- ۱۳۸- شکل ۴-۴۲- تغییرات زمانی SIF برای حالت کرنش صفحه‌ای
- ۱۳۸- شکل ۴-۴۳- تغییرات SIF بر حسب زمان برای حالت تنش صفحه‌ای
- ۱۴۰- شکل ۴-۴۴- توزیع دمای گذرا در FGP با مدل خودسازگار
- ۱۴۰- شکل ۴-۴۵- تغییرات زمانی SIF برای طولهای مختلف ترک و حالت کرنش صفحه‌ای
- فصل پنجم: انتگرال برهمنش برای تحلیل شکست حرارتی مواد مرکب هدفمند
- ۱۴۸- شکل ۵-۱- تفاوت تانسورهای ساختاری  $C_{tip}$  و  $C(\mathbf{x})$
- ۱۴۹- شکل ۵-۲- پیوستار دوبعدی FGM شامل ترک و میدانهای کمکی ضریب شدت تنش
- ۱۵۰- شکل ۵-۳- میدانهای کمکی تنش  $T$
- ۱۵۱- شکل ۵-۴- تبدیل فرم کانتوری انتگرال  $J$  به فرم ناحیه‌ای
- ۱۷۵- شکل ۵-۵- هندسه و بارگذاری صفحه ایزوتروپیک حاوی ترک لبه‌ای
- ۱۷۸- شکل ۵-۶- صفحه ایزوتروپیک تغییرشکل یافته تحت کشش یکنواخت.
- ۱۷۹- شکل ۵-۷- هندسه و بارگذاری صفحه همگن تحت برش.
- ۱۸۰- شکل ۵-۸- هندسه و بارگذاری صفحه محدود FGM حاوی یک ترک مایل

- ۱۸۲ شکل ۹-۵- نمای کلی از هندسه و گرهبندی FGP
- ۱۸۲ شکل ۱۰-۵- توزیع دمای گذرا در صفحه FGM بر حسب زمان نرمالیزه شده
- ۱۸۴ شکل ۱۱-۵- تغییرات زمانی TSIF I برای فرمولبندیهای مختلف انتگرال برهم کنش
- ۱۸۴ شکل ۱۲-۵- تغییرات زمانی I TSIF برای حالت کرنش صفحه‌ای و  $a/W=0.5$
- ۱۸۴ شکل ۱۳-۵- تغییرات زمانی I TSIF برای حالت تنش صفحه‌ای و  $a/W=0.5$
- ۱۸۵ شکل ۱۴-۵- تغییرات زمانی تنش T برای حالت کرنش صفحه‌ای و  $a/W=0.3$
- ۱۸۶ شکل ۱۵-۵- تغییرات زمانی B حالت کرنش صفحه‌ای و  $a/W=0.3$
- ۱۸۸ شکل ۱۶-۵- تغییرات زمانی B برای حالت‌های تنش و کرنش صفحه‌ای،

## فهرست جدولها

### فصل اول

۸	جدول ۱-۱- مقایسه قابلیتهای مختلف روش‌های بدون المان و روش المان محدود
<b>فصل سوم: مکانیک شکست مواد مرکب تابعی</b>	
۹۱	جدول ۳-۱- ضریب شدت تنش مود I برای FGP تحت کرنش ثابت
۹۲	جدول ۳-۲- ضریب شدت تنش مود I برای FGP تحت بار غشایی یکنواخت
۹۳	جدول ۳-۳- ضریب شدت تنش مود I برای FGP تحت بار خمس خالص
۹۵	جدول ۳-۴- انتگرال J برای طولهای مختلف ناحیه انتگرالگیری و بارگذاری کششی
۹۶	جدول ۳-۵- انتگرال J برای طولهای مختلف ناحیه انتگرالگیری و بارگذاری خمشی
۹۷	جدول ۳-۶- مقایسه نتایج صفحه همگن تحت برش با مقادیر گزارش شده
۹۸	جدول ۳-۷- مقایسه نتایج صفحه ایزوتروپیک با مقادیر گزارش شده
۹۹	جدول ۳-۸- نتایج ضرایب شدت تنش برای FGP با تغییر نمایی مدول الاستیسیته
<b>فصل چهارم: شکست حرارتی مواد مرکب تابعی</b>	
۱۱۴	جدول ۴-۱- خصوصیات فیزیکی $Ti-6Al-4V$ و $ZrO_2$
۱۱۵	جدول ۴-۲- ضرایب شدت تنش برای سرمایش یکنواخت
۱۱۸	جدول ۴-۴- مقادیر نرمالیزه شده ضریب شدت تنش برای سرمایش غیریکنواخت پایا
۱۳۷	جدول ۴-۵- مقایسه ضرایب شدت تنش حرارتی پایا در صفحه مرکب
<b>فصل پنجم: انتگرال برهمنش برای تحلیل شکست حرارتی مواد مرکب هدفمند</b>	
۱۴۷	جدول ۵-۱- چگونگی انتخاب میدانهای کمکی برای فرمولبندیهای مختلف
۱۷۲	جدول ۵-۲- مقایسه نتایج صفحه ایزوتروپیک تحت کشش با مقادیر گزارش شده
۱۷۳	جدول ۵-۳- نتایج SIF و تنش T در یک صفحه ایزوتروپیک تحت برش
۱۷۴	جدول ۵-۴- مقایسه نتایج صفحه ایزوتروپیک حاوی یک ترک مایل
۱۷۴	جدول ۵-۵- نتایج ضرایب شدت تنش برای FGP حاوی یک ترک مایل
۱۷۷	جدول ۵-۶- مقایسه نتایج ضرایب شدت تنش و تنش T برای FGP

### علائم اختصاری

<b>a</b>	طول ترک
<b>a</b>	ضرایب مجھول در تقریب MLS
<b>A</b>	ماتریس moment در تقریب MLS
<b>B</b>	ماتریس ضرایب در تقریب MLS
<b>b</b>	نیروی کالبدی
<b>c</b>	گرمای ویژه
<b>˜C</b>	تانسور ساختاری
<b>C, C<sub>ij</sub></b>	ماتریس نرمی هدایت گرمایی
<b>D</b>	تانسور ساختاری دو بعدی
<b>E</b>	مدول یانگ
<b>F</b>	ضریب در رابطه ساختاری ترموماستیسیته. کرنش صفحه‌ای: $F=1+v$ و تنش صفحه‌ای: $F=1$
<b>F</b>	بردار نیرو در معادلات گسسته
<b>h</b>	ضریب همرفت
<b>H</b>	فضای سوبولوف
<b>I</b>	ماتریس همانی
<b>J</b>	انتگرال مستقل از مسیر J
<b>k,k</b>	ضریب هدایت گرمایی
<b>K</b>	ضریب شدت تنش
<b>K</b>	ماتریس سختی در معادلات گسسته
<b>L</b>	فرم مرتبه دو
<b>M</b>	ماتریس مودی
<b>n, n</b>	بردار یکه و عمود رو به خارج روی کانتور یا مرز
<b>p</b>	بردار پایه
<b>P</b>	پارامتر غیرهمگنی خصوصیات ماده
<b>P</b>	ماتریسی که بردارهای پایه گره‌ها سطرهای آن می‌باشند
<b>q</b>	تابع وزنی تعریف شده روی ناحیه انتگرالگیری
<b>Q</b>	منبع حرارت در پیوستار جامد
<b>r</b>	مختصه شعاعی در مختصات قطبی، فاصله تا نوک ترک
<b>s</b>	پارامتر کاهنده مودی
<b>S</b>	ماتریس برای اعمال شرایط مرزی اساسی
<b>t</b>	زمان

$T$	بردار دمای گرهی در معادلات گسسته
$u$	میدان تغییرمکان
$U$	پارامتر گرهی تغییرمکان
$w$	تابع وزنی در تقریب MLS
$W$	عرض صفحه
$W$	تابع چگالی انرژی کرنشی
$\mathbf{W}$	ماتریس تابع وزنی در تقریب MLS
$\mathbf{x}, \mathbf{x}_i$	مختصات دکارتی عمومی، $i=1, 2$
$\alpha$	ضریب انبساط حرارتی
$\beta$	پارامتر خصوصیات ماده: $\beta = \alpha/(1-2v)$
$\gamma$	ضریب پنالتی
$\Gamma$	کانتور انتگرال J
$\delta_{ij}$	تابع دلتای کرونکر
$\epsilon, \epsilon_{ij}$	میدان کرنش
$\eta$	تابع آزمون
$\theta$	میدان کلی دما
$\theta$	مختصه زاویه‌ای در مختصات قطبی
$\kappa$	پارامتر خصوصیات ماده. کرنش صفحه‌ای: $\kappa = 3-4v$ و تنش صفحه‌ای: $(3-v)/(1+v)$
$\lambda$	ضریب لامه
$\Lambda$	طرف راست معادلات غیرکوپل هدایت گرمایی
$\mu$	مدول برشی
$v$	نسبت پواسون
$\rho$	چگالی
$\sigma, \sigma_{ij}$	میدات تنش
$\tau$	زمان نرمال شده
$\phi, \Phi$	تابع شکل MLS
$\Phi$	مقادیر گرهی تابع شکل MLS
$\Psi$	متغیر زمان در معادلات غیرکوپل هدایت گرمایی
$\Omega$	قسمتی از فضا که توسط جسم اشغال شده

بالا نویسها

مقدار معلوم

-

.	مشتق‌گیری نسبت به زمان
aux	میدان کمکی
h	متغیر تقریبی
m	بخش مکانیکی
T	ترانهاده
th	بخش حرارتی
$\gamma$	پارامتر پنالتی زیرنویسها
0	مقدار مرجع
$\infty$	مقدار محیطی
A	مساحت
c	همرفتی
cor	همبستگی
e	الاستیک
ess	شرط مرزی اساسی
i, j, k	شمارنده
I	تابع آزمون در فرم ضعیف
$\theta$	دما

## فصل اول

### مواد مرکب تابعی

## ۱-۱- مقدمه

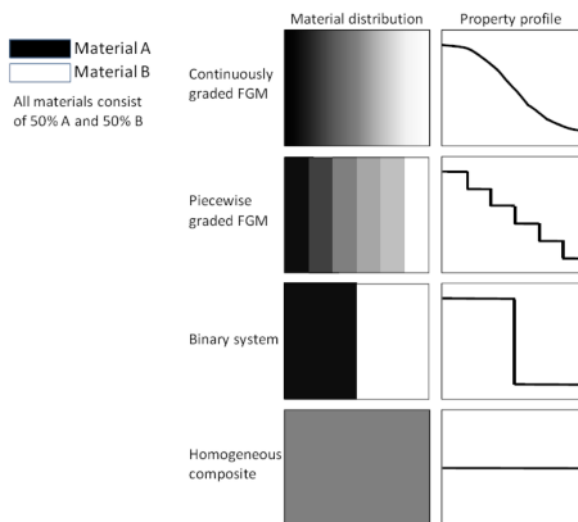
امروزه در بسیاری از موارد، اجزای سازه‌ها و ماشین‌ها علاوه بر نیروهای مکانیکی در معرض بارگذاری حرارتی نیز قرار می‌گیرند. مخازن تحت‌فشار و لوله‌ها در راکتور نیروگاههای هسته‌ای، اجزای داخلی راکتورهای شیمیایی و بدنه هواپیماهای فوق‌سریع در دماهای بالا، تحت گرادیان شدید و تغییر نوسانی دما قرار می‌گیرند. بررسی‌های عددی نشان می‌دهد؛ در یک فضای پیما که با سرعت ۸ ماخ مسافت ۲۶۸۰۰ متر را طی می‌کند، دما در نوک دماغه به  $K = 2066$  و در وسط آن به  $K = 1033$  می‌رسد، [۱] به نقل از [۲]. با توجه به محدودیت خصوصیات مواد همگن در دماهای بالا، انتخاب مواد با خواص مکانیکی و حرارتی قابل قبول از مهمترین چالشهای طراحی در این زمینه می‌باشد. برای مثال، در این شرایط موادی نیاز است که علاوه بر مقاومت سایشی و حرارتی، از چرمگی مکانیکی و قابلیت هدایت گرمایی بالای نیز برخوردار باشند. برای ساخت چرخدنده‌ها و یاتاقانها، ماده همگنی یافت نمی‌شود که در دماهای بالا چرمگی و مقاومت سایشی کافی داشته باشد.

در سالهای اخیر، استفاده از پوشش‌های سرامیکی برای قطعات از جنس سوپرآلیاژها گسترش یافته است؛ تا بتوان از خصوصیات مطلوب حرارتی سرامیکها بهمراه خصوصیات مکانیکی ویژه سوپرآلیاژها بهره برد. اما کاربرد مواد همگن با پوشش ضدحرارتی، دارای مشکلاتی مانند ایجاد تنشهای حرارتی پسماند بالا در قطعه و جدا شدن پوشش از ماده همگن بخاطر استحکام نسبی پایین اتصال می‌باشد [۳]. برای رفع این نقص این استفاده از پوشش همگن، ترکیب پیوسته پوشش و فلز همگن پیشنهاد شده است. بطوريکه در پوشش جدید ترکیب ماده از ۱۰۰ درصد فلز روی سطح اولیه بطور پیوسته تا ۱۰۰ درصد سرامیک روی سطح پوشش تغییر می‌کند. این مواد جدید، مواد مرکب تابعی<sup>۱</sup> نامیده می‌شوند.

---

<sup>۱</sup>- Functionally Graded Materials- FGMS

اولین بار مفهوم FGM توسط نینو<sup>۱</sup> و همکارانش در آزمایشگاه ملی هوافضای سندای<sup>۲</sup> در ژاپن عنوان مواد ضدحرارت<sup>۳</sup> معرفی شد [۲]. هدف نینو تولید پوششی با مقاومت حرارتی بسیار بالا برای بدنه هوایی‌های فوق‌سریع بود که کاهش تنفس حرارتی و افزایش مقاومت در برابر گرما را در پی داشته باشد. اما امروزه FGM کاربردهای وسیعتری یافته است. مهمترین مختصه FGM تغییر پیوسته خصوصیات فیزیکی است که با خاطر تغییر پیوسته ترکیب، ساختار کلی، ریزساختار و یا ساختار کریستالی از یک سطح تا سطح دیگر ماده اتفاق می‌افتد. معمولاً FGM بصورت ترکیب پیوسته دو ماده مختلف در نظر گرفته می‌شود (مطابق شکل ۱-۱)). یک سرامیک صنعتی برای مقاومت در برابر بارگذاری حرارتی و یک فلز سبک برای تامین خصوصیات مکانیکی مثل چقرمگی و صلبیت در ساخت FGM بکار می‌رود. بطور کلی، خواص FGM علاوه بر پروفیل ترکیب، تابع خواص فلز و سرامیک انتخابی نیز می‌باشد. خصوصیات FGM که از مخلوط شدن سرامیک و فلز بدست می‌آیند، با استفاده از قوانین اختلاط<sup>۴</sup> و مدل‌های میکرومکانیک بیان می‌شوند.



شکل ۱-۱- نمای کلی از یک FGM با تغییر پیوسته ساختار میکروسکوپی و تفاوت آن با مواد مرکب چند لایه و مواد همگن [۵]

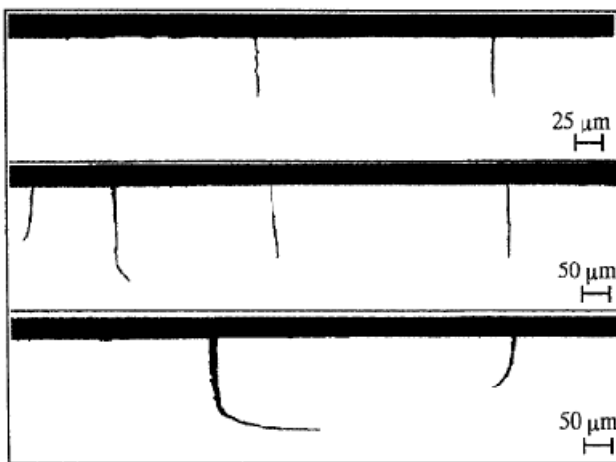
<sup>1</sup>- Niino

<sup>2</sup>- Sendai

<sup>3</sup>- Thermal Barrier Materials

<sup>4</sup>- mixture laws

تحلیل‌ها و آزمایش‌ها نشان می‌دهند؛ وقتی سطح سرامیکی FGM تحت شوک حرارتی قرار گیرد؛ ترکهایی در سطح سرامیکی ایجاد می‌شود. چنانکه معمولترین مود گسیختگی در FGM ایجاد این ترکها می‌باشد. آزمایش‌های کاواساکی<sup>۱</sup> و واتانابه<sup>۲</sup> نشان می‌دهد؛ وقتی سطح سرامیکی FGM تحت شوک حرارتی قرار گیرد، در مرحله سرد شدن، ممکن است ترکهایی در سطح سرامیکی ایجاد شود [۴] و [۵] به نقل از [۲]. این ترکها می‌تواند عمود بر سطح و یا به صورت منحنی باشند (شکل (۲-۱)). ترکهای سطحی لبه‌ای طی فرایندهای گرمایش با اشعه لیزر (گرمایش لیزری<sup>۳</sup>) و گرمایش کورهای<sup>۴</sup> نیز مشاهده شده است [۶-۹] به نقل از [۲]. در مطالعه اجسام دارای ترک، مکانیک شکست یکی از ابزارهای بسیار مهم است. داشتن اطلاعاتی در مورد ترک اهمیت ویژه‌ای در ارزیابی ایمنی و عمر قطعات و سازه‌ها دارد.



شکل ۲-۱- ترکهای ایجاد شده در سطح سرامیکی FGM تحت شوک حرارتی [۴]

## ۱-۲- روش‌های بدون المان<sup>۵</sup>

محدودیت‌های روش‌های تحلیلی و تجربی در حل مسائل عملی منجر به گسترش روز افزون کاربرد روش‌های عددی شده است. در بسیاری از مسائل مکانیک جامدات، شامل گرادیان شدید تغییر

<sup>1</sup>- Kawasaki

<sup>2</sup>- Watanabe

<sup>3</sup>- laser heating

<sup>4</sup>- burner heating

<sup>5</sup> - Meshless/Meshfree Methods

شكل، رشد ترک یا ناپیوستگی و غیره نیاز به روش‌هایی است که علاوه بر سادگی بتواند مسایل را با دقت مناسب مدلسازی کنند.

امروزه روش‌های عددی متداولی مثل روش المان محدود در تحلیل مکانیک شکست سازه‌ها بکار می‌روند. اگرچه روش المان محدود با توجه به قابلیتهای آن بطور گسترده در بررسی مسایل شامل تغییر پیوسته هندسه بکار می‌رود؛ اما دارای محدودیتهای جدی در این رابطه می‌باشد. تحلیل رشد ترک یکی از مواردی است که استفاده از روش المان محدود در آن نیازمند مشبندی مجدد هندسه می‌باشد. در اینگونه موارد استفاده از روش‌های بر پایه مش مشکل، پرهزینه و زمانبر است. علاوه بر این، منطبق نبودن گره‌ها در مشبندیهای مجدد باعث زیاد شدن خطأ و حتی واگرایی حل در رشد ترک می‌شود و مشکلاتی در بیان تاریخچه حل از ابتدا پدید می‌آورد. در سالهای اخیر دسته‌ای از روش‌های بدون المان به شرح زیر گسترش یافته‌اند:

Smooth Particle Hydrodynamics (SPH)	-۱
Diffuse Element Method (DEM)	-۲
Element Free Galerkin Method (EFG)	-۳
h-p clouds	-۴
Reproducing Kernel Particle Method (RKPM)	-۵
Meshless Local Petrov-Galerkin Method (MLPGM)	-۶
Local Boundary Integral Equation Method (LBIEM)	-۷

این روش‌ها توانایی قابل قبولی در حل مسایل شامل مرزهای متغیر مثل رشد ترک دارند. طبق تعریف لیو<sup>۱</sup> [۱۰] یک روش بدونمش، روشی است که بدون ریز کردن ناحیه حل با مشهای از پیش تعریف شده، بتواند دستگاه معادلات جبری را برای کل ناحیه حل بنا کند. هر چند عملاً در بسیاری از روش‌های بدونمش برای انتگرال‌گیری عبارتهای حاصل از اعمال شکل ضعیف<sup>۲</sup> لازم است از مشبندی ساده ناحیه حل استفاده نمود.

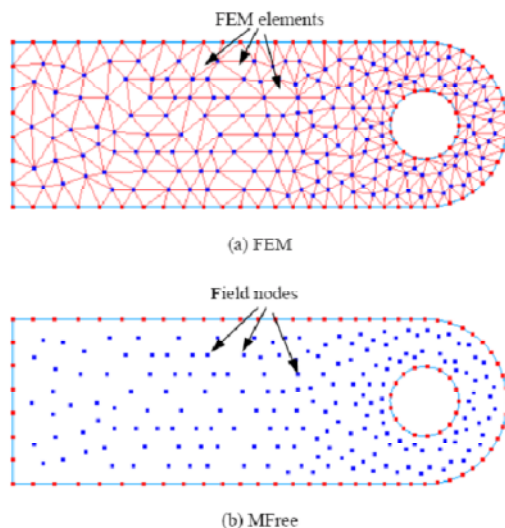
---

<sup>۱</sup> - Liu

<sup>۲</sup> - weak formation

در روش‌های بدون المان با پخش کردن گره‌ها، ناحیه حل و مرزهای آن مشخص می‌شود. شکل

(۱-۳) مدلسازی گسسته یک هندسه با روش‌های المان محدود و بدون المان را نشان می‌دهد.



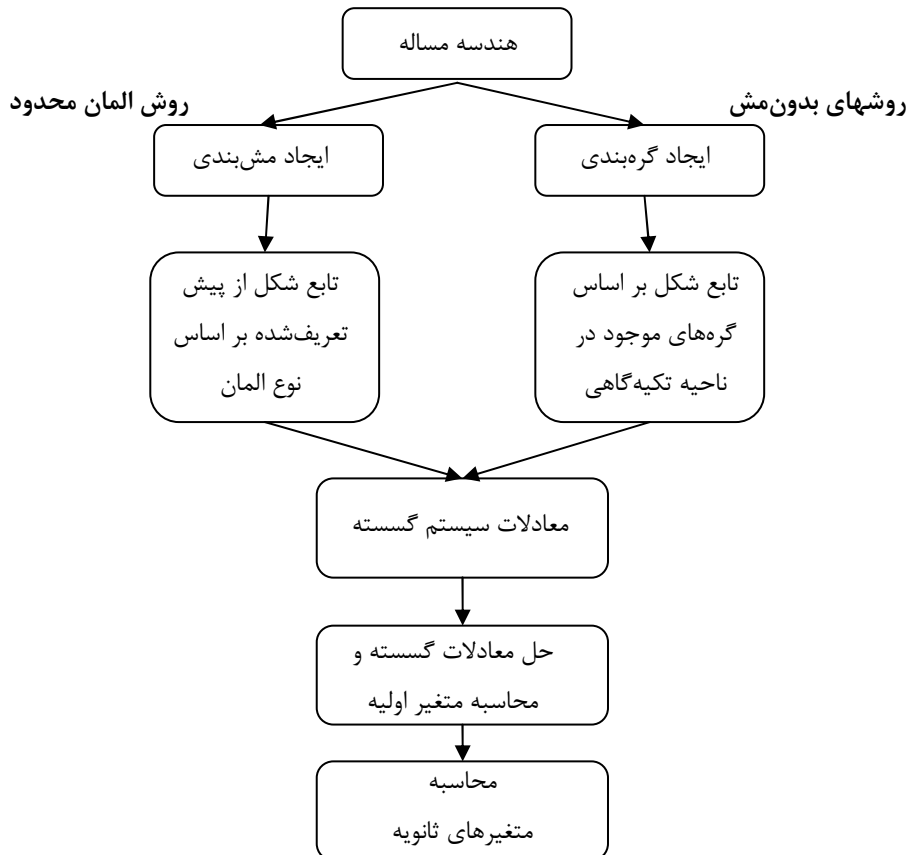
شکل ۱-۳- مدل گسسته هندسه در روش المان محدود (بالا) و روش‌های بدون المان (پایین) [۱۰].

فرم کلی دستگاه معادلات جبری که با این روشها بدست می‌آید؛ شبیه دستگاه معادلاتی است

که با روش المان محدود ایجاد می‌شود. در روش‌های بدون المان معادله مربوط به هر گره، با توجه به گره‌هایی که در ناحیه تکیه‌گاهی<sup>۱</sup> این گره قرار می‌گیرند و تابع وزنی<sup>۲</sup> انتخابی بدست می‌آید. تفاوت اساسی روش‌های بدون المان و روش المان محدود در ایجاد تابع شکل است. در روش المان محدود تابع شکل برای هر گره با توجه به نوع المان، تعریف شده و قبل از شروع مدلسازی مساله مشخص است؛ ولی در روش‌های بدون المان تابع شکل گره‌ها حین مدلسازی مساله و با توجه به انتخاب ناحیه پشتیبان و تابع وزن محاسبه می‌شود. در شکل (۱-۴) فرآیند کلی حل مساله با روش‌های بدون المان و روش المان محدود نشان داده شده است.

<sup>1</sup> - support domain

<sup>2</sup> - weight function



شکل ۱-۴- فرآیند حل مساله با روش‌های بدون‌المان و روش‌المان محدود [۱۰]

در جدول (۱-۱) قابلیتهای مختلف روش‌های بدون‌المان و روش‌المان محدود مقایسه شده است.

در تحلیل مسایل مکانیک، روش‌های بدون‌المان متعددی بکار گرفته می‌شوند. بطور کلی این روشها بر اساس نوع فرمولبندی مساله، تابع تخمین و یا میانیابی مورد استفاده و نوع ناحیه حل دسته‌بندی می‌شوند [۱۰]. روش بدون‌المان گلرکین یکی از روش‌های مرسوم در تحلیل مسایل مکانیک شکست می‌باشد. این روش در سال ۱۹۹۴ توسط بلیچکو<sup>۱</sup> با توسعه روش DEM معرفی شد [۱۰] و بتدريج جنبه‌های عددی و کاربرد آن در زمینه‌های مختلف مکانیک تبيين گردید. در روش بدون‌المان گلرکین از فرم ضعیف معادله دیفرانسیل تعادل روی کل ناحیه حل<sup>۲</sup> برای فرمولبندی مدل و از روش حداقل مربعات متحرک<sup>۳</sup> برای میانیابی متغیر میدان استفاده می‌شود.

<sup>1</sup> - Belytschko

<sup>2</sup> - global weak form

<sup>3</sup> - Moving Least Square- MLS

جدول ۱-۱- مقایسه قابلیتهای مختلف روش‌های بدون المان و روش المان محدود [۱۰]

قابلیت	روش المان محدود	روشهای بدون المان
نیاز به مش	دارد	ندارد
تولید تابع شکل	برپایه المانهای از پیش تعریف شده	برپایه ناحیه‌های تکیه‌گاهی محدود
ماتریس سختی مدل گستته	بانددار و متقارن	بانددار و بسته به روش ممکن است متقارن باشد یا نه.
اعمال شرایط مرزی	با روش‌های استاندارد براحتی انجام می‌شود	با روش‌های خاصی انجام می‌شود
سرعت محاسبات	سریع	معمولًا کندتر از المان محدود
دقت	دقیقتر از روش المان محدود	دقیقتر از روش المان محدود
آنالیز تطبیقی	مشکل بخصوص در سه بعد	آسانتر از روش المان محدود
میزان گسترش	کاملاً استاندارد و گسترش یافته	در آستانه گسترش
نرم‌افزارهای تجاری در دسترس	دارد	ندارد

### ۱-۳- مرور انجام شده مطالعات در شکست حرارتی FGM

هر چند مطالعه رفتار مواد غیرایزوتروپیک و از جمله مکانیک شکست آنها تقریباً همزمان با مواد ایزوتروپیک مطرح شده است. اما معرفی و آشکار شدن جنبه‌های کاربردی FGM در دهه ۹۰ میلادی، این مطالعات را وارد مرحله جدید و کاربردی نمود. از این‌رو در مرور مطالعات انجام شده، مطالعاتی ذکر شده‌اند که با رویکرد FGM انجام شده است. بطور کلی مطالعات در زمینه مکانیک شکست FGM را می‌توان به دو دسته تقسیم نمود. در دسته اول که در آن یک رهیافت تحلیلی دنبال می‌شود؛ به حل مسئله الاستیسیته یا ترموماستیسیته شامل ترک پرداخته می‌شود. مسئله با اعمال شرایط مرزی ترک به معادلات انتگرالی تکین تبدیل شده و بطور تحلیلی و یا عددی حل می‌شود. دسته دوم مسائلی هستند که اساساً در حوزه مکانیک شکست محاسباتی تعریف می‌شوند. در این گونه مسائل یک روش عددی برای محاسبه کمیتهای مکانیک شکست در مسئله بکار گرفته می‌شود. در ادامه فصل مطالعات طبق دسته‌بندی فوق بررسی شده است.

#### ۱-۳-۱- مطالعات تحلیلی و نیمه تحلیلی

در سال ۱۹۹۳، نودا<sup>۱</sup> و جین<sup>۲</sup> ضریب شدت تنش حرارتی<sup>۳</sup> را برای ترکی در محیط بینهایت از FGM محاسبه نمودند[۱۱]. در این بررسی فرض شد؛ سطوح ترک تحت شار حرارتی پایا قرار دارد. با استفاده از تبدیل فوریه حلی برای تابع تنش ایری و مولفه‌های تنش بدست آمد که با اعمال شرایط مرزی، مساله تبدیل به معادلات انتگرالی فردholm<sup>۴</sup> نوع دوم شد. حل این معادله انتگرالی با قسمت تکین<sup>۵</sup> کرنل، میدان تنش در حوزه نوک ترک و نهایتاً مقادیر ضریب شدت تنش و باز شدن ترک<sup>۶</sup> را مشخص نمود. در سال ۱۹۹۴، جین و نودا مقادیر TSIF را برای یک محیط نیمه بینهایت (نیم صفحه) FGM حاوی ترک لبه‌ای موازی با جهت گرادیان خواص بدست آوردند[۱۲]. در این مطالعه فرض شد، مرز نیم صفحه تحت شار حرارتی پایا قرار دارد و ترک خللی در توزیع دما وارد نمی‌کند. با اعمال شرایط مرزی و استفاده از تبدیل فوریه، روابط تنشهای صفحه‌ای به فرم معادلات انتگرالی در می‌آید که با درنظر گرفتن هسته تکین آنها و حل عددی، مقادیر TSIF بدست می‌آید. آنها همچنین با روش مذکور ترکی را در فصل مشترک دو نیم صفحه تحت بارگذاری حرارتی گذرا مطالعه نمودند[۱۳]. حل این مساله به روش قبل و در فضای لاپلاس انجام شد. در بررسیهای مذکور، وابستگی مقدار TSIF به گرادیان خواص ماده بخصوص مدول الاستیسیته و ضریب هدایت گرمایی نشان داده شد و انتخاب مناسب پارامترهای مربوط به خصوصیات مواد برای رسیدن به کمترین TSIF مورد توجه قرار گرفت. همچنین نرخ تغییرات TSIF نسبت به زمان بصورت افزایش ابتدایی و سپس کاهش سریع تا مقدار پایا نشان داده شد.

در سال ۱۹۹۶، جین و بترا<sup>۷</sup> اثر غیرهمگنی مواد روی مقادیر TSIF برای یک باریکه<sup>۸</sup> از جنس FGM را مطالعه کردند[۱۴]. در این بررسی، باریکه تحت شوک حرارتی بصورت کاهش دما

<sup>1</sup> - Noda

<sup>2</sup> - Jin

<sup>3</sup> - Thermal Stress Intensity Factor (TSIF)

<sup>4</sup> - Fredholm

<sup>5</sup> - singular

<sup>6</sup> - Crack Opening Displacement (COD)

<sup>7</sup> - Batra

<sup>8</sup> - layer/strip

روی یک مرز قرار گرفت. ترک روی همین مرز، عمود بر آن و موازی با جهت گرادیان خواص فرض شد. همچنین تغییر مدول برشی و تغییر ضریب هدايت گرمایی به شکل تابع نمایی در نظر گرفته شد. با نوشتن معادلات الاستیسیته صفحه‌ای و تقسیم کرنل به دو قسمت تکین و غیرتکین، مقادیر TSIF با حل عددی معادله انتگرالی تکین بدست آمد. نتایج این تحقیق نشان می‌دهد؛ مقادیر TSIF شدیداً تابع ضریب هدايت گرمایی می‌باشد. نعمت<sup>۱</sup><sup>۱</sup> و نودا رفتار ترک را در یک نیم‌صفحه FGM بررسی نمودند. در این بررسی، تغییرات خصوصیات ماده بصورت تابع نمایی در جهت راستای ترک در نظر گرفته شد؛ بجز ضریب انبساط خطی که طبق این تابع در دو جهت<sup>۲</sup> تغییر می‌کرد. در این مطالعات، نیم‌صفحه تحت بارگذاری حرارتی گذرا در یک جهت [۱۵] و دو جهت [۱۷] فرض شد. در این حالتها، معادلات الاستیسیته حاکم در حوزه نوک ترک بصورت معادلات انتگرالی تکین کوشی ظاهر می‌شود. با استفاده از تبدیل فوریه حل آنها به دست آمده و TSIF از آنها استخراج می‌شود. در نهایت اثر تغییر خواص FGM و نقش آنها به خصوص ضریب انبساط خطی در کاهش مقادیر TSIF بحث شده است.

وو<sup>۳</sup> و اردگن<sup>۴</sup> برای تغییرات SIF مود I در یک باریکه حاوی ترک لبه‌ای تحت بارگذاری حرارتی حرارتی پایا [۱۸] و مکانیکی [۱۹] حل تحلیلی ارائه کردند. آنها برای هر دو نوع بارگذاری با اعمال اصل برهمنهی مناسب و استفاده از تقارن، مساله را به نیم‌صفحه حاوی ترکی تبدیل نمودند که تنها نیروی خارجی وارد بر آن، به سطح ترک وارد می‌شود. مساله اخیر با روش اغتشاشی<sup>۵</sup> به طور تحلیلی تحلیلی قابل حل است. در این روش ابتدا یک فرم کلی برای حل معادلات نویه<sup>۶</sup> در نظر گرفته شد. سپس با جایگزینی این فرم کلی در این معادلات و برخی شرایط مرزی، تعدادی از پارامترهای آن مشخص شد. پس از آن، با محاسبه مولفه‌های تنش و اعمال شرایط مرزی باقیمانده، توزیع تنش

<sup>۱</sup> - Nemat-Alla<sup>۲</sup> - bi-directional FGM<sup>۳</sup> - Wu<sup>۴</sup> - Erdogan<sup>۵</sup> - Perturbation<sup>۶</sup> - Navier

بصورت معادلات انتگرالی بدست آمد. عبارت توزیع تنش در حوزه نوک ترک با تقسیم کرنل و منظور کردن قسمت تکین آن در معادله انتگرالی حاصل شد. در نهایت با در نظر گرفتن سری چند جمله-ایهای چبیشف<sup>۱</sup> نوع اول، حل معادله انتگرالی تکین مذکور و عبارت ضریب شدت تنش بدست آمد. حل ارائه شده توسط وو و اردگن به خاطر محدود بودن ابعاد هندسه در یک جهت قابل توجه است و حلهای عددی بسیاری با استفاده از آن ارزیابی شده است.

در سال ۲۰۰۸، نودا و گو<sup>۲</sup> با استفاده از روش اغتشاشی و حل معادلات انتگرالی برای یک باریکه از جنس FGM که تحت شوک سرمایشی قرار داشت؛ ضریب شدت تنش را محاسبه نمودند [۲۰].

جین و پائولینو<sup>۳</sup> با استفاده از مدل چند لایه‌ای ماده<sup>۴</sup>، ضریب شدت تنش حرارتی را برای یک ترک لبه‌ای واقع بر یک باریکه از FGM بدست آوردند که تحت شوک حرارتی قرار داشت [۲۱]. مدل چندلایه‌ای یکی از روش‌های مرسوم مدلسازی FGM برای تحلیل مسایل مختلف است که روابط مکانیک اجسام مرکب بر آن حاکم است. دقت نتایج این روش به تئوری مورد استفاده در مدلسازی و فرضیات چگونگی تغییر خواص در یک لایه بستگی دارد. در این بررسی، توزیع گذرای دما و تنشهای حرارتی با استفاده از مدل چندلایه‌ای محاسبه می‌شود. سپس مقادیر تنشهای حرارتی متناظر با زمانهای ابتدایی اعمال شوک با حدگیری در فضای لاپلاس بدست می‌آید. حل معادلات انتگرالی تکین در فضای فوریه منجر به محاسبه ضریب شدت تنش می‌شود. نتایج بدست آمده، به زمانهای ابتدایی شوک حرارتی و ترکهای با طول کم محدود می‌شود. علاوه بر این، در این تحقیق خصوصیات مکانیکی ماده همگن فرض شده است. از روش فوق ونگ<sup>۵</sup> و همکارانش برای بررسی دو ترک در فصل مشترک یک لایه FGM با لایه‌های فلزی و سرامیکی و چند ترک موازی با مرز در یک باریکه FGM استفاده

<sup>1</sup> - Chebyshev

<sup>2</sup> - Guo

<sup>3</sup> - Paulino

<sup>4</sup> - multi-layered materials model

<sup>5</sup> - Wang

کردند که تحت بارگذاری حرارتی گذرا قرار داشت [۲۲]. ونگ و نودا نیز دو ترک هم راستا و موازی مرز را در یک باریکه FGM مطالعه کردند [۲۳]. این باریکه FGM نیز به صورت چند لایه‌ای مدل شد و ضرایب شدت تنش با استفاده از حل عددی دستگاه معادلات انتگرالی حاصل بدست آمد. نودا و همکارانش یک باریکه FGM دارای تغییر خواص به شکل یکتابع پیوسته دلخواه و حاوی ترک عمود بر مرز را با استفاده از مدل چند لایه‌ای تحلیل کردند. آنها خواص هر لایه را به صورت همگن [۲۴] و یا دارای تغییرات نمایی [۲۵] در نظر گرفتند. بعلاوه فرض شد؛ باریکه تحت تغییر دمای یکنواخت قرار دارد. در هر دو مدل با استفاده از روش تبدیلات انتگرالی، تئوری باقیماندها و تئوری معادلات انتگرالی تکین، ضرایب شدت تنش محاسبه شد و نتایج حاصل با نتایج روش المان محدود مقایسه گردید.

### ۱-۳-۲- مطالعات عددی

مطالعات عددی را می‌توان به دو دسته کلی تقسیم نمود. یک دسته شامل بررسی پدیده‌های شکست در FGM است؛ که در آن، هدف اصلی اغلب مطالعه کیفیت شکست و تغییرات کیفی پارامترهای شکست می‌باشد. این مطالعات نوعاً با استفاده از نرم‌افزارهای تجاری انجام می‌گیرد. در این مطالعات کارایی روش عددی در درجه دوم اهمیت قرار دارد و اغلب به جزئیات آن اشاره نمی‌شود. این مطالعات معمولاً با المانهای معمولی، مشبندی بسیار ریز و در محیط نرم‌افزارهای تجاری یا دانشگاهی انجام می‌گیرد. اما گروه دیگری از مطالعات با هدف توسعه یک روش برای محاسبه کمیت یا کمیتهای مکانیک شکست - و در چند مورد خاص ارائه روش جدیدی برای مدلسازی ترک (ناپیوستگی) - انجام شده‌اند. توسعه روش‌های محاسبه کمیتهای مکانیک شکست برای FGM معمولاً منجر به توسعه نرم افزارهای دانشگاهی موجود تحلیل مکانیک شکست شده است که کاربرد آنها محدود به مواد همگن بود.

با استفاده از روش المان محدود، والترز<sup>۱</sup> و همکارانش فرم ناحیه‌ای<sup>۲</sup> انتگرال J را برای یک ترک سه‌بعدی سطحی در محیط FGM توسعه دادند [۲۶]. در این بررسی توزیع دما بصورت پایا فرض شد. با استفاده از المانهای غنی شده<sup>۳</sup>، ییلدیریم<sup>۴</sup> و اردگن رفتار ترکی محیطی در فصل مشترک پوشش و هسته<sup>۵</sup> و یا موازی با آن را مطالعه کردند که در حالت تقارن محوری تحت کاهش دمای یکنواخت قرار داشت [۲۷]. در این شرایط، مقادیر ضرایب شدت تنش مود I و II برای فواصل مختلف ترک از فصل مشترک هسته و پوشش و پروفیلهای مختلف تابع توانی محاسبه شد.

ییلدیریم و همکارانش با استفاده از روش المان محدود، ضریب شدت تنش مود I را برای یک ترک نیمبیضی در پوشش FGM بررسی و نتایج را با حلهای تحلیلی مکانیکی معادل موجود مقایسه کردند [۲۸]. در این تحقیق یک سطح پوشش‌دار حاوی ترک، تحت بارگذاری حرارتی گذرا بصورت کاهش دما از یک دمای معین و بار مکانیکی کرنش معین بطور جداگانه قرار گرفت و ضریب شدت تنش برای هر دو حالت با روش المان محدود در محیط ANSYS<sup>®</sup> محاسبه شد.

ییلدیریم با استفاده از فرمولبندی المان محدود انتگرال ناحیه‌ای، رفتار ترک لبه‌ای در یک صفحه FGM تحت بارگذاری حرارتی پایا بصورت مود I را تحلیل نمود [۲۹]. در این مطالعه از المان مثلثی ایزوپارامتریک شامل ده گره (T10) در نرمافزار FRAC2D استفاده شد. وی همچنین یک سطح پوشش‌دار حاوی ترکهای پریودیک و تحت بار حرارتی گذرا را با همین روش بررسی کرد. طبق این گزارش، نتایج این روش با نتایج روش المان محدود غنی‌شده انطباق خوبی دارد.

دگ<sup>۷</sup> نیز با استفاده از روش المان محدود و المان T10، ضرایب شدت تنش مود مخلوط را برای یک صفحه FGM با ترکی عمود بر گرادیان خواص بدست آورد. در این بررسیها، بارگذاری

<sup>1</sup> - Walters<sup>2</sup> - Equivalent Domain Integral-EDI<sup>3</sup> - enriched element<sup>4</sup> - Yildirim<sup>5</sup> - substrate<sup>6</sup> - axisymmetric<sup>7</sup> - Dag

تصورت حرارتی گذرا و ماده بصورت ایزوتروپیک در نظر گرفته شد [۳۰]. همچنین وی با کاربرد انتگرال ناحیه‌ای ضریب شدت تنش گذرای مود I را برای یک ترک لبه‌ای در یک صفحه مستطیلی آزاد ارتوتروپیک FGM محاسبه نمود [۳۱].

چن<sup>۱</sup> با استفاده از دو روش معادلات انتگرالی و بدون المان گلرکین، ضرایب شدت تنش را برای ترکی در فصل مشترک هسته و پوشش محاسبه کرد. این سازه تحت بار حرارتی پایا قرار گرفت [۳۲]. در سال ۲۰۰۰، نودا و فوجیموتو<sup>۲</sup> رشد ترک در یک صفحه از جنس FGM تحت شوک حرارتی را مطالعه نمودند [۳۳]. در این بررسی، سطح سرامیکی صفحه تحت شوک حرارتی بصورت گرمایش یکنواخت پایا و سپس کاهش ناگهانی دما تا دمای اولیه قرار می‌گیرد. تحلیل با روش المان محدود و در محیط نرم‌افزار MSC-MARC انجام شده و زاویه رشد ترک با استفاده از معیار حداکثر تنش مماسی<sup>۳</sup> بدست آمده است. در مطالعه فوق از تنش T در محاسبه زاویه رشد ترک صرف نظر شده است. در سال ۲۰۰۱ آنها اثر متقابل دو ترک لبه‌ای تحت شوک حرارتی به شکل (۳۴-۲) را روی مسیر رشد یکدیگر بررسی نمودند [۳۴]. ضمن این مطالعات مشخص گردید، هنگامی که فاصله دو ترک از یکدیگر به حد کافی کم باشد؛ دو ترک روی مسیر یکدیگر اثر گذاشته و مسیر رشد یکدیگر را تغییر می‌دهند. برای اغلب فاصله‌های مورد بحث، دو ترک پس از مدتی موازی با مرز صفحه به رشد خود ادامه دادند. ضرایب شدت تنش در هر لحظه با استفاده از روش المان محدود محاسبه شده و برای تعیین جهت رشد ترک از معیار صفر بودن ضریب شدت تنش مود دوم در این راستا استفاده شده است. البته مطالعات آزمایشگاهی زیر نظر لمبروس در سال ۲۰۰۶ نشان می‌دهد که رشد ترک در FGM با این معیار تا حدی تطابق ندارد [۳۵].

---

<sup>۱</sup> - Chen

<sup>۲</sup> - Fujimoto

<sup>۳</sup> - maximum hoop stress

#### ۱-۴- نتیجه‌گیری

در مورد مطالعات انجام شده در زمینه مکانیک شکست حرارتی FGM ذکر چند نکته ضروری است. هر چند بررسی این مسائل با رویکرد تحلیلی منجر به نتایج ارزشمند و قابل اتقا می‌شود؛ اما حل تحلیلی و نیمه تحلیلی با محدودیتهاي موافق است:

۱- بدلیل مشکلات اعمال شرایط مرزی مسأله الاستیسیته، این روش عموماً محدود به حل مسائل شامل محیطهای بینهایت و نیمه بینهایت شده است که در عمل کاربرد کمتری دارند.

۲- حل تحلیلی محدود به در نظر گرفتن تغییرات خصوصیات فیزیکی مواد بصورت توابع پیوسته خاص مثل تابع نمایی و همچنین ثابت در نظر گرفتن برخی خصوصیات مثل ضریب پواسون می‌گردد. کاربرد پروفیلهای پیوسته دیگر یا مدل‌های میکرومکانیک و یا منظور کردن تغییر خصوصیات مواد مثل ضریب پواسون در این رهیافت با محدودیتهاي موافق است.

۳- کمیت قابل محاسبه در این روش ضریب شدت تنش و بخصوص ضریب شدت تنش مود I می‌باشد. حل تنش T -بخصوص برای نواحی محدود- تاکنون گزارش نشده است.

در مطالعات عددی نیز در عمدۀ کارهای انجام شده، سعی بر این بوده است که کمیتهای مکانیک شکست و خصوصاً انتگرال J با استفاده از مشبندی بسیار ریز در نوک ترک محاسبه شود که کاربرد آنرا برای قطعات پیچیده تقریباً غیرممکن می‌سازد. منظور کردن مشبندی بسیار ریز مستلزم بکار گرفتن امکانات نرمافزاری و سختافزاری خاص می‌باشد. این مشکلات برای مسائل شامل شوک حرارتی -که شامل کمیتهای متغیر با زمان می‌باشد- جدی‌تر است.

#### ۱-۵- موضوع پایان نامه

موضوع اصلی تحقیق حاضر، بررسی رفتار ترک در مواد مرکب تابعی بصورت محاسبه پارامترهای شکست (ضرایب شدت تنش و تنش T) با استفاده از روش بدون‌المان گلرکین می‌باشد. اهداف کلی بصورت زیر قابل بیان است.

- توسعه روش انتگرال برهم کنش -عنوان یک ابزار کارآمد- برای محاسبه ضرایب شدت تنش مختلط و تنش  $T$  در مواد مرکب تابعی که تحت بارگذاری حرارتی قرار دارند.
- نشان دادن دقت و کارآمدی روش بدون المان گلرکین برای محاسبه پارامترهای شکست با روشهای مختلف عددی- در پیوستارهای دو بعدی تحت بارگذاری مکانیکی و حرارتی.

## ۱-۶- ساختار پایان نامه

پایان نامه حاضر شامل هفت فصل می باشد؛ رئوس مطالب فصلهای بعد بشرح زیر است.

فصل دوم، شامل فرمولبندی روش بدون المان گلرکین برای میدانهای الاستیسیته و هدایت گرمایی و همچنین ملاحظات و جنبه‌های عددی کاربرد این روش است. در این فصل روش تجزیه مودی برای بدست آوردن میدان دمای گذرا بیان شده است و روابط مطرح شده، برای مثالهای مختلف با نتایج تحلیلی مقایسه شده است. فصل سوم شامل توسعه مکانیک شکست برای FGM، روشهای عددی محاسبه ضرایب شدت تنش و مدلسازی ترک در روش بدون المان گلرکین با روشهای کلاسیک و استفاده از مجموعه بردارهای مرتبه‌ای است. در انتهای نیز کاربرد این روشهای برای تحلیل ترک در صفحات دو بعدی و تحت بار مکانیکی در قالب چند مثال بررسی شده است. در فصل چهارم نتایج استفاده از روش انتگرال  $J$  و همبستگی تغییر مکانها برای محاسبه ضرایب شدت تنش در صفحات FGM تحت بار حرارتی گذرا آمده است. علاوه بر این، اثر گرادیان خصوصیات فیزیکی FGM روی تغییرات زمانی ضریب شدت تنش نیز بررسی شده است. در فصل پنجم روش انتگرال بر هم کنش برای محاسبه پارامترهای شکست حرارتی FGM توسعه یافته‌اند و ضرایب شدت تنش و تنش  $T$  با استفاده از این انتگرال بدست آمده‌اند.

در فصل ششم نیز نتیجه‌گیری مباحث مطرح شده و پیشنهادهایی برای ادامه تحقیق آمده است.

## فصل دوم

روش بدون المان گلر کین

## ۱-۲ - مقدمه

در روش‌های بدون‌مش بر مبنای فرم ضعیف روی کل دامنه<sup>۱</sup> غالباً از فرم ضعیف گلرکین روی کل دامنه تعریف مساله<sup>۲</sup> استفاده می‌شود که در آن، توابع شکل دارای ناحیه تکیه‌گاهی محدود بکار می‌رود. Diffuse Element Method-DEM اولین روش بدون‌مش بر مبنای فرم ضعیف روی کل دامنه می‌باشد که در سال ۱۹۹۲ توسط نایرس<sup>۳</sup> و همکارانش معرفی شد[۳۶]. در DEM از تقریب حداقل مربعات متحرک برای ایجاد توابع شکل استفاده می‌شود. در این روش، فرم ضعیف گلرکین روی کل ناحیه تعریف مساله برای ساخت دستگاه معادلات گسسته بکار می‌رود.

در سال ۱۹۹۴، بلیچکو<sup>۴</sup> و همکارانش روش بدون‌المان گلرکین<sup>۵</sup> را ارائه نمودند[۳۷]. در این روش از تقریب حداقل مربعات متحرک در فرم ضعیف گلرکین برای ساخت دستگاه معادلات جبری (گسسته) استفاده می‌شود. در روش بدون‌المان گلرکین دامنه تعریف مساله با مجموعه‌ای از گره‌ها بیان می‌شود که به طور مناسب در دامنه تعریف مساله توزیع شده‌اند. برای ساخت تابع شکل از تقریب حداقل مربعات متحرک استفاده می‌شود که در آن تعداد محدودی از گره‌های یک ناحیه مشخص بکار می‌رond. البته شبکه‌بندی زمینه نیز برای ارزیابی انتگرلهای ناشی از اعمال فرم ضعیف گلرکین باید در نظر گرفته شود.

گزارش‌های بلیچکو و همکارانش نشان می‌دهد؛ در تحلیل مسائل مکانیک جامدات، روش EFG دقیق مناسبی دارد[۳۷] و [۳۸] و براساس آزمونهای عددی، نرخ همگرایی بهتری نسبت به روش المان

<sup>1</sup> - meshfree global weak-form methods

<sup>2</sup> - global problem domain

<sup>3</sup> - Nayroles

<sup>4</sup> - Belytschko

<sup>5</sup> - Element Free Galerkin -EFG

محدود دارد [۳۷]. علاوه بر این، توزیع نامنظم گره‌ها اثری روی کارکرد روش EFG ندارد [۳۷]. در حال حاضر، کاربرد روش EFG نسبتاً گسترده شده است و برای تحلیل مسائل مختلفی در حوزه‌ی مهندسی مکانیک استفاده می‌شود که می‌توان به برخی موارد اشاره نمود.

۱- مسائل مختلف الاستیک خطی و غیرخطی در دو و سه بعد [۳۷] و [۴۲-۴۹].

۲- مسائل مکانیک شکست و رشد ترک [۴۳-۴۶].

۳- تحلیل سازه‌های ورق و پوسته [۴۷-۴۹].

۴- تحلیل سازه‌های شامل پیزوالکتریک<sup>۱</sup> [۵۰].

روش EFG قابلیت کوپل شدن با روش‌های عددی دیگر را دارد تا از قابلیتها و مزایای این روشها نیز در تحلیل مسائل استفاده شود. روش‌های کوپل EFG با روش المان محدود در [۵۱] و [۵۲] و کوپل با روش المانهای مرزی<sup>۲</sup> در [۵۳-۵۵] مطرح شده است. گسترش سریع و متداول شدن کاربرد روش EFG در مسائل مختلف مکانیک نشان می‌دهد؛ در حوزه‌ی مکانیک محاسباتی این روش بتدریج به یک رهیافت قابل اعتماد و از نظر محاسباتی موثر تبدیل شده است. این ویژگی بخاطر استفاده از تقریب MLS و فرایند باقیمانده وزنی گلرکین است. تقریب MLS باعث پایداری در تقریب تابع مطلوب و استفاده از فرایند باقیمانده وزنی گلرکین منجر به ایجاد دستگاه معادلات گسسته پایدار و خوشنرفتار برای کل سیستم می‌شود. علی‌رغم توسعه این روش هنوز مسائل بسیاری وجود دارد که نیاز به بررسی و بهبود دارد.

## ۲-۲- فرمولیندی و گسسته‌سازی معادلات در روش EFG

<sup>1</sup> - piezoelectric

<sup>2</sup> - Boundary Element Methods-BEM

معادله دیفرانسیل حاکم و شرایط مرزی یک مسئله دوبعدی الاستیستیه خطی بصورت زیر است:

معادله دیفرانسیل تعادل:

$$\mathbf{L}^T \boldsymbol{\sigma} + \mathbf{b} = 0 \quad \text{in } \Omega \quad (1-2)$$

شرایط مرزی طبیعی

$$\boldsymbol{\sigma} \mathbf{n} = \bar{\mathbf{t}} \quad \text{on } \Gamma_t \quad (2-2)$$

شرایط مرزی اساسی

$$\mathbf{u} = \bar{\mathbf{u}} \quad \text{on } \Gamma_u \quad (3-2)$$

که در معادله فوق و شرایط مرزی،  $\mathbf{L}$  عملگر دیفرانسیلی بصورت زیر است.

$$\mathbf{L} = \begin{bmatrix} \frac{\partial}{\partial x} & 0 \\ 0 & \frac{\partial}{\partial y} \\ \frac{\partial}{\partial y} & \frac{\partial}{\partial x} \end{bmatrix} \quad (4-2)$$

$\sigma$ : تانسور تنش است.

$\mathbf{u}$  : بردار تغییرمکان یا جابجایی با مولفه‌های  $u$  و  $v$  است  $\mathbf{u} = \{u, v\}$

$\mathbf{b}$  : بردار نیروهای کالبدی با مولفه‌های  $b_x$  و  $b_y$  است  $\mathbf{b} = \{b_x, b_y\}$

$\bar{\mathbf{t}}$ : بردار تنش معلوم روی قسمتی مشخص از مرز مساله (مرز طبیعی) است.

$\bar{\mathbf{u}}$ : تغییرمکان معلوم روی قسمتی مشخص از مرز مساله (مرز اصلی) است.

n: بردار یکه و عمود رو به خارج در بخشی از مرز مساله است

فرم استاندارد تغییراتی یا ضعیف معادلهٔ تعادل(۱-۲) بصورت زیر است:

$$\int_{\Omega} (\mathbf{L}\delta\mathbf{u})^T (\mathbf{D}\mathbf{L}\mathbf{u}) d\Omega - \int_{\Omega} \delta\mathbf{u}^T \mathbf{b} d\Omega - \int_{\Gamma_t} \delta\mathbf{u}^T \bar{\mathbf{t}} d\Gamma = 0 \quad (5-2)$$

که در آن، D ماتریس الاستیک برای حالت تنش صفحه‌ای با فرم زیر

$$D = \frac{E}{1-\nu^2} \begin{bmatrix} 1 & \nu & 0 \\ \nu & 1 & 0 \\ 0 & 0 & \frac{(1-\nu)}{2} \end{bmatrix} \quad (6-2)$$

و برای حالت کرنش صفحه‌ای با فرم

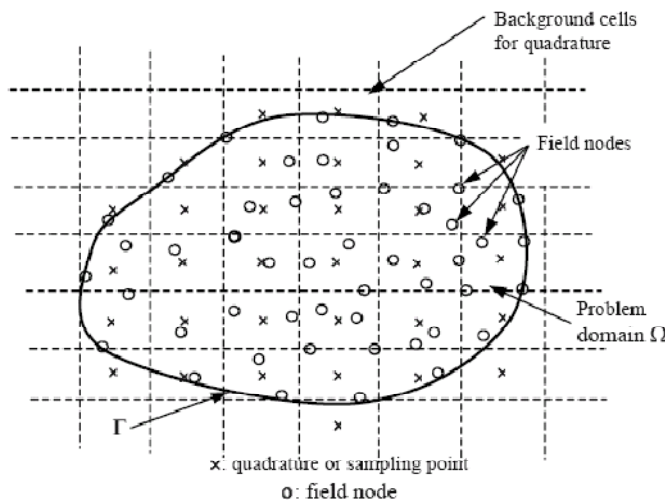
$$D = \frac{E(1-\nu)}{(1+\nu)(1-2\nu)} \begin{bmatrix} 1 & \frac{\nu}{1-\nu} & 0 \\ \frac{\nu}{1-\nu} & 1 & 0 \\ 0 & 0 & \frac{1-2\nu}{2(1-\nu)} \end{bmatrix} \quad (7-2)$$

است.

معادله (۵-۲) فرم ضعیفی است که روی کل ناحیه حل  $\Omega$  تعریف شده است. برای محاسبهٔ انتگرال‌های رابطه (۵-۲) ناحیهٔ حل مسئله  $\Omega$  به مجموعه‌ای از المانها یا سلولهای زمینه<sup>۱</sup> شکسته می‌شود که همپوشانی ندارند (مطابق شکل(۱-۲)). برای محاسبه انتگرال‌ها روی شرایط مرزی طبیعی  $\Gamma$ , نیز مجموعه‌ای از المانهای منحنی (برای مسئله دوبعدی) بکار می‌رود. این المانهای منحنی نیز مانند شبکه داخلی همپوشانی ندارند.

---

<sup>1</sup> - background cells



شکل ۲-۱-۲- شبکه‌بندی زمینه در روش‌های بدون مش روی کل ناحیه. نمایش ناحیه حل با گره‌ها و استفاده از شبکه‌بندی زمینه [۱۰]

از این پس، برای تقریب متغیر میدان -در اینجا تغییرمکان- ناحیه حل مساله با مجموعه مناسبی از گره‌ها نمایش داده می‌شود. این گره‌ها به ترتیب از ۱ تا  $N$  برای کل ناحیه حل شماره‌گذاری می‌شوند. برای تخمین تغییرمکانها در هر نقطه از ناحیه حل از توابع شکل MLS و تغییرمکان گره‌های موجود در ناحیه تکیه‌گاهی نقطه مورد نظر استفاده می‌شود.

$$\mathbf{u}_{(2^*1)}^h = \begin{Bmatrix} u \\ v \end{Bmatrix} = \begin{bmatrix} \phi_1 & 0 & \dots & \phi_n & 0 \\ 0 & \phi_1 & \dots & 0 & \phi_n \end{bmatrix} \begin{Bmatrix} u_1 \\ v_1 \\ \vdots \\ u_n \\ v_n \end{Bmatrix} = \boldsymbol{\Phi}_{(2^*2n)} \mathbf{u}_{(2n*1)} \quad (8-2)$$

که در آن،  $\boldsymbol{\Phi}$  ماتریس تابع شکل،  $n$  تعداد گره‌های موجود در ناحیه تکیه‌گاهی و  $\mathbf{u}$  بردار تغییرمکانها در گره‌های ناحیه تکیه‌گاهی است. معادله (۸-۲) را بصورت مجموعی از مشخصه‌های گرهی نیز می‌توان نوشت.

$$\mathbf{u}_{(2^*1)}^h = \sum_I^n \begin{bmatrix} \phi_1 & 0 \\ 0 & \phi_1 \end{bmatrix} \begin{Bmatrix} u_1 \\ v_1 \end{Bmatrix} = \sum_I^n \boldsymbol{\Phi}_I \mathbf{u}_I \quad (9-2)$$

در این رابطه،  $\Phi$  ماتریس توابع شکل گره ام و  $\mathbf{u}$  بردار تغییرمکان گرهی است. در رابطه (۹-۲)،  $\mathbf{u}^h$  بردار تغییرمکانی است که برای نقطه مورد نظر تخمین زده شده است. این نقطه می‌تواند یک نقطه دلخواه از ناحیه حل و یا یک نقطه انتگرالگیری گوسی باشد. فرم وردشی معادله (۹-۲) بصورت زیر است:

$$\delta \mathbf{u}_{(2*1)}^h = \sum_I^n \Phi_I \delta \mathbf{u}_I \quad (10-2)$$

مولفه‌های کرنش با استفاده از تغییرمکانهای تخمینی بصورت زیر تقریب زده می‌شوند:

$$\begin{aligned} \boldsymbol{\varepsilon}_{(3*1)} &= \mathbf{L} \mathbf{u}^h = \begin{bmatrix} \frac{\partial}{\partial x} & 0 \\ 0 & \frac{\partial}{\partial y} \\ \frac{\partial}{\partial y} & \frac{\partial}{\partial x} \end{bmatrix} \begin{bmatrix} \phi_1 & 0 & \dots & \phi_n & 0 \\ 0 & \phi_1 & \dots & 0 & \phi_n \\ \vdots & & & & \vdots \end{bmatrix} \begin{Bmatrix} u_1 \\ v_1 \\ u_n \\ v_n \end{Bmatrix} \\ &= \begin{bmatrix} \frac{\partial \phi_1}{\partial x} & 0 & \dots & \frac{\partial \phi_n}{\partial x} & 0 \\ 0 & \frac{\partial \phi_1}{\partial y} & \dots & 0 & \frac{\partial \phi_n}{\partial y} \\ \frac{\partial \phi_1}{\partial y} & \frac{\partial \phi_1}{\partial x} & \dots & \frac{\partial \phi_n}{\partial y} & \frac{\partial \phi_n}{\partial x} \end{bmatrix} \begin{Bmatrix} u_1 \\ v_1 \\ \vdots \\ u_n \\ v_n \end{Bmatrix} = \mathbf{B}_{(3*2n)} \mathbf{u}_{(2n*1)} \quad (11-2) \\ &= \sum_I^n \mathbf{B}_I \mathbf{u}_I \end{aligned}$$

که در آن،  $\mathbf{B}$  ماتریس کرنش و  $\mathbf{u}$  ماتریس کرنش در گره ام است. بطور مشابه، فرم وردشی کرنش با توجه به رابطه (۱۱-۲) بصورت زیر بدست می‌آید:

$$\mathbf{L} \delta \mathbf{u}^h = \mathbf{L}_{(3*2)} \Phi_{(2*2n)} \delta \mathbf{u}_{(2n*1)} = \mathbf{B}_{(3*2n)} \delta \mathbf{u}_{(2n*1)} = \sum_I^n (\mathbf{B}_I)_{(3*2)} (\mathbf{u}_I)_{(2*1)} \quad (12-2)$$

با استفاده از روابط ساختاری<sup>۱</sup> بردار تنش در هر نقطه از ناحیه حل بصورت زیر قابل محاسبه است.

$$\sigma = \mathbf{D}\epsilon = \mathbf{D}_{(3*3)}\mathbf{B}_{((3*2n)}\mathbf{u}_{((2n*1)} = \sum_I^n \mathbf{D}_{(3*3)}(\mathbf{B}_I)_{(3*2)}(\mathbf{u}_I)_{(2*1)} \quad (13-2)$$

با در نظر گرفتن روابط (۱۱-۲) و (۱۲-۲)، عبارت اول رابطه‌ی (۵-۲) بصورت زیر بدست می‌آید:

$$\begin{aligned} \int_{\Omega} (\mathbf{L}\delta\mathbf{u})^T (\mathbf{D}\mathbf{L}\mathbf{u}) d\Omega &= \int_{\Omega} \left( \sum_I^n \mathbf{B}_I \delta\mathbf{u}_I \right)^T \left( \sum_J^n \mathbf{D}\mathbf{B}_J \mathbf{u}_J \right) d\Omega \\ &= \int_{\Omega} \sum_I^n \sum_J^n \delta\mathbf{u}_I^T [\mathbf{B}_I^T \mathbf{D}\mathbf{B}_J] \mathbf{u}_J d\Omega \end{aligned} \quad (14-2)$$

تا این مرحله، گره‌ها در ناحیه محلی تکیه‌گاهی شماره‌گذاری می‌شوند و اول شماره‌های محلی گره‌ها هستند. از این پس، شماره‌گذاری گره‌ها از سیستمهای محلی به شماره‌گذاری آنها در سیستم کل تغییر می‌کند. در سیستم کل تمام گره‌های مساله دارای یک شماره واحد از ۱ تا N می‌باشند. بنابراین در رابطه (۱۴-۲) شماره گره‌های ۱ و L می‌تواند از ۱ تا N تغییر کند. اگر او L در یک ناحیه تکیه‌گاهی واحد قرار نداشته باشد؛ عبارت داخل انتگرال رابطه‌ی (۱۴-۲) و در نتیجه مقدار انتگرال صفر می‌شود. با در نظر گرفتن شماره‌گذاری در کل سیستم رابطه (۱۴-۲) بصورت زیر بیان می‌شود.

$$\int_{\Omega} (\mathbf{L}\delta\mathbf{u})^T (\mathbf{D}\mathbf{L}\mathbf{u}) d\Omega = \int_{\Omega} \sum_I^N \sum_J^N \delta\mathbf{u}_I^T [\mathbf{B}_I^T \mathbf{D}\mathbf{B}_J] \mathbf{u}_J d\Omega \quad (15-2)$$

می‌توان عملگر انتگرالگیری را به داخل عملگرهای جمع بصورت زیر منتقل نمود.

$$\int_{\Omega} (\mathbf{L}\delta\mathbf{u})^T (\mathbf{D}\mathbf{L}\mathbf{u}) d\Omega = \sum_I^N \sum_J^N \delta\mathbf{u}_I^T \left( \int_{\Omega} \mathbf{B}_I^T \mathbf{D}\mathbf{B}_J d\Omega \right) \mathbf{u}_J \quad (16-2)$$

طبق این رابطه، ماتریس  $2 \times 2$  سختی گرهی<sup>۲</sup> بصورت زیر تعریف می‌شود:

<sup>1</sup> - constitutive equations

<sup>2</sup> - nodal stiffness matrix

$$\mathbf{K}_{IJ} = \int_{\Omega} (\mathbf{B}_I^T)_{2*3} \mathbf{D}_{3*3} (\mathbf{B}_J)_{3*2} d\Omega \quad (17-2)$$

البته اگر گرههای  $i$  و  $j$  هر دو در ناحیه تکیه‌گاهی یک نقطه انتگرال‌گیری گوسی قرار نداشته باشند؛ مقدار  $\mathbf{K}_{ij}$  صفر است. با در نظر گرفتن تعریف فوق، رابطه (16-2) بصورت زیر بیان می‌شود.

$$\int_{\Omega} (\mathbf{L}\delta\mathbf{u})^T (\mathbf{D}\mathbf{L}\mathbf{u}) d\Omega = \sum_I^N \sum_J^N \delta\mathbf{u}_I^T \mathbf{K}_{IJ} \mathbf{u}_J \quad (18-2)$$

عملگرهای جمع در رابطه بالا، فرآیند مونتاژ را انجام می‌دهند. بسط عبارت سمت راست در رابطه (18) فرآیند مونتاژ را نشان می‌دهد. در نهایت، فرم معادله (16-2) بصورت زیر بدست می‌آید.

$$\begin{aligned} \sum_i^n \sum_j^N \delta\mathbf{u}_I^T \mathbf{K}_{IJ} \mathbf{u}_J &= \delta\mathbf{u}_1^T \mathbf{K}_{11} \mathbf{u}_1 + \delta\mathbf{u}_1^T \mathbf{K}_{12} \mathbf{u}_2 + \cdots + \delta\mathbf{u}_1^T \mathbf{K}_{1N} \mathbf{u}_N \\ &+ \delta\mathbf{u}_2^T \mathbf{K}_{21} \mathbf{u}_1 + \delta\mathbf{u}_2^T \mathbf{K}_{22} \mathbf{u}_2 + \cdots + \delta\mathbf{u}_2^T \mathbf{K}_{2N} \mathbf{u}_N \\ &\vdots \\ &+ \delta\mathbf{u}_1^T \mathbf{K}_{1N} \mathbf{u}_N + \delta\mathbf{u}_2^T \mathbf{K}_{2N} \mathbf{u}_N + \cdots + \delta\mathbf{u}_N^T \mathbf{K}_{NN} \mathbf{u}_N \end{aligned} \quad (19-2)$$

که در آن،  $\mathbf{K}$  ماتریس سختی کل سیستم است. با توجه به  $2 \times 2$  بودن ماتریس سختی گرهی و تعداد گرههای کل مساله،  $N$ ، بعد ماتریس سختی کل برابر  $2N \times 2N$  می‌باشد.

$$\mathbf{K} = \begin{bmatrix} \mathbf{K}_{11} & \mathbf{K}_{12} & \cdots & \mathbf{K}_{1N} \\ \mathbf{K}_{21} & \mathbf{K}_{22} & \cdots & \mathbf{K}_{2N} \\ \vdots & \vdots & \ddots & \vdots \\ \mathbf{K}_{N1} & \mathbf{K}_{N2} & \cdots & \mathbf{K}_{NN} \end{bmatrix} \quad (20-2)$$

با در نظر گرفتن روابط فوق، فرم نهایی رابطه (16-2) بصورت زیر است.

$$\int_{\Omega} (\mathbf{L}\delta\mathbf{u})^T (\mathbf{D}\mathbf{L}\mathbf{u}) d\Omega = \delta\mathbf{U}^T \mathbf{K} \mathbf{U} \quad (21-2)$$

در این رابطه، بردار  $\mathbf{U}$  بردار تغییرمکان کل سیستم است و شامل تغییرمکانهای گرهی تمام گرههای مساله می‌باشد. بردار  $\mathbf{U}$ ،  $2N$  مولفه دارد.

$$\mathbf{U} = \begin{Bmatrix} \mathbf{u}_1 \\ \mathbf{u}_2 \\ \vdots \\ \mathbf{u}_N \end{Bmatrix} = \begin{Bmatrix} u_1 \\ v_1 \\ \vdots \\ u_N \\ v_N \end{Bmatrix} \quad (22-2)$$

عبارت دوم معادله (۴-۲) با جایگزینی رابطه (۹-۲) و استفاده از فرایند مشابه فرایند ماتریس سختی، بصورت زیر نمایش داده می‌شود.

$$\int_{\Omega} (\delta \mathbf{u})^T \mathbf{b} d\Omega = \int_{\Omega} \left( \delta \sum_I^n \boldsymbol{\Phi}_I \mathbf{u}_I \right)^T \mathbf{b} d\Omega \quad (23-2)$$

عبارت فوق با تغییر سیستم شماره‌گذاری محلی به سیستم شماره‌گذاری کل بصورت زیر نمایش داده می‌شود.

$$\int_{\Omega} (\delta \mathbf{u})^T \mathbf{b} d\Omega = \int_{\Omega} \left( \delta \sum_I^N \boldsymbol{\Phi}_I \mathbf{u}_I \right)^T \mathbf{b} d\Omega \quad (24-2)$$

با انتقال عملگر انتگرالگیری به داخل عملگر جمع، رابطه (۲۴-۲) بصورت زیر نوشته می‌شود.

$$\int_{\Omega} (\delta \mathbf{u})^T \mathbf{b} d\Omega = \sum_I^N \delta \mathbf{u}_I^T \int_{\Omega} \boldsymbol{\Phi}_I^T \mathbf{b} d\Omega \quad (25-2)$$

بردار نیروی کالبدی گرهی  $\mathbf{F}_I^{(b)}$  بصورت زیر تعریف می‌شود.

$$\mathbf{F}_I^b = \int_{\Omega} \boldsymbol{\Phi}_I^T \mathbf{b} d\Omega \quad (26-2)$$

که در آن،  $\mathbf{b}$  بردار نیروی کالبدی است. بسط عبارت سمت راست رابطه (۲۵-۲) فرم ماتریسی آنرا بصورت زیر نمایش می‌دهد.

$$\begin{aligned}
 \sum_I^N \delta \mathbf{u}_I^T \int_{\Omega} \Phi_I^T \mathbf{b} d\Omega &= \sum_I^N \delta \mathbf{u}_I^T \mathbf{F}_I^b \\
 &= \delta \mathbf{u}_1^T \mathbf{F}_1^b + \delta \mathbf{u}_2^T \mathbf{F}_2^b + \cdots + \delta \mathbf{u}_N^T \mathbf{F}_N^b \\
 &= \left\{ \delta \mathbf{u}_1^T \quad \cdots \quad \delta \mathbf{u}_N^T \right\}_{(1*2N)} \begin{Bmatrix} \mathbf{F}_1^b \\ \vdots \\ \mathbf{F}_N^b \end{Bmatrix}_{(2N*1)} \\
 &= \delta \mathbf{U}^T \mathbf{F}^b
 \end{aligned} \tag{27-۲}$$

در عبارت فوق،  $\mathbf{F}^{(b)}$  بردار نیروی کالبدی کل است که با مونتاژ بردارهای نیروی کالبدی گرهی بصورت زیر بدست می‌آید.

$$\mathbf{F}^b = \begin{Bmatrix} \mathbf{F}_1^b \\ \mathbf{F}_2^b \\ \vdots \\ \mathbf{F}_N^b \end{Bmatrix}_{(2N*1)} \tag{28-۲}$$

عبارت آخر معادله (۴-۲) با فرآیندی دقیقاً شبیه نیروی کالبدی - روابط (۲۳-۲) تا (۲۷-۲) بصورت زیر قابل بیان است. این عبارتها برای نیروهای خارجی محاسبه می‌شود و انتگرالگیری ناحیه‌ای با انتگرالگیری روی مرزهای طبیعی جایگزین می‌شود.

$$\int_{\Gamma_t} (\delta \mathbf{u})^T \bar{\mathbf{t}} d\Gamma = \sum_I^n \delta \mathbf{u}_I^T \int_{\Gamma_t} \Phi_I^T \bar{\mathbf{t}} d\Gamma = \delta \mathbf{U}^T \sum_I^N \int_{\Gamma_t} \Phi_I^T \bar{\mathbf{t}} d\Gamma = \delta \mathbf{U}^T \mathbf{F}^{(t)} \tag{29-۲}$$

بردار نیروی خارجی گرهی  $\mathbf{F}_I^{(t)}$ <sup>۱</sup> بصورت زیر تعریف می‌شود.

$$\mathbf{F}_I^{(t)} = \int_{\Gamma_t} \Phi_I^T \bar{\mathbf{t}} d\Gamma \tag{30-۲}$$

در معادله (۲۹-۲)،  $\mathbf{F}_I^{(t)}$  بردار نیروی خارجی کل است که با مونتاژ نیروهای خارجی گرهی  $\mathbf{F}^{(t)}$  بدست می‌آید.

<sup>1</sup> - nodal traction force

$$\mathbf{F}^t = \begin{Bmatrix} \mathbf{F}_1^t \\ \mathbf{F}_2^t \\ \vdots \\ \mathbf{F}_N^t \end{Bmatrix}_{(2N*1)} \quad (31-2)$$

با جایگزینی روابط (۲۱-۲)، (۲۷-۲) و (۲۹-۲) در معادله (۴-۲)، رابطه‌ی زیر بدست می‌آید.

$$\delta \mathbf{U}^T \mathbf{K} \mathbf{U} - \delta \mathbf{U}^T \mathbf{F}^{(b)} - \delta \mathbf{U}^T \mathbf{F}^{(t)} = 0 \quad (32-2)$$

چون مقدار  $\delta \mathbf{U}$  اختیاری است؛ معادله بالا هنگامی برقرار می‌شود که:

$$\mathbf{K} \mathbf{U} - \mathbf{F}^{(b)} - \mathbf{F}^{(t)} = 0 \quad (33-2)$$

یا

$$\mathbf{K} \mathbf{U} = \mathbf{F}^{(b)} + \mathbf{F}^{(t)} \quad (34-2)$$

معادله فوق را می‌توان بصورت زیر نمایش داد.

$$\mathbf{K} \mathbf{U} = \mathbf{F} \quad (34-2)$$

که در آن،  $\mathbf{F}$  بردار نیروی کل است و بصورت زیر تعریف می‌شود.

$$\mathbf{F} = \mathbf{F}^{(b)} + \mathbf{F}^{(t)} \quad (35-2)$$

رابطه‌ی (۳۴-۲) شکل نهایی معادلات گسسته سیستم در روش‌های بدون مش روی کل ناحیه حل است. پس از اعمال شرایط مرزی اساسی، حل معادله (۳۴-۲) تغییرمکانهای گرهی را می‌دهد. پس از محاسبه تغییرمکانهای گرهی یا پارامترهای گرهی، با استفاده از روابط (۱۱-۲) و (۱۳-۲) می‌توان مولفه‌های کرنش و تنش را بدست آورد.

### ۳-۲- ملاحظات عددی

### ۱-۳-۲- انتگرالگیری عددی

در بخش قبل، تمام انتگرالگیریها روی کل ناحیه حل  $\Omega$  و یا مرز ناحیه برای نیروی خارجی،  $\Gamma$  انجام شد. برای محاسبه انتگرالهای مذکور، کل ناحیه حل  $\Omega$  به مجموعه‌ی مناسبی از سلولهای زمینه شکسته می‌شود (مطابق شکل (۱-۲)). با این فرض، انتگرال روی ناحیه بصورت مجموعه‌ای از انتگرالها روی سلولهای زمینه بیان می‌شود.

$$\int_{\Omega} \mathbf{G} d\Omega = \sum_k^{n_c} \int_{\Omega_k} \mathbf{G} d\Omega \quad (36-2)$$

که در آن،  $n_c$  تعداد سلولهای شبکه‌بندی زمینه و  $n_g$  ناحیه انتگرالگیری سلول  $k$  است. برای انتگرالگیری عددی روی این سلولها از روش گوس-لژاندر<sup>۱</sup> استفاده می‌شود که معمولاً در روش المان محدود کاربرد دارد. اگر  $n_g$  تعداد نقاط گوسی باشد که در هر سلول در نظر گرفته می‌شود؛ معادله‌ی (۳۴-۲) بصورت زیر قابل نمایش است:

$$\int_{\Omega} \mathbf{G} d\Omega = \sum_k^{n_c} \int_{\Omega_k} \mathbf{G} d\Omega = \sum_k^{n_c} \sum_{i=1}^{n_g} \hat{w}_i \mathbf{G}(\mathbf{x}_{Q_i}) \left| \mathbf{J}_{ik}^D \right| \quad (37-2)$$

در این رابطه،  $\hat{w}_i$  فاکتور وزندار گوسی مربوط به نقطه گوسی آم ( $\mathbf{x}_{Q_i}$ ) و  $\mathbf{J}_{ik}^D$  ماتریس ژاکوبین ناحیه انتگرالگیری سلول  $k$  است که نقطه گوسی  $\mathbf{x}_{Q_i}$  در آن واقع شده است. بطور مشابه، انتگرالگیری عددی روی منحنی نیز با استفاده از روش گوس-لژاندر انجام می‌شود.

$$\int_{\Omega} \mathbf{G} d\Omega = \sum_l^{n_c} \int_{\Gamma_l} \mathbf{G} d\Gamma = \sum_l^{n_{ct}} \sum_{i=1}^{n_{gt}} \hat{w}_i \mathbf{G}(\mathbf{x}_{Q_i}) \left| \mathbf{J}_{il}^B \right| \quad (38-2)$$

---

<sup>۱</sup> - Gauss-Legendre quadrature

در این عبارت،  $\hat{w}_i$  ضریب وزندار گوسی مربوط به نقطه گوسی آم و  $\mathbf{L}$  ماتریس ژاکوبین انتگرال روی مسیر جزء منحنی آم برای نقطه گوسی  $\mathbf{x}_{Qi}$  و  $n_{ct}$  تعداد سلولهای منحنی (جزء منحنی) است که از شکستن مرز طبیعی  $\Gamma$  بدست می‌آید و  $n_{gt}$  تعداد نقاط گوسی است که برای هر جزء منحنی در نظر گرفته می‌شود. برای محاسبه ماتریس سختی گرهی  $\mathbf{K}$  بطور عددی، از رابطه‌ی انتگرالگیری عددی بصورت زیر استفاده می‌شود.

$$\mathbf{K}_{IJ} == \sum_k^{n_c} \sum_{i=1}^{n_g} \hat{w}_i \mathbf{B}_I^T(\mathbf{x}_{Qi}) \mathbf{D} \mathbf{B}_J(\mathbf{x}_{Qi}) \left| \mathbf{J}_{ik}^D \right| = \sum_k^{n_c} \sum_{i=1}^{n_g} (\mathbf{K}_{IJ}^{ik})_{(2*2)} \quad (39-2)$$

با توجه به رابطه بالا،  $\mathbf{K}_{IJ}^{ik}$  با عبارت زیر تعریف می‌شود.

$$\mathbf{K}_{IJ}^{ik} = \hat{w}_i \mathbf{B}_I^T(\mathbf{x}_{Qi}) \mathbf{D} \mathbf{B}_J(\mathbf{x}_{Qi}) \left| \mathbf{J}_{ik}^D \right| \quad (40-2)$$

در رابطه (40-2)،  $\mathbf{K}_{IJ}^{ik}$  یک ماتریس  $2 \times 2$  است. طبق معادله (39-2)، ماتریس گرهی  $\mathbf{K}$  از مجموع سهم تمام نقاط گوسی حاصل می‌شود که ناحیه تکیه‌گاهی محلی آنها شامل گرهای ۱ و ۲ می‌باشد. اگر گره ۱ یا گره ۲ در ناحیه تکیه‌گاهی محلی نقطه گوسی  $\mathbf{x}_{Qi}$  نباشد؛ مقدار  $\mathbf{K}_{IJ}^{ik}$  صفر است.

بطور مشابه، مقدار بردار نیروی کالبدی گرهی  $\mathbf{F}_I^{(b)}$  (رابطه (26-2)) بصورت زیر قابل محاسبه است.

$$\mathbf{F}_I^{(b)} == \sum_k^{n_c} \sum_{i=1}^{n_g} \hat{w}_i \mathbf{\Phi}_I^T(\mathbf{x}_{Qi}) \mathbf{b}(\mathbf{x}_{Qi}) \left| \mathbf{J}_{ik}^D \right| = \sum_k^{n_c} \sum_{i=1}^{n_g} \mathbf{F}_I^{ik(b)} \quad (41-2)$$

که در آن،  $\mathbf{F}_I^{ik(b)}$  دارای ۲ مولفه است و به شکل زیر تعریف می‌شود.

$$\mathbf{F}_I^{ik(b)} = \hat{w}_i \mathbf{\Phi}_I^T(\mathbf{x}_{Qi}) \mathbf{b}_I(\mathbf{x}_{Qi}) \left| \mathbf{J}_{ik}^D \right| \quad (42-2)$$

بردار نیروی خارجی گرهی  $\mathbf{F}_I^{(t)}$  (رابطه (30-2)) نیز با انتگرالگیری عددی محاسبه می‌شود.

$$\mathbf{F}_I^{(t)} == \sum_l^{n_{ct}} \sum_{i=1}^{n_{gt}} \hat{w}_i \mathbf{\Phi}_I^T(\mathbf{x}_{Qi}) \bar{\mathbf{t}}(\mathbf{x}_{Qi}) \left| \mathbf{J}_{il}^B \right| = \sum_l^{n_{ct}} \sum_{i=1}^{n_{gt}} \mathbf{F}_I^{il(t)} \quad (43-2)$$

در این عبارت،  $\mathbf{F}_I^{ik(t)}$  دو مولفه دارد و بصورت زیر تعریف می‌شود.

$$\mathbf{F}_I^{ik(t)} = \hat{w}_i \boldsymbol{\Phi}_I^T(\mathbf{x}_{Q_i}) \mathbf{b}_I(\mathbf{x}_{Q_i}) \Big| \mathbf{J}_{ik}^D \Big| \quad (44-2)$$

در روش‌های فرم ضعیف بدون مش که روی کل ناحیه تعریف می‌شوند؛ ماتریسها بر اساس نقاط گوسی مونتاژ می‌شوند. هر نقطه گوسی دارای ناحیه تکیه‌گاهی مخصوص بخود است و نقاط گوسی متفاوت دارای نواحی تکیه‌گاهی متفاوتی هستند و ممکن است گره‌های موجود در ناحیه تکیه‌گاهی دو نقطه گوسی یک سلول، یکسان نباشد. این بدین معناست که ماتریس تابع شکل  $\Phi$  و ماتریس کرنش  $\mathbf{B}$  ممکن است برای نقاط گوسی مختلف، مقادیر متفاوتی داشته باشند. این موضوع در روش المان محدود شکل دیگری دارد. در روش المان محدود برای تمام نقاط گوسی یک المان از گره‌های یکسانی (گره‌های المان مورد نظر) برای انجام میانیابی استفاده می‌شود.

انتگرالگیری عددی در روش‌های فرم ضعیف بدون مش، یکی از موضوعات مورد توجه می‌باشد و تحقیقات وسیعی در این زمینه انجام شده است [۵۷-۵۹]. از مطالعات اخیر دو نتیجه مهم قابل ذکر است:

۱- برای مسائل دوبعدی، تعداد نقاط گوسی که برای کل ناحیه در نظر گرفته می‌شود،  $n_0$  باید حداقل  $2/3$  تعداد گره‌های ناحیه حل  $N$  باشد [۶۰]. شرط فوق، یک شرط لازم است و لزوماً کافی نمی‌باشد

۲- انتخاب مناسب تعداد نقاط گوسی روی جنبه‌های عددی مساله مثل دقت و همگرایی موثر است. این موضوع با استفاده از مسائل مبنا بررسی شده است. طبق این بررسی‌ها در مسائل دوبعدی محدوده‌ای برای تعداد مناسب نقاط گوسی با توجه به تعداد گره‌های مساله ارائه شده است.

## ۲-۳-۲- خصوصیات ماتریس سختی

چون ماتریس خصوصیات ماده،  $D$ ، متقارن است؛ می‌توان نوشت:

$$(\mathbf{B}_I^T \mathbf{D} \mathbf{B}_J)^T = \mathbf{B}_J^T \mathbf{D} \mathbf{B}_I \quad (43-2)$$

رابطه‌ی فوق نشان می‌دهد؛ ماتریس سختی کل متقارن است.

$$\mathbf{K}_{IJ}^T = \mathbf{K}_{IJ} \quad (44-2)$$

ماتریس سختی کل با مونتاژ ماتریسهای متناظر گرهی بدست می‌آید. در این ماتریس، اگر حداقل یک نقطه گوسی وجود نداشته باشد که گرههای ۱ و ۲ در ناحیه تکیه‌گاهی آن قرار داشته باشند؛ هیچ نقطه گوسی مساله قرار نگیرند؛  $K_{IJ} = 0$ . بعارت دیگر، اگر گرههای ۱ و ۲ بقدرتی از هم فاصله داشته باشند که در ناحیه تکیه‌گاهی برای نقاط، محدود است و فضای وسیعی از ناحیه حل را در بر نمی‌گیرد؛ برای بسیاری از گرهها اگر گرهها بطور مناسب شماره‌گذاری شوند؛ ماتریس سختی کل  $\mathbf{K}$  دارای درایه‌های صفر متعددی باشد (sparse باشد). که باعث می‌شود ماتریس سختی کل  $\mathbf{K}$  بانددار نیز خواهد بود.

## ۴-۲- فرمولبندی مسائل الاستیسیته در روش بدون المان گلرکین مقید<sup>۱</sup>

### ۱-۳-۲- فرمولبندی روابط EFG

یک مساله دوبعدی مکانیک جامدات در ناحیه  $\Omega$  و محصور به مرز  $\Gamma$  درنظر گرفته می‌شود. فرم قوی<sup>۲</sup> معادلات حاکم در روابط (۱-۲) تا (۴-۲) آمده است. در روش بدون المان گلرکین برای ساخت توابع شکل ، از تقریب حداقل مربعات متحرک (MLS) استفاده می‌شود. چون تقریب MLS قادر خاصیت

<sup>1</sup> - Constrained-EFG

<sup>2</sup> - strong form

تابع دلتای کرونکر است؛ برای اعمال شرایط مرزی اساسی در فرم ضعیف، از روش گلرگین مقید

بصورت زیر استفاده می‌شود:

$$\int_{\Omega} \delta(\mathbf{L}\mathbf{u})^T \mathbf{D}(\mathbf{L}\mathbf{u}) d\Omega - \int_{\Omega} \delta\mathbf{u}^T \mathbf{b} d\Omega - \int_{\Gamma} \delta\mathbf{u}^T \bar{\mathbf{t}} d\Gamma - \delta W_u = 0 \quad (45-2)$$

که در آن، عبارت آخر بمنظور اعمال شرایط مرزی اساسی در نظر گرفته شده است. روش‌های مختلفی برای اعمال شرایط مرزی اساسی بکار برده شده است که به دو روش مرسوم اشاره می‌شود.

#### الف- روش پنالتی

روش پنالتی ساده‌ترین روش اعمال شرایط مرزی اساسی است. در این روش،  $W$  بصورت زیر در نظر گرفته می‌شود.

$$W_u = \frac{1}{2} (\mathbf{u} - \bar{\mathbf{u}})^T \boldsymbol{\alpha} (\mathbf{u} - \bar{\mathbf{u}}) \quad (46-2)$$

که در آن،  $\boldsymbol{\alpha} = [\alpha_1 \ \dots \ \alpha_k]$  ماتریس قطری فاکتورهای پنالتی است. برای مسایل دوبعدی  $k=2$  و برای مسایل سه‌بعدی  $k=3$  می‌باشد. توابع پنالتی  $\alpha_i (i=1,2,\dots,k)$  می‌توانند تابع مختصه‌های مکانی باشند و لزوماً باهم برابر نیستند. در عمل، این فاکتورها بصورت اعداد مثبت بزرگی در نظر گرفته می‌شوند که قبل از شروع تحلیل باید مقدار آنها معلوم شود. در استفاده از روش بدون المان گلرکین، سازگاری تابع شکل روی کل ناحیه حل با انتخاب مناسب توابع وزنی در تقریب MLS تامین می‌شود. بدین جهت، برای تامین سازگاری عبارت مقید در فرم ضعیف (45-2) لازم نیست.

در این روش، توابع شکل با استفاده از گره‌های ناحیه تکیه‌گاهی و تقریب MLS ساخته می‌شود و میدان تغییرمکان (متغیر میدان) با کاربرد توابع شکل و پارامترهای گرهی بصورت زیر تخمین زده می‌شود:

$$\mathbf{u}_{2^*1}^h = \begin{Bmatrix} u \\ v \end{Bmatrix} = \begin{bmatrix} \phi_1 & 0 & \cdots & \phi_n & 0 \\ 0 & \phi_1 & \cdots & 0 & \phi_n \end{bmatrix} \begin{Bmatrix} u_1 \\ v_1 \\ \vdots \\ u_n \\ v_n \end{Bmatrix} = \Phi_{(2^*2n)} \mathbf{u}_{(2n^*)1} \quad (47-2)$$

در عبارت فوق،  $\Phi$  ماتریس توابع شکل است و دارای فرم زیر می‌باشد.

$$\Phi = \begin{bmatrix} \phi_1 & 0 & \cdots & \phi_n & 0 \\ 0 & \phi_1 & \cdots & 0 & \phi_n \end{bmatrix} \quad (48-2)$$

در معادله (47-2) برای گره  $\text{ا}\text{م}_1$  و  $\text{ا}\text{م}_2$  پارامترهای تغییرمکان هستند و مقدار آنها با تغییرمکان گره‌ها تفاوت دارد (شکل ۲-۲). چون توابع شکل MLS قادر خاصیت تابع دلتای کرونکر هستند؛ با جایگزینی عبارت فوق در معادله فرم ضعیف (45-۲) و اعمال فرآیندی دقیقاً شبیه آنچه در بخش (۲-۲) طی شد؛ معادلات گسسته سیستم با روش بدون المان گلرگین بصورت زیر بدست می‌آید:

$$(\mathbf{K} + \mathbf{K}^\alpha) \mathbf{U} = \mathbf{F} + \mathbf{F}^\alpha \quad (49-2)$$

در این عبارت،  $\mathbf{U}$  بردار پارامترهای گرهی تمام گره‌های ناحیه حل،  $\mathbf{K}$  ماتریس سختی کل است که از مونتاژ ماتریسهای سختی گرهی بدست می‌آید و  $\mathbf{F}$  بردار نیروی خارجی کل است که با مونتاژ بردارهای نیروی گرهی حاصل می‌شود، مطابق معادلات (۲۳-۲) و (۲۷-۲)، ماتریس جدید  $\mathbf{K}^\alpha$  ماتریس سختی پنالتی کل است. این ماتریس مانند ماتریس سختی کل از مونتاژ ماتریسهای سختی پنالتی گره‌ها، درست با همان روش، بدست می‌آید.

$$\mathbf{K}_{IJ}^\alpha = \int_{\Gamma_u} \Phi_I^T \mathbf{a} \Phi_J d\Gamma \quad (50-2)$$

ماتریس  $\mathbf{K}_{IJ}^\alpha$ ، یک ماتریس  $2 \times 2$  است. در رابطه (۴۹-۲)، بردار نیروی  $\mathbf{F}^\alpha$  بخاطر شرایط مرزی اساسی ایجاد می‌شود. این بردار با روش مشابه روش مونتاژ بردار نیروی  $\mathbf{F}$  و با کاربرد بردار نیروی پنالتی گرهی  $\mathbf{F}_I^\alpha$  بدست می‌آید. بردار نیروی پنالتی گرهی بصورت زیر تعریف می‌شود:

$$\mathbf{F}_I^\alpha = \int_{\Gamma_u} \Phi_I^T \alpha \bar{\mathbf{u}} d\Gamma \quad (51-2)$$

شبیه معادلات (۳۷-۲) و (۴۱-۲)، انتگرالگیری ماتریس سختی پنالتی و بردار نیروی پنالتی با استفاده از روش‌های استاندارد انتگرالگیری عددی انجام می‌شود. البته انتگرالگیریهای اخیر، روابط (۴۹-۲) و (۵۰-۲)، برای مسایل دوبعدی بصورت انتگرال خطی است که روی مرزهای شرط اساسی صورت می‌گیرد. بنابراین، در ماتریس  $\mathbf{K}^\alpha$  فقط برای گرههای نزدیک به مرزهای اساسی  $\Gamma_u$  نقش دارند که در ناحیه تکیه‌گاهی نقاط گوسی واقع بر  $\Gamma_u$  قرار می‌گیرند. معادله (۴۹-۲) شکل نهایی معادله سیستم گسسته روش بدون المان گلرکین است که در آن با استفاده از روش پنالتی، شرایط مرزی اساسی اعمال می‌شود. ماتریسهای سختی  $\mathbf{K}$  و  $\mathbf{K}^\alpha$  که با فرآیند بدون المان گلرکین بدست می‌آیند، ماتریسهای متقارن هستند. اگر شرایط مرزی مساله، با فرض جلوگیری از حرکت صلب جسم، ماتریس  $\mathbf{K} + \mathbf{K}^\alpha$ ، مثبت معین<sup>۱</sup> است. بنابراین می‌توان از روش‌های متعارف حل دستگاه معادلات جبری خطی برای حل دستگاه معادلات (۴۹-۲) استفاده نمود و پارامترهای تغییرمکان گرهی را بدست آورد. در این بخش، در روابط بدون المان گلرکین از روش پنالتی برای اعمال شرایط مرزی اساسی استفاده شد. با کاربرد این روش خصوصیات ماتریس سختی مثل تقارن، ابعاد و مثبت معین بودن، با در نظر گرفتن فاکتورهای پنالتی مثبت، حفظ می‌شود. علاوه بر این، تقارن و بانددار بودن ماتریس سیستم حفظ می‌شود (دستگاه معادلات (۴۸-۲)).

علی‌رغم مزایای فوق، روش پنالتی دارای نقص‌هایی نیز می‌باشد:

<sup>۱</sup> - positive definite

۱- بسته به بزرگی فاکتورهای پنالتی، شرایط مرزی اساسی بطور تقریبی ارضا می‌شوند. از نظر تئوری، انتخاب مقادیر بزرگتر فاکتورهای پنالتی، اراضی دقیق‌تر شرایط مرزی اساسی را در پی دارد؛ اما انتخاب مقادیر بسیار بزرگ این فاکتورها باعث ایجاد مشکلات عددی در حل دستگاه معادلات می‌شود.

۲- ارائه روشی برای انتخاب مجموع فاکتورهای پنالتی مناسب برای تمام انواع مسایل مشکل است. برای انتخاب مناسب فاکتورهای پنالتی نیاز به فرآیند سعی و خطا می‌باشد.

۳- بطور کلی، نتایج حاصل از کاربرد این روش از دقت کمتری نسبت به روش ضرایب لاغرانژ برخوردار است.

علی‌رغم نقص‌های فوق، روش پنالتی بدلیل سادگی بطور گسترده استفاده می‌شود. در تحلیل مسایل هدایت گرمایی گذرا به روش تجزیه مودی، این روش بکار گرفته شده است.

### ب- روش ضرایب لاغرانژ

با اینکه روش پنالتی یک روش موثر و متداول برای اراضی شرایط مرزی بشمار می‌رود [۶۱]. روش‌های دیگری برای اعمال شرایط مرزی اساسی و رفع نقص‌های روش پنالتی ارائه شده است. برخی از این روش‌ها به شرح زیر می‌باشند:

- روش ضرایب لاغرانژ [۳۷].
- روش تبدیل ارتونگال [۶۲]
- استفاده از اصل تغییراتی اصلاح شده [۳۹]
- استفاده از کوپل EFM / EFG [۶۳]
- روش MLS مقید [۶۴].

### ۲-۵- توابع شکل حداقل مربعات متحرک (MLS)

مهمترین تفاوت روش بدون المان گلرکین و روش المان محدود در ساختن توابع شکل است. در این بخش، فرآیند محاسبه توابع شکل در روش بدون المان گلرکین به تفصیل بیان شده است.

در ابتدا تقریب حداقل مربعات متحرک (MLS) توسط ریاضیدانان برای برآش منحنی و سطح پیشنهاد شد [۶۵] و [۶۶]. در این روش، توابع با استفاده از تکنیک سریها نمایش داده می‌شوند. امروزه تقریب در روشهای بدون مش برای ساخت توابع شکل بطور گسترده بکار برده می‌شود.

## ۱-۵-۲- فرمولبندی توابع شکل MLS

اگر  $u$  یک تابع اسکالر مجھول از بردار متغیر میدان  $\mathbf{x}$  در ناحیه‌ی حل  $\Omega$  باشد؛ تقریب MLS را می‌توان بصورت زیر تعریف کرد [۶۷]:

$$u^h(\mathbf{x}) = \sum_{j=1}^m p_j(\mathbf{x}) a_j(\mathbf{x}) = \mathbf{p}^T(\mathbf{x}) \mathbf{a}(\mathbf{x}) \quad (52-2)$$

که در آن،  $\mathbf{p}(\mathbf{x})$  بردار توابع پایه بر حسب مختصه‌های مکانی  $\mathbf{x}^T = [x_1 \ x_2]$  برای مسائل دوبعدی - است،  $m$  نیز تعداد توابع پایه است. غالباً مجموعه توابع پایه با استفاده از یک جمله‌ایهای مثلث خیام - پاسکال ساخته می‌شود تا حداقل مرتبه‌ی کامل بودن<sup>۱</sup> را داشته باشد. در برخی مسایل خاص مثل مسائل مکانیک شکست، که تقریب چندجمله‌ای متغیر میدان دقت قابل قبولی ندارد؛ یکسری توابع دیگر به پایه‌ها اضافه می‌شود تا کار کرد تقریب MLS در آن مساله بهبود یابد. در معادله (۵۲-۲)،  $\mathbf{a}(\mathbf{x})$  به پایه‌ها اضافه می‌شود تا کار کرد تقریب MLS در آن مساله بهبود یابد. در نظر گرفته می‌شود.

$$\mathbf{a}^T(\mathbf{x}) = \{a^1(\mathbf{x}) \ a^2(\mathbf{x}) \ \dots \ a^m(\mathbf{x})\} \quad (52-2)$$

---

<sup>۱</sup> - completeness

در بردار ضرایب، مولفه‌های  $\mathbf{a}(x)$  تابع مختصه‌های مکانی  $\mathbf{x}$  هستند. این ضرایب را می‌توان با کمینه کردن نرم گسسته و وزندار  $J$  محاسبه نمود.

$$J = \sum_{i=1}^n \hat{W}(\mathbf{x} - \mathbf{x}_i) [\mathbf{p}^T(x_i) \mathbf{a}(x) - u_i] \quad (53-2)$$

که در آن،  $n$  تعداد گرهایی است که در ناحیه تکیه‌گاهی نقطه  $\mathbf{x}$  قرار دارند و دارای تابع وزنی غیرصفر می‌باشند  $\hat{W}(\mathbf{x} - \mathbf{x}_i) \neq 0$ .  $\mathbf{u}$  نیز پارامترهای گرهی یا مقدار تابع مجهول  $\mathbf{u}$  در  $\mathbf{x} = \mathbf{x}_i$  است. معادله (53-2) یک تابع یا باقیمانده وزنداری است که با استفاده از مقادیر تقریبی و پارامترهای گرهی تابع مجهول  $\mathbf{u}$  ساخته شده است. چون در اغلب موارد، تعداد گرهها  $n$ ، که در تقریب MLS بکار می‌رود، بسیار بیشتر از تعداد ضرایب مجهول  $m$ ، است؛ مقدار اکسترمم  $J$  نسبت به  $\mathbf{a}(x)$  برابر است با:

$$\partial J / \partial \mathbf{a} = 0 \quad (54-2)$$

رابطه فوق منجر به یک دستگاه معادلات جبری خطی بصورت زیر می‌شود.

$$\mathbf{A}(\mathbf{x}) \mathbf{a}(\mathbf{x}) = \mathbf{B}(\mathbf{x}) \mathbf{U}_s \quad (55-2)$$

که در آن،  $\mathbf{U}_s$  برداری شامل مقادیر گرهی تابع مجهول (پارامترهای گرهی) برای تمام گرههای موجود در ناحیه تکیه‌گاهی است.

$$\mathbf{U}_s = \{\mathbf{u}_1 \ \mathbf{u}_2 \ \dots \ \mathbf{u}_n\} \quad (56-2)$$

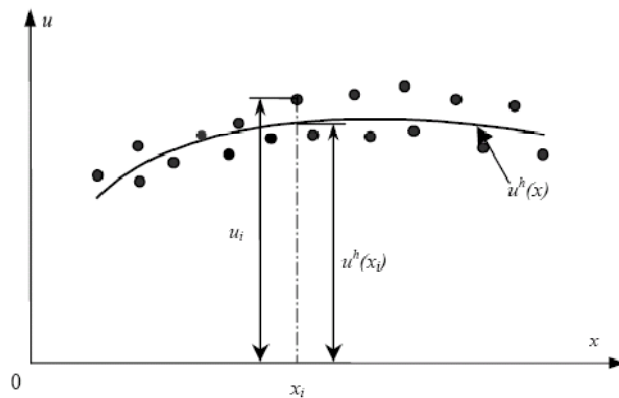
و  $\mathbf{A}(\mathbf{x})$  ماتریس وزندار ضرایب است.

$$\mathbf{A}(\mathbf{x}) = \sum_{i=1}^n \hat{W}_i(\mathbf{x}) \mathbf{p}(\mathbf{x}_i) \mathbf{p}^T(\mathbf{x}_i) \quad (57-2)$$

که در آن،

$$\hat{W}_i(\mathbf{x}) = \hat{W}(\mathbf{x} - \mathbf{x}_i) \quad (58-2)$$

در شکل (۲-۲) پارامترهای گرهی  $u_i$  و تابع تقریبی  $u^h(x)$  نشان داده است که  $u^h(x)$  با استفاده از فرایند MLS بدست آمده است. همانطور که در شکل مشاهده می‌شود، در گره‌ها مقدار پارامترهای گرهی و تابع تقریب حاصل از MLS یکسان نیست.



شکل ۲-۲- پارامترهای گرهی  $u_i$  و تابع تقریبی  $u^h(x)$  حاصل از فرایند MLS

برای یک مساله دوبعدی و با استفاده از پایه‌های خطی ( $m=3$ )، یک ماتریس  $3 \times 3$  و متقارن

است که بصورت زیر نوشته می‌شود:

$$\begin{aligned}
 \mathbf{A}_{3*3}(\mathbf{x}) &= \sum_{i=1}^n \hat{W}_i(\mathbf{x}) \mathbf{p}(\mathbf{x}_i) \mathbf{p}^T(\mathbf{x}_i) \\
 &= \hat{W}(\mathbf{x} - \mathbf{x}_1) \begin{bmatrix} 1 & x_1 & y_1 \\ x_1 & x_1^2 & x_1 y_1 \\ y_1 & x_1 y_1 & y_1^2 \end{bmatrix} + \hat{W}(\mathbf{x} - \mathbf{x}_2) \begin{bmatrix} 1 & x_2 & y_2 \\ x_2 & x_2^2 & x_2 y_2 \\ y_2 & x_2 y_2 & y_2^2 \end{bmatrix} \\
 &\quad + \dots + \hat{W}(\mathbf{x} - \mathbf{x}_n) \begin{bmatrix} 1 & x_n & y_n \\ x_n & x_n^2 & x_n y_n \\ y_n & x_n y_n & y_n^2 \end{bmatrix} \tag{۵۹-۲} \\
 &= \begin{bmatrix} \sum_{i=1}^n \hat{W}_i & \sum_{i=1}^n x_i \hat{W}_i & \sum_{i=1}^n y_i \hat{W}_i \\ \sum_{i=1}^n x_i \hat{W}_i & \sum_{i=1}^n x_i^2 \hat{W}_i & \sum_{i=1}^n x_i y_i \hat{W}_i \\ \sum_{i=1}^n y_i \hat{W}_i & \sum_{i=1}^n x_i y_i \hat{W}_i & \sum_{i=1}^n y_i^2 \hat{W}_i \end{bmatrix}_{3*3}
 \end{aligned}$$

در معادله‌ی (۵۵-۲)، ماتریس  $\mathbf{B}$  بصورت زیر تعریف می‌شود.

$$\mathbf{B}(\mathbf{x}) = [\hat{W}(\mathbf{x} - \mathbf{x}_1)\mathbf{p}(\mathbf{x}_1) \quad \hat{W}(\mathbf{x} - \mathbf{x}_2)\mathbf{p}(\mathbf{x}_2) \quad \dots \quad \hat{W}(\mathbf{x} - \mathbf{x}_n)\mathbf{p}(\mathbf{x}_n)] \quad (60-2)$$

که برای پایه‌های خطی، یک ماتریس  $n \times n$  است و بسط آن بصورت زیر نمایش داده می‌شود؛

$$B_{3 \times n}(x) = \begin{bmatrix} \hat{W}(x - x_1) \begin{bmatrix} 1 \\ x_1 \\ y_1 \end{bmatrix} & \hat{W}(x - x_2) \begin{bmatrix} 1 \\ x_2 \\ y_2 \end{bmatrix} & \dots & \hat{W}(x - x_n) \begin{bmatrix} 1 \\ x_n \\ y_n \end{bmatrix} \end{bmatrix} \quad (61-2)$$

با حل معادله (۵۵-۲) می‌توان ضرایب مجهول را بصورت زیر یافت.

$$\mathbf{a}(\mathbf{x}) = \mathbf{A}^{-1}(\mathbf{x}) \mathbf{B}(\mathbf{x}) \mathbf{U}_s \quad (62-2)$$

با جایگزینی رابطه بالا در معادله (۵۱-۲)، تقریب تابع مجهول بدست می‌آید

$$u^h(\mathbf{x}) = \sum_{i=1}^n \phi_i(\mathbf{x}) u_i = \Phi^T(\mathbf{x}) \mathbf{U}_s \quad (63-2)$$

در این رابطه،  $\Phi(\mathbf{x})$  بردار توابع شکل MLS متضاظر با  $n$  گره واقع در ناحیه تکیه‌گاهی نقطه  $\mathbf{x}$  است و

بصورت زیر نوشته می‌شود:

$$\Phi^T(\mathbf{x}) = \{\phi_1(\mathbf{x}) \quad \phi_2(\mathbf{x}) \quad \dots \quad \phi_n(\mathbf{x})\} = \mathbf{p}^T(\mathbf{x}) \mathbf{A}^{-1}(\mathbf{x}) \mathbf{B}(\mathbf{x}) \quad (64-2)$$

تابع شکل برای گره آم بصورت زیر تعریف می‌شود.

$$\phi_i(x) = \sum_{j=1}^m p_j(\mathbf{x}) (\mathbf{A}^{-1}(\mathbf{x}) \mathbf{B}(\mathbf{x}))_{ji} = \mathbf{p}^T(\mathbf{x}) (\mathbf{A}^{-1} \mathbf{B})_i \quad (65-2)$$

در تقریب MLS، بردار ضرایب  $a$  توابعی از  $x$  هستند که بموجب آن امکان حرکت پیوسته تقریب حداقل

مربعات وزندار را فراهم می‌آورد. این حرکت پیوسته باعث می‌شود - با انتخاب مناسب توابع وزنی - تابع

شکل MLS روی کل دامنه پیوسته باشد.

برای محاسبه مشتقات نسبی توابع شکل، بهتر است رابطه آن بصورت زیر نوشته شود. در

شکل جدید روابط، برای محاسبه تابع شکل  $\Phi$  و مشتقات آن نیازی به محاسبه  $\mathbf{A}^{-1}$  و مشتقات  $\mathbf{A}^{-1}$  نمی‌باشد. محاسبه  $\mathbf{A}^{-1}$  بطور عددی بسیار وقت‌گیر است و باعث ایجاد خطأ در محاسبات می‌شود [۳۸].

$$\Phi^T(\mathbf{x}) = \boldsymbol{\gamma}^T(\mathbf{x})\mathbf{B}(\mathbf{x}) \quad (66-2)$$

که در آن

$$\boldsymbol{\gamma}^T = \mathbf{p}^T \mathbf{A}^{-1} \quad (67-2)$$

از آنجایی که  $\mathbf{A}$  متقارن است، معادله بالا را بصورت زیر می‌توان نوشت.

$$\mathbf{A}\boldsymbol{\gamma} = \mathbf{p} \quad (68-2)$$

با استفاده از رابطه‌ی فوق می‌توان مشتقات نسبی متغیر  $\boldsymbol{\gamma}$  را بدست آورد.

$$\begin{aligned} \mathbf{A}\boldsymbol{\gamma}_{,i} &= \mathbf{p}_{,i} - \mathbf{A}_{,i}\boldsymbol{\gamma} \\ \mathbf{A}\boldsymbol{\gamma}_{,ij} &= \mathbf{p}_{,ij} - (\mathbf{A}_{,i}\boldsymbol{\gamma}_{,j} + \mathbf{A}_{,j}\boldsymbol{\gamma}_{,i} + \mathbf{A}_{,ij}\boldsymbol{\gamma}) \\ \mathbf{A}\boldsymbol{\gamma}_{,ijk} &= \mathbf{p}_{,ijk} - (\mathbf{A}_{,ik}\boldsymbol{\gamma}_{,j} + \mathbf{A}_{,j}\boldsymbol{\gamma}_{,ik} + \mathbf{A}_{,jk}\boldsymbol{\gamma}_{,i} + \mathbf{A}_{,i}\boldsymbol{\gamma}_{,jk} + \mathbf{A}_{,ij}\boldsymbol{\gamma}_{,k} + \mathbf{A}_{,k}\boldsymbol{\gamma}_{,ij}) \end{aligned} \quad (69-2)$$

در روابط بالا،  $\alpha_j$  و  $\alpha_k$  نماد مختصه‌های  $x$  و  $y$  و  $z$  (کاما) هستند.

مختصه‌های فضایی اندیسی است. با محاسبه  $\boldsymbol{\gamma}_{,ij}$ ،  $\boldsymbol{\gamma}_{,ij}$  و  $\boldsymbol{\gamma}_{,ijk}$  با استفاده از روابط (۶۷-۲) می‌توان

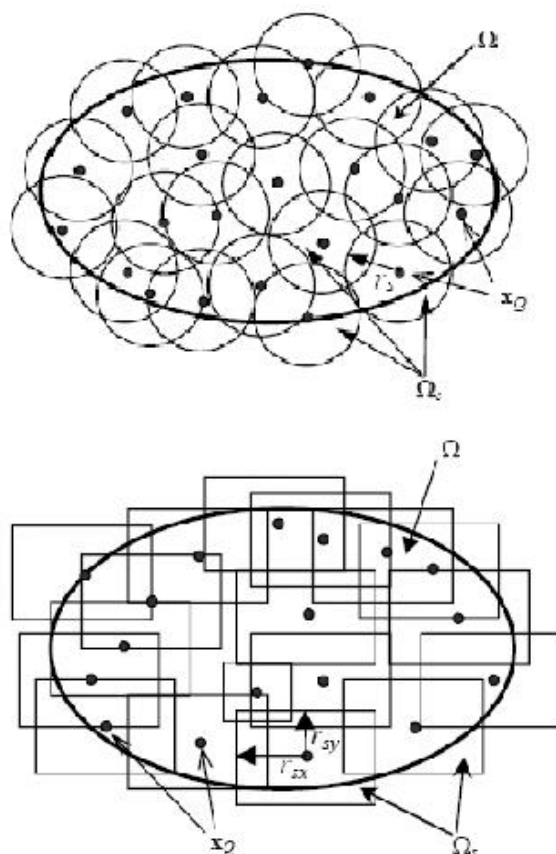
مشتقات جزئی تابع شکل  $\Phi$  را با عبارات زیر بیان کرد.

$$\begin{aligned} \Phi_{,i}^T &= \boldsymbol{\gamma}_{,i}^T \mathbf{B} + \boldsymbol{\gamma}^T \mathbf{B}_{,i} \\ \Phi_{,ij}^T &= \boldsymbol{\gamma}_{,ij}^T \mathbf{B} + \boldsymbol{\gamma}_{,i}^T \mathbf{B}_{,j} + \boldsymbol{\gamma}_{,j}^T \mathbf{B}_{,i} + \boldsymbol{\gamma}^T \mathbf{B}_{,ij} \\ \Phi_{,ijk}^T &= \boldsymbol{\gamma}_{,ijk}^T \mathbf{B} + \boldsymbol{\gamma}_{,ik}^T \mathbf{B}_{,j} + \boldsymbol{\gamma}_{,jk}^T \mathbf{B}_{,i} + \boldsymbol{\gamma}_{,i}^T \mathbf{B}_{,jk} + \boldsymbol{\gamma}_{,j}^T \mathbf{B}_{,ik} + \boldsymbol{\gamma}_{,k}^T \mathbf{B}_{,ij} \end{aligned} \quad (70-2)$$

برای تقریب MLS در نقطه مورد نظر، یک ناحیه تکیه‌گاهی مطابق شکل (۳-۲) ساخته می‌شود.

گره‌هایی که در این ناحیه تکیه‌گاهی قرار می‌گیرند؛ برای تشکیل تقریب MLSتابع مجھول در این

نقطه بکار می‌روند.



شکل ۳-۲- نمایش ناحیه تکیه‌گاهی نقطه  $x_Q$  بالا: ناحیه تکیه‌گاهی دایره‌ای باشعاع  $r_Q$  پایین: ناحیه تکیه‌گاهی مستطیلی با ابعاد  $[r_{sx} \ r_{sy}]$  در جهت  $x_1$  و  $x_2$

اندازه‌ی ناحیه تکیه‌گاهی باید بقدری باشد که تعداد گره‌های موجود در آن، برای معکوس پذیر بودن ماتریس  $A$  در رابطه‌ی (۶۲-۲) کافی باشد تا پایداری میانیابی برقرار شود. انتخاب تعداد گره‌ها، به توزیع گره‌ها و تعداد تابعهای پایه  $m$ ، بستگی دارد. بمنظور اطمینان از وجود معکوس  $A$  و خوش‌رفتار بودن ماتریس  $A$  معمولاً شرط  $n >> m$  در نظر گرفته می‌شود. متاسفانه بهترین مقدار تئوری  $n$  در دسترس نمی‌باشد و باید با سعی و خطأ و محاسبات عددی بدست آید.

## ۲-۵-۲- انتخاب تابع وزنی

معادله‌ی (۸۲-۲) نشان می‌دهد؛ پیوستگی تابع شکل MLS، به پیوستگی تابع پایه  $p$  و هموار بودن ماتریس‌های  $A$  و  $B$  بستگی دارد. هموار بودن تابع وزنی نیز روی شرط دوم (همواری  $A$  و  $B$ ) موثر است. بنابراین تابع وزنی نقش مهمی در کارکرد تقریب MLS ایفاء می‌کند. در مطالعاتی که تاکنون انجام شده است؛ شرایط عمومی زیر برای تابع وزنی در نظر گرفته می‌شود:

- مثبت بودن تابع وزنی در تمام ناحیه تکیه‌گاهی  $(\hat{W}(\mathbf{x} - \mathbf{x}_i) > 0)$ .
- صفر بودن تابع وزنی خارج از ناحیه تکیه‌گاهی  $(\hat{W}(\mathbf{x} - \mathbf{x}_i) = 0)$ .
- دارای تغییرات بطور یکنوا کاهاشی از نقطه‌ی موردنظر  $\mathbf{x}$  (مرکز ناحیه تکیه‌گاهی).
- بقدر کافی هموار، بخصوص روی مرز ناحیه تکیه‌گاهی،  $\Omega$ .

شرط چهارم ورود و خروج هموار گره‌ها به ناحیه تکیه‌گاهی را برای حرکت این ناحیه تضمین می‌کند که باعث ایجاد سازگاری تابع شکل MLS روی تمام ناحیه حل می‌شود. گذشته از چهار شرط فوق، انتخاب تابع وزنی کم و بیش اختیاری است. در مسائل عملی اغلب از توابع نمایی و یا توابع اسپیلاین<sup>۱</sup> استفاده می‌شود.

## ۲-۶- انتقال حرارت در پیوستار جامد

انتقال حرارت در اجسام جامد بصورت هدایت گرمایی<sup>۲</sup> است. قانون اول ترمودینامیک و قانون هدایت گرمایی فوریه، معادلات حاکم بر توزیع دما در جامدات می‌باشند [۶۹ و ۶۸]. قانون اول ترمودینامیک تعادل انرژی گرمایی در یک پیوستار جامد را بصورت زیر بیان می‌کند.

---

<sup>1</sup> - spline

<sup>2</sup> - heat conduction

$$-\nabla \cdot \mathbf{q} + Q = \rho c \frac{\partial T}{\partial t} \quad (71-2)$$

که در آن،  $\mathbf{q}$  بردار شار حرارتی،  $Q$  نرخ تولید انرژی داخلی در پیوستار در واحد حجم و در زمان واحد،  $T$  میدان اسکار دمای مطلق،  $\rho$  چگالی جرمی و  $c$  حرارت ویژه جامد است. قانون تجربی هدایت گرمایی فوریه در یک جامد غیرهمسانگرد<sup>۱</sup> مولفه‌های بردار شار حرارتی را به گرادیانهای دما مربوط می‌کند.

$$\mathbf{q} = -\mathbf{k} \nabla T \quad (72-2)$$

در این عبارت،  $\mathbf{k}$  بردار ثابت‌های هدایت گرمایی برای یک جامد غیرهمسانگرد است. در حالت کلی، مولفه‌های ماتریس  $\mathbf{k}$  تابع دما می‌باشد؛ اما برای گستره کم دمایی، می‌توان این ضرایب را با تقریب قابل قبولی مستقل از دما و ثابت فرض نمود. بردار شار حرارتی  $\mathbf{q}$  و ماتریس هدایت گرمایی  $\mathbf{k}$  بصورت زیر تعریف می‌شوند.

$$\mathbf{q} = \begin{Bmatrix} q_x \\ q_y \\ q_z \end{Bmatrix} \quad (73-2)$$

$$\mathbf{k} = \begin{bmatrix} k_{xx} & k_{xy} & k_{xz} \\ k_{yx} & k_{yy} & k_{yz} \\ k_{zx} & k_{zy} & k_{zz} \end{bmatrix} \quad (74-2)$$

با جایگزینی روابط شار حرارتی (72-2) در معادله تعادل گرمایی (71-2)، معادله حاکم بر توزیع دما در یک پیوستار جامد طی فرایند هدایت گرمایی بدست می‌آید.

شرط اولیه معادله حاکم به صورت زیر است:

<sup>1</sup>- anisotropic

$$T(x,y,z,0)=T_0(x,y,z) \quad \text{in} \quad t=0 \quad (75-2)$$

شرایط مرزی نیز به صورت یکی یا ترکیبی از شرایط زیر است:

۱- دمای سطح  $S_1$  طی فرایند انتقال گرما معلوم و برابر  $T_s$  باشد:

$$T(x,y,z,t)=T_s \quad \text{on} \quad S_1 \quad \& \quad t>0 \quad (76-2)$$

۲- شار حرارتی منتقل شده از سطح  $S_2$  طی فرایند انتقال دما

$$\text{on} \quad S_2 - q \cdot n = q'' \quad \& \quad t>0 \quad (77-2)$$

که در آن،  $n$  بردار یکه عمود بر سطح در هر نقطه از  $S_2$  می‌باشد.

۳- روی سطح  $S_3$  جامد با سیالی به صورت همرفت تبادل گرما داشته باشد.

$$\text{on} \quad S_3 - q \cdot n + h(T - T_\infty) = 0 \quad (78-2)$$

در این عبارت،  $h$  ضریب همرفت و  $T_\infty$  دمای محیط است.

۴- سطح  $S_4$  در معرض تابش قرار داشته باشد.

$$\text{on} \quad S_4 \quad \& \quad t>0 - q \cdot n + \sigma \epsilon T^4 = \alpha q_r \quad (79-2)$$

در این عبارت،  $\sigma$  ثابت استفان-بولتزمن<sup>۱</sup>،  $\epsilon$  ثابت تابش سطح مرزی،  $\alpha$  ضریب جذب سطح مرزی و  $q_r$

نرخ شار حرارتی واحد سطح است که به سطح مرزی می‌رسد.

## ۷-۲- حل عددی معادله هدایت گرمایی

---

<sup>۱</sup> - Steffan-Boltzman

در این بخش، فرمولبندی مسایل هدایت گرمایی در پیوستار جامد با استفاده از روش باقیمانده وزنی گلرکین مورد بحث قرار می‌گیرد. فرم گسسته معادلات حاکم بر هدایت گرمایی و قابلیتهای این روش برای اعمال شرایط مرزی مختلف نیز بررسی می‌شود.

با استفاده از تقریب کنترویچ<sup>۱</sup> می‌توان فضای زمان و مکان را برای میدان دما از یکدیگر تفکیک نمود [۷۰].

$$T(x, y, z, t) = \theta(x, y, z)\bar{T}(t) \quad (80-2)$$

در هر نقطه از ناحیه حل، دما با استفاده از پارامترهای گرهی<sup>۲</sup> گرههای ناحیه تکیه‌گاهی مربوط به نقطه مورد نظر تقریب زده می‌شود:

$$\theta^h = [\phi_1 \quad \phi_2 \quad \cdots \quad \phi_{n-1} \quad \phi_n] \begin{Bmatrix} \theta_1 \\ \theta_2 \\ \vdots \\ \theta_{n-1} \\ \theta_n \end{Bmatrix} = \Phi_{(1*n)} \Theta_{(n*1)} \quad (81-2)$$

در این عبارت،  $\Phi$  بردار توابع شکل،  $n$  تعداد گرههای ناحیه تکیه‌گاهی و  $\Theta$  بردار دمای گرههای ناحیه تکیه‌گاهی نقطه مورد نظر است. گرادیان دما بصورت زیر تقریب زده می‌شود:

---

<sup>1</sup> - Kontrovich

<sup>2</sup> - nodal parameter

$$\begin{aligned}
 \begin{bmatrix} \frac{\partial \theta}{\partial x} \\ \frac{\partial \theta}{\partial y} \\ \frac{\partial \theta}{\partial z} \end{bmatrix} &= \nabla \boldsymbol{\theta}^h = \begin{bmatrix} \frac{\partial}{\partial x} \\ \frac{\partial}{\partial y} \\ \frac{\partial}{\partial z} \end{bmatrix} \begin{bmatrix} \phi_1 & \dots & \phi_n \end{bmatrix} \begin{Bmatrix} \theta_1 \\ \vdots \\ \theta_n \end{Bmatrix} \\
 &= \begin{bmatrix} \frac{\partial \phi_1}{\partial x} & \dots & \frac{\partial \phi_n}{\partial x} \\ \frac{\partial \phi_1}{\partial y} & \dots & \frac{\partial \phi_n}{\partial y} \\ \frac{\partial \phi_1}{\partial z} & \dots & \frac{\partial \phi_n}{\partial z} \end{bmatrix} \begin{Bmatrix} \theta_1 \\ \vdots \\ \theta_n \end{Bmatrix} = \mathbf{B}_{(3^*n)} \boldsymbol{\theta}_{(n^*1)} \\
 &= \sum_I^n \mathbf{B}_I \boldsymbol{\theta}_I
 \end{aligned} \tag{۸۲-۲}$$

که در آن،  $\mathbf{B}$  ماتریس عملگر گرادیان و  $\boldsymbol{\theta}$  ماتریس عملگر گرادیان گرهی است. بطور مشابه، فرم وردشی گرادیان دما با توجه به رابطه (۸۱-۲) بصورت زیر بدست می‌آید:

$$\nabla \delta \boldsymbol{\theta}^h = \nabla_{(3^*1)} \Phi_{(2^*n)} \delta \boldsymbol{\theta}_{(n^*1)} = \mathbf{B}_{(3^*n)} \delta \boldsymbol{\theta}_{(n^*1)} = \sum_I^n (\mathbf{B}_I)_{(3^*1)} (\boldsymbol{\theta}_I)_{(1^*1)} \tag{۸۳-۲}$$

تا این مرحله، گرهها در ناحیه محلی تکیه‌گاهی شماره‌گذاری می‌شوند و اول شماره‌های محلی گرهها هستند. از این پس، شماره‌گذاری گرهها از سیستمهای محلی به شماره‌گذاری آنها در سیستم کل تغییر می‌کند. در سیستم کل تمام گرههای مساله دارای یک شماره واحد از ۱ تا  $N$  می‌باشند. بنابراین در رابطه (۸۳-۲) شماره گرههای ۱ و  $L$  می‌تواند از ۱ تا  $N$  تغییر کند. اگر ۱ و  $L$  در یک ناحیه تکیه‌گاهی واحد قرار نداشته باشند؛ عبارت داخل انتگرال رابطه (۱۱۶-۲) و در نتیجه مقدار انتگرال صفر می‌شود. با در نظر گرفتن شماره‌گذاری در کل سیستم رابطه (۱۱۶-۲) بصورت زیر بیان می‌شود.

$$\int_{\Omega} (\nabla \delta \boldsymbol{\theta})^T (\mathbf{K} \nabla \boldsymbol{\theta}) d\Omega = \int_{\Omega} \sum_I^N \sum_J^N \delta \boldsymbol{\theta}_I^T [\mathbf{B}_I^T \mathbf{k} \mathbf{B}_J] \boldsymbol{\theta}_J d\Omega \tag{۸۴-۲}$$

می‌توان عملگر انتگرالگیری را به داخل عملگرهای جمع بصورت زیر منتقل نمود.

$$\int_{\Omega} (\nabla \delta \boldsymbol{\Theta})^T (\mathbf{k} \nabla \boldsymbol{\Theta}) d\Omega = \sum_I^N \sum_J^N \delta \boldsymbol{\Theta}_I^T \left[ \int_{\Omega} \mathbf{B}_I^T \mathbf{k} \mathbf{B}_J d\Omega \right] \boldsymbol{\Theta}_J \quad (85-2)$$

طبق این رابطه، ماتریس سختی گرهی به صورت زیر تعریف می‌شود:

$$\mathbf{K}_{IJ} = \int_{\Omega} (\mathbf{B}_I^T) \mathbf{k} (\mathbf{B}_J) d\Omega \quad (86-2)$$

البته اگر گره‌های ۱ و ۲ هر دو در ناحیه‌ی تکیه‌گاهی یک نقطه انتگرال‌گیری گوسی قرار نداشته باشند؛ مقدار  $\mathbf{K}_{12}$  صفر است. با در نظر گرفتن تعریف فوق، رابطه (۸۵-۲) بصورت زیر بیان می‌شود.

$$\int_{\Omega} (\nabla \delta \boldsymbol{\Theta})^T (\mathbf{K} \nabla \boldsymbol{\Theta}) d\Omega = \sum_I^N \sum_J^N \delta \boldsymbol{\Theta}_I^T \mathbf{K}_{IJ} \boldsymbol{\Theta}_J \quad (87-2)$$

عملگرهای جمع در رابطه بالا، فرآیند مونتاژ را انجام می‌دهند. بسط عبارت سمت راست در رابطه (۸۷-۲) فرایند مونتاژ را نشان می‌دهد. در نهایت، فرم معادله (۸۶-۲) بصورت زیر بدست می‌آید.

$$\begin{aligned} \sum_i^n \sum_J^N \delta \boldsymbol{\Theta}_I^T \mathbf{K}_{IJ} \boldsymbol{\Theta}_J &= \delta \boldsymbol{\Theta}_1^T \mathbf{K}_{11} \boldsymbol{\Theta}_1 + \delta \boldsymbol{\Theta}_1^T \mathbf{K}_{12} \boldsymbol{\Theta}_2 + \cdots + \delta \boldsymbol{\Theta}_1^T \mathbf{K}_{1N} \boldsymbol{\Theta}_N \\ &\quad \delta \boldsymbol{\Theta}_2^T \mathbf{K}_{21} \boldsymbol{\Theta}_1 + \delta \boldsymbol{\Theta}_2^T \mathbf{K}_{22} \boldsymbol{\Theta}_2 + \cdots + \delta \boldsymbol{\Theta}_2^T \mathbf{K}_{2N} \boldsymbol{\Theta}_N \\ &\quad \vdots \\ &\quad + \delta \boldsymbol{\Theta}_1^T \mathbf{K}_{1N} \boldsymbol{\Theta}_N + \delta \boldsymbol{\Theta}_2^T \mathbf{K}_{2N} \boldsymbol{\Theta}_N + \cdots + \delta \boldsymbol{\Theta}_N^T \mathbf{K}_{NN} \boldsymbol{\Theta}_N \end{aligned} \quad (88-2)$$

که در آن،  $\mathbf{K}$  ماتریس سختی کل سیستم است. با توجه به اسکالر بودن میدان دما و تعداد گره‌های کل مساله،  $N$ ، بعد ماتریس سختی کل برابر  $N \times N$  می‌باشد.

$$\mathbf{K} = \begin{bmatrix} \mathbf{K}_{11} & \mathbf{K}_{12} & \cdots & \mathbf{K}_{1N} \\ \mathbf{K}_{21} & \mathbf{K}_{22} & \cdots & \mathbf{K}_{2N} \\ \vdots & \vdots & \ddots & \vdots \\ \mathbf{K}_{N1} & \mathbf{K}_{N2} & \cdots & \mathbf{K}_{NN} \end{bmatrix} \quad (89-2)$$

با در نظر گرفتن روابط فوق، فرم نهایی رابطه (۸۸-۲) بصورت زیر است.

$$\int_{\Omega} (\nabla \delta \boldsymbol{\Theta})^T (\mathbf{K} \nabla \boldsymbol{\Theta}) d\Omega = \delta \boldsymbol{\Theta}^T \mathbf{K} \boldsymbol{\Theta} \quad (90-2)$$

در این رابطه، بردار دمای کل سیستم است و شامل دمای گره‌های مساله می‌باشد. بردار  $\Theta$ ،  $N$  مولفه دارد.

$$\Theta = \begin{Bmatrix} \theta_1 \\ \vdots \\ \theta_N \end{Bmatrix} \quad (91-2)$$

بطور مشابه، فرم گسسته عبارتهای دیگر رابطه (۷۱-۲) قابل بیان است. با استفاده از تقریب کنترویچ عبارت اول رابطه (۷۱-۲) بصورت زیر نوشته می‌شود.

$$\int_{\Omega} \rho c \frac{\partial T}{\partial t} \eta d\Omega = \int_{\Omega} \rho c \theta \dot{T} \eta d\Omega \quad (92-2)$$

با جایگزینی تابع تقریب  $\theta$  بجای تابع آزمون  $\eta$ ، فرم گسسته رابطه بالا بصورت زیر می‌باشد.

$$\int_{\Omega} \rho c \frac{\partial \mathbf{T}}{\partial t} \eta d\Omega = \int_{\Omega} \rho c \delta \boldsymbol{\theta} \dot{\mathbf{T}} \boldsymbol{\theta} d\Omega = \dot{\mathbf{T}} \int_{\Omega} \delta \boldsymbol{\theta} \rho c \boldsymbol{\theta} d\Omega \quad (93-2)$$

عبارة فوق، بر حسب دماهای گرهی بصورت زیر قابل بیان است.

(۹۴-۲)

$$\int_{\Omega} \rho c \frac{\partial \mathbf{T}}{\partial t} \eta d\Omega = \dot{\mathbf{T}} \int_{\Omega} \rho c \sum_I^N \boldsymbol{\Phi}_I \delta \boldsymbol{\theta}_I \sum_J^N \boldsymbol{\Phi}_J \boldsymbol{\theta}_J d\Omega = \dot{\mathbf{T}} \sum_I^N \sum_J^N \delta \boldsymbol{\theta}_I (\int_{\Omega} \rho c \boldsymbol{\Phi}_I \boldsymbol{\Phi}_J d\Omega) \boldsymbol{\theta}_J$$

فرم گسسته عبارت متناظر با تولید انرژی داخلی در رابطه (۷۱-۲) بصورت زیر است:

$$\int_{\Omega} Q \delta \boldsymbol{\theta} d\Omega = \int_{\Omega} Q \sum_I^N \phi_I \delta \theta_I d\Omega = \sum_I^N \delta \theta_I \int_{\Omega} Q \phi_I d\Omega = \sum_I^N \mathbf{F}_I^{gen} \delta \theta_I \quad (95-2)$$

در این عبارت،

$$\mathbf{F}_I^{gen} = \int_{\Omega} Q \phi_I d\Omega \quad (96-2)$$

فرم گسسته عبارت متناظر با شار حرارتی عبوری از مرزهای سیستم در رابطه (۷۱-۲) بصورت زیر

است:

$$\int_{\Omega} q'' \delta \theta d\Omega = \int_{\Omega} q'' \sum_{I=1}^N \phi_I \delta \theta_I d\Omega = \sum_{I=1}^N \delta \theta_I \int_{\Omega} q'' \phi_I d\Omega = \sum_{I=1}^N \mathbf{F}_I^{flux} \delta \theta_I \quad (97-2)$$

در این عبارت،

$$\mathbf{F}_I^{flux} = \int_{\Omega} q'' \phi_I d\Omega \quad (98-2)$$

فرم گسسته عبارت متناظر با شرایط مرزی همرفتی مرزهای سیستم در رابطه (۷۱-۲) شامل دو ترم

بصورت زیر است:

(۹۹-۲)

$$\int_{\Gamma_{conv.}} h \theta \delta \theta d\Gamma = \int_{\Gamma_{conv.}} h \left( \sum_{I=1}^N \phi_I \delta \theta_I \right) \left( \sum_{J=1}^N \phi_J \theta_J \right) d\Gamma = \sum_{I=1}^N \delta \theta_I \sum_{J=1}^N \theta_J \int_{\Gamma_{conv.}} h \phi_I \phi_J d\Gamma = \sum_{I=1}^N \mathbf{K}_{IJ}^{conv.} \theta_J \delta \theta_I$$

در این عبارت،

$$\mathbf{K}_{IJ}^{conv.} = \int_{\Gamma_{conv.}} h \phi_I \phi_J d\Gamma \quad (100-2)$$

$$\int_{\Gamma_{conv.}} h \theta_{\infty} \delta \theta d\Gamma = \int_{\Gamma_{conv.}} h \theta_{\infty} \left( \sum_{I=1}^N \phi_I \delta \theta_I \right) d\Gamma = \sum_{I=1}^N \delta \theta_I \int_{\Gamma_{conv.}} h \theta_{\infty} \phi_I d\Gamma = \sum_{I=1}^N \mathbf{F}_I^{conv.} \delta \theta_I \quad (101-2)$$

در این عبارت،

$$\mathbf{F}_I^{conv.} = \int_{\Gamma_{conv.}} h \theta_{\infty} \phi_I d\Gamma \quad (102-2)$$

با جایگزینی روابط فوق در رابطه (۷۱-۲)، معادله گسسته حاکم بر هدایت گرمایی به شکل زیر بدست

می‌آید.

$$\dot{\mathbf{C}\bar{T}} + (\mathbf{K} + \mathbf{K}^{conv.} + \mathbf{K}^{rad.})\bar{\mathbf{T}} = \mathbf{F} + \mathbf{F}^{gen.} + \mathbf{F}^{flux} + \mathbf{F}^{conv.} + \mathbf{F}^{rad.} \quad (10.3-2)$$

## ۸-۲- هدایت گرمایی گذرا

میدان دمای گذرا از حل دستگاه معادلات دیفرانسیل مرتبه اول (۱۳۶-۲) بدست می‌آید. برای حل دستگاه معادلات مذکور روش‌های مختلفی وجود دارد که در اینجا تکنیک تجزیه مودها مورد کاربرد قرار می‌گیرد. تکنیک تجزیه مودها یک رهیافت تحلیلی برای حل دستگاه‌های معادلات دیفرانسیل معمولی است. کاربرد این روش خطایی را در در محاسبه جوابها تحمیل نمی‌کند [۶۰].

رونده کلی این روش، تبدیل دستگاه معادلات کوپل شده به معادلات مستقل از هم است که با استفاده از بردارهای ویژه انجام می‌شود. دستگاه معادلات همگن حاکم بر هدایت گرمایی گذرا بصورت زیر است:

$$\mathbf{C}\dot{\mathbf{T}} + \mathbf{K}^{th}\mathbf{T} = 0 \quad (10.4-2)$$

در این رابطه،  $\mathbf{K}^{th} = \mathbf{K} + \mathbf{K}^{conv} + \mathbf{K}^{rad}$ . اگر صورت کلی جواب بصورت زیر در نظر گرفته شود

$$\mathbf{T}(t) = \mathbf{T} exp(-st) \quad (10.5-2)$$

که در آن،  $\mathbf{T}$  بردارهای مودی مجھول است و  $s$  پارامتر کاهش نمایی است. با جایگزینی حل (۱۰۵-۲) در رابطه (۱۰۴-۲)، دستگاه معادلات همگن بصورت یک مساله مقدار ویژه قابل بیان است.

$$(\mathbf{K}^{th} - s\mathbf{C})\mathbf{T} = 0 \quad (10.6-2)$$

از آنجائیکه ماتریس‌های  $\mathbf{K}^{th}$  و  $\mathbf{C}$  مثبت معین هستند؛ پارامتر  $s$  نیز باید حقیقی و مثبت باشد. حل کامل دستگاه معادلات را می‌توان بصورت ترکیبی از تمام بردارهای ویژه دستگاه بصورت زیر بیان کرد.

$$\mathbf{T}(t) = [\mathbf{T}_1 \quad \mathbf{T}_2 \quad \dots \quad \mathbf{T}_N] \psi(t) = \mathbf{M} \psi(t) \quad (10.7-2)$$

در این رابطه،  $\Psi$  سهم هر مود در جواب کلی در لحظه  $t$  است و  $\mathbf{M}$  ماتریس مربعی  $N \times N$  است که بردارهای ویژه ستونهای این ماتریس را تشکیل می‌دهند. با جایگزینی رابطه فوق در دستگاه معادلات (۱۰۴-۲) و ضرب عبارت حاصل در  $\mathbf{M}^T$  از چپ، یک مجموعه معادلات مستقل از هم بصورت زیر حاصل می‌شود.

$$\mathbf{C}^{th*} \dot{\Psi} + \mathbf{K}^{th*} \Psi = \mathbf{M}^T (\mathbf{F}^{th} + \mathbf{F}_\gamma^{th}) \quad (108-2)$$

که در آن،

$$\mathbf{K}^{th*} = \mathbf{M}^T \mathbf{K}^{th} \mathbf{M} \quad (109-2)$$

$$\mathbf{C}^{th*} = \mathbf{M}^T \mathbf{C} \mathbf{M} \quad (110-2)$$

مجموعه معادلات فوق شامل  $N$  معادله مستقل است.

$$(i=1, 2, \dots, N) \dot{\psi}_i + s_i \psi_i = \frac{\Lambda_i}{\mathbf{C}_{ii}^*} \quad (111-2)$$

که در آن،  $\Lambda = \mathbf{M}^T (\mathbf{F}^{th} + \mathbf{F}_\gamma^{th})$ . در این معادلات، شرایط اولیه  $(0) \Psi$  با توجه به رابطه  $(0) \Psi = \mathbf{M} \Psi(0)$  می‌شود. بسته به پیچیدگی طرف راست این معادلات می‌توان آنها را بصورت تحلیلی و یا عددی حل کرد. در این روش برای بدست آوردن حل در لحظه  $t$  نیاز به حل معادلات از ابتدا یعنی  $t = 0$  نیست. برخلاف روشهای مرسوم اختلاف محدود، از آنجائیکه مرتبه زمانهای انتخابی برای اعمال شوک حرارتی بسیار گسترده است و معمولاً بین ۶ تا ۲ تغییر می‌کند؛ این روش برای بدست آوردن توزیع دمای گذرا یک روش بسیار کارآمد می‌باشد.

## ۹-۲- مثالهای عددی

در مسائل مطرح شده، صفحه‌ای از مواد مرکب هدفمند ارتوتروپیک بطول نامحدود و عرض محدود  $W$  در نظر گرفته می‌شود (مطابق شکل ۴-۲). این صفحه تحت بارگذاری‌های مکانیکی بصورت کرنش معین، تنش کششی یکنواخت و گشتاور خمشی روی لبه‌های بالا و پایین و بارگذاری حرارتی بصورت تغییر دمای لبه‌های چپ و راست قرار می‌گیرد. تغییر خصوصیات فیزیکی ماده بجز ضریب پواسون بصورت تابع نمایی در نظر گرفته می‌شود.

$$P(x) = P^0 e^{\beta x} \quad (112-2)$$

که در آن،  $P^0$  مقدار خصوصیت فیزیکی در  $x_1=0$  یا  $(P(0))$  است و ضریب غیرهمگنی  $\beta$  بصورت زیر تعریف می‌شود.

$$\beta = \frac{1}{W} \ln \left[ \frac{P(W)}{P(0)} \right] \quad (113-2)$$

ضریب پواسون ثابت منظور می‌شود. مدول الاستیسیته جهت‌های اصلی و مدول برشی صفحه‌ای بصورت زیر تعریف می‌شوند.

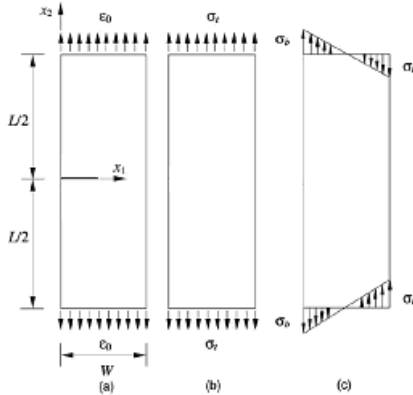
$$E_{xx}(x) = E_{xx}^0 e^{\beta_{xx} x_1} \quad (114-2)$$

$$E_{yy}(x) = E_{yy}^0 e^{\beta_{yy} x_1} \quad (115-2)$$

$$G_{xy}(x) = G_{xy}^0 e^{\beta_{xy} x_1} \quad (116-2)$$

برای صفحه ایزوتروپیک (با فرض ایزوتروپی موضعی)، مدول الاستیسیته به فرم زیر است.

$$E(x) = E^0 e^{\beta x_1} \quad (117-2)$$



شکل ۴-۲ یک صفحه از جنس FGM تحت بار مکانیکی - (a) بارگذاری کرنش ثابت-(b) بارگذاری کشش-(c) بارگذاری گشتاور خمی

برای تحلیل صفحه مذکور، بخاطر تقارن نصف صفحه (قسمت هاشورخورده در شکل (۴-۲)) با شرایط مرزی نشان داده شده، در نظر گرفته می‌شود. شرایط مرزی روی محور  $x_1$  بصورت زیر است:

$$u(0,0) = 0 \quad (118-2)$$

$$v(x_1,0) = 0 \quad (119-2)$$

### ۱-۹-۲- بارگذاری کرنش ثابت

شرایط بارگذاری به شکل زیر بیان می‌شود.

$$\epsilon(x, \pm L) = \epsilon_0 \quad (120-2)$$

با استفاده از معادله ساختاری، توزیع تنش بصورت زیر حاصل می‌شود.

$$\sigma_{x_2 x_2}(x) = E_{yy}^0 \epsilon_0 e^{\beta_{yy} x} \quad (121-2)$$

با استفاده از روابط کرنش-تغییرمکان و اعمال شرایط مرزی (۱۱۸-۲ و ۱۱۹-۲) میدان تغییرمکان بصورت زیر بدست می‌آید.

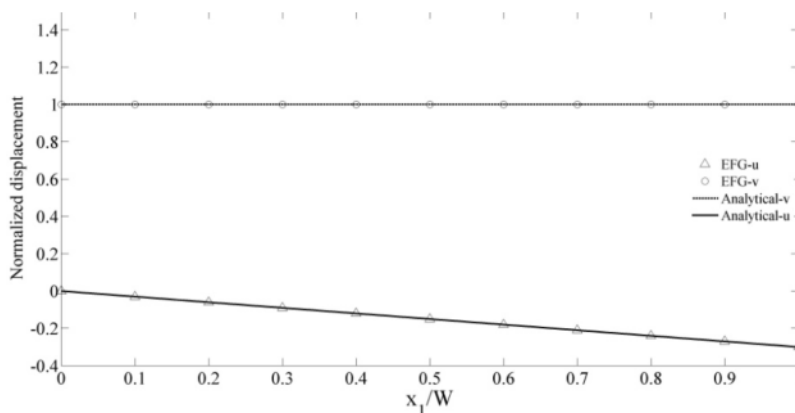
$$u_x(x_1, x_2) = -\nu_{x_1 x_2} \epsilon_0 \frac{E_{x_2 x_2}^0}{E_{x_1 x_1}^0} \frac{e^{(\beta_{x_2 x_2} - \beta_{x_1 x_1}) x_1} - 1}{\beta_{x_2 x_2} - \beta_{x_1 x_1}} \quad (122-2)$$

$$v(x_1, x_2) = \epsilon_0 x_1 \quad (123-2)$$

برای مواد ایزوتروپیک میدان تغییرمکان بصورت زیر است.

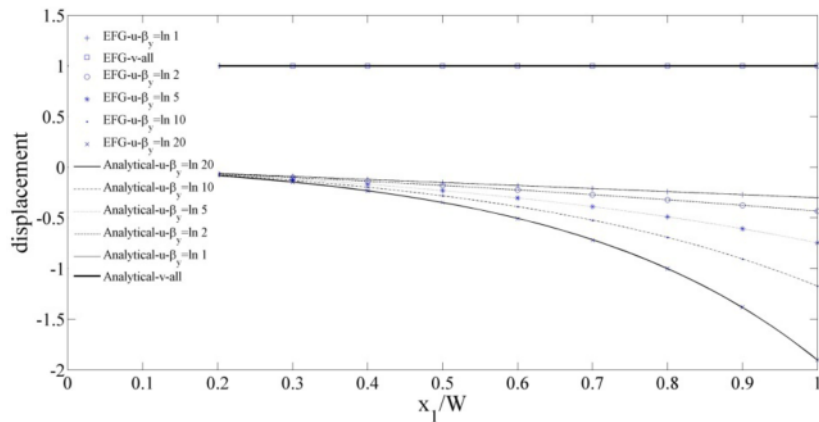
$$\begin{aligned} u(x_1, x_2) &= -\nu \epsilon_0 x_1 \\ v(x_1, x_2) &= \epsilon_0 x_2 \end{aligned} \quad (124-2)$$

در شکل (۲-۵) میدان تغییرمکان حاصل از بکارگیری روش بدون المان گلرکین با حل تحلیلی مقایسه شده است. این نمودارها با فرض  $\epsilon_0 = 1$  بدست آمدند.

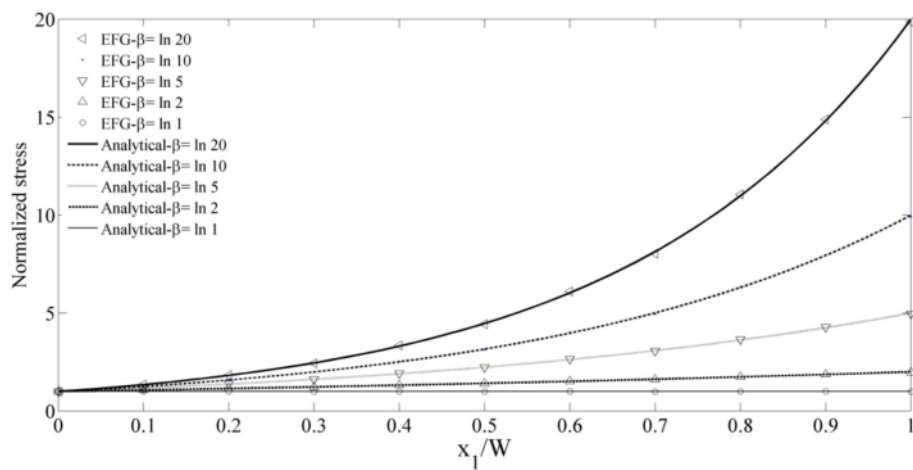


شکل ۲-۵- میدان تغییرمکان در مواد ایزوتروپیک حاصل از بکارگیری روش بدون المان گلرکین(راست) و حل تحلیلی تحت بارگذاری کرنش ثابت

در شکل (۶-۲)، اثر تغییرات مدول الاستیسیته در جهت ۷ روی میدان تغییرمکانهای حاصل از بارگذاری کرنش معین در صفحه ارتوتروپیک FGM بررسی شده است. در این حالت، غیرهمگنی ماده روی مولفه عمودی تغییرمکان ( $v(x_1)$ ) اثربود ندارد؛ اما مولفه افقی ( $u(x_1)$ ) تابع تغییرات مدول الاستیسیته می‌باشد. در این حالت، غیرهمگنی ماده روی مولفه‌های تغییرمکان اثربود ندارد؛ اما توزیع تنش  $\sigma_{x_2 x_2}$  تابع تغییرات مدول الاستیسیته می‌باشد.



شکل ۲-۶- اثر ارتوتروپی روی مولفه‌های تغییرمکان در بارگذاری کرنش معین



شکل ۲-۷- اثر تغییر ضریب غیرهمگنی مدول الاستیسیته روی توزیع تنش  $\sigma_{x_2 x_2}$  در بارگذاری کرنش معین

## ۲-۹-۲- بارگذاری کششی و خمشی

بارگذاری کششی بصورت زیر اعمال می‌شود.

$$\sigma_{x_2 x_2}(x_1, L) = \sigma_t \quad (125-2)$$

و بارگذاری خمشی بصورت زیر اعمال می‌شود.

$$\sigma_{x_2 x_2}(x_1, L) = \sigma_b \left(1 - \frac{2}{W} x_1\right) \quad (126-2)$$

برای این بارگذاریها، توزیع کرنش با حل معادله سازگاری  $\frac{\partial^2 \varepsilon_{x_2 x_2}}{\partial x_1^2} = 0$  بدست می‌آید.

$$\varepsilon_{x_2 x_2} = Ax_1 + B \quad (127-2)$$

با توجه به معادله ساختاری، توزیع تنش برای حالت تنش صفحه‌ای بصورت زیر است. در این دو حالت توزیع تنش فقط در راستای  $x_2$  بصورت تابعی از  $x_1$  وجود دارد.

$$\sigma_{x_2 x_2}(x_1) = E^0 e^{\beta x_1} (Ax_1 + B) \quad (128-2)$$

که در آن، A و B ثابت‌هایی بر حسب پارامترهای خصوصیات ماده می‌باشند و با اعمال شرایط مرزی نیرویی بدست می‌آیند. شرایط مرزی نیرویی عبارتند از:

$$\int_0^W \sigma_{x_2 x_2}(x_1) dx_1 = N \quad (129-2)$$

$$\int_0^W \sigma_{x_2 x_2}(x_1) x_1 dx_1 = M \quad (130-2)$$

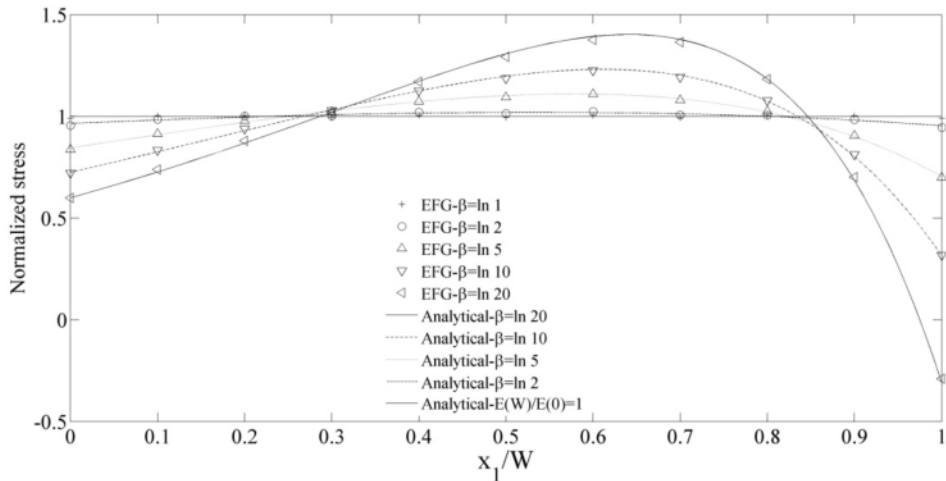
در این روابط، N نیروی کششی حاصل از برآیند تنشهای در راستای  $x=W/2$  و M گشتاور خمی این تنشهای می‌باشد. مقادیر M و N برای بارگذاری کششی یکنواخت و گشتاور خمی به ترتیب بصورت زیر است.

$$N = \sigma_t W, M = NW/2 \quad (131-2)$$

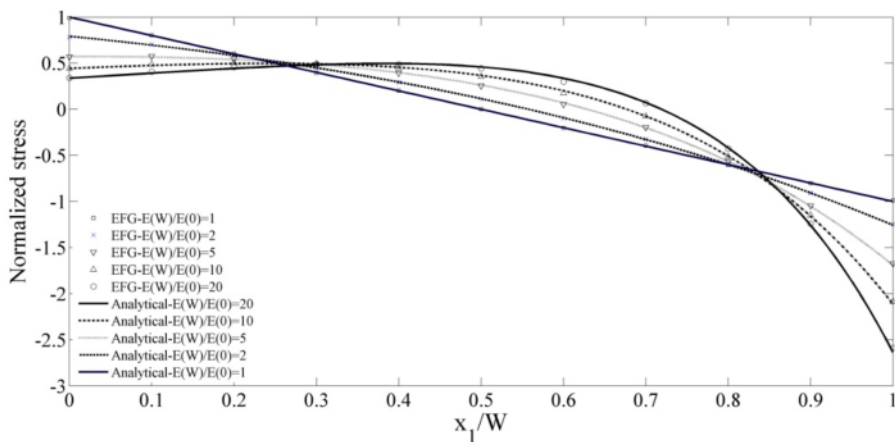
$$N = 0, M = \sigma_b W^2 / 6 \quad (132-2)$$

در شکل‌های (۲-۸) و (۹-۲) میدان تنش حاصل از بکارگیری روش بدون المان گلرکین با حل تحلیلی مقایسه شده است. این نمودارها با فرض  $\sigma_t = 1$  و  $\sigma_b = 1$  بدست آمدند. نکته قابل توجه در این نمودارها، کاهش مقدار تنشهای در نواحی نزدیک لبه‌ها است. بطوریکه برای مقادیر بزرگ ضریب

غیرهمگنی این تنشهای تبدیل به تنشهای فشاری می‌شود که در جلوگیری از رشد ترکهای سطحی نقش موثری دارند.



شکل ۲-۸- میدان تنش حاصل از بکارگیری روش بدون المان گلرکین تحت بارگذاری کششی



شکل ۲-۹- میدان تنش حاصل از بکارگیری روش بدون المان گلرکین تحت بارگذاری خمی

### ج- بارگذاری حرارتی:

برای حل مساله ترموموادیسیته فرض می‌شود شرایط شباهستاتیکی (بدون ترمهای دینامیکی)

برقرار است و از عبارتهای کوپل حرارت-الاستیک صرف نظر می‌شود. میدان دمای پایا برای شرایط

دماهی معلوم روی لبه‌های راست و چپ صفحه، با حل معادله هدایت گرمایی به ترتیب زیر بدست می‌آید.

$$T(x_1) = T(0) + (T(W) - T(0)) \left( \frac{\int_0^{x_1} dx_1 / k(x_1)}{\int_0^W dx_1 / k(x_1)} \right) \quad (133-2)$$

فرم کلی توزیع کرنش با حل معادله سازگاری  $\frac{\partial^2 \varepsilon_{x_2 x_2}}{\partial x_1^2} = 0$  بصورت رابطه (160-۲) حاصل می‌شود. با کاربرد معادله ساختاری توزیع تنش حرارتی قابل محاسبه است. در حالت تنش صفحه‌ای،  $\sigma_{x_3 x_3} = \sigma_{x_1 x_1} = 0$ ، توزیع تنش بصورت زیر است.

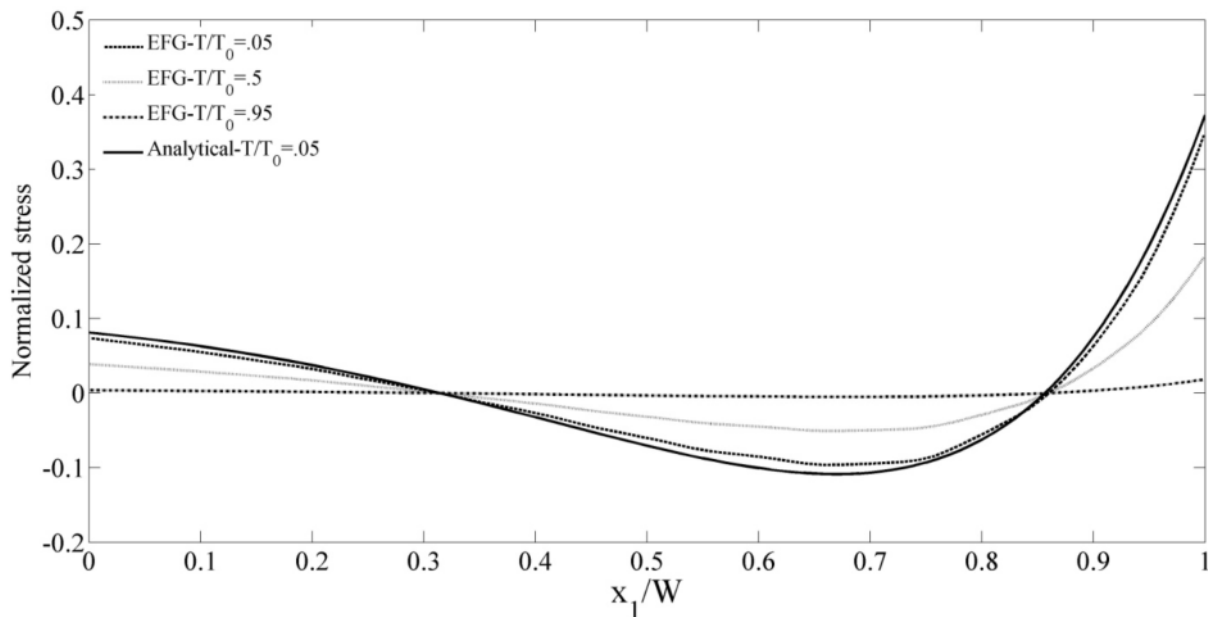
$$\sigma_{x_2 x_2}(x_1) = E_{x_2 x_2}^0 e^{\beta_{x_2 x_2} x_1} [Ax_1 + B - \alpha(x_1)(T(x_1) - T_0)] \quad (134-2)$$

که در آن، ثابت‌های A و B با اعمال شرایط مرزی نیرویی زیر (با فرض عدم اعمال بار مکانیکی) بدست می‌آید

$$\int_0^W \sigma_{x_2 x_2}(x_1) dx_1 = 0 \quad (135-2)$$

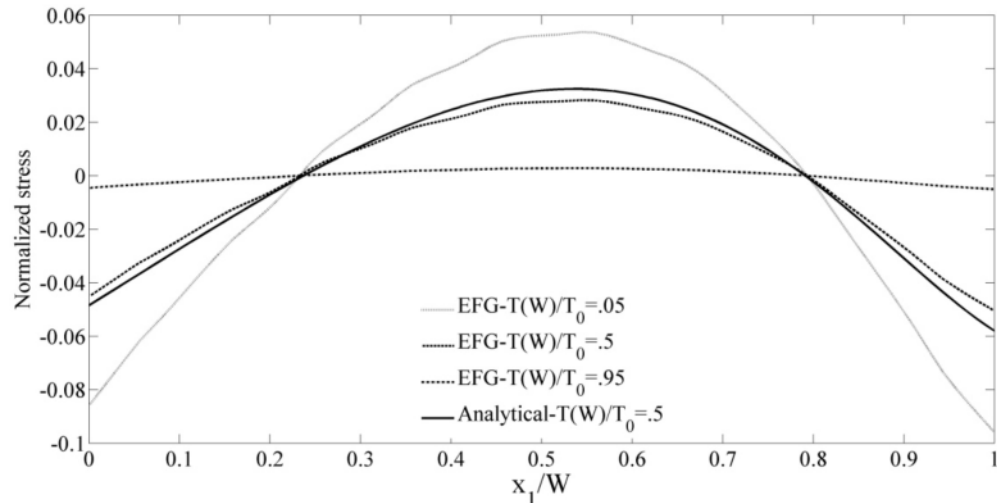
$$\int_0^W \sigma_{x_2 x_2}(x_1) x_1 dx_1 = 0 \quad (136-2)$$

در شکل (۱۰-۲)، تنش حرارتی ناشی از اعمال تغییر درجه حرارت یکنواخت برای دماهای نسبی مختلف رسم شده است. مدل فوق در کاربردهای اتفاق می‌افتد که دماهی محیط کاربرد کمتر از دماهی ساخت باشد. برخلاف مواد همگن، در FGM تحت تغییر دماهی یکنواخت، تنش بوجود می‌آید. وجود تنشهای پسماند کششی در لبه‌ها در این حالت باعث رشد زودهنگام ترکهای سطحی می‌شود.

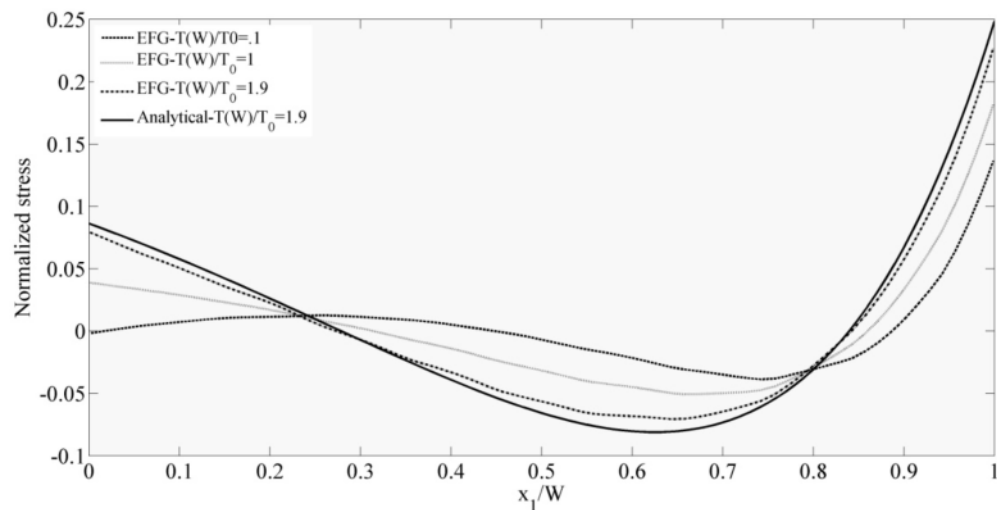


شکل ۱۰-۲- توزیع تنش حرارتی برای تغییر دمای یکنواخت

در شکلهای (۱۱-۲) و (۱۲-۲)، اثر تغییر دمای یک لبه با وجود ثابت بودن دمای لبه دیگر روی تنش حرارتی بررسی شده است. در شکل (۱۱-۲)، دمای لبه سمت چپ ( $x=0$ ) در  $T=T_0$  ثابت و دمای لبه سمت راست ( $x=W$ ) متغیر منظور شده است. در این حالت، توزیع تنش حرارتی متقارن و در لبه‌ها فشاری و در وسط کششی می‌باشد. شکل (۱۲-۲)، توزیع تنش حرارتی را برای دمای متغیر لبه سمت راست ( $x_1=W$ ) و دمای ثابت لبه سمت چپ ( $x_1=0$ ) در  $T=0.5T_0$  نشان می‌دهد. در این حالت، تنش در لبه‌ها کششی و در وسط صفحه فشاری است. تفاوت اصلی دو حالت اخیر در مقدار دمای لبه چپ است. در حالت اول، دمای لبه سمت چپ ( $x_1=0$ ) در  $T=T_0$  (برابر با دمای اولیه) ثابت منظور شده است و در حالت دوم، دمای ثابت لبه سمت چپ ( $x_1=0$ ) در  $T=0.5T_0$  (کمتر از دمای اولیه) نگه داشته شده است.



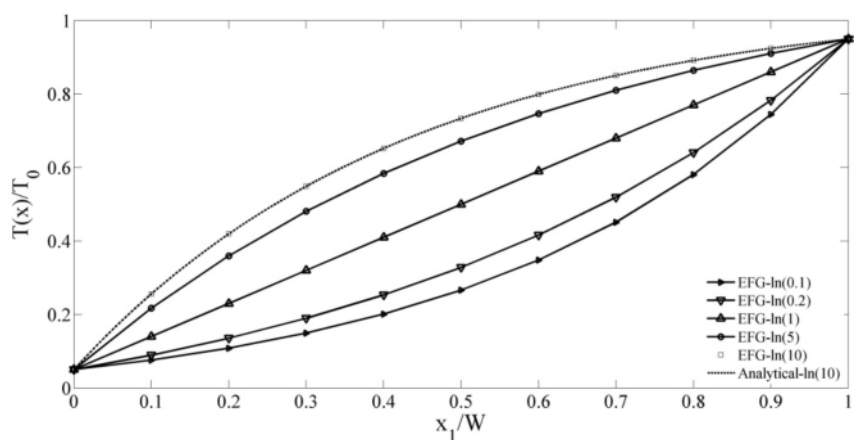
شکل ۱۱-۲- توزیع تنش حرارتی برای دمای ثابت لبه چپ ( $T_0$ ) و تغییر دمای لبه راست



شکل ۱۲-۲- تغییرات توزیع تنش حرارتی برای دمای ثابت لبه چپ ( $0.5T_0$ ) و تغییر دمای لبه راست

در شکل (۱۳-۲) اثر تغییر ضریب هدایت گرمایی روی توزیع دمای پایا بررسی شده است.

فرض شده است دمای لبههای چپ و راست صفحه معلوم و بترتیب  $0.05T_0$  و  $0.95T_0$  است. بطور کلی با افزایش ضریب غیرهمگنی، توزیع دما در صفحه به دمای لبه چپ گرایش دارد.



شکل ۲-۱۳-۲ اثر مقادیر مختلف ضریب غیرهمگنی ضریب هدایت گرمایی روی میدان دما

## فصل سوم

### مکانیک شکست مواد مرکب تابعی

**۱-۳- مقدمه**

وجود ترک در سازه‌ها باعث گسیختگی این سازه‌ها در بارهای کمتر از مقدار مورد انتظار می‌شود. در تحلیل و طراحی اجسام دارای ترک، مکانیک شکست یکی از ابزارهای اساسی است. داشتن اطلاعاتی در مورد ترک اهمیت ویژه‌ای در ارزیابی اینمی و عمر قطعات و سازه‌ها دارد. در این فصل پس از مرور اجمالی مباحثی از مکانیک شکست محاسباتی، به مدلسازی ترک در روش بدون المان گلرکین پرداخته می‌شود. سپس موارد توسعه‌یافته مکانیک شکست برای FGM طرح می‌گردد و در چند مثال بکار گرفته می‌شود.

**۲-۳- روش‌های عددی در مکانیک شکست**

امروزه روش‌های مختلفی برای تحلیل ترک در روش المان محدود بکار گرفته می‌شود. ساده‌ترین روش، استفاده از المانهای استاندارد است. اما برای رصد مناسب تکینی میدان تنش حوزه نوک ترک نیاز به مش‌بندی بسیار ریز در نزدیکی نوک ترک می‌باشد. با بکار بردن المانهای تکین در حوزه نوک ترک می‌توان بدون نیاز به مش‌بندی بسیار ریز به دقت قابل قبولی دست یافت. در میان المانهای تکین، استفاده از المانهای  $1/4$  از بقیه رایج‌تر است. در المان  $1/4$  با انتقال گره‌های وسط اضلاع منتهی به نوک ترک به فاصله  $1/4$  گره نوک ترک، تکینی در ژاکوبین المان ۸ گرهی serendipity بوجود می‌آید. آکین<sup>۱</sup> نیز المانی معرفی کرده است که تابع شکل گره نوک ترک در آن تصحیح شده است تا مشتقات آن شامل تکینی با مرتبه  $1/4$  باشد [۷۱].

روش دیگر رصد میدانهای تکین، استفاده از المانهای ایزوپارامتریک غنی‌شده است، در این روش، غنی‌سازی المانها با کاربرد میدانهای حوزه نوک ترک در توابع آزمون انجام می‌شود [۷۲]. مزیت این روش، محاسبه مستقیم ضرایب شدت تنش به عنوان بخشی از حل حاصل از فرایند معمولی آن

---

<sup>۱</sup> Akin

است. اما نتایج حاصل از بکارگیری المانهای غنی‌شده به اندازه آنها بسیار حساس است. حل مساله روند همگرایی مشخصی نسبت به اندازه المانها ندارد. به علاوه، گسترش ماتریس سختی و بردار نیرو برای لحاظ شدن ضرایب شدت تنش به عنوان مجھول، کاربرد این المانها را قدری پیچیده می‌نماید. در نهایت، به خاطر سازگار نبودن این المانها با المانهای استاندارد، برای مونتاژ به المانهای واسطه نیاز است.

در روشهای بدون مش و بخصوص روش بدون المان گلرکین روشهای مختلفی برای رصد میدان تکین حوزه نوک ترک بکار برده می‌شود. بطور کلی، محاسبه میدانهای تکین در روشهای بدون مش بطور قابل ملاحظه‌ای ساده‌تر و روانتر از روشهای المان محدود انجام می‌شود [۷۳]. غنی‌سازی در روشهای بدون مش به دو روش صورت می‌گیرد.

۱. با اضافه کردن توابع غنی‌شده به توابع آزمون.
۲. در نظر گرفتن توابع غنی‌شده در توابع پایه.

غنی‌سازی توابع آزمون (روش اول) برای مسائل شامل چند ترک کارایی بسیار خوبی دارد و با تغییرات کمی نسبت به مسائل دارای یک ترک قابل کاربرد است. اما مجھولاتی که متناظر با ضرایب شدت تنش اضافه می‌شوند؛ به اغتشاشات حساس می‌باشند و در روشهای مستقیم محاسبه ضرایب شدت تنش، نمی‌توانند مقدار دقیق را ارائه نمایند. البته با استفاده از روشهای انرژی مثل محاسبه انتگرال مقادیر ضرایب شدت تنش با دقت قابل قبولی محاسبه می‌شوند. برنامه‌نویسی این روش نسبت به روش دوم غنی‌سازی (غنی‌سازی پایه‌ها) پیچیده‌تر است. اهمیت روش مذکور کاربرد آن برای توصیف ترک در روشهای توسعه‌یافته است.

با در نظر گرفتن توابع خاص در پایه‌ها می‌توان تقریبی غنی‌شده را در روشهای بدون مش بدست آورد [۷۳]. برای مثال، در مکانیک شکست خطی پایه‌ها می‌توانند شامل جمله‌های میدان تغییر مکان حوزه نوک ترک و یا جمله کلیدی  $\sqrt{r}$  باشند. انتخاب نوع و تعداد این توابع بستگی به

دقت موردنظر دارد. برای رسیدن به دقیقیت بیشتر می‌توان از تمام جمله‌های میدان مجانبی استفاده نمود. در حالیکه با لحاظ نمودن فقط جمله  $\sqrt{r}$  می‌توان با سرعت بیشتری البته به نتایج با دقیقیت کمتر دست یافت. دو روش غنی‌سازی در بخش‌های بعد شرح داده می‌شوند.

### ۱-۲-۳- غنی‌سازی کامل

در غنی‌سازی کامل تقریب بدون المان گلرکین برای مسائل مکانیک شکست، تمام جملات میدان تغییرمکان مجانبی حوزه نوک ترک در پایه‌ها به صورت زیر منظور می‌شوند.

$$\mathbf{p}^T(\mathbf{x}) = \left\{ 1, x, y, \sqrt{r} \cos \frac{\theta}{2}, \sqrt{r} \sin \frac{\theta}{2}, \sqrt{r} \sin \frac{\theta}{2} \sin \theta, \sqrt{r} \cos \frac{\theta}{2} \sin \theta \right\} \quad (1-3)$$

سه عبارت خطی اول مربوط به میدان مجانبی تغییرمکان نیستند و برای پیوستگی میدان کلی تغییرمکان در نظر گرفته شده‌اند. با در نظر گرفتن توابع پایه فوق می‌توان توابع شکل را به ترتیب گذشته بدست آورد و میدان تغییرمکان را بصورت زیر نمایش داد.

$$u^h(\mathbf{x}) = \sum_{I=1}^n \tilde{\Phi}_I(\mathbf{x}) \mathbf{U}_I \quad (2-3)$$

که در آن،  $(\tilde{\Phi}_I(\mathbf{x}))$  تابع شکل غنی‌شده (حاصل از کاربرد توابع شکل غنی‌شده)،  $n$  پارامتر تغییرمکان و  $u^h(\mathbf{x})$  تقریب میدان تغییرمکان است. برخلاف روش غنی‌سازی توابع آزمون، در این روش مجهول جدیدی به مسئله اضافه نمی‌شود. اما به دلیل افزایش تعداد توابع پایه، ابعاد ماتریس  $(\mathbf{A}(\mathbf{x}))$  بزرگتر می‌شود و بدست آوردن توابع شکل، حجم محاسبات بیشتری را می‌طلبد. نکته قابل توجه در این روش، امکان بدرفتار شدن ماتریس  $\mathbf{A}$  و در نتیجه، کاهش دقیقیت محاسبات مربوط به توابع شکل است. معمولاً برای جلوگیری از بدرفتار شدن ماتریس  $\mathbf{A}$  از دامنه اثر بزرگتری برای نقاط گوسی استفاده می‌شود. به علاوه، برای محاسبه توابع شکل از معکوس‌گیری ماتریس  $\mathbf{A}$  استفاده نمی‌شود و روش مشروح در [۷۴] و [۷۵] ترجیح داده می‌شود. در روش اخیر، بجای معکوس‌گیری کامل، از حل دستگاه معادلات خطی و

سپس جایگزینی استفاده می‌شود که در مقایسه با روش اول حجم محاسبات کمتر و دقت و پایداری بهتری دارد. البته اگر برای تمام نقاط مسئله از توابع پایه کامل استفاده شود؛ ماتریس  $\mathbf{A}$  بدرفتار نشده و اثر سوء روی دقت توابع شکل ندارد. ولی در صورت کوپل شدن توابع شکل غنی‌شده با توابع شکل حاصل از توابع پایه چندجمله‌ای اثر این پدیده قابل اعتماد می‌باشد. یکی دیگر از روش‌های جلوگیری از بدرفتار شدن ماتریس  $\mathbf{A}$ ، قطری کردن آن با استفاده از الگوریتم تعامدسانی گرام<sup>۱</sup>-اشمیت<sup>۲</sup> است که باعث افزایش استقلال خطی معادلات می‌گردد. در مکانیک شکست، بدلیل حجم محاسبات بالا معمولاً از غنی‌سازی کامل برای تمام گره‌ها استفاده نمی‌شود و کاربرد آن به گره‌های اطراف نوک ترک محدود می‌شود. در گره‌های دیگر مسئله توابع پایه چندجمله‌ای بکار می‌روند. تفاوت تابع پایه در گره‌های مختلف مسئله منجر به استفاده از روش‌های کوپل توابع شکل در نواحی مرزی کاربرد آنها می‌شود.

### ۲-۲-۳- غنی‌سازی جزئی

غنی‌سازی جزئی تقریب بدون المان گلرکین فقط در جهت شعاعی صورت می‌گیرد و محدود به استفاده از جمله  $\sqrt{r}$  در توابع پایه می‌شود. در این حالت، توابع پایه معمولاً به صورت زیر درنظر گرفته می‌شوند.

$$\mathbf{p}^T(\mathbf{x}) = \{1, x, y, \sqrt{r}\} \quad (3-3)$$

که در آن،  $x$  فاصله شعاعی از نوک ترک است. این فرم غنی‌سازی بدین جهت در نظر گرفته شده است که تغییرات زاویه‌ای میدانهای حوزه نوک ترک هموار است. اما تغییرات شعاعی میدانهای تنش و کرنش در نوک ترک تکین می‌باشد.

<sup>1</sup> Gram

<sup>2</sup> Schmidt

در این روش، به بردار پایه‌های اصلی فقط یک عبارت اضافه می‌شود و بنابراین محاسبه معکوس ماتریس  $A$  و در پی آن توابع شکل با مشکلات عددی کمتری مواجه است و نسبت به غنی‌سازی کامل ساده‌تر صورت می‌گیرد. بعلاوه، به نظر می‌رسد که نیاز به روش‌های هموارسازی محاسبه تابع شکل برای نقاط اطراف نوک ترک نباشد؛ چون ناپیوستگی در جهت شعاعی ندارد. در این وضعیت، ناپیوستگی زاویه‌ای در غنی‌سازی کامل باعث کاهش دقت نتایج می‌گردد.

### ۳-۲-۳- کوپل تقریب‌های خطی و غنی‌شده

غنی‌سازی تقریب در تمام ناحیه حل عموماً غیرضروری است و منجر به افزایش چشمگیر حجم محاسبات می‌گردد. در مکانیک شکست، میدانهای تکین حوزه نوک ترک محلی بوده و به شعاع تقریبی  $0.1a$  محدود می‌شوند ( $a$  طول ترک است) [۷۵]. در ادامه دو روش برای کوپل تقریب‌های خطی و غنی‌شده بحث می‌شود. در روش اول از کوپل سازگاری استفاده می‌گردد که پیوستگی مرتبه صفر میدان تغییرمکان  $C^0$  را حفظ می‌کند، ولی در روش دوم چنین نیست.

در روش اول تغییر تقریب از تقریب غنی‌شده به تقریب خطی، در یک ناحیه و به تدریج انجام می‌شود. به عبارت دیگر، کوپل تقریب‌ها روی یک ناحیه گذرا صورت می‌گیرد.

ایده روش فوق از روشی گرفته شده است که برای کوپل میدانهای حاصل از روش بدون المان گلرکین و روش المان محدود بکار می‌رود [۷۳]. در ناحیه گذرا تقریب متغیر میدان -در اینجا تغییرمکان- به صورت زیر در نظر گرفته می‌شود.

$$u^h(\mathbf{x}) = R u^{enr}(\mathbf{x}) + (1-R) u^{lin}(\mathbf{x}) \quad (4-3)$$

در عبارت فوق،  $(x) u^{enr}$  تقریب غنی‌شده و  $(x) u^{lin}$  تقریب خطی میدان می‌باشد.  $R$  تابع شیب پیوسته‌ایست که در ناحیه گذرا تعریف می‌شود و روی مرز ناحیه غنی‌شده ( $r_1 = r$ ) دارای مقدار یک و روی مرز ناحیه تقریب خطی ( $r_2 = r$ ) دارای مقدار صفر می‌باشد (مطابق شکل (۴-۳)).

توابع چندجمله‌ای زیر به عنوان تابع شیب پیشنهاد شده‌اند:

$$R = \begin{cases} 1-\xi & \text{linear} \\ 1-10\xi^3 + 15\xi^4 - 6\xi^5 & \text{quintic} \end{cases} \quad (5-3)$$

که در آن،  $\xi = r/r_1$  و  $r$  فاصله شعاعی تا نوک ترک است.

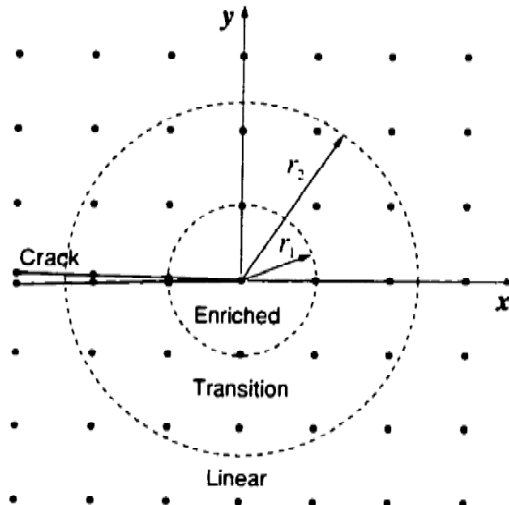
تقریب کوپل متغیر میدان را می‌توان به صورت زیر نمایش داد:

$$u^h(\mathbf{x}) = \sum_{I=1}^n \tilde{\Phi}_I(\mathbf{x}) \mathbf{U}_I \quad (6-3)$$

که در آن،

$$\tilde{\Phi}^h(\mathbf{x}) = R\Phi^{enr}(\mathbf{x}) + (1-R)\Phi^{lin}(\mathbf{x}) \quad (7-3)$$

تابع شکلی است که با استفاده از توابع پایه غنی‌شده کامل (رابطه (1-۳)) محاسبه شده است و  $\Phi_I^{lin}(x)$  تابع شکل حاصل از کاربرد توابع پایه خطی می‌باشد. کاربرد روش کوپل فوق، سازگاری میدان تغییرمکان را تضمین می‌نماید. پیوستگی میدان کرنش بستگی به پیوستگی تابع شیب  $R$  دارد. هرچند کاربرد تابع شیب خطی منجر به پیوستگی میدان تغییرمکان می‌شود؛ اما ناپیوستگی میدان کرنش در  $r_1 = r_2 = r$  را باعث می‌شود. استفاده از تابع شیب اسپیلاین درجه ۵ پیوستگی میدانهای تغییرمکان و کرنش را در پی دارد.



شکل ۳-۱- نمای کلی کوپل تقریبهای غنی‌شده و خطی

تجربیات ناشی از حل مثالهای عددی نشان می‌دهد؛ مقدار شعاع داخلی ناحیه گذرا  $r_1$  تقریباً اختیاری است و مرز آن می‌تواند از نوک ترک شروع شود. اما مقدار شعاع خارجی  $r_2$  باید بزرگتر از شعاع محدوده تکینی حوزه نوک ترک باشد تا نتایجی با دقت مطلوب حاصل گردد.

البته می‌توان از روش کوپل استفاده نکرد و تقریب متغیر میدان بطور ساده و دفعی از تقریب غنی‌شده به تقریب خطی تبدیل شود. این تغییر باید در ناحیه دور از ناحیه حوزه نوک ترک انجام گیرد. مشکل استفاده از این روش ایجاد ناپیوستگی در میدان تغییرمکان در مرز تغییر نوع تقریب است. در این نقطه میدان تغییرمکان دارای پیوستگی<sup>۱</sup> است، یعنی در میدان تغییرمکان پرش رخ می‌دهد. هرچند از نظر تئوری ناپیوستگی متغیر میدان در روش گلرکین غیرقابل قبول است؛ اما اگر نقطه گذر به حد کافی دور از حوزه نوک ترک انتخاب شود، اندازه پرش کوچک است و اثر قابل توجهی روی حل نمی‌گذارد و در مجموع، همگرایی حل حفظ می‌گردد.

### ۳-۳- مدلسازی ترک با روش بدون المان گلرکین

خصوصیات پیوستگی و مشتق‌پذیری تقریب MLS به خصوصیات متناظر توابع پایه و تابع وزنی بستگی دارد. هرچند کاربرد توابع پایه و وزنی معمول منجر به پیوستگی و مشتق‌پذیری تقریب MLS با

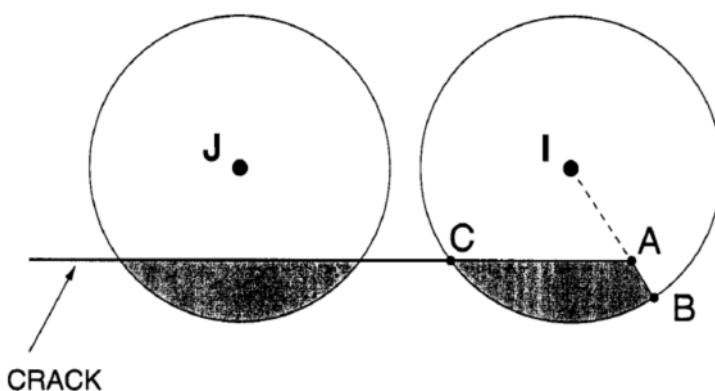
دقت نسبتاً بالایی در محیط‌های پیوسته شده است؛ اما توسعه این تقریب به نواحی دارای ناپیوستگی مثل ترکها و یا فصل مشترک مواد نیازمند کاربرد روش‌های ویژه‌ای برای لحاظ کردن ناپیوستگی در تقریب می‌باشد. در روش‌های مرسوم، ناحیه تکیه‌گاهی گره‌ها در نزدیکی مرزهای غیرمحدب بر مبنای تئوری پرتوهای نوری تصحیح می‌گردد.

### ۱-۳-۳- معیار دید<sup>۱</sup>

اولین روشی که برای مدلسازی مرزهای غیرمحدب ارائه شد؛ معیار دید می‌باشد [۳۷]. در این روش ساده، ناحیه تکیه‌گاهی گره‌ها محدود به حوزه دید از این گره می‌شود. در این روش تمام مرزهای داخلی و خارجی از جمله ترک-مانند سطوح کدر در نظر گرفته می‌شوند. بنابراین حوزه دید (ناحیه تکیه‌گاهی) توسط این مرزها بریده و محدود می‌گردد. شرایط قرار گرفتن نقطه X در ناحیه تکیه‌گاهی یک گره مثل A یا L در شکل (۲-۳) را می‌توان بصورت زیر بیان نمود.

۱- نقطه X در ناحیه تکیه گاهی کامل گره (با فرض عدم وجود مرزها) قرار داشته باشد.

۲- پاره خط واصل نقطه X و گره، هیچ مرزی را قطع ننماید.



شکل ۲-۳- محدود شدن ناحیه تکیه‌گاهی با کاربرد معیار دید

<sup>۱</sup> - visibility criteria

در شکل (۲-۳) نقاطی که در ناحیه هاشورخورده قرار دارند؛ از ناحیه تکیه‌گاهی گره‌های ۱ و ۲ حذف می‌شوند. در نتیجه، اثر ناپیوستگی در تعریف توابع وزنی و شکل گره‌هایی نظری ۱ و ۲ لحاظ می‌گردد.

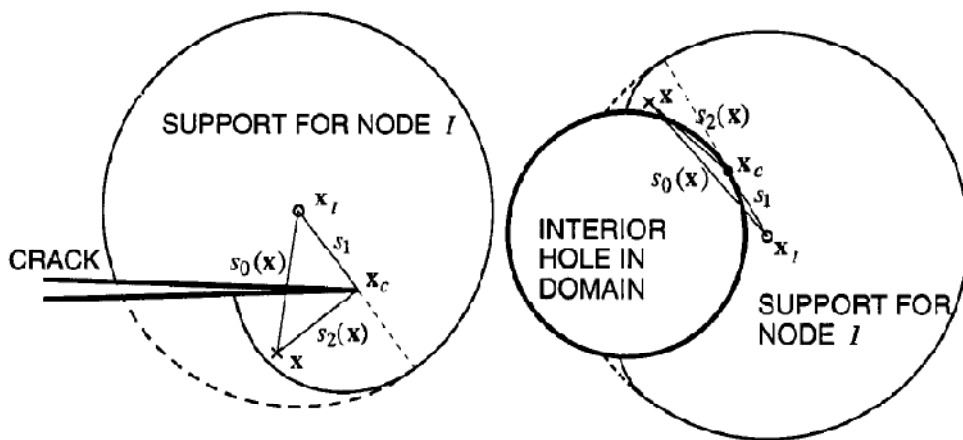
ضعف روش دید، مشکلی است که برای گره‌های نزدیک به نقاط انتهایی ناپیوستگیها -مثلاً نوک ترک در مکانیک شکست- بوجود می‌آید. برش جزئی ناحیه تکیه‌گاهی -ناشی از کاربرد معیار دید- برای گره‌هایی که ناحیه تکیه‌گاهی آنها شامل نوک ترک است رخ می‌دهد- منجر به ناپیوستگی-هایی در تقریب اطراف نوک ترک می‌شود. مقدار و طول این ناپیوستگی‌ها تابع گره‌بندی اطراف نوک ترک است و با کاهش فاصله بین گره‌ها، ناپیوستگی نیز محدود می‌شود. تحقیقات نشان می‌دهد؛ علیرغم تقریب‌های ناپیوسته‌ای که در اثر کاربرد معیار دید بوجود می‌آید، همگرایی حل حفظ می‌گردد [۷۶].

### ۲-۳-۳- روش پراش<sup>۱</sup>

تقریب‌های پیوسته و هموار در نزدیکی مرزهای غیرمحدب با کاربرد روش پراش قابل دستیابی است [۷۶ و ۷۷]. طبق این معیار، ناحیه تکیه‌گاهی گره‌ها مانند پراش پرتو نور حول یک گوشه تیز، حول مرزهای غیرمحدب پیچیده می‌شوند (مطابق شکل (۳-۳- چپ)).

---

<sup>۱</sup> - diffraction method



شکل ۳-۳- کاربرد روش پراش برای تصحیح ناحیه تکیه‌گاهی: راست- حول یک سوراخ. چپ- حول یک ترک

همانطور که در شکل (۳-۳- چپ) دیده می‌شود؛ مطابق معیار پراش وقتی خط وصل بین گره  $x$ - که نوک ترک در ناحیه تکیه‌گاهی آن قرار دارد- و نقطه مورد نظر  $x$  ترک را قطع می‌کند؛ فاصله بین آنها برای محاسبه تابع وزنی بصورت زیر تصحیح می‌گردد.

$$d_I = \left( \frac{s_1 + s_2(x)}{s_0(x)} \right)^\lambda s_0(x) \quad (8-3)$$

در این رابطه،  $s_1 = \|x_I - x_c\|$  فاصله گره تا نوک ترک،  $s_2 = \|x - x_c\|$  فاصله نقطه مورد نظر تا نوک ترک و  $s_0 = \|x - x_I\|$  فاصله بین گره  $x$  و نقطه  $x_I$  می‌باشد. پارامتر  $\lambda$  برای تنظیم فاصله ناحیه تکیه‌گاهی در آن طرف ترک بکار می‌رود. طبق نتایج عددی،  $\lambda=1$  کارکرد خوبی دارد. روش پراش برای مرزهای غیرمحدب دیگر مثل سوراخ نیز دارای کارکرد قابل قبولی است (شکل (۳-۳- راست)).

### ۳-۳-۳- روش شفافیت<sup>۱</sup>

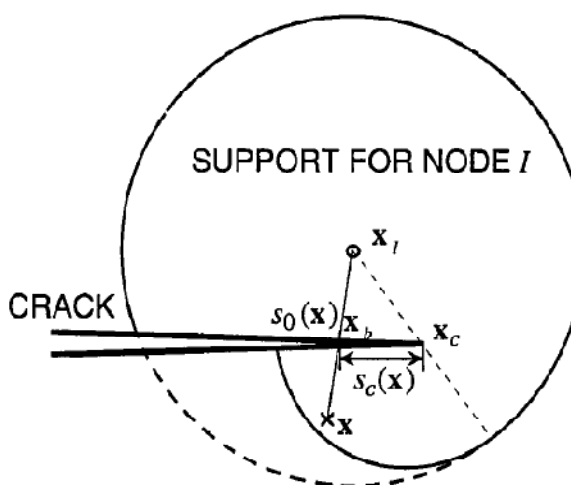
<sup>۱</sup> - transparency method

روش دیگری که برای ساختن تقریب پیوسته بکار می‌رود؛ روش شفافیت است [۷۷]. در این روش، ترک در منطقه نزدیک نوک ترک بعنوان سطحی دارای شفافیت متغیر در نظر گرفته می‌شود؛ بطوریکه در نوک ترک کاملاً شفاف و در فاصله کوتاهی از آن کاملاً کدر فرض می‌شود.

طبق معیار شفافیت، وقتی خط واصل بین گره - دارای ناحیه تکیه‌گاهی شامل نوک ترک - و نقطه تقریب از ترک می‌گذرد (مطابق شکل (۴-۳))؛ فاصله  $d_I$  برای محاسبه تابع وزنی بصورت زیر تصحیح می‌گردد.

$$d_I(x) = s_o(x) + d_{ml} \left( \frac{s_c(x)}{\bar{s}_c} \right)^\lambda \quad \lambda \geq 2 \quad (9-3)$$

که در آن،  $s_0(x) = \|x - x_I\|$  و  $d_{ml}$  شعاع ناحیه تکیه‌گاهی گره است. بعلاوه،  $\bar{s}_c$  طول قطعه ترک بریده شده توسط خط واصل گره و نقطه تقریب است. پارامتر  $\bar{s}$  طول قطعه‌ای از ترک است که دارای شفافیت می‌باشد و معمولاً بصورت کسری از فاصله گرهی در نظر گرفته می‌شود. کاربرد روش شفافیت برای نقاط تقریبی که در نزدیکی ترک قرار دارند؛ با مشکلاتی مواجه می‌شود.



شکل ۴-۳- کاربرد روش شفافیت برای تصحیح ناحیه تکیه‌گاهی

#### ۴-۳- روش مجموعه بردارهای مرتبه‌ای

روش مجموعه مرتبه‌ای یک ابزار عمومی برای توصیف سطوح متحرک است و در بسیاری از مسائل مورد استفاده قرار می‌گیرد [۷۸ و ۷۹].

در این روش، سطح ناپیوستگی با یک تابع فاصله جهت‌دار و حرکت سطح با یک تابع حرکت مناسب تعریف می‌شود. تابع فاصله جهت‌دار با مجموعه‌ای از مقادیر گرهی بیان می‌شود و نیازی به توصیف صریح ترک نمی‌باشد. بعلاوه حرکت سطح ناپیوستگی نیز با روش‌های عددی مثل اختلاف محدود مدل می‌گردد. در مسائل مکانیک شکست، این روش امکان توصیف سطوح ترک بسیار پیچیده را با مقادیر گرهی و بدون استفاده از اطلاعات هندسی فراهم می‌آورد. در رهیافت مجموعه مرتبه‌ای برداری یک ترک با استفاده از موقعیت نوک ترک و یک تابع برداری مجموعه مرتبه‌ای توصیف می‌شود. تابع مذکور با استفاده از توابع فاصله‌ای جهت‌دار تعریف می‌شود و در حقیقت بردار موقعیت نسبت به دستگاه مختصات محلی نوک ترک است. معمولاً این تابع برای باند نازکی از گره‌های اطراف ترک در نظر گرفته می‌شود.

توصیف مذکور امکان استفاده از تقریب جدیدی برای ترک را در روش بدون‌المان گلرکین می‌دهد. همچنین کاربرد معیار کلاسیک توصیف ترک در روش بدون‌المان گلرکین و عملیات محاسباتی حوزه نوک ترک مثل غنی‌سازی و محاسبه انتگرال  $\int$  با کاربرد این روش بسیار ساده‌تر صورت می‌گیرد. کاربرد روش جدید تقریب نیازی به استفاده از روش‌های مدلسازی ترک مثل روش پراش یا شفافیت ندارد. بعلاوه در این روش، تکنیک  $\sqrt{r}$  بهتر از روش‌های قبلی بیان می‌شود و باعث بهبودی همگرایی در حل می‌گردد. در نهایت، در این روش ناحیه تکیه‌گاهی گره‌های شامل ترک تغییر نمی‌کند.

### ۳-۴-۱- روش مجموعه مرتبه‌ای<sup>۱</sup>

---

<sup>۱</sup> - Level Set Method- LSM

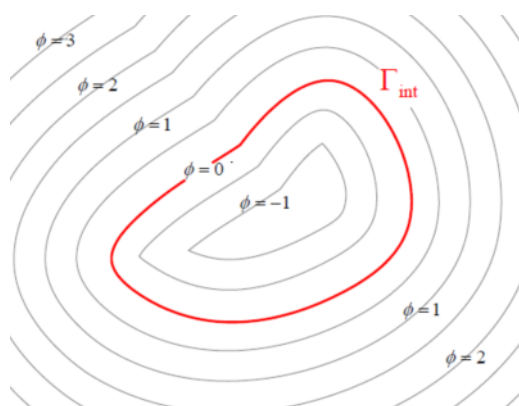
برای ارائه توضیح مختصراً در مورد LSM مسئله‌ای شامل فصل مشترک متحرک در نظر گرفته می‌شود. تابع  $\phi(t)$  فصل مشترک را نشان می‌دهد و  $\Gamma(t=0)$  موقعیت اولیه آنرا مشخص می‌کند. فرض می‌شود، فصل مشترک با سرعت  $F$  در راستای عمود بر آن حرکت می‌کند. علاوه بر این، فرض می‌شود منحنی فصل مشترک در طول حرکت بسته باقی می‌ماند. بنابراین، ناحیه را به دو بخش مجزای داخل منحنی و خارج آن تقسیم می‌کند. اساس LSM، نمایش فصل مشترک با مقدار صفر تابع  $\phi$  است که بعد آن یکی بیشتر از بعد  $\Gamma$  است. معادله  $\phi$  با این فرض که مقدار تابع  $\phi$  در موقعیت  $(x(t), t)$  برابر صفر است که فصل مشترک در لحظه  $t$  از آن می‌گذرد یعنی  $x(t), t) = \phi = 0$ . پس از مشتق‌گیری، اعمال قاعده زنجیری و در نظر گرفتن سرعت حرکت فصل مشترک می‌توان نوشت.

$$\frac{\partial \phi}{\partial t} + F \|\nabla \phi\| = 0 \quad (10-3)$$

شرط اولیه بصورت یک تابع فاصله جهتدار از منحنی اولیه بیان می‌شود.

$$\phi(x, t=0) = \pm \min_{x \in \Gamma(t=0)} \|x - x_I\| \quad (11-3)$$

علامت (+) برای یک طرف منحنی  $\Gamma(t)$  و علامت (-) برای طرف دیگر آن است. در LSM حل معادله فوق با روش‌های محاسباتی روی یک شبکه گره تقریب زده می‌شود.



شکل ۳-۵- بیان یک فصل مشترک با استفاده از LSM

### ۳-۴-۲- نمایش مجموعه مرتبه‌ای یک ترک

همانطور که قبلاً ذکر شد؛ یک تابع مرتبه‌ای - بهترینی که در مورد فصل مشترک بکار می‌رود؛ برای نمایش ترک کافی نمی‌باشد. ترک در واقع یک مرز داخلی ناحیه حل است که آنرا به دو ناحیه تقسیم می‌کند. در ناحیه دو بعدی، ترک یک مرز منحنی باز است که به نوک یا نوکهای آن ختم می‌شود. بسط LSM برای نمایش یک مرز باز، توسط دو تابع مرتبه‌ای بصورت زیر است [۷۸].

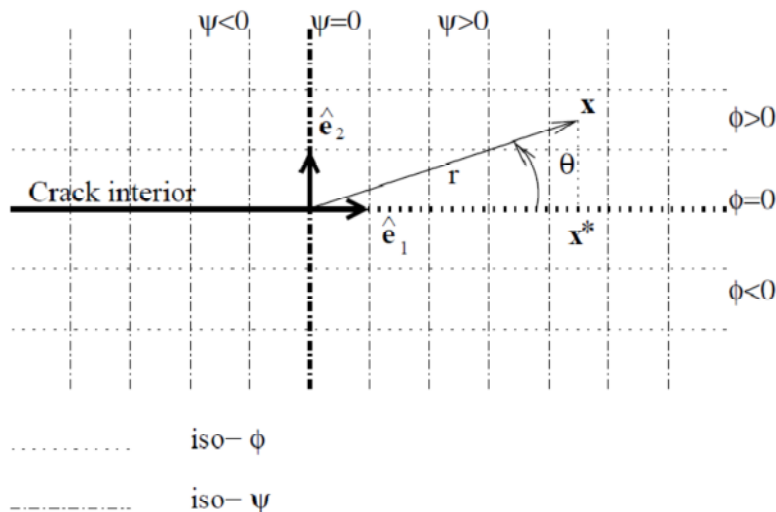
- تابع مجموعه مرتبه‌ای عمودی  $\phi$  که بصورت فاصله جهتدار از ترک و خطوط مماس در نوکهای

$$\text{ترک تعریف می‌شود یعنی } \phi = \vec{r} \cdot \hat{e}_2.$$

- تابع مجموعه مرتبه‌ای مماسی  $\psi$  که بصورت فاصله جهتدار از خطوط گذرنده از نوکهای ترک و

$$\text{عمود بر خطوط مماس آنها تعریف می‌شود یعنی } \psi = \vec{r} \cdot \hat{e}_1.$$

طبق تعریف فوق، ترک بصورت زیر مجموعه‌ای از مقدار صفر تابع  $\phi$  تعریف می‌شود که  $\psi$  در آن منفی است. همچنان، جبهه ترک نیز فصل مشترک دو مقدار صفر توابع  $\phi$  و  $\psi$  است. در شکل (۶-۳) توصیف ترک با استفاده از توابع مجموعه مرتبه‌ای  $\phi$  و  $\psi$  نشان داده شده است.



شکل ۳-۶- نمایش توابع  $\phi$  و  $\psi$  بصورت مؤلفه‌های بردار موقعیت نقطه  $x$

۳-۴-۳- استفاده از توابع مجموعه مرتبه‌ای برای نمایش ناپیوستگی متغیر میدان

یک ترک در یک پیوستار جامد مرز داخلی است که میدان تغییرمکان در طول آن ناپیوسته است. برای دست یافتن به یک حل منطقی و با دقت قابل قبول باید این ناپیوستگی در تقریب عددی لحاظ شود. در این بخش، چگونگی تسهیل اعمال ناپیوستگی متغیر میدان توسط LSM تشریح خواهد شد.

در روش‌های قبلی، یک ترک با استفاده از توصیف صریح هندسی آن مدل می‌شود. فضای دو بعدی، از مجموعه‌های از پاره خطها و در فضای سه بعدی، از مجموعه‌های از المانهای هرمی برای لحاظ نمودن ترک بکار گرفته می‌شوند. در سالهای اخیر، روش مجموعه مرتبه‌ای -علاوه بر روش‌های مستقیم قبلی- برای نمایش ترک پیشنهاد شده است [۷۹]. روش مجموعه مرتبه‌ای یک روش عددی است و توسط اوشر<sup>۱</sup> و ستیان<sup>۲</sup> [۷۹] معرفی و توسط ستیان [۸۰] بطور مفصل بسط داده شده است. اساس این روش، توصیف یک فصل مشترک یا مرز ناپیوستگی با مقدار صفر یکتابع است که تابع مجموعه مرتبه‌ای نامیده می‌شود. تابع مذکور با استفاده از معادلات همیلتون-ژاکوبی و دانستن سرعت حرکت فصل مشترک در راستای عمود بر آن، قابل اصلاح و بروز کردن می‌باشد. اولین بار در سال ۲۰۰۱ کاربرد تابع مجموعه مرتبه‌ای در روش المان محدود توسعه یافته<sup>۳</sup> مطرح گردید [۷۸].

در روش المان محدود توسعه یافته برای حل مسائل مکانیک شکست از LSM برای تعیین موقعیت ترک استفاده می‌شود و لازم نیست مشبندی ناحیه حل به لبه‌های ترک منطبق باشد. البته بین سطوح فصل مشترک در حالت کلی و ترک تفاوت‌هایی وجود دارد که در کاربرد LSM در مدلسازی ترک مؤثر است. فصل مشترک یک منحنی بسته است و ترک یک منحنی باز است (در حالت سه

<sup>1</sup> - Osher

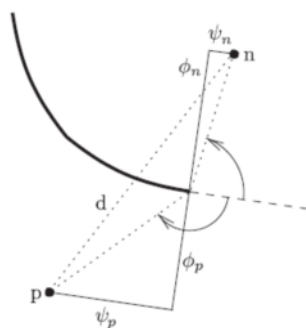
<sup>2</sup> - Sethian

<sup>3</sup> - eXtended Finite Element

بعدی یک سطح باز است) که امکان رشد از نوک ترک را دارد. در نتیجه، برای نمایش ترک دوتابع مرتبه‌ای اسکالر لازم است.

در روشهای مرسوم، ناپیوستگی متغیر میدان در توابع شکل از طریق اعمال در توابع وزنی لاحظ می‌گردد. این روشهای در بخش قبل بطور مشروح آمده‌اند. نکته قابل توجه در کاربرد این روشهای معیارها، روش تشخیص قطع خط واصل بین گره‌ها و نقاط تقریب توسط ترک است که معمولاً از الگوریتمهای ریاضی مثل الگوریتم سدویک<sup>۱</sup> استفاده می‌گردد [۷۳]. کاربرد این الگوریتمها به کدنویسی طولانی نیاز دارد. علاوه بر این، زمان قابل ملاحظه‌ای نیز در اجرا صرف می‌گردد. اما کاربرد توابع مجموعه مرتبه‌ای منجر به الگوریتم ساده‌ای می‌شود. مجموعه‌های مرتبه‌ای عمودی و مماسی، یک دستگاه مختصات محلی در نوک ترک تشکیل می‌دهند. مختصه‌های این دستگاه بسادگی مشخص می‌کنند که خط واصل بین گره  $n$  و نقطه تقریب  $p$  در شکل توسط ترک قطع می‌شود یا خیر؟ اراضی شرط زیر تقاطع را نشان می‌دهد [۸۱].

$$\left| \arctan\left(\frac{\phi_n}{\psi_n}\right) - \arctan\left(\frac{\phi_p}{\psi_p}\right) \right| > \pi \quad (12-3)$$



شکل ۳-۷- کاربرد توابع مجموعه مرتبه‌ای برای اعمال معیارهای مرسوم در مدلسازی ترک [۸۱]

طول کوتاهترین مسیر بین نقطه تقریب  $p$  و گره  $n$  نیز بصورت زیر قابل بیان است.

<sup>۱</sup> - Sedwich

$$\sqrt{\phi_n^2 + \psi_n^2} + \sqrt{\phi_p^2 + \psi_p^2} \quad (13-3)$$

در روش المان محدود توسعه یافته، مشبندی روی مرزهای داخلی مثل ترک منطبق نمی‌شود. در عوض، درجات آزادی اضافی در گرهایی در نظر گرفته می‌شود که ناحیه تکیه‌گاهی آن توسط ترک بریده شده است.

توابع شکل متناظر با این درجات آزادی جدید حاصلضرب توابع شکل معمولی درتابع پرش  $H(x)$  است که علامت آن در دو طرف ترک متفاوت است. با درنظر گرفتن تقریب نوک ترک، تقریب متغیر میدان (در اینجا تغییرمکان) در نقطه  $\mathbf{x}$  بصورت زیر قابل بیان است.

$$u^h(\mathbf{x}) = \sum_{i=1}^N \phi_i(\mathbf{x}) q_i + \sum_{j \in N^c} \phi_j(\mathbf{x}) H(\mathbf{x}) a_j + \sum_{k \in N^{np}} \phi_k(\mathbf{x}) \sum_{\alpha=1}^4 B_\alpha b_k^\alpha \quad (14-3)$$

عبارت جمع دوم در طرف راست رابطه بالا، برای گره المانهایی در نظر گرفته می‌شود که توسط ترک بریده می‌شوند. درجات آزادی  $a_j$  میدان تغییرمکان باز شدن ترک را بیان می‌کند. عبارت جمع سوم در طرف راست نیز شامل گرهایی است که نوک ترک در ناحیه تکیه‌گاهی آنها قرار دارد و غنی‌سازی نوک ترک شامل آن می‌شود. تابع پرش  $H(x)$  معمولاً بصورت علامت در نظر گرفته می‌شود.

$$H(x) = sign(\phi(x)) \quad (15-3)$$

که در آن،

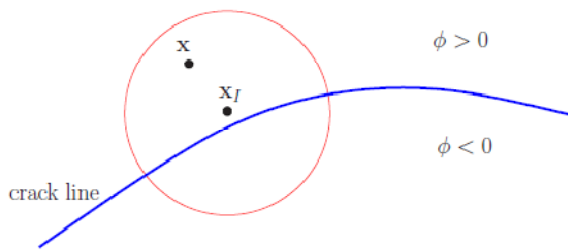
$$sign(s) = \begin{cases} +1 & S > 0 \\ -1 & S < 0 \end{cases} \quad (16-3)$$

توابع غنی‌سازی نوک ترک نیز بصورت یکی از دو فرم زیر در نظر گرفته می‌شود.

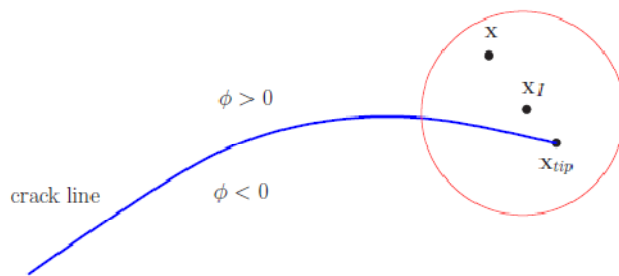
$$B(\mathbf{x}) = \left\{ \sqrt{r} \cos \frac{\theta}{2}, \sqrt{r} \sin \frac{\theta}{2}, \sqrt{r} \sin \frac{\theta}{2} \sin \theta, \sqrt{r} \cos \frac{\theta}{2} \sin \theta \right\} \quad (17-3)$$

$$B(x) = \left\{ \sqrt{r} \cos \frac{\theta}{2}, \sqrt{r} \sin \frac{\theta}{2}, \sqrt{r} \sin \frac{\theta}{2} \cos \theta, \sqrt{r} \cos \frac{\theta}{2} \cos \theta \right\} \quad (18-3)$$

در این روابط،  $r$  و  $\theta$  مختصه‌های نقطه  $x$  در مختصات محلی نوک ترک می‌باشند. مجموعه گره‌های  $N^c$  شامل گره‌هایی است که نقطه  $x$  در ناحیه تکیه‌گاهی آنها قرار دارد و ناحیه تکیه‌گاهی آنها توسط ترک بریده می‌شود. مجموعه گره‌های  $N^{tip}$  شامل گره‌هایی است که نقطه  $x$  و نوک ترک در ناحیه تکیه‌گاهی آنها قرار دارد



شکل ۸-۳- مجموعه گره‌های  $N^c$ : گره‌هایی که ناحیه تکیه‌گاهی آنها شامل نقطه  $x$  است و ناحیه تکیه‌گاهی آنها توسط ترک بریده می‌شود



شکل ۹-۳- مجموعه گره‌های  $N^{tip}$ : گره‌هایی که ناحیه تکیه‌گاهی آنها شامل نقطه  $x$  و نوک ترک است

در این روش، ماتریس  $B$  با روش کلاسیک EFG متفاوت است و بصورت زیر تعریف می‌شود.

$$B = \begin{bmatrix} B^{std} & B^{enr} \end{bmatrix} \quad (19-3)$$

که در آن،  $B^{std}$  ماتریس استاندارد  $B$  است و در دو بعد بصورت زیر تعریف می‌شود.

$$\mathbf{B} = \begin{bmatrix} \Phi_{I,x} & 0 \\ 0 & \Phi_{I,y} \\ \Phi_{I,y} & \Phi_{I,x} \end{bmatrix} \quad (20-3)$$

و  $\mathbf{B}^{enr}$  ماتریس غنی‌شده  $\mathbf{B}$  است.

$$B^{enr} = \begin{bmatrix} (\Phi_I \Psi_I)_{,x} & 0 \\ 0 & (\Phi_I \Psi_I)_{,y} \\ (\Phi_I \Psi_I)_{,x} & (\Phi_I \Psi_I)_{,y} \end{bmatrix} \quad (21-3)$$

که در آن،  $(\Psi_I(\mathbf{x}))$  می‌تواند تابع  $H(\mathbf{x})$  و یا توابع غنی‌سازی نوک ترک  $(\mathbf{B}_n(\mathbf{x}))$  باشد.

### ۳-۶-۴- کاربرد توابع مجموعه مرتبه‌ای برای غنی‌سازی تقریب

با در نظر گرفتن اطلاعات حوزه نوک ترک در غنی‌سازی میدان تغییرمکان کیفیت حل را بطور قابل ملاحظه‌ای ارتقاء می‌دهد. در تمام روش‌های غنی‌سازی، جمله‌های مربوطه بر حسب فاصله شعاعی و زاویه‌ای در مختصات قطبی و محلی نوک ترک بیان می‌شود. متغیرهای  $r$  و  $\theta$  را می‌توان بر حسب توابع مجموعه مرتبه‌ای بصورت زیر بیان کرد.

$$r = \sqrt{\phi^2 + \psi^2} \quad (22-3)$$

$$\theta = \arctan\left(\frac{\phi}{\psi}\right)$$

### ۳-۵- روش‌های عددی محاسبه ضریب شدت تنش

با درنظر گرفتن فرضیات مکانیک شکست خطی<sup>۱</sup> میدانهای تنش، کرنش و تغییرمکان در حوزه نوک ترک با استفاده از ضریب شدت تنش<sup>۲</sup> تعیین می‌شوند. در این بخش، روش‌های

<sup>1</sup> Linear Elastic Fracture Mechanics- LEFM

<sup>2</sup> Stress Intensity Factor-SIF

عددی استخراج ضرایب شدت تنش در محدوده LEFM بررسی می‌شوند. بطور کلی روش‌های

استخراج ضریب شدت تنش به دو دسته تقسیم می‌شوند:

۱- روش‌های مستقیم: مقادیر ضریب شدت تنش بطور مستقیم از نتایج عددی

استخراج می‌شوند.

۲- رهیافت انرژی: ابتدا نرخ رهایش انرژی و سپس با استفاده از آن، ضریب شدت

تنش محاسبه می‌شود.

معمولًا روش‌های با مبنای انرژی دقیق‌تر هستند و بر روش‌های مستقیم ترجیح داده

می‌شوند. اما روش‌های مستقیم نیز قابلیتهایی دارند و بخصوص برای چک کردن نتایج

رهیافت انرژی مفید می‌باشند. بیان این روشها ساده است و می‌توان با محاسبات دستی

مقادیر ضریب شدت تنش را بدست آورد.

### ۱-۵-۳- روش همبستگی تغییر مکانها

روش همبستگی تغییر مکانها یکی از ساده‌ترین و به لحاظ تاریخی، اولین روش‌هایی

است که برای استخراج ضریب شدت تنش از نتایج عددی بکار می‌رود و یک روش مستقیم

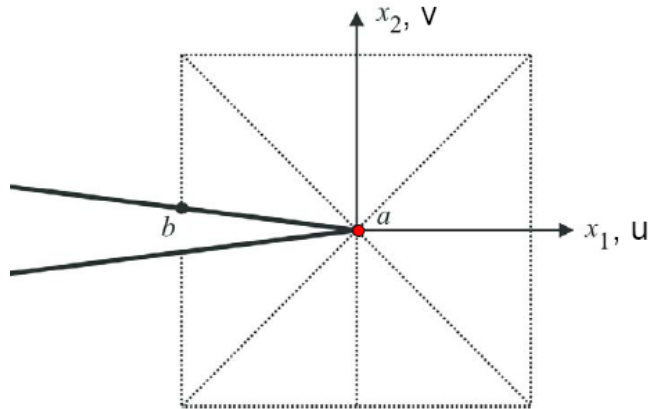
است. در ساده‌ترین فرم این روش، تغییر مکانهای حاصل از تحلیل عددی برای یک نقطه به

نام نقطه همبستگی<sup>۱</sup>- بطور مستقیم در عبارتهای تحلیلی میدان تغییر مکان حوزه نوک ترک

جایگزین می‌شود. در شکل (۳-۱۰) کاربرد فرم ساده این روش نشان داده شده است.

---

<sup>۱</sup> correlation point



شکل ۳-۱۰-۳ - کاربرد روش همبستگی تغییرمکان برای یک نقطه همبستگی

در ناحیه کنترل ضریب شدت تنش، میدان تغییرمکان بصورت زیر است.

$$u = \frac{K_{II}}{2\mu} \sqrt{\frac{r}{2\pi}} \sin \frac{\theta}{2} (\kappa - 1 + 2 \cos^2 \frac{\theta}{2}) \quad (3-23)$$

$$v = \frac{K_I}{2\mu} \sqrt{\frac{r}{2\pi}} \sin \frac{\theta}{2} (\kappa + 1 - 2 \cos^2 \frac{\theta}{2}) \quad (3-24)$$

با توجه به روابط فوق و در نظر گرفتن دو نقطه  $a$  و  $b$  و پارامترهای  $r=r_{a-b}$  و  $\theta = \pi$  در شکل ۳-۱۰-۳)، تفاضل مؤلفه‌های تغییرمکان این دو نقطه بصورت زیر است.

$$v^b - v^a = \frac{K_I}{2\mu} \sqrt{\frac{r_{a-b}}{2\pi}} (\kappa + 1) \quad (3-25)$$

$$u^b - u^a = \frac{K_{II}}{2\mu} \sqrt{\frac{r_{a-b}}{2\pi}} (\kappa + 1) \quad (3-26)$$

در عبارتهای فوق، طرف چپ با استفاده از نتایج عددی محاسبه می‌شود. از این روابط، عبارتهای ضریب شدت تنش بصورت زیر استخراج می‌شود.

$$K_I = \frac{2\mu(v^b - v^a)}{(\kappa + 1)} \sqrt{\frac{2\pi}{r_{a-b}}} \quad (3-27)$$

$$K_{II} = \frac{2\mu(u^b - u^a)}{(\kappa + 1)} \sqrt{\frac{2\pi}{r_{a-b}}} \quad (28-3)$$

$$K_{III} = \mu(w^b - w^a) \sqrt{\frac{\pi}{2r_{a-b}}} \quad (29-3)$$

که در آنها  $\mu$  مدول برشی،  $\nu$  ضریب پواسون،  $r$  فاصله نوک ترک تا نقطه همبستگی و  $u$ ،  $v$  و  $w$  به ترتیب مولفه‌های تغییرمکان در راستاهای  $x$ ،  $y$  و  $z$  در این نقطه می‌باشند.  $\kappa$  نیز ثابت کلسوف است.

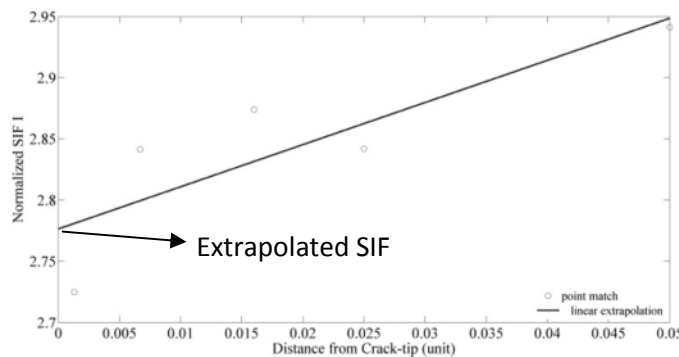
معمولًا نقطه همبستگی روی سطح ترک و با تغییرمکان حداکثر، انتخاب می‌شود تا خطای نسبی در محاسبه تغییرمکانها به حداقل برسد. نتایج این روش به موقعیت نقطه همبستگی حساسیت زیادی دارد. لذا برای رسیدن به نتایج مطلوب در این روش باید در انتخاب نقطه همبستگی دقیق بخرج داده شود؛ تا با وجود قرار داشتن نقطه در ناحیه کنترل ضریب شدت تنش دارای تغییرمکان مناسب نیز باشد. کاربرد این روش برای المانهای غیرتکین به مشبندی ریزی در حوزه نوک ترک نیاز دارد. مزیت اصلی این روش سادگی و محاسبه جداگانه ضریب شدت تنش برای هر سه مود شکست است.

یکی از روشهایی که برای حل این مشکل مورد استفاده قرار می‌گیرد، محاسبه ضریب شدت تنش برای تعدادی از نقاط در ناحیه کنترل ضریب شدت تنش است. سپس یک منحنی بر این نتایج برازش می‌شود و مقادیر ضریب شدت تنش برای حالتی برونویابی می‌شود که  $r$  به سمت صفر می‌کند (مطابق شکل (11-3)). در این حالت، روابط ضریب شدت تنش بصورت زیر تعریف می‌شود.

$$K_I = \lim_{r \rightarrow 0} \frac{2\mu(u^b - u^a)}{(\kappa + 1)} \sqrt{\frac{2\pi}{r}} \quad (30-3)$$

$$K_{II} = \lim_{r \rightarrow 0} \frac{2\mu(v^b - v^a)}{(\kappa + 1)} \sqrt{\frac{2\pi}{r}} \quad (31-3)$$

$$K_{III} = \lim_{r \rightarrow 0} \mu(w^b - w^a) \sqrt{\frac{\pi}{2r}} \quad (32-3)$$



شکل ۳-۱۱-۳- برونيابی ضریب شدت تنش در روش همبستگی تغییرمکانها

در روش المان محدود، اگر از المانهای نوک ترک  $1/4$  استفاده شود؛ دقت مقادیر ضریب شدت

تنش محاسبه شده با این روش بهبود می‌یابد [۸۲].

### ۲-۵-۳- روش گسترش مجازی ترک

روش گسترش مجازی ترک بر پایه رهیافت انرژی است. این روش توسط پارکس<sup>۱</sup>

[۸۳] و هلن<sup>۲</sup> [۸۴] بطور جداگانه پیشنهاد شده است. سالها بعد، پارکس روش مذکور را

برای رفتار غیرخطی و تغییرشکل بزرگ نوک ترک تعمیم داد [۸۵]. اما امروزه این روش

کاربردی ندارد. چون محاسبه نرخ تغییرات ماتریس سختی نسبت به رشد ترک در فرم

گسسته آن با مشکلاتی مواجه است و از طرفی، ثابت می‌شود؛ فرم پیوسته این روش با فرم

ناحیه‌ای انتگرال معادل است [۸۶]. در این روش نرخ تغییر انرژی پتانسیل کل سیستم

برای گسترش کوچک و مجازی ترک محاسبه می‌شود. این مقدار برپایه فرضیات LEFM برابر

<sup>1</sup> - Parks

<sup>2</sup> - Hellen

نرخ رهایش انرژی می‌باشد. نرخ رهایش انرژی،  $\Pi$ ، برای یک سیستم گسسته (در غیاب نیروهای کالبدی) بشكل زیر است.

$$\Pi = \frac{1}{2} \mathbf{u}^T \mathbf{K} \mathbf{u} - \mathbf{u}^T \mathbf{p} \quad (33-3)$$

که در آن،  $\mathbf{u}$  بردار تغییرمکان گره‌ها،  $\mathbf{K}$  ماتریس سختی و  $\mathbf{p}$  بردار نیروی خارجی است. نرخ رهایش انرژی برای گسترش کوچک و مجازی ترک بصورت زیر است:

$$\mathfrak{I} = \frac{\partial \Pi}{\partial a} = \frac{1}{2} \mathbf{u}^T \frac{\partial \mathbf{K}}{\partial a} \mathbf{u} - \mathbf{u}^T \frac{\partial \mathbf{p}}{\partial a} + \frac{\partial \mathbf{u}^T}{\partial a} [\mathbf{K} \mathbf{u} - \mathbf{p}] \quad (34-3)$$

برای سادگی، فرض می‌شود تغییرات میدان تغییرمکان در اثر رشد مجازی ترک محدود است و سیستم نیروهای خارجی حین رشد ترک تغییر نمی‌کند. بنابراین، مقدار داخل برآکت صفر است و معادله بالا بصورت زیر ساده می‌شود.

$$\mathfrak{I} = \frac{1}{2} \mathbf{u}^T \frac{\partial \mathbf{K}}{\partial a} \mathbf{u} \quad (35-3)$$

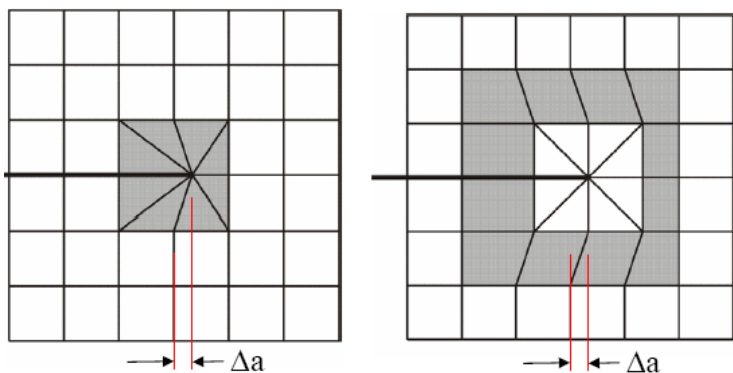
پارکس تقریب اختلاف محدود<sup>۱</sup> را برای محاسبه  $\frac{\partial \mathbf{K}}{\partial a}$  بکار برد [۸۳].

$$\frac{\partial \mathbf{K}}{\partial a} = \frac{\mathbf{K}_{a+\Delta a} - \mathbf{K}_a}{\Delta a} \quad (36-3)$$

که در آن فقط ماتریس سختی المانهایی محاسبه می‌شود که تحت تاثیر رشد ترک واقع شده و تغییرشکل داده‌اند. این روش ساده است؛ اما خطای تقریب را دربردارد. علاوه براین، برای کاربرد آن به معیاری برای انتخاب مقدار  $\Delta a$  نیاز است. معمولاً برای منظور نمودن

<sup>۱</sup> Finite Difference Method- FDM

تغییرشکل در میدان تغییرمکان اطراف نوک ترک دو حالت مطابق شکل (۳-۳) در نظر گرفته می‌شود.



شکل ۳-۱۲-۳- منظور کردن اثر رشد مجازی ترک در میدان تغییرمکان. راست: حلقهای از المانها حول المانهای نوک ترک. چپ: المانهای نوک ترک.

هابر<sup>۱</sup> یک روش تحلیلی را برای محاسبه  $\frac{\partial \mathbf{K}}{\partial a}$  معرفی نمود که اساساً قابلیتهای روش را افزایش می‌دهد [۸۷]. روابط فوق، روش گسترش مجازی ترک را برای فرم گسسته بیان می‌نمایند. دلورنزو<sup>۲</sup> این روش را برای یک محیط پیوسته ارائه کرد [۸۸] و [۸۹] به نقل از [۸۶]. مهمترین مزایای رهیافت پیوسته، محدود نبودن روش به روش‌های عددی تعریف شده روی ناحیه حل مثل روش المان محدود و عدم نیاز به محاسبه نرخ تغییرات ماتریس سختی نسبت به رشد ترک می‌باشد. بنکسیلز<sup>۳</sup> و شرمن<sup>۴</sup> نیز نشان دادند؛ روش مذکور بطور ریاضی معادل فرم ناحیه‌ای انتگرال  $\int$  است که بعداً بدان اشاره می‌شود [۹۰].

<sup>1</sup> - Haber

<sup>2</sup> - deLorenzi

<sup>3</sup> - Bank-Sills

<sup>4</sup> - Sherman

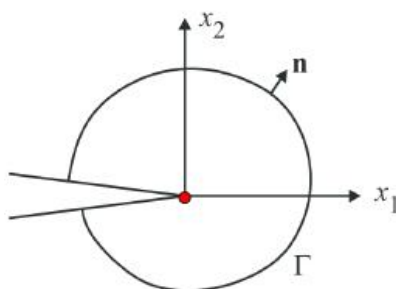
روش گسترش مجازی ترک بر مبنای رهیافت انرژی ارائه شده و انتظار می‌رود؛ در حالت کلی، برای یک مشبندی یکسان، از روش همبستگی تغییر مکانها دقیق‌تر باشد. اما همانطور که اشاره شد، نیاز است که نرخ رهایش انرژی کلی محاسبه شود. در این روش مودهای شکست از یکدیگر جدا نمی‌شوند. البته این نقص را می‌توان با تجزیه میدان تغییر مکان مرتفع نمود.

### ۳-۵-۳- انتگرال ل (حالت دو بعدی)

انتگرال ل یکی از پارامترهایی است که در مکانیک شکست غیرخطی بسیار مورد توجه است. با فرض رفتار خطی ماده می‌توان انتگرال ل را معادل نرخ رهایش انرژی درنظر گرفت. در فرم ابتدایی، انتگرال ل بصورت انتگرال خطی روی کانتور و نرخ رهایش انرژی یک جسم دو بعدی محصور به این کانتور بحث شد. با استفاده از دستگاه مختصات محلی نوک ترک با محور  $x_1$  مماس به لبه ترک و محور  $x_2$  عمود بر آن، انتگرال ل به صورت زیر تعریف می‌شود.

$$J = \lim_{\Gamma \rightarrow 0} \int_{\Gamma} (W n_1 - \sigma_{ij} \frac{\partial u_i}{\partial x_j} n_j) d\Gamma \quad (37-3)$$

که در آن،  $W$  چگالی انرژی کرنشی،  $\sigma$  تانسور تنش،  $n$  بردار یکه و عمود رو به خارج کانتور و  $u$  بردار تغییرمکان است (مطابق شکل (۸-۳)).



شکل ۳-۳- مختصات محلی نوک ترک و کانتور برای محاسبه انتگرال ل

ثابت می‌شود؛ انتگرال خطی (۵۹-۳) با برقراری شرایط زیر مستقل از مسیر است.

۱. نیروهای کالبدی به سطح محصور به کانتور اعمال نشود.
۲. سطوح ترک عاری از تنش باشد (نیروی سطحی به آنها وارد نشود).
۳. مواد ایزوتropیک و رفتار الاستیک (خطی یا غیرخطی) داشته باشند.

خاصیت استقلال از مسیر انتگرال  $\int$  در حالت‌های وجود نیروهای کالبدی یا نیروهای سطحی ترک در صورتی حفظ می‌شود که عبارتهایی به رابطه (۳-۵۹) اضافه شود.

کاربرد اولیه انتگرال  $\int$  در روش المان محدود، ارزیابی مستقیم رابطه (۳-۵۹) در طول کانتوری در شبکه ناحیه حل بود. معمولاً این کانتور طوری انتخاب می‌شود که از نقاط گوسی انتگرال‌گیری بگذرد. چون در این نقاط تنشها بطور دقیق‌تری محاسبه می‌شوند. متاسفانه کاربرد فرم خطی انتگرال  $\int$  در روشهای عددی با خطا همراه است و بندرت خاصیت استقلال از مسیر را نشان می‌دهد. برای رفع این مشکل، فرآیندهایی اتخاذ می‌شود تا محاسبات عددی به مقادیر صحیح  $\int$  نزدیکتر شود.

لی<sup>۱</sup> و همکارانش نشان دادند؛ چگونه می‌توان انتگرال خطی  $\int$  را به یک انتگرال سطحی معادل<sup>۲</sup> تبدیل نمود [۹۱]. کاربرد فرم سطحی انتگرال  $\int$  در روش المان محدود بسیار ساده‌تر و با نتایج دقیق‌تری همراه است. بنکسیلز ثابت کرد؛ این فرم انتگرال  $\int$  نیز خاصیت استقلال از سطح را دارد می‌باشد [۹۰]. فرم سطحی انتگرال  $\int$  بصورت زیر است.

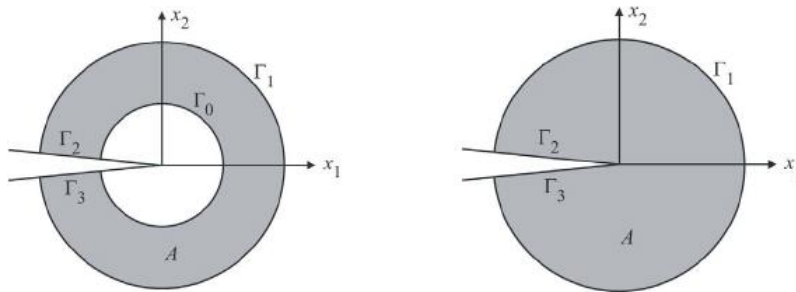
$$\bar{J} = \int_A (W\delta_{ij} - \sigma_{ij} \frac{\partial u_i}{\partial x_j}) \frac{\partial q_j}{\partial x_i} dA \quad (38-3)$$

که در آن  $\delta$ ، تابع دلتای کرونکر و  $q$ ، یک تابع وزنی است که روی سطح انتگرال‌گیری تعریف می‌شود. به طور فیزیکی تابع  $q$  را می‌توان بعنوان میدان تغییرمکان در اثرگسترش مجازی ترک در نظر گرفت.

<sup>1</sup> Li

<sup>2</sup> Equivalent Domain Integral- EDI

ناحیه انتگرالگیری به دو روش تعریف می‌شود. ناحیه دایره‌ای توخالی که ناحیه نوک ترک را احاطه کرده است (مطابق شکل ۱۴-۳-چپ) و یا منقبض شدن کانتور داخلی تا نوک ترک (مطابق شکل ۱۴-۳-راست).



شکل ۱۴-۳- نواحی انتگرالگیری برای محاسبه فرم سطحی انتگرال  $\int$

حالت دوم که المانهای نوک ترک در انتگرالگیری بکار می‌رود؛ در برنامه‌های المان محدود بسیار پرکاربرد است. این دو حالت بطور مفهومی شبیه به شکل ۷-۳ هستند. ولی در اینجا هیچ تغییر مکان فیزیکی اعمال نمی‌شود.تابع ۹ بوسیله مقادیر گرهی تعریف می‌شود و روی المانهایی که داخل ناحیه انتگرالگیری هستند، با استفاده از فرم استاندارد توابع میانیابی می‌شود.

$$q = \sum_i N_i q_i \quad (39-3)$$

$$\frac{\partial q}{\partial x_j} = \sum_i \frac{\partial N_i}{\partial x_j} q_i \quad (40-3)$$

بقيه كميتهای معادله (۵۵-۳) در روش‌های عددی براحتی محاسبه می‌شوند. تابع ۹ باید روی کانتور داخلی در شکل (۱۴-۳-چپ) یا در نوک ترک در شکل (۱۴-۳-راست)، دارای مقدار یک و روی کانتور خارجی ناحیه دارای مقدار صفر باشد. در فضای بین دو کانتور نیز بطور معمول یک تغییر خطی برای آن در نظر گرفته می‌شود. برای مثال، اگر

ناحیه ارزیابی فقط المانهای نوک ترک باشد و از المانهای  $1/4$  استفاده شده باشد؛ آنگاه باید مقادیر گرهی برای  $q$  در گره نوک ترک، یک و در گره های  $1/4$ ،  $0/75$  و در تمام گرههای دیگر المان، صفر باشد.

اگر نیروهای سطحی به ترک وارد شود (تنش به سطوح ترک اعمال شود)؛ باید ترمehای اضافی در عبارت انتگرال  $\int$  در نظر گرفته شود. برای اعمال نیروهای سطحی ترک  $t_i$  مطابق شکل (۱۴-۳-چپ) داریم؛

$$\bar{J} = \bar{J}_A + \bar{J}_T = \bar{J}_A + \int_{\Gamma_3 + \Gamma_2} t_i \frac{\partial u_i}{\partial x_1} q d\Gamma \quad (41-3)$$

که در آن  $\bar{J}_A$  با معادله (۳۷-۳) بیان شده است.

### ۶-۳- مکانیک شکست FGM

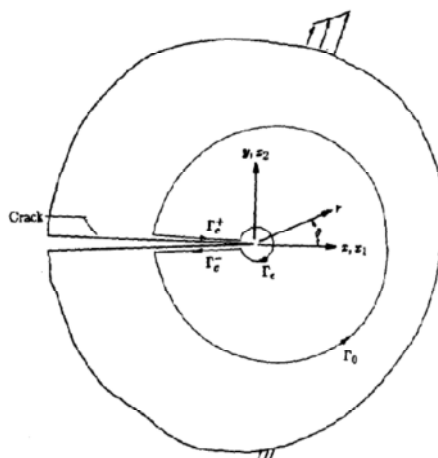
پیش‌بینی درست پارامترهای شکست در FGM منوط به داشتن اطلاعاتی از نحوه تغییر میدانهای تنش و کرنش در حوزه نوک ترک می‌باشد. از سوی دیگر، موفقیت مطالعات عددی در زمینه مکانیک شکست FGM به فهم درست میدانهای نوک ترک بستگی دارد. در این بخش میدانهای دما، تنش و کرنش حوزه نوک ترک در FGM و تاثیر گرادیان خصوصیات فیزیکی مواد روی پارامترهای مکانیک شکست بررسی می‌شود. طبیعت و نوع تکین بودن میدانهای نوک ترک بدلیل اهمیت ویژه‌ی آنها در معیارهای شکست نیز مورد بحث قرار می‌گیرد.

در سال ۱۹۸۷، ایچن<sup>۱</sup> میدانهای نوک ترک را در یک صفحه‌ی غیرهمگن با هندسه دلخواه و تحت بارگذاری دوردست صفحه‌ای مطالعه نمود [۹۲]. وی برای بیان فرم عمومی میدانهای تنش و

---

<sup>۱</sup>- Eischen

تغییرمکان در حوزه نوک ترک، از گسترش روش بسط تابع ویژه ویلیامز<sup>۱</sup> [۷۰] استفاده کرد. در شکل ۱۵-۳) یک صفحه الاستیک غیرهمگن حاوی ترک نشان داده شده است.



شکل ۱۵-۳ - نمای کلی صفحه غیرهمگن تحت بارگذاری دوردست صفحه‌ای [۴]

نیروهای اعمالی و قیدهای تغییرمکان روی مرزهای صفحه اعمال می‌شود. از نیروهای کالبدی صرف نظر شده و سطوح ترک عاری از تنش فرض می‌شوند. مدول الاستیسیته  $E$  و ضریب پواسون  $\nu$  بصورت توابعی از موقعیت در نظر گرفته می‌شوند که در صفحه پیوسته، کراندار و مشتق پذیر می‌باشند؛ بطوريکه.  $0 < E < \frac{1}{2}$  با در نظر گرفتن یک فرم عمومی مناسب برای آن و جایگزینی سه جمله اول بسط مکلورن  $E$  و  $\nu$  حول موقعیت نوک ترک، معادله‌ی حاکم بر تابع تنش با روش جداسازی متغیرها حل شده است. مولفه‌های تنش در دستگاه دکارتی به صورت زیر بدست آمده است.

$$\sigma_{xx} = \frac{K_I}{(2\pi r)^{\frac{1}{2}}} f_{xx}^I(\theta) + \frac{K_{II}}{(2\pi r)^{\frac{1}{2}}} f_{xx}^{II}(\theta) + \sigma_{x0} + \sum_{i=0}^{\infty} O(r^{i-\frac{1}{2}}) \quad (42-3)$$

$$\sigma_{yy} = \frac{K_I}{(2\pi r)^{\frac{1}{2}}} f_{yy}^I(\theta) + \frac{K_{II}}{(2\pi r)^{\frac{1}{2}}} f_{yy}^{II}(\theta) + \sum_{i=0}^{\infty} O(r^{i-\frac{1}{2}}) \quad (43-3)$$

<sup>1</sup>- Williams

$$\sigma_{xy} = \frac{K_I}{(2\pi r)^{\frac{1}{2}}} f_{xy}^I(\theta) + \frac{K_{II}}{(2\pi r)^{\frac{1}{2}}} f_{xy}^{II}(\theta) + \sum_{i=0}^{\infty} O(r^{i-\frac{1}{2}}) \quad (44-3)$$

جمله‌ی آخر، عبارتهای غیرتکین<sup>۱</sup> از مرتبه های  $r^{\frac{1}{2}}, r^{\frac{3}{2}}, \dots$  را در بردارد. در رابطه (۲۱-۲)

جمله‌ی  $\sigma_{x0}$  ترم تنش  $T$  می‌باشد. نمادهای  $f_{-}(\theta)$  توابع سه‌گانه توزیع زاویه‌ای میدان تنش مواد همگن هستند. با توجه به میدان تنش در نوک ترک، نتایج زیر قابل توجه است:

-۱- طبیعت تنش دقیقاً به همان شکلی است که در مواد همگن وجود دارد. به عبارت

دیگر، ناهمگنی FGM روی طبیعت تکین بودن اثری ندارد.

-۲- درجه تکین بودن در FGM نیز مانند مواد همگن است.

-۳- در بسط مولفه‌های تنش، شکل کلی عبارتهای اول و دوم، متناظر با ترم تکین و

عبارت سوم در رابطه (۳-۵۹) متناظر با ترم تنش  $T$  تحت تاثیر غیرهمگنی مواد قرار نمی‌گیرند.

-۴- تغییرات زاویه‌ای ترمهای متناظر با مرتبه‌های بالاتر مولفه‌های تنش به غیرهمگنی

ماده بستگی دارد. به عبارت دیگر، در نواحی دور از نوک ترک، تغییرات خصوصیات فیزیکی روی میدان تنش مؤثر است.

-۵- نتایج بالا مستقل از تغییرات  $\nu$  در صفحه است؛ یعنی تغییرات ضربی پواسون روی

میدان تنش نوک ترک اثری ندارد.

همچنین وی حدس زد؛ ضرایب شدت تنش  $K_I$  و  $K_{II}$  علاوه بر هندسه و بارگذاری به تغییرات

مدول الاستیسیته نیز بستگی دارد. البته این مطلب با روش فوق اثبات نشد. قبل از این، اردگن [۹۳]

و اردگن و دلال<sup>۲</sup> [۹۴] اشاره کرده‌اند؛ هرچند مطالعه عمیقی درباره میدان تنش نوک ترک انجام

نشده است. اما به نظر می‌رسد، در بارگذاری مکانیکی تکین بودن نوک ترک به غیرهمگنی ماده وابسته

<sup>1</sup> - nonsingular

<sup>2</sup> - Delale

نباشد. با این فرض، برای مدتی مسایل شکست تحت بار مکانیکی و بار حرارتی مورد تجزیه و تحلیل قرار گرفت [۹۴] و [۹۵].

در سال ۱۹۹۴، جین و نودا میدانهای تنش و شار حرارتی در نوک ترک مواد غیرهمگن را به همراه تنش پلاستیک مطالعه نمودند [۹۶]. ایشان مسایل دو بعدی را برای FGM ایزوتروپیک بررسی کردند و نتایج آن را برای حالت سه بعدی و غیرایزوتروپیک قابل تعمیم دانستند. با در نظر گرفتن جملات غالب معادلات حاکم در نوک ترک، حل این معادلات در حوزه نوک ترک، دقیقاً شبیه حل در مواد همگن بدست آمد.

در سال ۲۰۰۴، جین<sup>۱</sup> و همکارانش میدان تنش حوزه نوک ترک در یک ماده غیرهمگن، با تغییر خطی ضریب الاستیسیته را با استفاده از تابع تنش وسترگارد<sup>۲</sup> بررسی کردند [۹۷]. آنها برای بررسی اثر غیرهمگنی ماده روی ساختار میدان تنش در حالت مود I و II و حالت ترکیبی، ۶ جمله اول بسط میدان تنش را برای ترک موازی با جهت گرادیان ماده و ۴ جمله اول بسط را برای حالت مایل ترک بدست آورده‌اند. با استفاده از این جملات، کانتور تنش برشی حداکثر و تغییرمکان خارج از صفحه را رسم نمودند. جین و همکارانش بعلت وجود مود مختلط در نوک ترک و خودمشابه<sup>۳</sup> ندانستن رشد ترک، کاربرد معیارهای کلاسیک نرخ رهایش انرژی بحرانی و ضریب شدت تنش بحرانی را برای پیش‌بینی رشد ترک مناسب ندانستند. آنها علت این امر را امکان منفی شدن این مقادیر برای FGM ذکر کردند و معیار چگالی انرژی کرنشی را پیشنهاد نمودند. جین و بترا چقرمگی شکست ( $K_{IC}$ ) و نرخ رهایش انرژی بحرانی ( $G_{IC}$ ) در FGM را با استفاده از مفهوم پل‌بندی روی ترک<sup>۴</sup> و قوانین اختلاط بررسی

<sup>1</sup> Jain

<sup>2</sup> Westergaard

<sup>3</sup> self-similarity

<sup>4</sup> crack bridging

کردند [۹۸]. طبق نتایج این تحقیق،  $K_{IC}$  و  $G_{IC}$  به چقزمگی شکست و نرخ رهایش انرژی بحرانی فلز (شکست) و سرامیک ( $G_{IC}^{ceram}$  و  $K_{IC}^{ceram}$ ) و کسر حجمی فلز ( $V_m$ ) بستگی دارد و در ساده‌ترین شکل، به صورت زیر است.

$$K_{IC} = V_m K_{IC}^{metal} + (1 - V_m) K_{IC}^{ceram} \quad (45-3)$$

$$G_{IC} = V_m G_{IC}^{metal} + (1 - V_m) G_{IC}^{ceram} \quad (46-3)$$

همچنین ضریب شدت تنش و نرخ رهایش انرژی در FGM مانند مواد همگن با روابط زیر بیان می‌شود.

$$G = \begin{cases} \frac{K_I^2}{E^{tip}} & plane stress \\ \frac{K_I^2(1 - (v^{tip})^2)}{E^{tip}} & plane strain \end{cases} \quad (47-3)$$

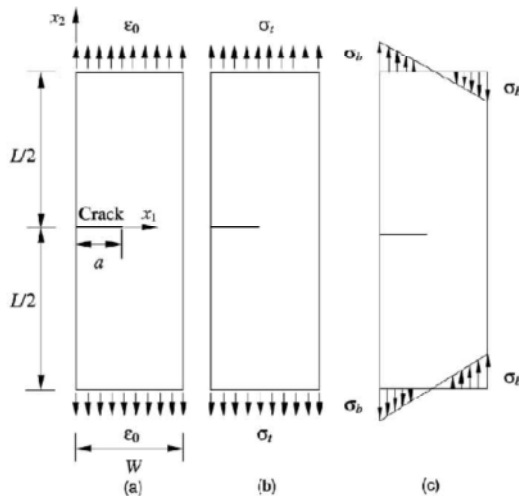
که در آن،  $E^{tip}$  و  $v^{tip}$  مقدار مدول الاستیسیته و ضریب پواسون در نوک ترک می‌باشد. هرچند در مورد پارامترهای مکانیک شکست در حوزه نوک ترک در مواد همگن و غیرهمگن شباهتهای زیادی وجود دارد، اما پارامترهای مربوط به خارج از محدوده نوک ترک در این مواد تفاوت‌های اساسی دارند. انتگرال L یکی از مهمترین این پارامترهای است. انتگرال L در مواد غیرهمگن مستقل از مسیر نیست و به علت وابستگی ترمehای آن به گرادیان خصوصیات مواد، محاسبه این انتگرال در FGM به سادگی مواد همگن نمی‌باشد. روابطی که بین انتگرال L و ضریب شدت تنش و نرخ رهایش انرژی در مواد همگن برقرار است؛ در این مواد فقط برای محاسبه انتگرال L در محدوده نوک ترک برقرار است [۹۹]. این مساله باعث بروز مشکلاتی در کاربرد روش‌های عددی مثل المان محدود می‌شود. برای محاسبه انتگرال L در این مواد باید از مشههای بسیار ریز (طول المانها در مرتبه  $10^{-5}$  طول ترک [۱۰۰]) استفاده نمود.

### ۷-۳-مثالهای عددی

روش بدونالمان گلرکین برای ارزیابی ضرایب شدت تنش در صفحات حاوی ترک و تحت بار مکانیکی در چند مثال بکار گرفته شده است. در مثالهای شامل FGM، مدول الاستیسیته متغیر و ضرایب پواسون ثابت فرض می‌شود. برای مدلسازی ترک از هر دو روش کلاسیک (معیار پراش و غنی-سازی کامل پایه‌ها) و روش مبتنی بر LSM استفاده می‌شود. محاسبه ضرایب شدت تنش با دو روش انرژی (انتگرال I) و روش مستقیم (همبستگی تغییرمکانها) بکار گرفته شده‌اند. انتگرال عددی روی سلوها نیز با شبکه  $10 \times 10$  گوس - لزاندر انجام می‌گردد.

### ۱-۷-۳- صفحه FGM حاوی ترک لبه‌ای تحت مود ۱

صفحه‌ای از FGM بطول  $\lambda$  واحد و عرض ۱ واحد شامل یک ترک لبه‌ای بطول  $a$  در نظر گرفته می‌شود. ترک وسط صفحه و عمود بر لبه آن است. بارگذاری مکانیکی بصورت کرنش ثابت، تنش کششی ثابت و خمش خالص (تنش خطی) اعمال می‌گردد. بارگذاریهای مذکور در شکل (۱۶-۳) نشان داده شده است.



شکل ۱۶-۳- هندسه و بارگذاری FGP حاوی ترک لبه‌ای. (a) کرنش ثابت. (b) تنش کششی ثابت. (c) تنش خمشی مدول الاستیسیته بصورت تابع نمایی در نظر گرفته می‌شود .

$$E(x_1) = E(0) \exp(K_E x_1) \quad 0 \leq x_1 \leq W \quad (48-3)$$

که در آن ،

$$K_E = \ln\left(\frac{E(W)}{E(0)}\right) \quad (49-3)$$

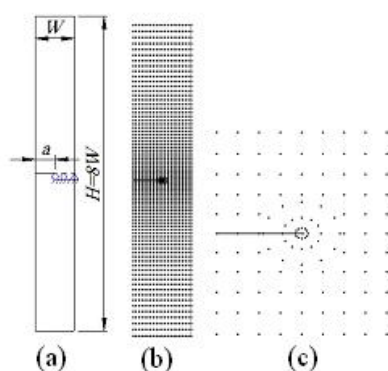
در رابطه مدول الاستیسیته،  $E(0)$  و  $K_E$  دو پارامتر مستقل از هم می‌باشند و تغییرات مدول الاستیسیته را کنترل می‌کنند. به عبارت دیگر، پروفیل نمایی با مشخص شدن دو پارامتر  $E(0)$  و  $K_E$  و یا  $E(0)$  و  $E(W)$  یعنی جنس دو طرف صفحه، کاملاً تعریف می‌شود. مقادیر عددی منظور شده بصورت زیر است.

$$\frac{E(W)}{E(0)} = 0.1, 0.2, 1, 5, 10,$$

$$E(0) = 1$$

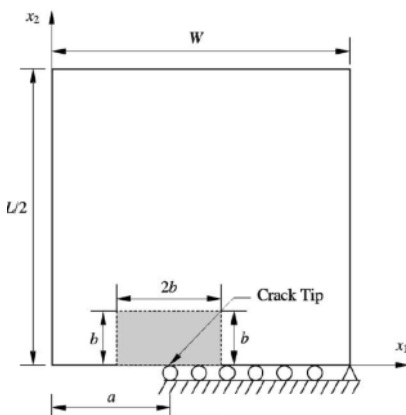
$$\frac{a}{W} = 0.2, 0.3, 0.4, 0.5$$

ضریب پواسون در  $\nu = 0.3$  ثابت فرض می‌گردد. مسئله در حالت کرنش صفحه‌ای تحلیل می‌شود. نتایج حاصل با نتایج تحلیلی ارائه شده توسط اردگن و وو مقایسه شده است. بخاطر تقارن بارگذاری و هندسه، در روش کلاسیک فقط نصف صفحه تحلیل می‌گردد. مدل مورد استفاده در EFG شامل شبکه گرهی منظم  $41 \times 11$  و مدل ستاره‌ای حوزه نوک ترک در روشهای کلاسیک است. شبکه سلولی  $10 \times 40$  نیز برای انتگرالگیری عددی در نظر گرفته شده است.



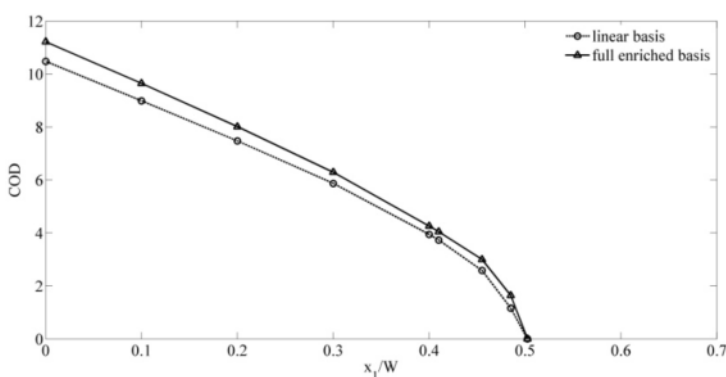
شکل ۳-۱۷-۳- نمای کلی از (a) هندسه (b) گرهبندی کامل (c) گرهبندی نوک ترک برای FGP

ناحیه انتگرالگیری بصورت مربعی به مرکز نوک ترک و به طول  $2b \times 2b$  است.  $b$  بر حسب طول ترک ( $b=0.1a$ ) و یا طول سلولهای انتگرالگیری مشخص می‌گردد.

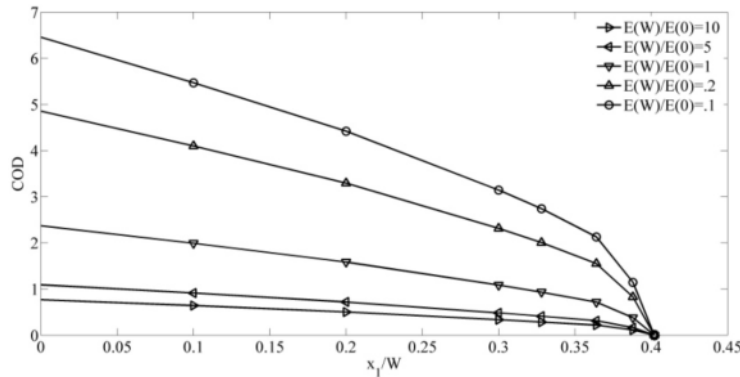


شکل ۳-۱۸- شرایط مرزی و ناحیه انتگرال ل برای نصف مدل

در شکل (۱۹-۳) اثر کاربرد توابع پایه غنی‌شده روی بازشدگی سطح ترک برای بارگذاری تنش کششی یکنواخت نشان داده شده است. اختلاف COD در محاسبه مقادیر SIF با روش مستقیم DCT اثر چشمگیری دارد.



شکل ۳-۱۹-۳ - مقایسه بازشدگی سطح ترک برای توابع پایه خطی و غنی‌شده بازشدگی سطح ترک بر حسب  $E(0)/E(W)$  در شکل (۲۰-۳) آمده است. مطابق شکل، برای مقادیر کمتر  $E(0)/E(W)$  (صفحات با مواد نرمتر) بازشدگی سطح ترک بیشتر است.



شکل ۳-۲۰- بازدگی سطح ترک بر حسب  $E(W)/E(0)$

در جدول (۱-۳) تا (۳-۳) مقادیر ضریب شدت تنش نرمالیزه شده را برای بارگذاریهای کرنش

معین، کشش یکنواخت و خمث خالص نشان می‌دهد. مقادیر SIF با تقسیم بر مقدار  $\sigma\sqrt{\pi a}$ ، نرمالیزه

شده‌اند. برای کشش یکنواخت  $\sigma_a = \sigma$  و برای خمث خالص  $\sigma_b = \sigma$  و برای کرنش معین

با فرض  $\sigma = E(0)\varepsilon_0/(1-v^2)$  می‌باشد ( $\varepsilon_0$  مقدار تنش در لبه سمت راست ( $x_1=0$ ) صفحه بدون

ترک است). نتایج برای ناحیه انتگرالگیری مربع به ضلع  $a=0.2$  بدست آمده است.

جدول ۳-۱- ضریب شدت تنش مود ۱ برای یک صفحه FGM تحت بار کشش یکتواخت (کرنش ثابت)

روش	$E(W)/E(0)$	$K_I / \sigma \sqrt{\pi a}$				
		$a/W=0.2$	$a/W=0.3$	$a/W=0.4$	$a/W=0.5$	$a/W=0.6$
انتگرال J	۱۰	۱/۵۷۸۳	۲/۰۷۰۱	۲/۸۹۹۵	۴/۲۱۶۵	۶/۷۴۸۸
	۵	۱/۴۹۸۸	۱/۹۱۰۸	۲/۵۹۶۹	۳/۶۶۱۵	۵/۶۷۶۷
	۱	۱/۳۷۰۵	۱/۶۵۹۶	۲/۱۳۰۰	۲/۸۲۶۸	۴/۱۱۱۹
	۰/۲	۱/۳۰۵۲	۱/۵۲۸۴	۱/۸۸۰۲	۲/۳۸۰۰	۳/۲۸۷۸
	۰/۱	۱/۲۹۸۴	۱/۴۹۸۶	۱/۸۱۷۰	۲/۲۶۰۸	۳/۰۶۳۴
	۱۰	۱/۵۳۳۹	۲/۰۳۵۱	۲/۹۰۵۲	۴/۲۳۴۱	۶/۷۷۷۶
DCT	۵	۱/۴۵۶۵	۱/۸۸۰۰	۲/۶۰۳۷	۳/۶۷۸۲	۵/۷۰۰۶
	۱	۱/۳۳۱۱	۱/۶۳۲۳	۲/۱۳۹۱	۲/۸۴۱۷	۴/۱۳۵۹
	۰/۲	۱/۲۶۶۶	۱/۵۰۸۶	۱/۸۸۵۹	۲/۳۹۳۹	۳/۳۰۳۶
	۰/۱	۱/۲۵۳۶	۱/۴۸۰۱	۱/۸۲۱۴	۲/۲۷۴۴	۳/۰۷۶۷
	۱۰	۱/۵۷۴۰	۲/۰۷۲۳	۲/۸۷۳۶	۴/۲۱۴۰	۶/۶۳۱۹
	۵	۱/۴۹۳۶	۱/۹۱۱۸	۲/۵۷۳۰	۳/۶۵۷۳	۵/۵۷۰۴
Erdogan & Wu [18]	۱	-	-	-	-	-
	۰/۲	۱/۳۰۵۸	۱/۵۳۳۰	۱/۸۷۵۱	۲/۴۰۳۱	۳/۲۹۸۱
	۰/۱	۱/۲۹۶۳	۱/۵۰۸۳	۱/۸۲۴۶	۲/۳۱۴۰	۳/۱۵۴۴

جدول ۳-۲- ضریب شدت تنش مود ۱ برای یک صفحه FGM تحت بار غشایی یکنواخت

روش	$E(W)/E(0)$	$K_I / \sigma\sqrt{\pi a}$				
		$a/W=0.2$	$a/W=0.3$	$a/W=0.4$	$a/W=0.5$	$a/W=0.6$
انتگرال L	1.0	1/100.52	1/2191	1/59.6	2/1791	3/2169
	0.5	1/1355	1/3700	1/7510	2/3686	3/4532
	1	1/370.5	1/6596	2/1132	2/8268	4/0383
	0.2	1/3954	1/8393	2/4379	3/3046	4/7167
	0.1	1/2950	1/8592	2/5674	3/5030	5/0124
DCT	1.0	0/990.8		1/8163	2/1934	3/3064
	0.5	1/1480	1/3650	1/7752	2/3845	3/5456
	1	1/3755	1/6486	2/1391	2/8424	4/1360
	0.2	1/380.9	1/830.3	2/4597	3/3139	4/7800
	0.1	1/2659	1/8392	2/5732	3/5178	5/0745
Erdogan & Wu [18]	1.0	1/100.19	1/2291	1/5884	2/1762	3/2124
	0.5	1/1318	1/3697	1/7483	2/3656	3/4454
	1	-	-	-	-	-
	0.2	1/3956	1/8395	2/4486	3/3266	4/7614
	0.1	1/2965	1/8581	2/5588	3/5701	5/1880

جدول ۳-۳- ضریب شدت تنش مود ۱ برای یک صفحه FGM تحت بار خمش خالص

روش	$E(W)/E(0)$	$K_I / \sigma\sqrt{\pi a}$				
		$a/W=0.2$	$a/W=0.3$	$a/W=0.4$	$a/W=0.5$	$a/W=0.6$
انتگرال L	1.0	-0.5669	-0.6593	-0.8054	-1.0367	-1.4304
	5	-0.6897	-0.7788	-0.9251	-1.1605	-1.5632
	1	1.0632	1.1254	1.2613	1.4984	1.9335
	0.2	1.5937	1.6130	1.7228	1.9295	2.3665
	0.1	1.9046	1.8771	1.9615	2.2502	2.5813
DCT	1.0	-0.5596	-0.6591	-0.8177	-1.0446	-1.4786
	5	-0.6805	-0.7783	-0.9387	-1.1692	-1.6105
	1	1.0434	1.1242	1.2783	1.5091	1.9703
	0.2	1.5706	1.6064	1.7285	1.9408	2.4072
	0.1	1.8885	1.8713	1.9669	2.2623	2.6240
Erdogan & Wu [18]	1.0	-0.5648	-0.6588	-0.8043	-1.0350	-1.4286
	5	-0.6871	-0.7778	-0.9236	-1.1518	-1.5597
	1	-	-	-	-	-
	0.2	1.5952	1.6122	1.7210	1.9534	2.4037
	0.1	1.9040	1.8859	1.9778	2.2151	2.7170

نتایج نشان می‌دهد، SIF محاسبه شده با روش بدون المان گلرکین انطباق قابل قبولی با نتایج

تحلیلی اردگن و وو دارد. تابع وزنی ۹ - در انتگرال L- برای یک ناحیه انتگرالی به شکل مربع و طول

ضلع ۲c بصورت زیر در نظر گرفته شده است.

$$q(x_1, x_2) = \left| 1 - \frac{x_1}{c} \right| \left| 1 - \frac{x_2}{c} \right| \quad (50-3)$$

در جدولهای (۴-۳) تا (۶-۳) مقادیر SIF برای اندازه‌های مختلف ناحیه انتگرال  $L$  ارائه شده و استقلال از سطح انتگرال  $L$  بررسی شده است. مقادیر مذکور با کاربرد تابع سهمی برای نتایج جدول (۴-۳) و تابع هرمی  $q$  – با رابطه زیر – بدست آمده است.

$$q(x_1, x_2) = \begin{cases} 1 - \frac{x_1}{c} & -\frac{\pi}{4} < \theta < \frac{\pi}{4} \\ 1 - \frac{x_2}{c} & \frac{\pi}{4} < \theta < \frac{3\pi}{4} \\ 1 + \frac{x_1}{c} & \frac{3\pi}{4} < \theta < \frac{5\pi}{4} \\ 1 + \frac{x_2}{c} & \frac{5\pi}{4} < \theta < \frac{7\pi}{4} \end{cases} \quad (51-3)$$

طبق روابط تحلیلی انتگرال ناحیه‌ای  $L$  نتایج محاسبه EDI مستقل از نوع تابع  $q$  می‌باشد. اما نتایج عددی برای ناحیه مربعی انتگرال‌گیری به ضلع  $a = 2c = 0.2$  نشان می‌دهند؛ انتخاب تابع  $q$  تا حد اکثر ۴٪ روی دقت نتایج موثر است. علاوه بر این، نتایج برای اندازه‌های مختلف ناحیه انتگرال‌گیری بهم نزدیکتر است و استقلال از سطح EDI بهتر دیده می‌شود.

جدول ۴-۳- مقادیر مقادیر SIF حاصل از انتگرال برای طولهای مختلف ناحیه انتگرالگیری و بارگذاری کرنش ثابت

$a/W$	$E(W)/E(0)$	SIF				نتایج تحلیلی
		$c=0.1$	$c=0.2$	$c=0.3$	$c=0.4$	
۰/۶	۱	۶/۶۵۵۶	۶/۶۵۵۸	۶/۶۵۶۸	۶/۶۵۷۱	۶/۶۳۱۹
	۵	۱/۵۱۶۶	۱/۵۱۵۲	۱/۵۰۰۱	۱/۴۸۴۹	۵/۵۷۰۴
	۱	۱/۹۰۰۰	۱/۹۳۶۹	۱/۹۴۳۱	۱/۹۴۹۲	-
	.۲	۲/۳۶۷۹	۲/۴۵۵۱	۲/۴۸۴۵	۲/۵۱۳۹	۳/۲۹۸۱
	.۱	۲/۸۰۰۵	۲/۷۱۳۹	۲/۷۵۴۲	۲/۷۹۲۸	۳/۱۵۴۴
	۱	۴/۲۲۵۳	۴/۲۲۰۵	۴/۲۲۹۷	۴/۲۲۰۱	۴/۲۱۴۰
	۵	۳/۶۶۸۹	۳/۶۶۴۸	۳/۶۶۳۸	۳/۶۶۴۱	۳/۶۵۷۳
	۱	۲/۸۳۲۰	۲/۸۲۸۵	۲/۸۲۷۸	۲/۸۲۷۹	-
	.۲	۲/۳۸۴۰	۲/۳۸۰۹	۲/۳۸۰۴	۲/۳۸۰۲	۲/۴۰۳۱
	.۱	۲/۲۶۴۴	۲/۲۶۱۵	۲/۲۶۱۰	۲/۲۶۰۸	۲/۳۱۴۰
۰/۴	۱	۲/۸۸۲۳	۲/۸۷۷۹	۲/۸۷۷۵	۲/۸۷۷۴	۲/۸۷۳۶
	۵	۲/۵۸۱۳	۲/۵۷۷۴	۲/۵۷۷۱	۲/۵۷۶۹	۲/۵۷۳۰
	۱	۱/۱۱۶۷	۱/۱۱۳۵	۱/۱۱۳۴	۱/۱۱۳۲	-
	.۲	۱/۸۶۸۰	۱/۸۶۵۳	۱/۸۶۵۳	۱/۸۶۵۱	۱/۸۷۵۱
	.۱	۱/۸۰۵۰	۱/۸۰۲۴	۱/۸۰۲۴	۱/۸۰۲۲	۱/۸۲۴۶
	۱	۲/۰۸۳۲	۲/۰۸۰۰	۲/۰۷۸۳		۲/۰۷۲۳
	۵	۱/۹۲۲۴	۱/۹۱۹۲	۱/۹۱۷۷		۱/۹۱۱۸
۰/۳	۱	۱/۶۶۸۶	۱/۶۶۵۳	۱/۶۶۴۱		-
	.۲	۱/۵۳۵۶	۱/۵۳۲۰	۱/۵۳۰۹		۱/۵۳۳۰
	.۱	۱/۵۰۵۱	۱/۵۰۱۴	۱/۵۰۰۴		۱/۵۰۸۳

شکست FGM تحت بار مکانیکی-حرارتی

۱۰	۱/۵۸۷۲	۱/۵۸۵۵	۱/۵۷۴۰
۵	۱/۵۰۷۴	۱/۵۰۵۷	۱/۴۹۳۶
.۱/۲	۱/۳۷۸۶	۱/۳۷۶۹	-
.۱/۲	۱/۳۱۳۳	۱/۳۱۱۳	۱/۳۰۵۸
.۱/۱	۱/۳۰۰۷	۱/۲۹۸۴	۱/۲۹۶۳

جدول ۳-۵- مقادیر SIF حاصل از انтگرال ل برای طولهای مختلف ناحیه انتگرالگیری و بارگذاری کششی

$a/W$	$E(W)/E(0)$	SIF				نتایج تحلیلی
		$c=0.1$	$c=0.2$	$c=0.3$	$c=0.4$	
۰/۶	۱	۳/۱۲۵۴	۳/۰۱۸۵	۳/۰۲۰۳	۳/۰۰۳۹	۳/۲۱۲۴
	۵	۳/۳۹۵۳	۳/۳۱۳۷	۳/۳۳۴۵	۳/۳۳۸۹	۳/۴۴۵۴
	۱	۴/۰۶۹۶	۴/۰۴۸۱	۴/۱۱۱۲	۴/۱۵۹۰	--
	.۲	۴/۸۱۲۵	۴/۸۵۰۹	۴/۹۵۳۶	۵/۰۳۹۰	۴/۶۹۰۵
	.۱	۵/۱۵۳۶	۵/۲۱۷۷	۵/۳۳۶۹	۵/۴۳۷۳	۴/۹۹۵۶
	۱	۲/۱۳۵۰	۲/۱۷۴۱	۲/۱۳۸۵	۲/۱۰۹۰	۲/۱۷۶۲
	۵	۲/۳۳۹۹	۲/۳۹۳۹	۲/۳۷۲۰	۲/۳۵۵۲	۲/۳۶۵۶
	۱	۲/۸۳۸۲	۲/۹۲۸۱	۲/۹۳۷۱	۲/۹۴۷۷	--
	.۲	۳/۳۵۹۵	۳/۴۸۳۴	۳/۵۱۸۹	۳/۵۵۰۷	۳/۳۲۶۶
	.۱	۳/۵۸۷۲	۳/۷۲۴۴	۳/۷۶۹۷	۳/۸۰۸۴	۳/۵۷۰۱
۰/۴	۱	۱/۵۹۲۰	۱/۶۰۰۴	۱/۵۶۴۱	۱/۵۴۲۰	۱/۵۸۸۴
	۵	۱/۷۵۹۵	۱/۷۷۶۵	۱/۷۴۹۹	۱/۷۳۴۹	۱/۷۴۸۳
	۱	۲/۱۳۸۶	۲/۱۷۶۳	۲/۱۷۳۳	۲/۱۷۴۵	--
	.۲	۲/۴۷۰۸	۲/۵۲۵۵	۲/۵۴۲۸	۲/۵۵۵۲	۲/۴۴۳۶
	.۱	۲/۵۸۶۱	۲/۶۴۵۷	۲/۶۶۹۸		۲/۵۶۹۹
	۱	۱/۲۶۳۵	۱/۲۶۵۵	۱/۲۳۳۱		۱/۲۲۹۱
	۵	۱/۴۶۳۴	۱/۴۴۲۸	۱/۴۰۹۹		۱/۳۶۹۷
	۱	۱/۷۹۱۹	۱/۷۸۷۹	۱/۷۶۵۵		--
	.۲	۲/۰۰۵۷	۲/۰۱۵۶	۲/۰۰۲۳		۱/۸۳۹۵
	.۱	۱/۹۸۱۴	۲/۰۱۸۲	۲/۰۱۱۹		۱/۸۵۸۱
۰/۲	۱	.۹۶۹۳	.۹۷۷۲			۱/۰۰۱۹

FGМ تحت بار مکانیکی-حرارتی

۵	۱/۱۰۴۷	۱/۱۱۸۹	۱/۱۳۱۸
۱	۱/۳۶۰۲	۱/۳۸۸۲	--
۰/۲	۱/۴۱۴۵	۱/۴۴۴۱	۱/۳۹۵۶
۰/۱	۱/۳۳۰۰	۱/۳۵۱۴	۱/۲۹۶۵

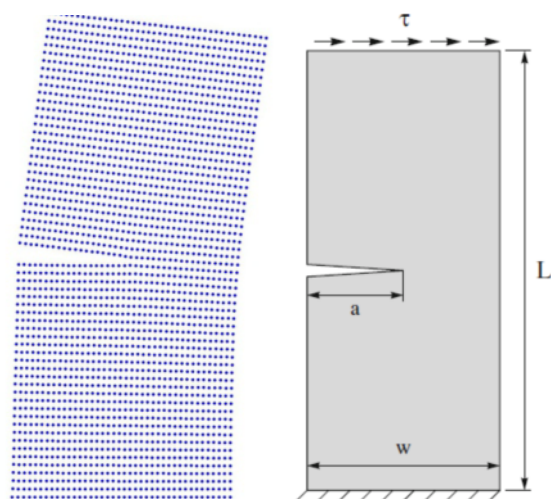
جدول ۳-۶- مقادیر مقادیر SIF حاصل از انتگرال ل برای طولهای مختلف ناحیه انتگرالگیری و بارگذاری خمی

$a/W$	$E(W)/E(0)$	SIF				نتایج تحلیلی
		$c=0.1$	$c=0.2$	$c=0.3$	$c=0.4$	
$0.6$	1	1/3728	1/3580	1/3345	1/3100	1/4286
	5	1/5166	1/5152	1/5001	1/4849	1/5597
	1	1/9000	1/9369	1/9431	1/9492	--
	.2	2/3679	2/4551	2/4845	2/5139	2/4037
	.1	2/8005	2/7139	2/7542	2/7928	2/7170
	10	.9981	1/0235	.9960	.9780	1/0350
$1.5$	5	1/1283	1/1636	1/1432	1/1316	1/1518
	1	1/4851	1/5509	1/5503	1/5506	--
	.2	1/9423	2/0477	2/0719	2/0965	1/9234
	.1	2/1779	2/3038	2/3404	2/3742	2/2151
	10	.7782	.7986	.7727	.7627	.8043
$0.4$	5	.9012	.9301	.9080	.9021	.9236
	1	1/2512	1/3062	1/2972	1/3037	--
	.2	1/7224	1/8144	1/8251	1/8476	1/7210
	.1	1/9741	2/0864	2/1081	2/1390	1/9778
	10	.8705	.8730	.8557	.8588	
$0.3$	5	.7952	.8028	.7875	.7778	
	1	1/1606	1/1857	1/1781		--
	.2	1/6747	1/7269	1/7332		1/6122
	.1	1/9582	2/0203	2/0412		1/8859
	10	.8705	.8730	.8557	.8588	

۱۰	۰/۵۴۲۳	۰/۵۴۸۴	۰/۵۶۴۸
۵	۰/۶۶۴۶	۰/۶۷۵۹	۰/۶۸۷۱
.۲	۱	۱/۰۳۶۱	۱/۰۶۵۲
.۲		۱/۵۸۲۲	۱/۶۴۰۹
.۱		۱/۸۹۳۱	۱/۹۶۹۵
			۱/۹۰۴۰

### ۲-۷-۳- صفحه حاوی ترک لبه‌ای تحت بار برشی

در این مثال، صفحه‌ای شامل یک ترک لبه‌ای در نظر گرفته شده است. لبه پایینی صفحه به زمین متصل و ثابت شده است. همچنین، لبه بالایی تحت بار برشی یکنواخت  $\tau = 1 \text{ unit}$  قرار دارد. طول صفحه  $L=16 \text{ units}$ ، عرض آن  $a=W/2=3.5 \text{ units}$  و طول ترک  $a=W/2=3.5 \text{ units}$  در نظر گرفته شده است. علاوه بر این، مساله در حالت کرنش صفحه‌ای و با در نظر گرفتن  $E=3 \text{ e}7 \text{ units}$  و  $v=0.25$  حل شده است.



شکل ۲۱-۳- صفحه همگن تحت برش. راست: هندسه و بارگذاری. چپ: تغییرشکل تحت بار (۵ برابر)

در جدول (۳-۶) نتایج با مقادیر گزارش شده مقایسه شده است.

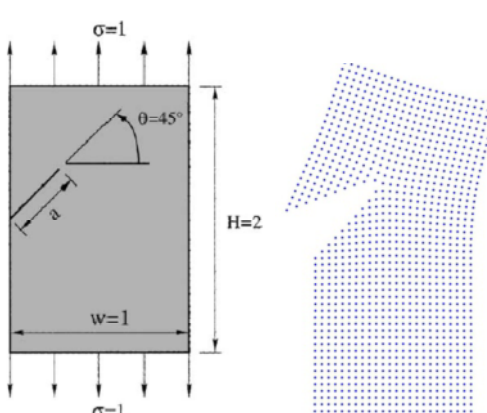
جدول ۳-۶- مقایسه نتایج صفحه همگن تحت برش با مقادیر گزارش شده

	$K_I$	$K_{II}$
نتایج (گرهبندی ۴۰*۴۰)	۳۲/۳۱	۴/۷۰
نتایج (گرهبندی ۲۶*۲۶)	۳۲/۱۰	۴/۷۱
مقادیر گزارش شده [۱۰۱]	۳۴	۴/۵۵

### ۳-۷-۳- صفحه حاوی یک ترک زاویه دار

یک ترک مایل در یک پیوستار الاستیک دو بعدی، شرایط بارگذاری مختلط را مهیا می کند. در شکل (۲۲-۳) یک صفحه محدود حاوی یک ترک مایل را نشان می دهد. بار اعمالی در راستای عمودی و به لبه بالایی بصورت کشش یکنواخت اعمال می گردد. شرایط مرزی تغییر مکان به لبه پایینی اعمال می شود. بطوریکه برای تمام گرهها روی این لبه تغییر مکان عمودی صفر است. علاوه بر این، تغییر مکان افقی گره سمت راست نیز صفر است. مدول الاستیسیته بطور نمایی تغییر می کند. بطوریکه ضریب پواسون نیز ثابت فرض می شود. داده های دیگر بصورت زیر است:

$$\text{حالت تنش صفحه‌ای, } \nu = 0.3, \frac{L}{W} = 2, \frac{a}{W} = 0.4\sqrt{2}$$



شکل ۳-۲۲-۳- هندسه و تغییر شکل یافته صفحه محدود FGM حاوی یک ترک مایل

نتایج حاصل با نتایج منتشر شده در مراجع مختلف در جدول (۷-۳) مقایسه شده است. اثر تغییر مدول الاستیسیته روی ضرایب شدت تنش در جدول (۳-۸) آمده است. نتایج با استفاده از انتگرال برهم کنش محاسبه شده‌اند. شرح کامل روش در فصل ششم آمده است.

جدول ۷-۳- مقایسه نتایج صفحه ایزوتروپیک با مقادیر گزارش شده

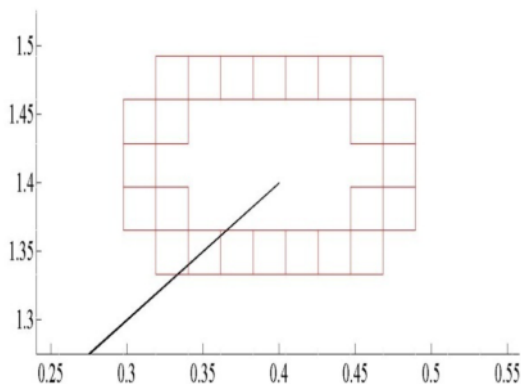
	$K_I / \sqrt{\pi a}$	$K_{II} / \sqrt{\pi a}$
نتایج	۱/۴۲۵۷	۰/۶۱۳۵
روش المان مرزی (سوترادهار و پائولینو [۱۰۲])	۱/۴۴۶	۰/۶۱۵
روش انتگرال $\int$ (کیم و پائولینو [۱۰۳])	۱/۴۵۱	۰/۶۰۴
روش انتگرال برهم کنش در FEM (کیم و پائولینو [۱۰۴])	۱/۴۴۶	۰/۶۱۵

جدول ۳-۸- نتایج ضرایب شدت تنش برای FGP با تغییر نمایی مدول الاستیسیته

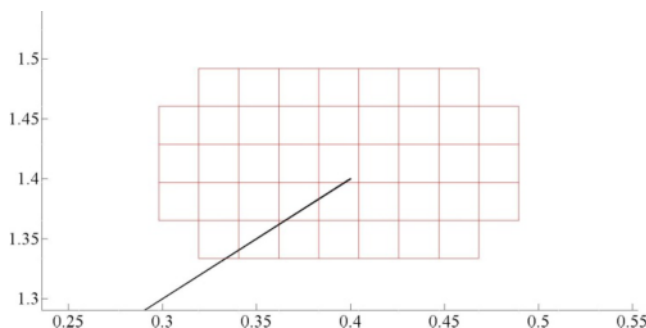
	روش	$K_I / \sqrt{\pi a}$	$K_{II} / \sqrt{\pi a}$
$E(W)/E(0)=0.5$	فرمولبندی نامتعادل	۱/۵۱۸۶	۰/۶۴۴۸
	فرمولبندی ناسازگار	۱/۵۰۸۱	۰/۶۸۴۲
$E(W)/E(0)=2$	فرمولبندی نامتعادل	۱/۳۲۴۰	۰/۵۸۴۰
	فرمولبندی ناسازگار	۱/۳۴۰۵	۰/۵۴۴۸

طبق نتایج فوق، اثر کلی تغییر مدول الاستیسیته روی پارامترهای شکست یکسان است. بطوریکه مقادیر ضرایب شدت تنش و تنش  $T$  با افزایش  $E(W)/E(0)$  افزایش می‌یابد. نتایج جدول (۳-۸) با صرفنظر از سلولهای نوک ترک در ناحیه انتگرالگیری برای محاسبه انتگرال برهم کنش حاصل شده است که در شکل (۲۳-۳) نشان داده شده است. در جدول (۹-۳) ضرایب شدت تنش برای دو

نوع ناحیه انتگرالگیری سبا سلولهای نوک ترک و بدون سلولهای نوک ترک- مقایسه شده است.  
سلولهای انتگرالگیری که در حالت دوم برای محاسبه ضرایب شدت تنش دخالت داشته‌اند؛ در شکل (۲۴-۳) آمده است.



شکل ۲۳-۳- ناحیه انتگرالگیری با صرفنظر از سلولهای نوک ترک برای محاسبه انتگرال برهم کنش

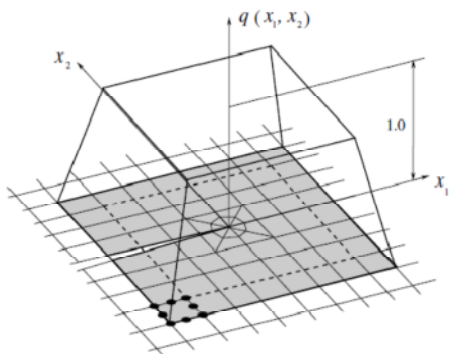


شکل ۲۴-۳- ناحیه انتگرالگیری شامل سلولهای نوک ترک برای محاسبه انتگرال برهم کنش

جدول ۳-۷- نتایج ضرایب شدت تنش برای FGP برای انواع ناحیه انتگرالگیری و  $E(W)/E(0)=0.5$

روش	$K_I / \sqrt{\pi a}$	$K_{II} / \sqrt{\pi a}$
ناحیه انتگرالگیری <u>شامل سلولهای</u> فرمولبندی نامتعادل	۱/۵۱۸۶	۰/۶۴۴۸
نوک ترک فرمولبندی ناسازگار	۱/۵۰۸۱	۰/۶۸۴۲
ناحیه انتگرالگیری <u>بدون سلولهای</u> فرمولبندی نامتعادل	۱/۵۳۴۶	۰/۶۵۷۷
نوک ترک فرمولبندی ناسازگار	۱/۵۶۶۰	۰/۷۲۰۲

در هر دو حالت از تابع  $q$  مسطح<sup>۱</sup> بشکل زیر استفاده شده است.



شکل ۳-۲۵- تابع وزنی  $q$  برای محاسبه انتگرال برهم کنش

---

<sup>۱</sup> - plateau function

## فصل چهارم

### شکست حرارتی مواد مرکب تابعی

## ۱-۴- مقدمه

از آنجایی که بسیاری از سازه‌ها و ماشین‌ها تحت گرadiان دما و یا دمای بالا قرار می‌گیرند؛ تحلیل تنشهای حرارتی یکی از مهمترین موضوعهای مهندسی است. طبق تحقیقات، شکست تحت بارهای حرارتی یکی از مرسوم‌ترین و پیچیده‌ترین حالت‌های گسیختگی در سازه‌ها می‌باشد.

در این فصل، پس از بررسی خصوصیات کلی شکست حرارتی FGM، روابط فرم ناحیه‌ای انتگرال  $J$  مرور می‌شود. سپس در مثالهای عددی ضریب شدت تنش برای توزیع پایا و گذراي دما در حالت دو بعدی محاسبه شده است. علاوه براین، اثر تغییر خصوصیات فیزیکی روی ضریب شدت تنش برای تغییر پیوسته آنها در دو مثال یاروسی شده است. برای تعیین خصوصیات فیزیکی در FGM، علاوه بر توابع پیوسته از مدل میکرومکانیک نیز استفاده شده است.

## ۲- بررسی ترک در میدان ترمومواليستیک

در این بخش، خصوصیات محلی میدانهای گرمایی دما و شار حرارتی، و الاستیک تنش، کرنش و تغییرمکان در حوزه نوک ترک و در یک پیوستار FGM بررسی می‌شود. طبق گزارش سی<sup>۱</sup> در مسائل ترمومواليستیک خطی در مواد همگن، روابط میدان تنش با روابط مشابه در مسائل الاستیک یکسان است [۱۰۵]. بنابراین، حضور شار حرارتی باعث ایجاد تکنیکی جدید و یا تغییر درجه آن نمی‌شود. طبق این گزارش، خصوصیات محلی میدانهای تنش و تغییرمکان حرارتی در حوزه نوک ترک دقیقا مشابه خصوصیات محلی تنش و تغییرمکان مکانیکی است و می‌توان این کمیتها را با استفاده از بسط تابع ویژه ویلیامز بیان نمود.

$$\sigma_{ij}^{aux} = \frac{K_I^{aux}}{\sqrt{2\pi r}} f_{ij}^I(\theta) + \frac{K_{II}^{aux}}{\sqrt{2\pi r}} f_{ij}^{II}(\theta) \quad (1-4)$$

$$u_i = \frac{K_I}{\mu^{tip}} \sqrt{\frac{r}{2\pi}} g_i^I(\theta) + \frac{K_{II}}{\mu^{tip}} \sqrt{\frac{r}{2\pi}} g_i^{II}(\theta) \quad (2-4)$$

<sup>1</sup>- Sih

در این روابط، توابع  $f(\theta)$  و  $g(\theta)$  توابع زاویه‌ای موجود در روابط متناظر برای مواد همگن می‌باشند. در سال ۱۹۹۴، جین و نودا میدانهای تنش و شار حرارتی در نوک ترک مواد غیرهمگن را به همراه تنش پلاستیک مطالعه نمودند [۹۶]. ایشان مسایل دو بعدی را برای FGM ایزوتروپیک بررسی کردند و نتایج آن را برای حالت سه بعدی و غیرایزوتروپیک قابل تعمیم دانستند که در دو بخش بعد تفصیل آن آمده است.

#### ۱-۲-۴- توزیع دما در حوزه نوک ترک

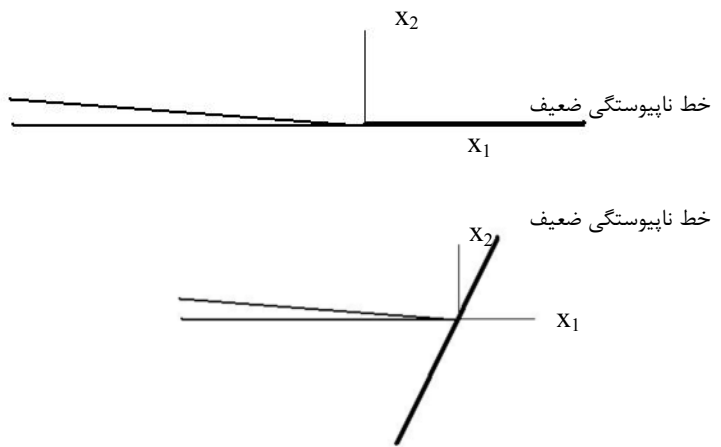
معادله هدایت گرمایی در یک پیوستار غیرهمگن بصورت زیر قابل بیان است.

$$T_{,x_i x_i} + \frac{1}{k} k_{,x_i} T_{,x_i} = \frac{1}{\kappa} T_{,t} \quad (3-4)$$

شار حرارتی با توجه به رابطه تجربی فوریه بصورت زیر بدست می‌آید.

$$q_i = -k T_{,x_i} \quad (4-4)$$

در این روابط،  $T$  بیانگر دما،  $q$  شار حرارتی،  $t$  زمان،  $k$  ضریب هدایت گرمایی و  $\kappa$  ضریب پخش گرمایی است. فرض می‌شود، ضرایب هدایت گرمایی  $k$  و پخش گرمایی  $\kappa$  بصورت توابعی پیوسته و قطعه‌ای مشتق‌پذیر از موقعیت باشند. بعلاوه، فرض می‌شود این مقادیر در نوک ترک صفر نباشند. مرزهای بین قطعات مشتق‌پذیر مذکور، خطوط ناپیوستگی ضعیف نامیده می‌شود. در اینجا، از خطوط ناپیوستگی ضعیف برای تعیین موقعیت کلی ترک در پیوستار جامد استفاده می‌شود. ابتدا فرض می‌شود ترک روی یکی از این خطوط منطبق است.



شکل ۱-۴- موقعیت ترک نسبت به خط ناپیوستگی ضعیف. بالا: ترک فصل مشترک. پایین: حالت کلی.

در حوزه نوک ترک، عبارت  $T_{,x_i x_i}$  جمله غالب معادله هدایت گرمایی است. بنابراین حل تکنیکی توزیع دما با در نظر گرفتن جمله غالب مذکور حاصل می‌شود.

$$T_{,x_i x_i} = 0 \quad (5-4)$$

بخاطر مشتق‌پذیری قطعه‌ای  $k$ ، معادله فوق برای هر دو ناحیه بالا و پایین ترک معتبر است.

فرض می‌شود، سطوح ترک کاملاً عایق هستند. این فرض در زمانهای ابتدایی تغییر دمای پیوستار مثل اعمال شوک قابل قبول است. شرط عایق بودن سطوح ترک در مختصات قطبی و محلی نوک ترک بصورت زیر قابل بیان است.

پیوستگی  $k$  ایجاد می‌کند توزیع دما و مشتقات آن روی خطوط ناپیوستگی ضعیف از جمله خط ناپیوستگی حاوی ترک-غیر از محدوده ترک-پیوسته باشد. رابطه مجانبی هدایت گرمایی فوق دارای حلی بصورت زیر است.

$$T(r, \theta, t) = R(t) \sqrt{2r} \sin \frac{\theta}{2} \quad (6-4)$$

شار حرارتی مجانبی نیز با توجه به رابطه فوریه بصورت زیر بدست می‌آید.

$$q_r = -k^{tip} \frac{\partial T}{\partial r} = -\frac{k^{tip} R(t)}{\sqrt{2r}} \sin \frac{\theta}{2} \quad (7-4)$$

$$q_\theta = -k^{tip} \frac{\partial T}{r \partial \theta} = -\frac{k^{tip} R(t)}{\sqrt{2r}} \cos \frac{\theta}{2} \quad (8-4)$$

در این روابط،  $k^{tip}$  ضریب هدایت گرمایی در نوک ترک است. در رابطه فوق، جمله  $R(t)$  را نمی‌توان با تحلیل محلی فوق مشخص نمود. روابط مجانبی دما و شار حرارتی بدست آمده برای مواد غیرهمگن شبیه روابط متناظر برای مواد همگن است که توسط سی گزارش شده است؛ یعنی درجه تکنیکی شار حرارتی و توزیع زاویه‌ای توزیع دما و شار حرارتی برای مواد همگن و غیرهمگن یکسان است. برای حالتهای دیگر موقعیت ترک نسبت به خطوط ناپیوستگی ضعیف مثل ترکی که به یک خط ناپیوستگی ضعیف ختم می‌شود نیز نتایج بالا حاصل می‌شود.

## ۲-۲-۴- میدانهای الاستیک نوک ترک

رابطه ساختاری ترمومالاستیک برای یک ماده غیرهمگن بصورت زیر بیان می‌شود.

$$\sigma_{ij} = 2\mu \epsilon_{ij} + \lambda \epsilon_{kk} \delta_{ij} - \beta(\Delta T) \delta_{ij} \quad (9-4)$$

که در آن،  $E$  ضریب الاستیک،  $\nu$  ضریب پواسون و  $\alpha$  ضریب انبساط حرارتی است. فرض می‌شود خصوصیات مذکور توابع پیوسته و قطعه‌ای مشتق‌پذیر از موقعیت است. رابطه حاکم بر تابع تنش ایری<sup>۱</sup> برای حالت تنش صفحه‌ای بصورت زیر بیان می‌شود.

$$\begin{aligned} & \left( \frac{1}{E} \nabla^2 F \right) - \frac{\partial^2}{\partial x_2^2} \left( \frac{1+\nu}{E} \right) \frac{\partial^2 F}{\partial x_1^2} - \frac{\partial^2}{\partial x_1^2} \left( \frac{1+\nu}{E} \right) \frac{\partial^2 F}{\partial x_2^2} + 2 \frac{\partial^2}{\partial x_1 \partial x_2} \left( \frac{1+\nu}{E} \right) \frac{\partial^2 F}{\partial x_1 \partial x_2} \\ & \nabla^2 (\alpha \Delta T) = 0 \end{aligned} \quad (10-4)$$

---

<sup>۱</sup>- Airy

که در آن،  $\nabla^2$  عملگر لاپلاسین است. رابطه فوق یا اعمال تبدیلهای E به  $E/(1-v^2)$  و v به  $v/(1-v)$  برای حالت کرنش صفحه‌ای صادق است. اگر فرض شود، ضریب الاستیسیته E در نوک ترک صفر نباشد؛ معادله حاکم بر تنش ایری برای حل تکنیکی در حوزه نوک ترک بصورت زیر قابل بیان است.

$$\nabla^2 \nabla^2 F = 0 \quad (11-4)$$

حل تکنیکی برای مواد همگن، معادله بالا را ارضاء می‌کند. از آنجایی که خصوصیات مواد روی خطوط ناپیوستگی ضعیف، پیوسته هستند؛ پیوستگی مولفه‌های میدان تغییرمکان و نیروها نیز در طول این خطوط حفظ می‌گردد. بنابراین می‌توان از روابط مذکور به نتیجه زیر رسید: درجه تکنیکی و توابع زاویه‌ای میدانهای ترموموکنیک حوزه نوک ترک برای مواد غیرهمگن با کمیتهای متناظر برای مواد همگن یکسان است.

### ۳-۴- انتگرال ناحیه‌ای<sup>۱</sup> معادل برای شکست حرارتی

روشهای انتگرال ناحیه‌ای سهبعدی بر مبنای انتگرالهای حجمی است که برای محاسبه مقادیر انتگرال J در نقاط مختلف روی سطح ترک بکار می‌رود. این روش برای جامدات همگن با تغییرشکل در محدوده الاستیک خطی و یا پلاستیک تحت بارگذاری مکانیکی و حرارتی بکار رفته است. گو [۹۹] و چن [۱۰۶] با همکارانشان و کیم و پائولینو [۱۰۳] این روش را برای تحلیل نمونه‌های دو بعدی تحت بارگذاری الاستیک خطی و همدمتا توسعه دادند. علاوه بر توانایی محاسبه مقادیر انتگرال FGM، فرمهای خاصی از این روش قابلیت محاسبه ضرایب شدت تنش در حالت مود ترکیبی را دارا می‌باشند. در این بخش، فرمولبندی فرم دو بعدی انتگرال ناحیه‌ای مرور می‌شود [۲۹].

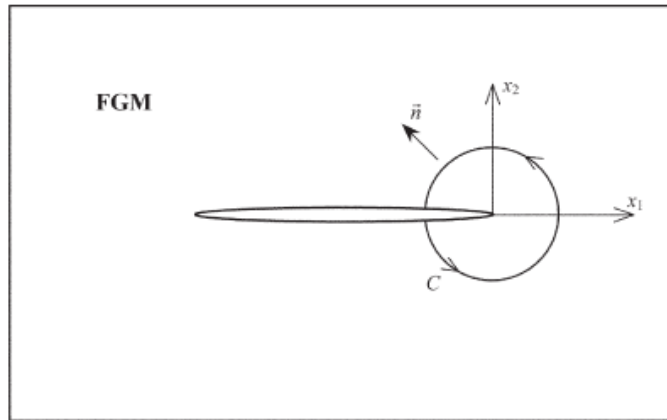
یک پیوستار دو بعدی از FGM حاوی ترک، تحت بارگذاری حرارتی بصورت زیر درنظر گرفته می‌شود (مطابق شکل (۴-۲)). در این شکل، C منحنی دلخواه بسته‌ای حول نوک ترک است؛ که از سطح پایین ترک شروع و به سطح بالای آن ختم می‌شود.  $n$  بردار یکه نرمال، با جهت مثبت رو به

<sup>۱</sup>- Equivalent Domain Integral-EDI

خارج است. برای هر دو حالت، تنش و کرنش صفحه‌ای فرم عمومی انتگرال  $J$  بصورت یک انتگرال خطی روی منحنی  $C$  به صورت زیر تعریف می‌شود.

$$J = \lim_{C \rightarrow 0} \int_C (W n_1 - \sigma_{ij} n_j u_{i,j}) ds \quad (12-4)$$

که در آن،  $W$  تابع چگالی انرژی کرنشی مکانیکی،  $n_j$  مؤلفه‌های بردار عمود  $\mathbf{n}$  و  $\sigma_{ij} = \frac{\partial(\cdot)}{\partial x_j}$  است.



شکل ۲-۴- صفحه FGM حاوی ترک نمایش کانتور  $C$  حول نوک ترک

فرم عمومی انتگرال  $J$  بصورت رابطه (۱۲-۴) برابر نرخ رهایش انرژی می‌باشد. رابطه بین نرخ رهایش انرژی و ضریب شدت تنش مود I در رابطه (۱۳-۴) آمده است.

$$J = \begin{cases} \frac{K_I^2}{E^{tip}} & \text{Plane strain} \\ \frac{K_I^2(1-(\nu^{tip})^2)}{E^{tip}} & \text{Plane stress} \end{cases} \quad (13-4)$$

معادله ساختاری برای یک پیوستار ایزوتropیک و حالت سه‌بعدی تنش به صورت زیر است:

$$\sigma_{ij} = 2\mu\epsilon_{ij} + \lambda\epsilon_{kk}\delta_{ij} - \beta(\Delta T)\delta_{ij} \quad (i,j=1, 2, 3) \quad (14-4)$$

که در آن،  $\epsilon_{ij}$  مؤلفه کرنش کل،  $\mu$  و  $\lambda$  ضرایب لامه،  $\delta_{ij}$  تابع دلتای کرونکر و  $\Delta T$  تغییر دما نسبت به دمای مرتع است. ضریب  $\beta$  بر حسب ضرایب لامه و  $\alpha$ ، ضریب انبساط حرارتی تعریف می‌شود:

$$\beta = (3\lambda + 2\mu)\alpha \quad (15-4)$$

تابع چگالی انرژی کرنشی مکانیکی،  $W$ ، با رابطه زیر محاسبه می‌شود.

$$W = \frac{1}{2} \sigma_{ij} \varepsilon_{ij}^m \quad (i,j=1, 2, 3) \quad (16-4)$$

این معادله برای حالت سهبعدی تنش معتبر است.  $\varepsilon_{ij}^m$  مؤلفه‌های کرنش مکانیکی است و به صورت زیر محاسبه می‌شود.

$$\varepsilon_{ij}^m = \varepsilon_{ij} - \alpha(\Delta T) \delta_{ij} \quad (i,j=1, 2, 3) \quad (17-4)$$

با جایگزینی روابط (14-4) و (17-4) در معادله (16-4)، رابطه تابع چگالی انرژی کرنشی مکانیکی به

شکل زیر ساده می‌شود:

$$W = \mu \varepsilon_{ij} \varepsilon_{ij} + \frac{\lambda}{2} (\varepsilon_{kk})^2 - \beta(\Delta T) \varepsilon_{kk} + \frac{3}{2} \beta \alpha(\Delta T)^2 \quad (i,j=1, 2, 3) \quad (18-4)$$

رابطه بالا برای حالت کرنش صفحه‌ای (0) با رابطه (19-4) و برای حالت تنش صفحه‌ای ( $\sigma_{33} = \sigma_{23} = \sigma_{13} = 0$ ) با رابطه (20-4) بیان می‌شود:

$$W = \mu \varepsilon_{ij} \varepsilon_{ij} + \frac{\lambda}{2} (\varepsilon_{kk})^2 - \beta(\Delta T) \varepsilon_{kk} + \frac{3}{2} \beta \alpha(\Delta T)^2 \quad (i, j=1, 2) \quad (19-4)$$

$$V = \mu(\varepsilon_{11}^2 + \varepsilon_{12}^2 + \varepsilon_{21}^2 + \varepsilon_{22}^2 + \varepsilon_{33}^2) + \frac{\lambda}{2} (\varepsilon_{kk})^2 - \beta(\Delta T) \varepsilon_{kk} + \frac{3}{2} \beta \alpha(\Delta T)^2 \quad (20-4)$$

که در آن،

$$\varepsilon_{33} = \frac{\beta}{2\lambda + \mu} (\Delta T) - \frac{\lambda}{2\mu + \lambda} (\varepsilon_{11} + \varepsilon_{22}) \quad (21-4)$$

به منظور بیان انتگرال  $J$  به صورت یک انتگرال ناحیه‌ای معادل، انتگرال  $I$  به صورت زیر تعریف می‌شود:

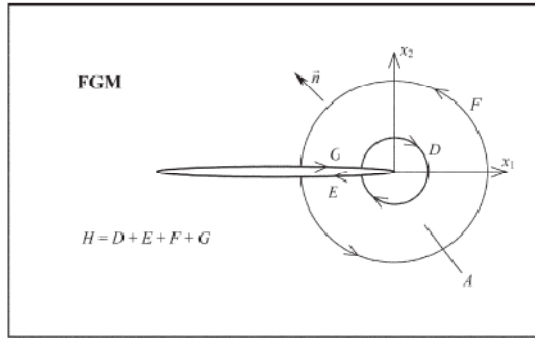
$$I = \int_H (\sigma_{ij} n_j u_{i,1} - W n_1) q ds \quad (i,j=1, 2) \quad (22-4)$$

$H$  یک منحنی بسته، مطابق شکل (22-4) است. در رابطه (22-4)،  $q$  تابع اختیاری و بطور قطعه‌ای

پیوسته است که داخل منحنی  $D$  دارای مقدار ۱ و خارج از منحنی  $F$  دارای مقدار صفر می‌باشد. چون

$n_1$  و مؤلفه‌های تنش  $\sigma_{12}$  و  $\sigma_{22}$  روی سطوح ترک صفر هستند؛ انتگرال  $I$  به صورت زیر ساده می‌شود.

$$I = \int_D (\sigma_{ij} n_j u_{i,1} - W n_1) ds \quad (i,j=1, 2) \quad (23-4)$$



شکل ۴-۴- نمایش کانتور D و سطح A

با تغییرجهت چرخش روی منحنی D از ساعتگرد به پادساعتگرد، این منحنی به منحنی C در شکل (۳-۴) تبدیل می‌شود. با توجه به این نکته، رابطه زیر برقرار می‌شود:

$$I = \int_D (\sigma_{ij} n_j u_{i,1} - W n_1) ds = - \int_C (\sigma_{ij} n_j u_{i,1} - W n_1) ds \quad (i,j=1, 2) \quad (24-4)$$

در رابطه (۲۴-۴) جهت مثبت بردار یکه نرمال در هر دو انتگرال، مطابق منحنی‌هایی است که روی آنها تعریف شده‌اند. اگر شعاع منحنی‌های C و D به سمت صفر میل کند ( $C \rightarrow 0$  و  $D \rightarrow 0$ ، می-

توان نوشت:

$$I = J \quad (25-4)$$

با استفاده از قضیه دیورژانس، انتگرال I (رابطه (۲۴-۴)) را می‌توان بصورت انتگرال ناحیه‌ای بیان کرد.

$$I = \iint_A ((\sigma_{ij} u_{i,1} - W \delta_{1j}) q)_{,j} dA \quad (I,j=1, 2) \quad (26-4)$$

که در آن، A سطح بین منحنی‌های D و F در شکل (۳-۴) است. با مشتق‌گیری از عبارت داخل انتگرال و اعمال معادله تعادل  $\sigma_{ij,j} = 0$ ، انتگرال I به صورت زیر در می‌آید.

$$I = \iint_A (\sigma_{ij} u_{i,1} - W \delta_{1j}) q_{,j} dA + \iint_A (\sigma_{ij} u_{i,1j} - W_{,1} q) dA \quad (i,j=1, 2) \quad (27-4)$$

عبارت انتگرال دوم شامل مشتق جزئی W نسبت به  $x_1$  است. برای هر دو حالت تنש و کرنش صفحه-ای این عبارت به شکل زیر نوشته می‌شود:

$$\frac{\partial W}{\partial x_1} = \frac{\partial W}{\partial \varepsilon_{ij}} \frac{\partial \varepsilon_{ij}}{\partial x_1} + \left( \frac{\partial W}{\partial x_1} \right)_{expl} \quad (28-4)$$

که  $(W_{,1})_{expl}$  مشتق صریح  $W$  نسبت به  $x_1$  است و با رابطه زیر محاسبه می‌شود:

$$\left( \frac{\partial W}{\partial x_1} \right)_{expl} = \frac{\partial W}{\partial \mu} \frac{\partial \mu}{\partial x_1} + \frac{\partial W}{\partial \lambda} \frac{\partial \lambda}{\partial x_1} + \frac{\partial W}{\partial \beta} \frac{\partial \beta}{\partial x_1} + \frac{\partial W}{\partial \alpha} \frac{\partial \alpha}{\partial x_1} + \frac{\partial W}{\partial (\Delta T)} \frac{\partial (\Delta T)}{\partial x_1} \quad (29-4)$$

عبارت‌های مشتق پارامترهای خواص مواد و اختلاف دما نسبت به  $x_1$  با روش عددی و سایر عبارتها بطور تحلیلی بدست می‌آید. در محدوده الاستیک خطی برای هر دو حالت تنش و کرنش صفحه‌ای، رابطه  $\sigma_{ij} = \partial W / \partial \varepsilon_{ij}$  برقرار است. با توجه به این رابطه و رابطه کرنش-تغییرمکان بی‌نهایت کوچک، رابطه (28-4) را می‌توان به صورت زیر بیان کرد:

$$\frac{\partial W}{\partial x_1} = \sigma_{ij} u_{i,j,1} + \left( \frac{\partial W}{\partial x_1} \right)_{expl} \quad (30-4)$$

با جایگزینی رابطه (30-4) در معادله (30-4)، انتگرال I به صورت زیر در می‌آید.

$$I = \iint_A (\sigma_{ij} u_{i,1} - W \delta_{1j}) q_j dA - \iint_A (W_{,1})_{expl} q dA \quad (31-4)$$

اگر شرط  $D \rightarrow 0$  برقرار باشد؛ می‌توان انتگرال J را به صورت یک انتگرال ناحیه‌ای معادل بصورت زیر نمایش داد.

$$J = \iint_A (\sigma_{ij} u_{i,1} - W \delta_{1j}) q_j dA - \iint_A W_{,1} q dA \quad (32-4)$$

#### ۴-۴- مثالهای عددی

در مثالهای ذکر شده، صفحه‌ای از مواد مرکب هدفمند همگن حاوی یک ترک لبه‌ای درنظر گرفته شده است. ضخامت صفحه برای تحلیل کرنش صفحه‌ای بسیار بزرگ و برای تحلیل تنش صفحه‌ای بقدر کافی نازک فرض می‌شود. ترک موازی با جهت گرادیان خصوصیات ماده در نظر گرفته می‌شود.

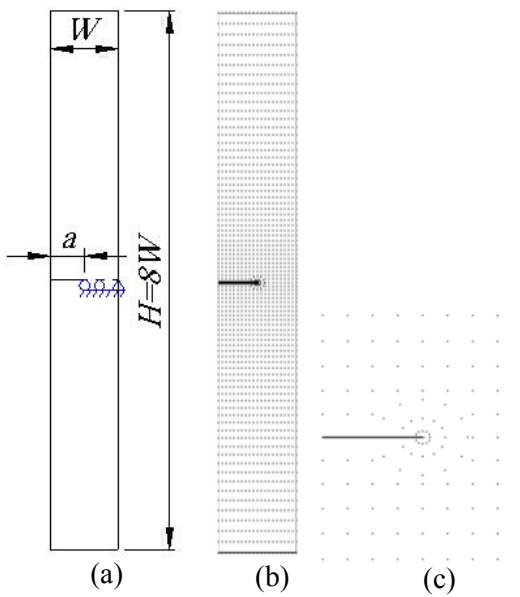
در ابتدا صفحه در دمای ساخت و بدون تنش  $T_0$  قرار دارد که شرایط مرزی دمایی به سطوح  $x_1=0$  و  $x_1=W$  اعمال می‌گردد. سطوح دیگر از جمله سطوح ترک عایق فرض می‌شوند. فرضیات

دماهی فوق باعث ایجاد جریان دما در جهت  $x_1$  و بصورت یکبعدی می‌گردد. در تمام حالتهای، ضریب شدت تنش محاسبه شده، با تقسیم به عبارت زیر، نرمالیزه می‌شود.

$$K_0 = E(0)\alpha(0)T_0\sqrt{\pi a}/(1-\nu(0)). \quad (33-4)$$

#### ۱-۴-۴-۱- صفحه با ترک لبه‌ای و خصوصیات نمایی

یک صفحه از مواد مرکب هدفمند شامل ترک لبه‌ای به طول  $a$  مطابق شکل (۴-۴) در نظر گرفته می‌شود. در شکل (۴-۴ (b)) گرهبندی کامل ناحیه حل نمایش داده شده است که شامل ۱۶۹۵ گره منظم و ۴۰ گره ستاره‌ای می‌شود. گرهبندی ستاره‌ای نوک ترک در شکل (۴-۴ (c)) آمده است.



شکل ۴-۴- (a) هندسه صفحه تحت بارگذاری. (b) گرهبندی کل ناحیه. (c) گرهبندی نوک ترک.

در این مثال، از دو دسته خصوصیات ماده استفاده می‌شود که در هر دو، تغییرات بصورت نمایی است. برای مثال، مدول الاستیسیته بصورت زیر در نظر گرفته می‌شود.

$$E(x_1) = E(0) \exp(P_E x_1) \quad (34-4)$$

ضرایب غیرهمگنی بصورت زیر تعریف می‌شود.

$$P_E = \frac{1}{W} \ln \left( \frac{E(W)}{E(0)} \right) \quad (35-4)$$

$$P_v = \frac{1}{W} \ln\left(\frac{\nu(W)}{\nu(0)}\right) \quad (36-4)$$

$$P_\alpha = \frac{1}{W} \ln\left(\frac{\alpha(W)}{\alpha(0)}\right) \quad (37-4)$$

$$P_k = \frac{1}{W} \ln\left(\frac{k(W)}{k(0)}\right) \quad (38-4)$$

$$P_{\rho c} = \frac{1}{W} \ln\left(\frac{\rho c(W)}{\rho c(0)}\right) \quad (39-4)$$

برای دسته اول خصوصیات ماده، ضرایب غیرهمگنی بصورت اختیاری انتخاب می‌شود تا بتوان به شرایطی دست یافت که حلهای مرجع در آن بدست آمده‌اند و از طرفی، تغییرات گسترده‌تر مواد اثر آنها را روی ضریب شدت تنفس بهتر مشخص می‌کند. در این حالت، از مقادیر زیر استفاده شده است

$$E(0)=k(0)=\alpha(0)=\rho c(0)=1.0 \quad (40-4)$$

$$\nu(0)=0.3 \quad (41-4)$$

در حالت دوم، ترکیب سرامیک/فلز ZrO<sub>2</sub>/Ti-6Al-4V با خصوصیات زیر در نظر گرفته می‌شود.

جدول ۴-۱- خصوصیات فیزیکی ZrO<sub>2</sub> و Ti-6Al-4V

ماده	الاستیسیته (GPa)	ضرب پواسون	ضرب انبساط حرارتی (10 <sup>-6</sup> /K)	ضریب گرمایی (W/(mK))	چگالی (kg/m <sup>3</sup> )	گرمایی ویژه (J/(kgK))
ZrO <sub>2</sub>	151	0.33	10	2.9	5331	4567
Ti-6Al-4V	116.7	0.33	9.5	7.5	4420	537

همچنین شرایط مرزی دمایی مختلفی در حالت پایا در نظر گرفته می‌شود. در حالت گذرا نیز از شرایط دما معلوم در دو سطح چپ و راست استفاده می‌شود.

### تغییر دمای یکنواخت

در این حالت صفحه از دمای  $T_0$  بطور یکنواخت تا دمای  $T$  سرد می‌شود. در جدول (۲-۴) مقادیر ضرایب شدت تنش بدست آمده با انتگرال J و DCT با نتایج منتشرشده توسط اردگن و وو [۱۸]، کیسی و کیم [۱۰۷] و بیلدریم [۲۹] مقایسه شده است.

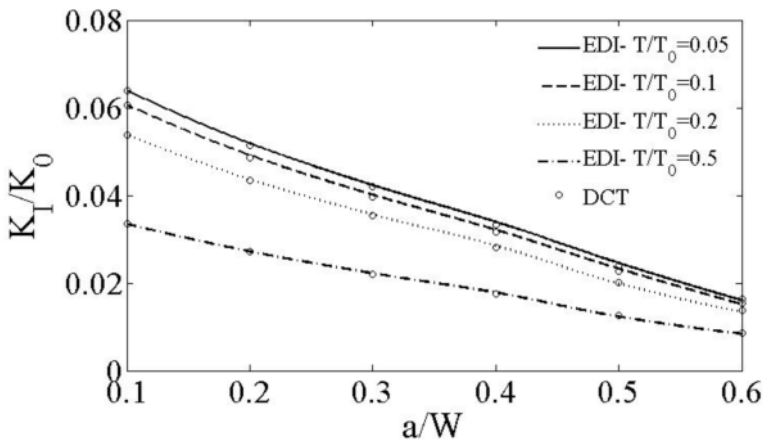
جدول ۲-۴- ضرایب شدت تنش برای سرمایش یکنواخت (۵)،  $WP_E = \ln(5)$  و  $P_k = WP_\alpha = \ln(2)$  اختیاری

ضریب شدت تنش نرمالیزه						نوع تحلیل	بارگذاری		
[۲۹] بیلدریم	کیسی و کیم [۱۰۷]	اردگن و وو [۱۸]	مقادیر محاسبه شده						
			EDI	DCT					
۰/۰۱۲۸	۰/۰۱۲۸	۰/۰۱۲۵	۰/۰۱۲۴	۰/۰۱۲۶	کرنش صفحه‌ای	$T_1=0.5T_0$			
.۰/۰۰۹۰	.۰/۰۰۹۰	-	.۰/۰۰۸۸	.۰/۰۰۹۰	تنش صفحه‌ای	$T_2=0.5T_0$			
-	.۰/۰۲۴۴	.۰/۰۲۴۵	.۰/۰۲۴۰	.۰/۰۲۴۶	کرنش صفحه‌ای	$T_1=0.05T_0$			
						$T_2=0.05T_0$			

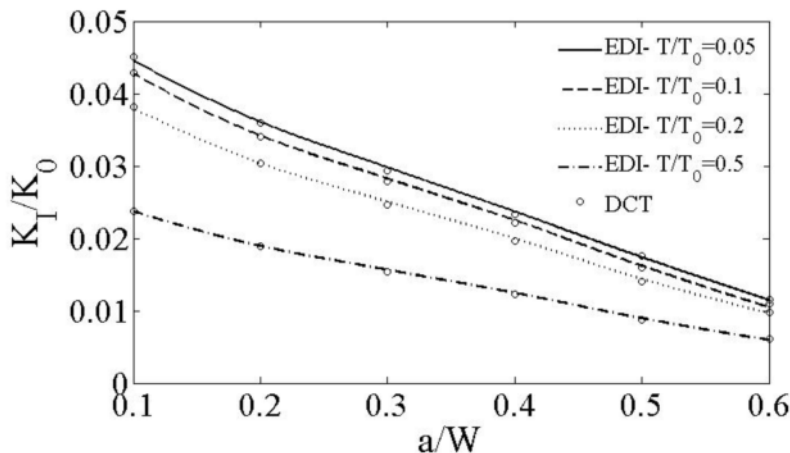
تطابق قابل قبولی بین مقادیر محاسبه شده و نتایج مذکور وجود دارد. البته این نکته قابل توجه است که مدل مورد استفاده در تحلیل شامل ۱۷۳۵ گره است؛ در حالیکه حلها عددي منتشرشده با تعداد گرههای بیشتری به این نتایج رسیده‌اند. بطوریکه کیسی و کیم با بکار بردن ۱۹۶۶ المان و ۲۹۳۷ گره کمترین تعداد گره را در میان آنها بکار برده است [۱۰۶].

شکلهای (۴-۵) و (۶-۴) اثر دمای سرمایش و طول ترک را روی مقادیر ضرایب شدت تنش نشان می‌دهند. نتایج برای تحلیلهای کرنش صفحه‌ای و تنش صفحه‌ای بدست آمده‌اند. مطابق این نتایج، با نزدیک شدن طول ترک به عرض صفحه، مقدار ضریب شدت تنش به سمت صفر میل می‌کند.

این مساله قابل انتظار است؛ چون توزیع تنش حرارتی در صفحه بطور استاتیکی در تعادل است (نیروی مکانیکی به صفحه وارد نمی‌شود).



شکل ۴-۵- ضرایب شدت تنش بر حسب طول ترک و دمای سرمایش. حالت کرنش صفحه‌ای،  $WP_E=\ln(10)$  و  $WP_a=\ln(2)$



شکل ۴-۶- ضرایب شدت تنش بر حسب طول ترک و دمای سرمایش. حالت تنش صفحه‌ای،  $WP_E=\ln(10)$  و  $WP_a=\ln(2)$

علاوه بر این، مقادیر ضریب شدت تنش برای حالت کرنش صفحه‌ای از مقادیر متناظر برای حالت تنش صفحه‌ای بزرگتر است. نودا و همکارانش توزیع تنش حرارتی گذرا برای یک باریکه همگن نامحدود را بطور تحلیلی بدست آورده‌اند.

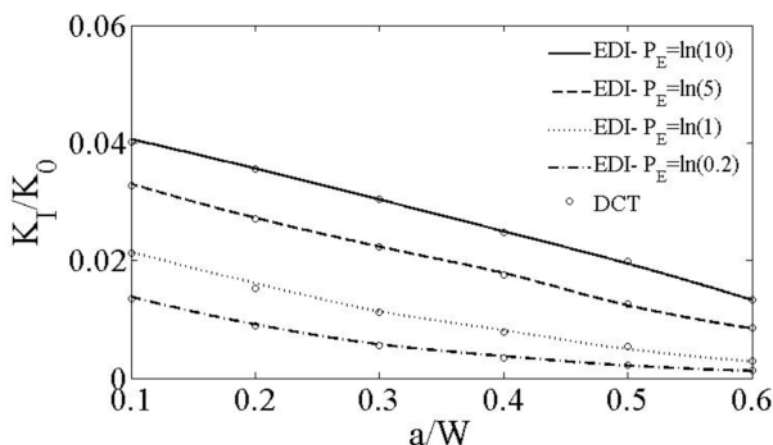
$$\sigma_{x_2 x_2}^{th} = \frac{E(x_1)}{1-\nu^2} (C_1 x_1 + C_2 - \alpha(x_1)(1+\nu) \Delta T(x_1, t)) \quad (42-4)$$

$$\sigma_{x_2 x_2}^{th} = E(x_1) (C_1 x_1 + C_2 - \alpha(x_1) \Delta T(x_1, t)), \quad (43-4)$$

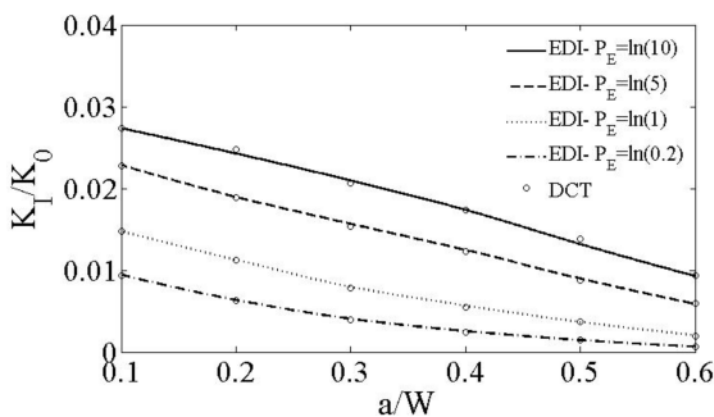
که در آنها، ثابت‌های  $C_1$  و  $C_2$  ضرایب مجهولی هستند که از تعادل نیرو و گشتاور در جهت  $x_1$  بدست می‌آیند. مطابق این نتایج، توزیع تنش حرارتی برای حالت کرنش صفحه‌ای برابر مقدار متناظر برای

حالت تنش صفحه‌ای ضربدر فاکتور  $(1-v)/1$  می‌باشد. با توجه به اینکه، فاکتور مذکور بزرگتر از یک است؛ بنابراین، توزیع تنش حرارتی و در نتیجه ضریب شدت تنش برای حالت کرنش صفحه‌ای بزرگتر از حالت تنش صفحه‌ای است که در شکل‌های (۴-۵) و (۴-۶) نیز دیده می‌شود.

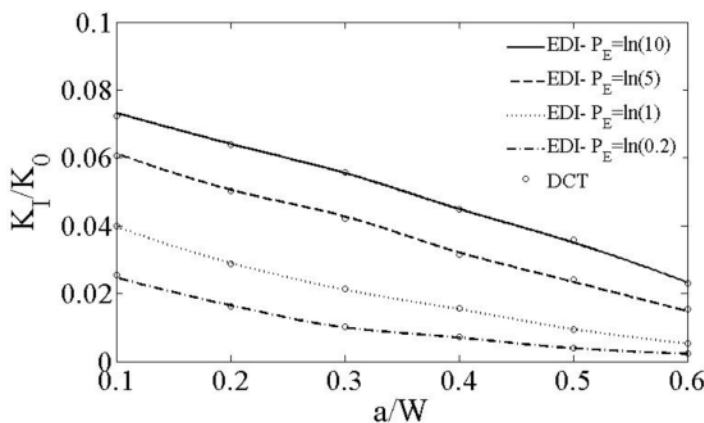
در شکل (۷-۴) تا (۱۰-۴) اثر تغییرات ضریب غیرهمگنی مدول الاستیسیته روی مقادیر ضریب شدت تنش نشان داده شده است. مقادیر ضریب شدت تنش بر حسب طولهای مختلف ترک و برای حالتهای کرنش صفحه‌ای و تنش صفحه‌ای رسم شده‌اند. مطابق این شکلها، با افزایش ضریب غیرهمگنی مدول الاستیسیته و در نتیجه مدول الاستیسیته در کل صفحه، مقادیر ضریب شدت تنش افزایش می‌یابد.



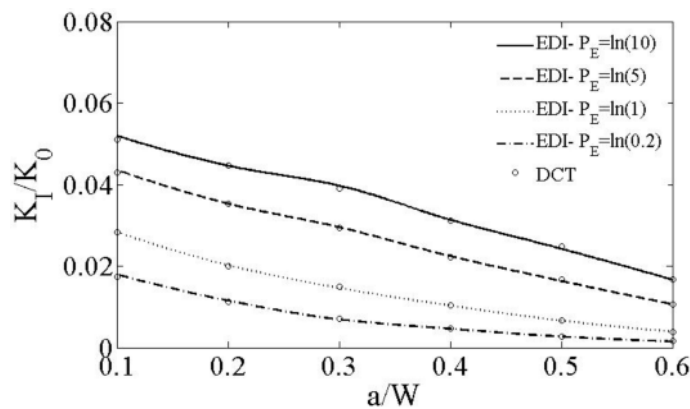
شکل ۷-۴- ضرایب شدت تنش بر حسب طول ترک و دمای سرمایش. حالت کرنش صفحه‌ای،  $T/T_0=0.5$  و  $WP_a=\ln(2)$



شکل ۸-۴- ضرایب شدت تنش بر حسب طول ترک و دمای سرمایش. حالت تنش صفحه‌ای،  $T/T_0=0.5$  و  $WP_a=\ln(2)$



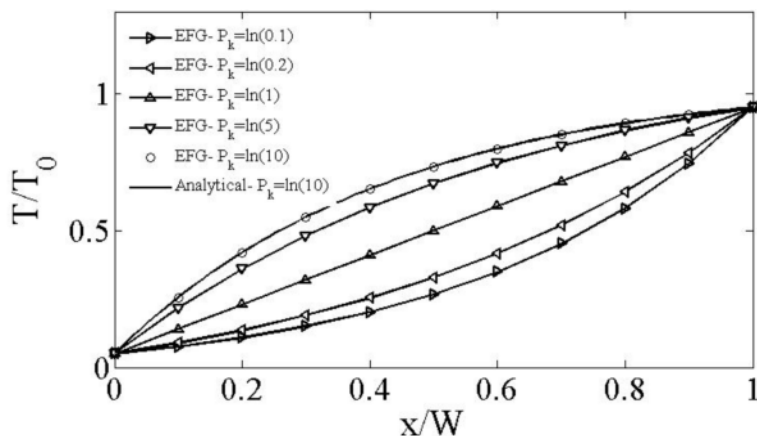
شکل ۹-۴- ضرایب شدت تنش بر حسب طول ترک و دمای سرمایش. حالت کرنش صفحه‌ای،  $T/T_0=0.1$  و  $WP_a=\ln(2)$



شکل ۱۰-۴- ضرایب شدت تنش بر حسب طول ترک و دمای سرمایش. حالت تنش صفحه‌ای،  $T/T_0=0.1$  و  $WP_a=\ln(2)$

### سرمایش غیریکنواخت و پایای صفحه

در این حالت، دمای سطوح  $x_l=0$  و  $x_l=W$  از  $T_0$  تا دماهای  $T_1$  و  $T_2$  کاهش می‌یابد. در شکل ۱۱-۴) میدان دمای پایا برای مقادیر مختلف ضریب غیرهمگنی ضریب هدایت گرمایی رسم شده‌اند. مطابق انتظار، توزیع دما برای  $P_k=\ln(1)$  که متناظر با مواد همگن است؛ خطی می‌باشد. برای مقادیر دیگر، توزیع دما در صفحه به دمای سطحی نزدیکتر است که دارای ضریب هدایت گرمایی بزرگتری می‌باشد. علاوه بر این، توزیع دمای محاسبه شده با روش بدون المان گلرکین با حل تحلیلی آن برای مقایسه شده است.



شکل ۱۱-۴- توزیع دمای پایا بر حسب ضریب غیرهمگنی ضریب هدایت گرمایی

در مرحله بعد، نتایج حاصل از تحلیل ترمولاستیک صفحه در جدول (۳-۴) و شکل‌های (۱۲) و (۱۳-۴) آمده است. جدول (۴-۳) تطابق قابل قبولی را بین نتایج محاسبه شده با روش‌های EDI و DCT و همچنین با نتایج منتشرشده نشان می‌دهد.

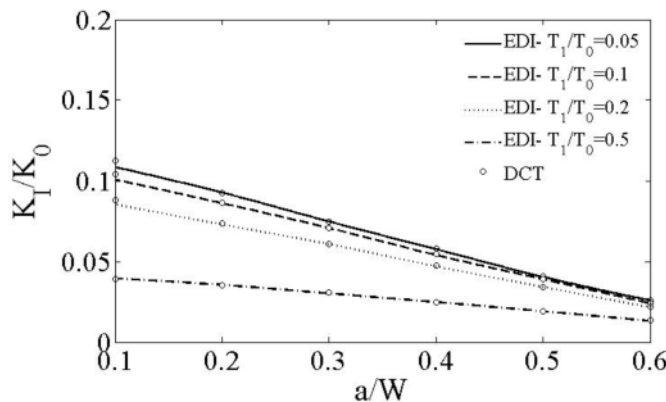
جدول ۴-۴- مقادیر نرمالیزه شده ضریب شدت تنش برای سرمایش غیریکنواخت پایا. (۱۰) و  $WP_k = \ln(10)$

#### ضریب شدت تنش نرمالیزه

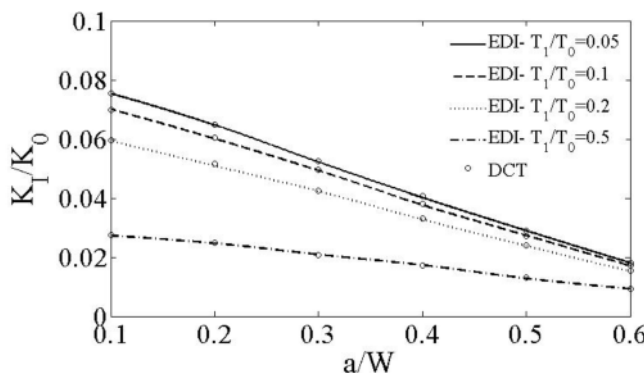
بارگذاری	نوع تحلیل	مقادیر محاسبه شده			
		ارددگن و وو [۱۸]	کیسی و کیم [۱۰۷]	EDI	DCT
$T_1=0.2T_0$	کرنش صفحه‌ای	۰/۰۳۴	۰/۰۳۳۴	۰/۰۳۳۵	۰/۰۳۴۴
$T_2=0.5T_0$	تنش صفحه‌ای	۰/۰۲۴	۰/۰۲۳۵	-	۰/۰۲۳۴
$T_1=0.05T_0$	کرنش صفحه‌ای	-	۰/۰۴۰۶	۰/۰۴۱۰	۰/۰۴۰۵
$T_2=0.5T_0$					۰/۰۴۱۱

در شکل‌های (۱۲-۴) و (۱۳-۴) اثر دمای لبه دارای ترک روی مقادیر ضریب شدت تنش برای حالتهای کرنش صفحه‌ای و تنش صفحه‌ای آمده است. دمای سطح دیگر در  $T_I=0.5T_0$  ثابت نگه داشته می‌شود. طبق نتایج بدست آمده، مقادیر ضریب شدت تنش با کاهش نسبت  $T_I/T_0$  افزایش

می‌یابد. کاهش نسبت  $T_1/T_0$  افزایش گرادیان دما در نزدیکی لبه ترکدار و در نتیجه افزایش در مقادیر تنشهای حرارتی و ضریب شدت تنش را در پی دارد.



شکل ۱۲-۴- ضرایب شدت تنش بر حسب طول ترک و دمای لبه بدون ترک. حالت کرنش صفحه‌ای، ( $WP_E = \ln(10)$ ،  $T_2/T_0 = 0.5$  و  $WP_k = \ln(10)$  ،  $WP_a = \ln(2)$ )



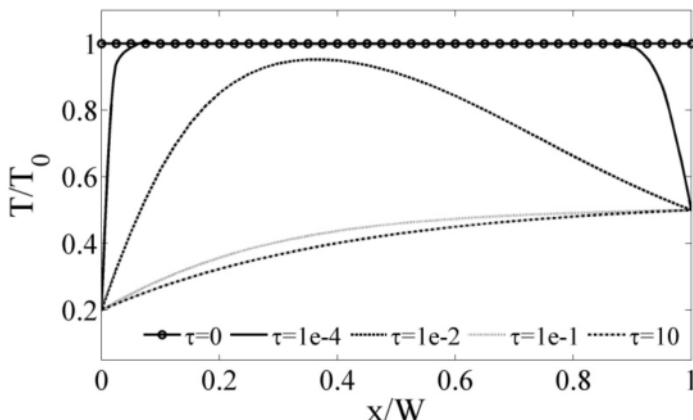
شکل ۱۳-۴- ضرایب شدت تنش بر حسب طول ترک و دمای لبه بدون ترک. حالت تنش صفحه‌ای، ( $WP_E = \ln(10)$ ،  $T_2/T_0 = 0.5$  و  $WP_k = \ln(10)$  ،  $WP_a = \ln(2)$ )

### تغییر دمای گذرا

از آنجائیکه ترکهای سطحی معمولاً حین مرحله سرمایش ایجاد می‌شوند؛ در اینجا تغییر دمای گذرا بصورت سرمایش در نظر گرفته می‌شود. شوک حرارتی بصورت کاهش ناگهانی دمای سطوح صفحه از دمای مرجع  $T_0$  تا دمای  $T_1$  و  $T_2$  اعمال می‌شود. در این مرحله نتایج با فرض  $T_1 = 0.2T_0$  و  $T_2 = 0.5T_0$  بدست آمده‌اند. توزیع دمای گذرا در صفحه بر حسب زمان نرمال‌شده در شکل (۱۴-۴) رسم شده است. زمان نرمال‌شده  $\tau$  بصورت زیر تعریف می‌شود.

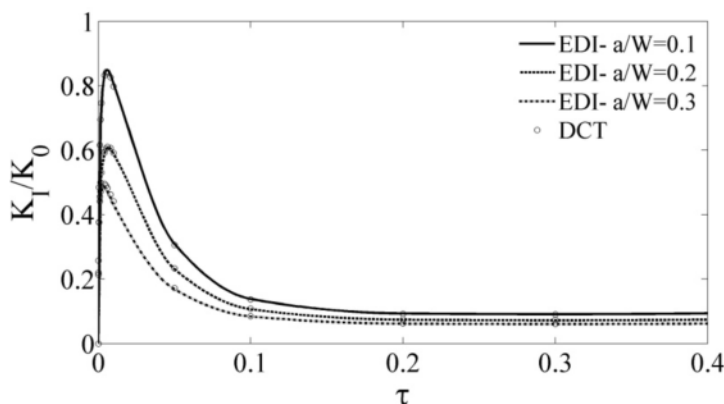
$$\tau = \frac{k(0)/\rho(0)c(0)}{W^2} t \quad (44-4)$$

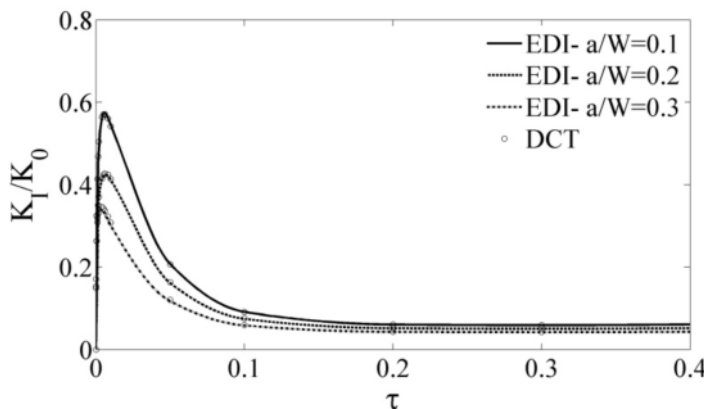
طبق این نتایج، در زمانهای ابتدایی اعمال شوک حرارتی، گرادیان دما در نزدیکی لبه‌های صفحه قابل توجه است که منجر به تنشهای کشنشی بزرگی می‌گردد.



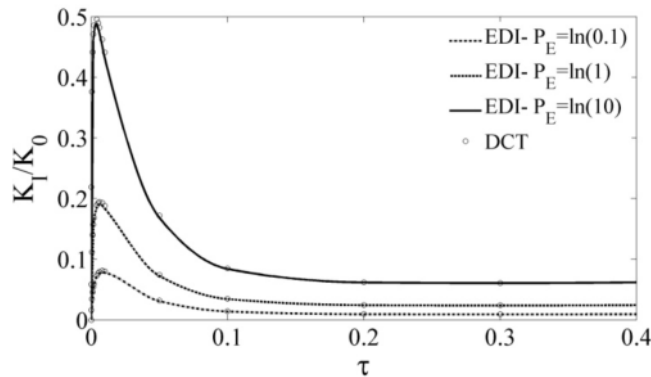
شکل ۴-۱۴-توزيع دمای گذرا در FGP بر حسب زمان نرمالیزه شده

شکلهای (۱۵-۴) و (۱۶-۴) تغییرات زمانی ضریب شدت تنش حاصل از توزیع گذرای دما در صفحه، بر حسب طولهای مختلف ترک و برای حالت‌های کرنش صفحه‌ای و تنش صفحه‌ای را نشان می‌دهد. مطابق این نتایج، در ابتدا مقادیر ضریب شدت تنش تا یک مقدار بیشینه افزایش یافته و سپس بسرعت تا مقدار حالت پایا کاهش می‌یابد. این تغییرات زمانی برای تمام طولهای ترک یکسان است. بعلاوه، مقادیر ضریب شدت تنش برای طولهای کوچکتر ترک هم در حالت گذرا و هم در حالت پایا بزرگتر است و در نهایت، مقادیر ضریب شدت تنش برای حالت کرنش صفحه‌ای بزرگتر از حالت تنش صفحه‌ای است.



شکل ۴-۱۵- ضرایب شدت تنش گذرا در صفحه ZrO<sub>2</sub>/Ti-6Al-4V بر حسب طول ترک در حالت کرنش صفحه‌ایشکل ۴-۱۶- ضرایب شدت تنش گذرا در صفحه ZrO<sub>2</sub>/Ti-6Al-4V بر حسب طول ترک در حالت تنش صفحه‌ای

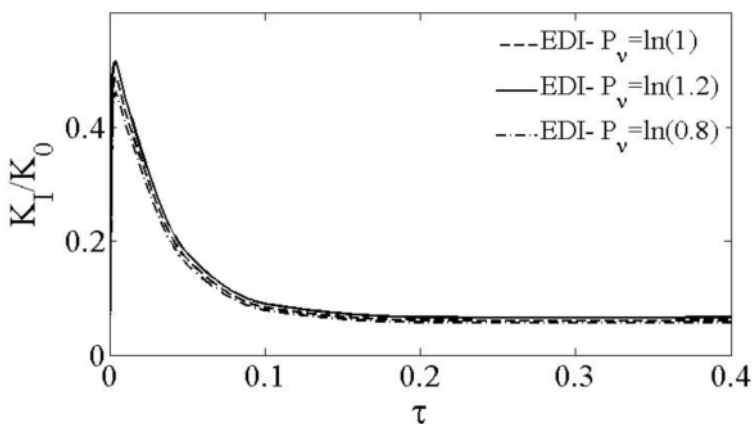
در این مرحله، اثر تغییرات خصوصیات ماده روی مقدار ضریب شدت تنش در قالب تحلیل حساسیت بررسی می‌شود. در شکلهای (۱۷-۴) و (۱۸-۴) اثر تغییر پارامترهای الاستیک صفحه یعنی مدول الاستیسیته و ضریب پواسون مطالعه شده است. بررسیها برای  $a/W=0.3$  و حالت کرنش صفحه-ای انجام شده است. مطابق شکل (۱۷-۴)، تغییر ضریب غیرهمگنی  $P_E$  اثر قابل توجهی روی مقادیر ضریب شدت تنش و بخصوص مقدار بیشینه آن دارد. نتایج نشان می‌دهد؛ زمان رسیدن به مقدار بیشینه و زمان رسیدن به حالت پایا برای تمام مقادیر  $P_E$  تقریباً یکسان است. این مساله با خاطر مستقل بودن توزیع دمای گذرا از تغییرات  $P_E$  است. مطابق نتایج، تغییر  $P_E$  باعث ایجاد اختلاف زمانی  $P_E=\ln(1)$  ناچیز بین زمانهای متناظر با مقادیر بیشینه و رسیدن به حالت پایا می‌شود. بعلاوه، حالت تغییرات زمانی ضریب شدت تنش را برای آن دسته از FGM می‌دهد که به لحاظ الاستیک همگن هستند. ولی خصوصیات گرمایی آنها نظریه هدایت گرمایی و ضریب انبساط گرمایی خطی آنها تابع مکان است. برای مثال، می‌توان از برخی مواد مرکب سرامیک/SiC از جمله TiC/SiC نام برد.



شکل ۴-۱۷-۴- ضرایب شدت تنش گذرا بر حسب ضریب غیرهمگنی  $P_E$ . کرنش صفحه‌ای، ( $WP_a=\ln(2)$ ،  $WP_v=\ln(1)$ ،  $WP_k=\ln(10)$ )

اثر ضریب پواسون روی تغییرات ضریب شدت تنش برای حالت کرنش صفحه‌ای در شکل ۴-۴-

(۱۸) رسم شده است. طبق این نتایج، مقادیر ضریب شدت تنش با افزایش مقدار ضریب غیرهمگنی  $P_v$ ، مقدار ضریب شدت تنش کمی افزایش می‌یابد.



شکل ۴-۱۸-۴- ضرایب شدت تنش گذرا بر حسب ضریب غیرهمگنی  $P_v$ . کرنش صفحه‌ای، ( $WP_a=\ln(2)$ ،  $WP_E=\ln(10)$ ،  $WP_k=\ln(10)$ )

نتایج محاسبه شده برای حالت تنش صفحه‌ای نشان می‌دهد؛ مقادیر ضریب شدت تنش نسبت

به تغییرات ضریب پواسون حساسیتی ندارد و مستقل از آن می‌باشد. نتایج مذکور در متن نیامده است.

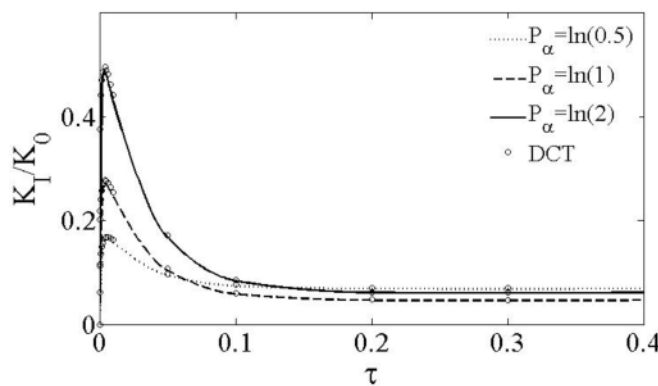
حل تحلیلی توزیع تنش حرارتی در یک صفحه بدون ترک از مواد مرکب هدفمند بصورت روابط (۴-۴۲) و (۴-۴۳) است. این حل با فرض ایجاد توزیع دمای یکبعدی و برای حالتهای کرنش صفحه‌ای

و تنش صفحه‌ای بدست آمده است. مطابق این روابط، تنشهای حرارتی یک تابع افزایش از مدول

الاستیسیته می‌باشد. بعلاوه، دیده می‌شود که توزیع تنش حرارتی در حالت تنش صفحه‌ای مستقل از ضریب پواسون می‌باشد.

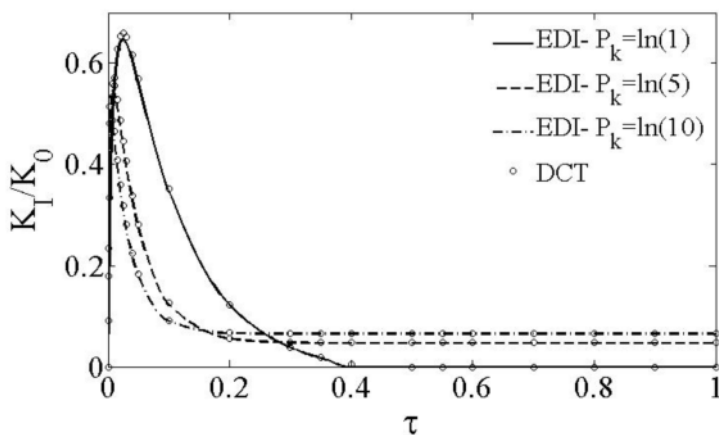
اثر تغییر ضرایب غیرهمگنی خصوصیات گرمایی ماده در این مرحله بررسی می‌گردد. در شکل

(۴-۱۹) اثر تغییر ضرایب غیرهمگنی ضریب انبساط حرارتی  $P_\alpha$  روی تغییرات زمانی مقدار ضریب شدت تنش رسم شده است. طبق این نتایج، با افزایش ضریب غیرهمگنی  $P_\alpha$ ، مقدار بیشینه ضریب شدت تنش بشدت افزایش می‌یابد.



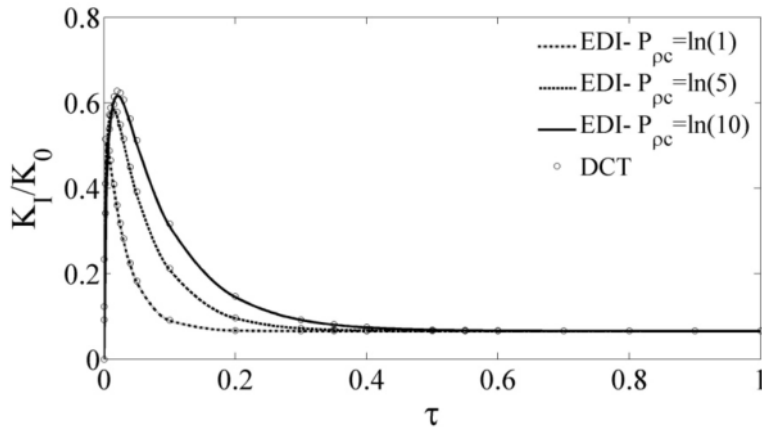
شکل ۴-۱۹-۴- ضرایب شدت تنش گذرا بر حسب ضریب غیرهمگنی  $P_\alpha$ . کرنش صفحه‌ای،  $WP_v=\ln(1)$ ،  $WP_E=\ln(10)$  و  $WP_k=\ln(10)$

البته زمان متناظر با مقدار بیشینه و رسیدن به حالت پایا، تقریباً برای تمام مقادیر  $P_\alpha$  یکسان است. بسته به مقدار  $P_\alpha$  روند تغییرات زمانی ضریب شدت تنش ممکن است بسیار متفاوت باشد. برای مثال، اگر چه مقدار پایای ضریب شدت تنش برای  $WP_\alpha=\ln(1)$  یا  $WP_\alpha=\ln(2)$  کوچکتر از مقدار متناظر  $WP_\alpha=\ln(0.5)$  است. ولی مقدار بیشینه ضریب شدت تنش برای حالت  $WP_\alpha=\ln(2)$  بسیار بزرگتر می‌باشد. تغییرات زمانی ضریب شدت تنش برای مقادیر مختلف ضریب هدایت گرمایی  $P_k$  در شکل (۴-۲۰) نشان داده شده است.



شکل ۴-۲۰- ضرایب شدت تنش گذرا بر حسب ضریب غیرهمگنی  $P_k$ ، کرنش صفحه‌ای،  $WP_v=\ln(1.2)$ ،  $WP_E=\ln(10)$ ،  $WP_a=\ln(2)$

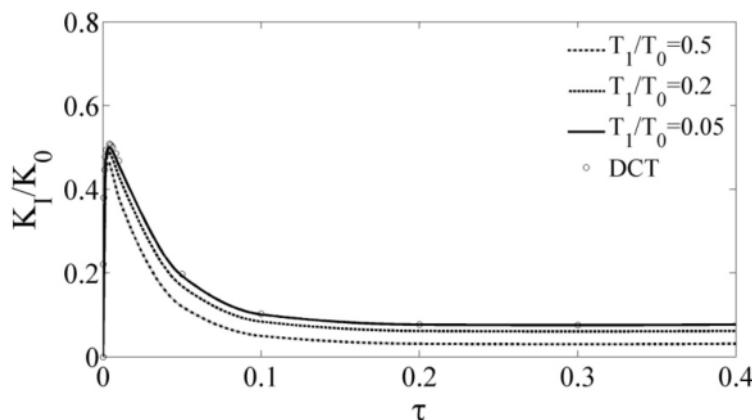
طبق این نتایج، کاهش ضریب غیرهمگنی  $P_k$  باعث تاخیر در رسیدن ضریب شدت تنش به مقدار بیشینه و همچنین مقدار حالت پایا می‌گردد. البته این موارد دور از انتظار نیست، چون افزایش ضریب هدایت گرمایی موجب افزایش ضریب پخش حرارتی  $k/pc$  می‌شود. علاوه بر این، کاهش ضریب هدایت گرمایی  $P_k$  باعث افزایش مقدار بیشینه می‌گردد. برای  $WP_k=\ln(1)$  رفتار ترک در حالت گذرا و پایا کاملاً متفاوت است. در ابتدای اعمال شوک، مقدار ضریب شدت تنش افزایش یافته و به یک مقدار بیشینه مثبت می‌رسد و سپس کاهش می‌یابد؛ تا اینجا مساله تحلیل ترک است. اما پس از آن، مساله در حوزه مکانیک تماس قابل تحلیل است. از نتایج فوق می‌توان نتیجه گرفت؛ تغییرات ضریب هدایت گرمایی اثر قابل توجهی روی تغییرات زمانی ضریب شدت تنش دارد و گاهی باعث تغییر ماهیت مساله می‌گردد. تغییرات زمانی ضریب شدت تنش بر حسب تغییرات ضریب غیرهمگنی  $pc$  در شکل (۲۱-۴) نمایش داده شده است. همانطور که مورد انتظار است؛ مقادیر ضریب شدت تنش در حالت پایا مستقل از تغییرات  $pc$  می‌باشد؛ که در شکل (۲۱-۴) نیز قابل مشاهده است. همچنین مقدار بیشینه ضریب شدت تنش زمان متناظر با مقدار بیشینه و رسیدن به حالت پایا با افزایش  $WP_{pc}$  کمی افزایش می‌یابد.



شکل ۲۱-۴- ضرایب شدت تنش گذرا بر حسب ضریب غیرهمگنی  $P_{rc}$  کرنش صفحه‌ای، ( $WP_v=\ln(1.2)$ ,  $WP_E=\ln(10)$ ,  $WP_a=\ln(2)$ ) و

اثر تغییر درجه حرارت لبه ترکدار روی تغییرات زمانی ضریب شدت تنش در شکل (۲۲-۴)

آمده است. طبق این نتایج، با افزایش مقدار  $T_0-T_I$ ، مقدار ضریب شدت تنش نیز افزایش می‌یابد. کاهش بیشتر دمای لبه صفحه از دمای مرجع باعث ایجاد گرادیان دمای بزرگتر می‌گردد که تنش‌های حرارتی بزرگتری را نیز درپی دارد. همچنین زمان متناظر با رسیدن به مقدار بیشینه با افزایش  $T_0-T_I$  افزایش می‌یابد. ولی زمان رسیدن به حالت پایا برای تمامی مقادیر  $T_0-T_I$  تقریباً یکسان است.



شکل ۲۲-۴- ضرایب شدت تنش گذرا بر حسب دمای لبه بدون ترک. کرنش صفحه‌ای، ( $WP_v=\ln(1.2)$ ,  $WP_E=\ln(10)$ ,  $WP_a=\ln(2)$ ) و

#### ۴-۴-۲- صفحه حاوی ترک لبه‌ای با تغییر توانی خصوصیات

صفحه‌ای از جنس Ni/TiC مطابق شکل (۴-۴) حاوی ترک لبه‌ای در نظر گرفته می‌شود.

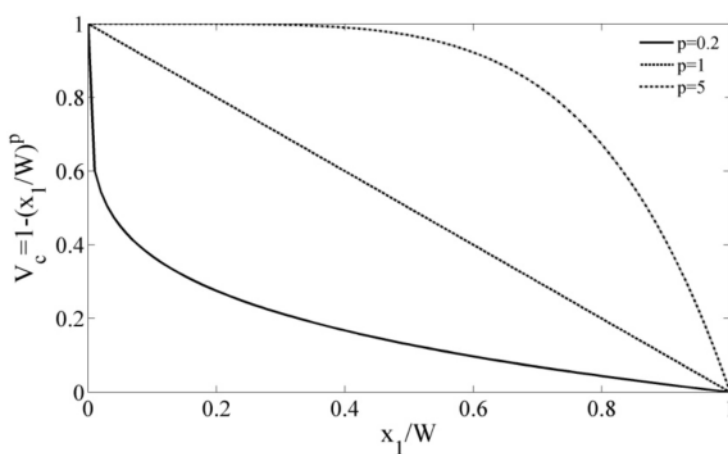
جدول ۱-۴- خصوصیات فیزیکی TiC و Ni [۲۰]

ماده	استیسیته (GPa)	مدول	ضریب پواسون	ضریب انبساط حرارتی ( $10^{-6}/K$ )	ضریب گرمایی (W/mK)	چگالی (kg/m <sup>3</sup> )	گرمایی ویژه (J/(kgK))
TiC	۳۲۰	۷/۴	۰/۱۹۵	۲۵/۱	۴۹۴۰	۴۹۴۰	۱۳۴
Ni	۲۰۶	۱۳/۳	۰/۳۱۲	۹۰/۵	۸۸۹۰	۴۳۹/۵	

تغییر خصوصیات مکانیکی و حرارتی در صفحه مطابق تابع توانی در جهت  $x_1$  و بصورت زیر در نظر گرفته می‌شود.

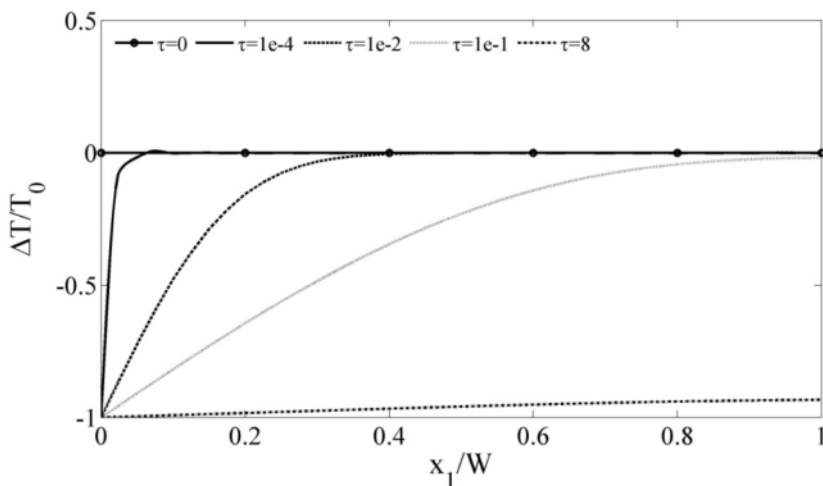
$$x_1) = E(0) + (E(W) - E(0))(x_1/W)^p \quad (45-4)$$

در این رابطه، توان  $p$  یک مقدار مثبت است که بعنوان پارامتر تنظیم‌کننده پروفیل خصوصیات بکار می‌رود. چون پارامتر  $p$  می‌تواند مستقل از خصوصیات اجزای تشکیل‌دهنده ماده انتخاب شود؛ تابع توانی در نمایش تغییر خصوصیات، از انعطاف‌پذیری قابل توجهی برخوردار است. به همین سبب در بسیاری از تحلیلهای عملی از این تابع برای نمایش خصوصیات FGM استفاده می‌شود.



شکل ۴-۲۳- تغییرات کسر حجمی سرامیک در FGP بر حسب توان  $p$

برای خصوصیات متناسب<sup>۱</sup> مواد، پارامتر  $p$  برای تمام خصوصیات مکانیکی و حرارتی یکسان بکار برده می‌شود؛ ولی در خصوصیات غیرمتناسب<sup>۲</sup>، هر خصوصیت می‌تواند پارامتر  $p$  متفاوتی نسبت به بقیه بگیرد. علاوه براین، شرایط مرزی حرارتی مختلفی در این مثال، روی لبه بدون ترک اعمال می‌گردد. به منظور اعمال شوک حرارتی، فرض می‌شود لبه ترکدار تا دمای ثابت  $T_1=0$  بطور ناگهانی سرد می‌شود، در حالیکه در لبه دیگر شرایط جابجایی با ضریب  $h=10 \text{ W}/(\text{m}^2\text{K})$  و با محیطی به دمای  $T_0$  برقرار باشد. توزیع دمای گذرا در صفحه در شکل (۲۴-۴) آمده است. نتایج مذکور با فرض خصوصیات متناسب با مقدار  $p=5$  حاصل شده است. اثر شرایط مرزی جابجایی در زمانهای نزدیک به حالت پایا بخوبی در توزیع دما مشهود است.

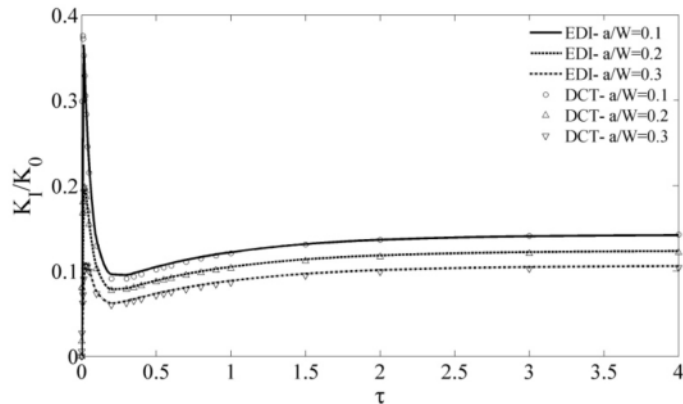


شکل ۲۴-۴-توزيع دمای گذرا در FGP بر حسب زمان نرمالیزه شده

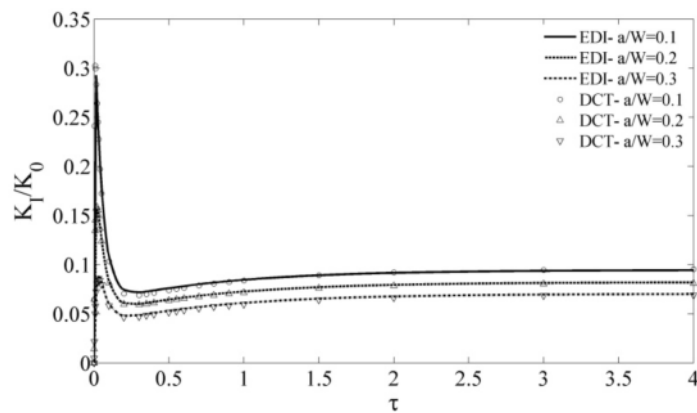
شکلهای (۲۵-۴) و (۲۶-۴) تغییرات زمانی ضریب شدت تنش را برای طولهای مختلف ترک و حالت‌های کرنش صفحه‌ای و تنش صفحه‌ای نشان می‌دهند. در این حالت، ضریب شدت تنش تا یک مقدار بیشینه افزایش یافته و سپس مقدار آن بسرعت کاهش می‌یابد تا به مقدار کمینه برسد. پس از آن به تدریج تا مقدار حالت پایا افزایش می‌یابد.

<sup>1</sup>- Proportional material

<sup>2</sup>- Non-proportional material



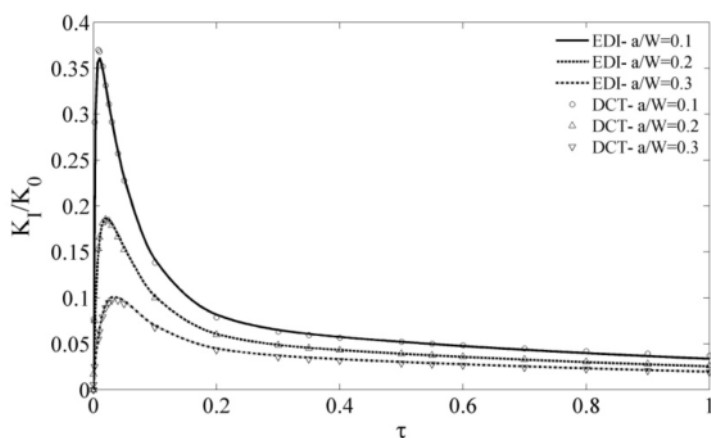
شکل ۴-۲۵- تغییرات زمانی TSIF برای طولهای مختلف ترک و حالت کرنش صفحه‌ای  $p=5$



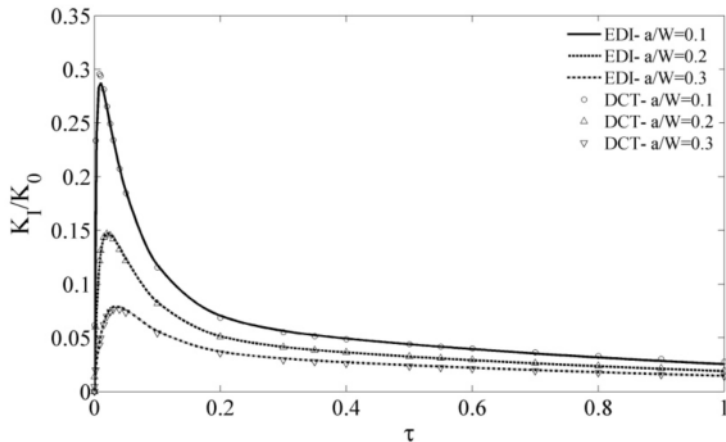
شکل ۴-۲۶- تغییرات زمانی TSIF برای طولهای مختلف ترک و حالت تنش صفحه‌ای  $p=5$

در شکلهای (۲۷-۴) و (۲۸-۴) تغییرات زمانی ضریب شدت تنش برای طولهای مختلف ترک و

توزیع خطی خصوصیات ماده ( $p=1$ ) نشان داده شده است.



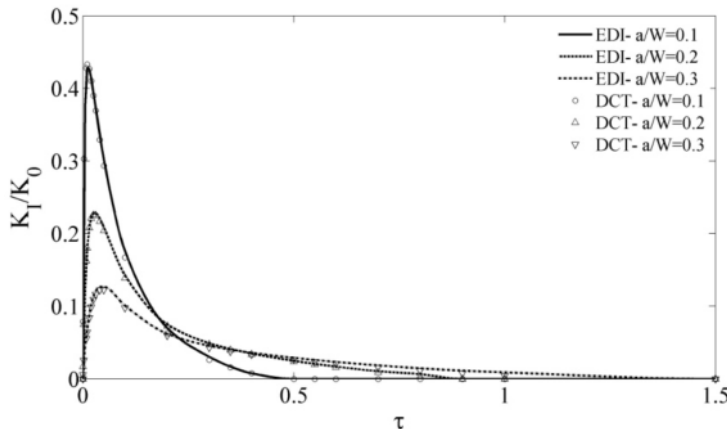
شکل ۴-۲۷- تغییرات زمانی TSIF برای طولهای مختلف ترک و حالت کرنش صفحه‌ای  $p=1$



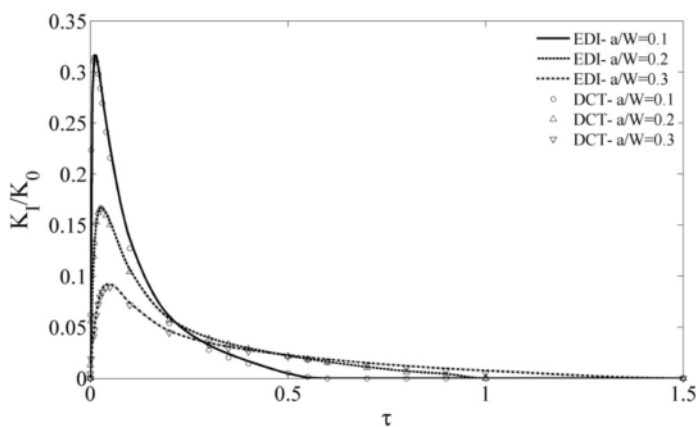
شکل ۲۸-۴- تغییرات زمانی TSIF برای طولهای مختلف ترک و حالت تنش صفحه‌ای  $p=1$

تغییرات زمانی ضریب شدت تنش برای تغییر خطی خصوصیات شبیه تغییرات زمانی آن برای خصوصیات نمایی مواد می‌باشد. افزایش سریع به یک مقدار بیشینه و سپس کاهش کندر تا مقدار حالت پایا روند کلی این تغییرات است. مقادیر بیشینه و حالت پایا برای طولهای ترک کوتاهتر بیشتر است. برای خصوصیات خطی مواد ترکها در حالت پایا بسته می‌شوند که در شکل نشان داده نشده است. زمان نسبی رسیدن به حالت پایا (بسته شدن ترک) در این حالت در مقایسه با مقادیر دیگر  $p$  و بخصوص  $p < 1$  بطور قابل ملاحظه‌ای بزرگتر است.

برای تغییر خصوصیات با  $p=0.2$ , تغییرات زمانی ضریب شدت تنش برای طولهای مختلف و حالت‌های کرنش صفحه‌ای و تنش صفحه‌ای در شکلهای (۲۹-۴) و (۳۰-۴) نشان داده شده است. برای  $p=0.2$  نیز ضریب شدت تنش سریعاً تا یک مقدار بیشینه افزایش یافته و سپس کاهش می‌یابد تا ترک بسته شود. برای طولهای کوتاهتر ترک مقدار بیشینه ضریب شدت تنش بطور قابل ملاحظه‌ای بیشتر است. کاهش بعدی مقدار ضریب شدت تنش نیز سریعتر اتفاق می‌افتد. بطوریکه ترکهای با طول کوتاهتر زودتر بسته می‌شوند.

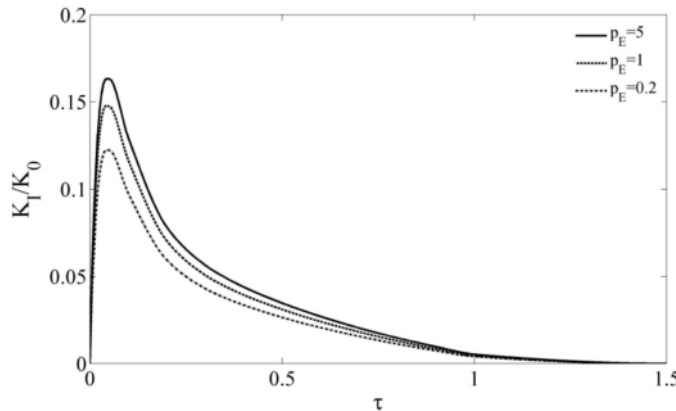


شکل ۴-۲۹-۴- تغییرات زمانی TSIF برای طولهای مختلف ترک و حالت کرنش صفحه‌ای  $p=0.2$



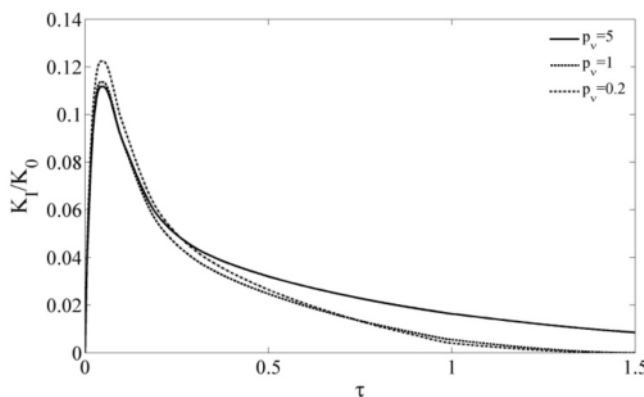
شکل ۴-۳۰-۴- تغییرات زمانی TSIF برای طولهای مختلف ترک و حالت تنش صفحه‌ای  $p=0.2$

در این مرحله، اثر تغییر خصوصیات ماده روی تغییرات زمانی ضریب شدت تنش بررسی می‌شود. در تمام حالتهای توان  $p$  برای تمام خصوصیات ماده بجز خصوصیت مورد مطالعه، برابر ۰.۲ در نظر گرفته می‌شود. ضریب شدت تنش برای طول ترک نسبی  $a/W=0.3$  و حالت کرنش صفحه‌ای بدست آمده است. بدلیل نزدیکی منحنیها بخصوص در منطقه رسیدن به مقدار بیشینه، مقادیر محاسبه شده با روش DCT در نمودارها نشان داده نشده است. اثر تغییر توان پروفیل مدول الاستیسیته ( $p_E$ ) روی ضریب شدت تنش در شکل (۴-۳۱) آمده است. مطابق این شکل، با افزایش پارامتر  $p_E$ ، مقدار ضریب شدت تنش و بخصوص مقدار بیشینه آن، بطور قابل توجهی افزایش می‌یابد. اما زمان رسیدن به مقدار بیشینه و بسته شدن ترک برای تمام مقادیر  $p_E$  تقریباً یکسان است. یعنی پارامتر  $p_E$  روی زمان رسیدن به مقدار بیشینه و یا زمان رسیدن به حالت پایا اثر ناچیزی دارد.



شکل ۳۱-۴- اثر تغییر توان پروفیل مدول الاستیسیته ( $p_E$ ) روی ضریب شدت تنش

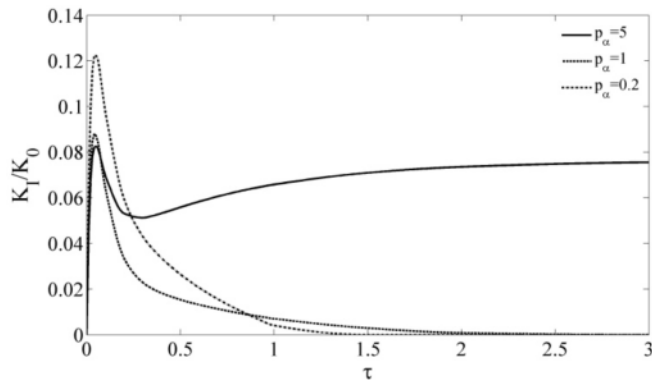
اثر تغییرات توان پروفیل ضریب پواسون  $p_v$  روی ضریب شدت تنش در شکل (۳۲-۴) نشان داده شده است. طبق شکل مذکور، با کاهش پارامتر  $p_v$ ، مقدار ضریب شدت تنش و همچنین زمان متناظر با بسته شدن ترک افزایش می‌یابد. البته کاهش پارامتر  $p_v$  منجر به افزایش توزیع ضریب پواسون در کل صفحه می‌شود. مقدار بیشینه ضریب شدت تنش برای حالت‌های  $p_v=1$  و  $p_v=5$  بسیار بهم نزدیک است. روند تغییرات ضریب شدت تنش تا اندازی پس از زمان مقدار بیشینه شبیه تغییرات ضریب شدت تنش برای تابع نمایی است.



شکل ۳۲-۴- اثر تغییرات توان پروفیل ضریب پواسون  $p_v$  روی ضریب شدت تنش

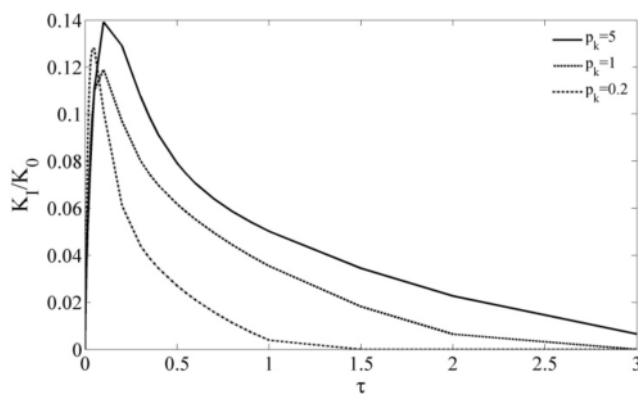
اثر تغییر خصوصیات گرمایی روی مقدار ضریب شدت تنش در شکلهای (۳۳-۴)، (۳۴-۴) و (۳۵-۴) بررسی می‌شود. در شکل (۳۳-۴) تغییرات ضریب شدت تنش گذرا بر حسب مقادیر مختلف توان ضریب انبساط حرارتی  $P_a$  نشان داده شده است. مطابق شکل مذکور، مقدار بیشینه ضریب شدت تنش برای  $P_a=0.2$  بزرگتر از حالت‌های دیگر است. از سوی دیگر، روند تغییرات ضریب شدت تنش به

مقدار  $P_\alpha$  کاملاً وابسته است. مطابق شکل، ترک برای مقادیر  $P_\alpha=0.2$  و  $P_\alpha=1$  پس از رسیدن به مقدار بیشینه بسته می‌شود. در حالیکه، برای مقدار  $P_\alpha=5$  ضریب شدت تنش پس از رسیدن به مقدار بیشینه، تا یک مقدار کمینه محلی کم می‌شود. اما پس از آن، بتدريج تا یک مقدار مثبت پایا افزایش می‌يابد.



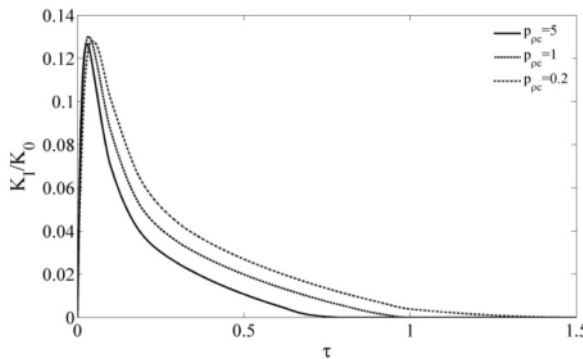
شکل ۳۳-۴- تغییرات ضریب شدت تنش گذرا بر حسب مقادیر مختلف توان ضریب انبساط حرارتی

اثر تغییرات ضریب هدایت گرمایی روی مقدار ضریب شدت تنش در شکل (۳۴-۴) آمده است. مطابق این شکل، با افزایش توان  $P_k$ ، تأخیری در زمان وقوع رسیدن به مقدار بیشینه و همچنین زمان رسیدن به حالت پایا رخ می‌دهد. ضریب پخش  $k/\rho c$  تابعی افزایشی از ضریب هدایت گرمایی است. از طرفی،  $P_k=0.2$  مطابق با کسر حجمی بیشتر فلز با ضریب هدایت گرمایی بزرگتر می‌باشد که منجر به بیشتر بودن نسبی ضریب هدایت صفحه نسبت به مقادیر  $P_k=1$  و  $P_k=5$  است. علاوه بر این، برای مقدار  $P_k=5$  مقدار بیشینه ضریب شدت تنش و زمان بسته شدن ترک بزرگتر از حالت‌های دیگر است.



شکل ۳۴-۴- اثر تغییرات ضریب هدایت گرمایی روی مقدار ضریب شدت تنش

تغییرات ضریب شدت تنش نسبت به زمان و پارامتر غیرهمگنی  $p_{pc}$  در شکل (۳۵-۴) نشان داده شده است. نتایج نشان می‌دهد؛ مقدار  $P_{pc}$  اثر چندانی روی مقدار بیشینه ضریب شدت تنش ندارد.

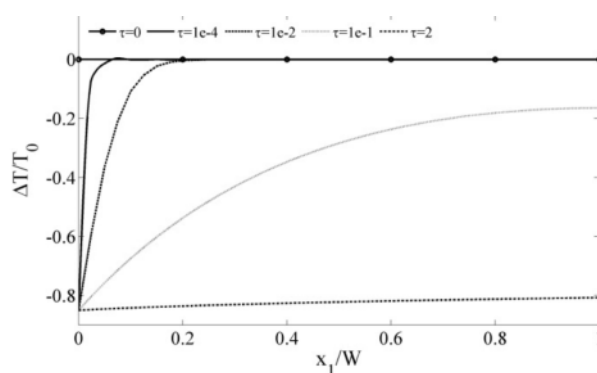


شکل ۳۵-۴- تغییرات ضریب شدت تنش نسبت به زمان و پارامتر غیرهمگنی  $p_{pc}$

همچنین زمان متناظر با مقدار بیشینه ضریب شدت تنش با کاهش  $P_{pc}$  افزایش می‌یابد. این پدیده قابل انتظار است؛ زیرا برای  $P_{pc} < 1$ ، مقدار  $p_{pc}$  در کل صفحه بیشتر از حالت‌های دیگر می‌باشد.

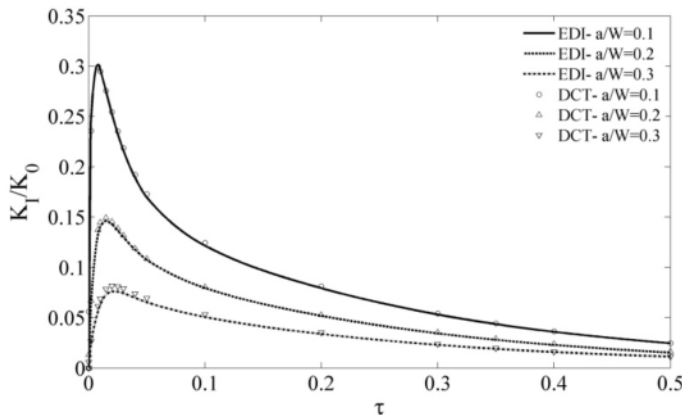
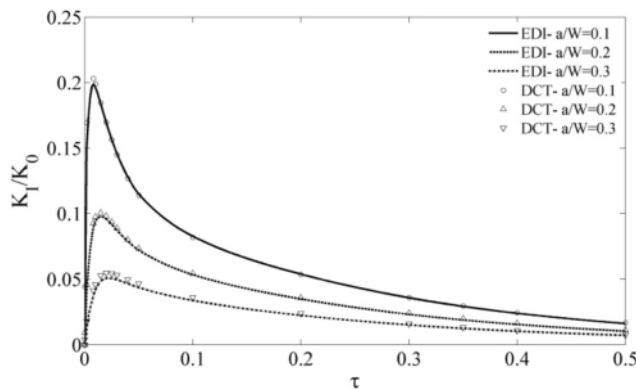
#### ۴-۴-۳- اثر شرایط مرزی دمایی مختلف

در این بخش، اثر اعمال شرایط دمایی مختلف روی تغییرات زمانی ضریب شدت تنش مورد بررسی قرار می‌گیرد. صفحه‌های با یک ترک لبه‌ای و با پروفیل خطی خصوصیات از جنس  $\text{ZrO}_2/\text{Ti}-6\text{Al}-4\text{V}$  در نظر گرفته می‌شود. فرض می‌شود، لبه حاوی ترک تا دمای  $T_0 = 0.15$  بطور ناگهانی سرد شود. ولی لبه دیگر با محیط دارای انتقال حرارت بصورت همرفت است. در شکل (۳۶-۴) توزیع دمای گذرا در صفحه برای ضریب همرفت  $h=1 \text{ W}/(\text{m}^2\text{K})$  و دمای محیط  $T_\infty = T_0$  برای زمانهای مختلف رسم شده است.

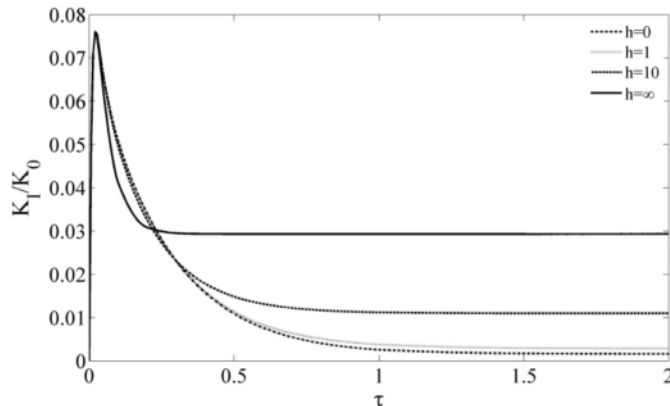


شکل ۴-۳۶- توزیع دمای گذرا در صفحه  $ZrO_2/Ti-6Al-4V$  برای  $p=1$ 

تغییرات زمانی ضریب شدت تنش متناظر با توزیع دمای مذکور برای حالت‌های کرنش صفحه‌ای و تنش صفحه‌ای و بر حسب طولهای مختلف ترک، در شکلهای (۳۷-۴) و (۳۸-۴) نشان داده شده است.

شکل ۴-۳۷- تغییرات زمانی ضریب شدت تنش در صفحه  $ZrO_2/Ti-6Al-4V$  برای کرنش صفحه‌ایشکل ۴-۳۸- تغییرات زمانی ضریب شدت تنش در صفحه  $ZrO_2/Ti-6Al-4V$  برای تنش صفحه‌ای

طبق این نتایج، ابتدا مقدار ضریب شدت تنش سریعاً افزایش یافته و سپس کاهش می‌یابد تا نهایتاً ترک بسته شود. ترکهای با طول بیشتر زودتر بسته می‌شوند (در شکل نشان داده نشده است). در شکل (۳۹-۴) تغییرات زمانی ضریب شدت تنش برای اعمال شرایط مختلف دمایی به لبه بدون-ترک آمده است. نتایج برای طول ترک  $a/W=0.3$  و حالت کرنش صفحه‌ای بدست آمده است.

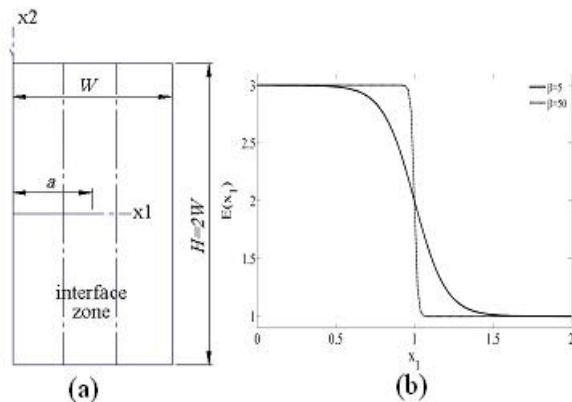


شکل ۴-۳۹-۴- تغییرات زمانی ضریب شدت تنش برای اعمال شرایط مختلف دمایی به لبه بدون ترک

شرایط دمایی مختلف بصورت حالت‌های خاصی از شرط دمایی جابجایی و در نظر گرفتن مقادیر خاص برای ضریب جابجایی بصورت زیر اعمال شده است.  $h=0$  معادل عایق بودن لبه صفحه می‌باشد و نیز  $h=\infty$  معادل شرط دما معلوم یا دما ثابت است. ضریب جابجایی از آغاز اعمال شوک تا رسیدن مقدار ضریب شدت تنش به مقدار بیشینه اثری ندارد. پس از آن، ضریب شدت تنش برای شرط مرزی دما ثابت سریعتر کاهش می‌یابد؛ اما در نهایت در مقدار پایانی بزرگتر متوقف می‌گردد. برای شرط مرزی عایق تغییرات زمانی ضریب شدت تنش از همه کندتر است؛ اما مقدار حالت پایانی آن نیز از بقیه حالتها کوچکتر است.

#### ۴-۴-۴- صفحه مركب حاوي ترک لبه‌اي

تحلیل ترک در سازه‌های مواد مركب مستلزم لحاظ کردن طبیعت قطعه‌ای پیوسته خصوصیات مواد تشکیل‌دهنده آن است. فصل مشترک لایه‌های تشکیل‌دهنده سازه‌های مركب موجب ناپیوستگی در خصوصیات می‌شوند و خطوط ناپیوستگی ضعیف را در ناحیه حل مدل این سازه‌ها بوجود می‌آورند. لحاظ کردن آنها در مدل نیازمند کاربرد روش‌های خاصی مثل روش پنالتی است. از طرف دیگر، در بسیاری از موارد یک لایه مواد مركب هدفمند بین دو لایه همگن از مواد تشکیل‌دهنده آن ساخته می‌شود و طبیعتاً در تحلیل آن، هر سه لایه در نظر گرفته می‌شود. در هر دو مورد، تابع تانژانت هیپربولیک می‌تواند تغییرات خصوصیات مواد را با دقت مناسبی بیان نماید. در شکل (۴۰-۴) تغییرات تابع تانژانت هیپربولیک را برای مدل‌سازی مواد مركب و مدل‌سازی لایه مركب نشان می‌دهد.

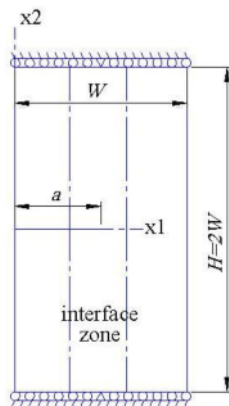


شکل ۴-۴- (a) مدلسازی لایه مرکب با سه لایه (b) تغییرات تابع تانژانت هیپربولیک

در این مثال، صفحه‌ای مرکب از دو ماده مختلف در نظر گرفته شده است که یک لایه از مواد مرکب هدفمند آنها را به یکدیگر متصل می‌کند. برای تمام صفحه، تغییرات خصوصیات ماده با تابع تانژانت هیپربولیک به ترتیب زیر تخمین زده می‌شود.

$$E(x_1) = \frac{E(W) + E(0)}{2} + \frac{E(0) - E(W)}{2} \tanh(\eta_E(x_1 + d)) \quad (46-4)$$

در این رابطه، پارامتر  $d$  محل پرش را تعیین می‌کند. اندازه ناحیه گذرا نیز توسط پارامتر  $\eta_E$  تعیین می‌گردد. در شکل‌های (۴۰-۴) و (۴۱-۴) شکل ناحیه، موقعیت ترک و شرایط مرزی برای بارگذاری حرارتی حالت گذرا و پایا نشان داده شده است.



شکل ۴-۵- هندسه، موقعیت ترک و شرایط مرزی صفحه مرکب تحت بار حرارتی پایا

تحلیل برای حالت‌های کرنش صفحه‌ای و تنش صفحه‌ای با در نظر گرفتن داده‌های زیر انجام شده است.

$a/W=0.1-0.3$ ,  $H/W=2$ .

$d=-0.5$ ,  $\eta_E=15$ ,  $\eta_v=\eta_a=\eta_k=\eta_{pc}=5$

$(E(W), E(0))=(1,3)$ ,  $(v(W), v(0))=(0.1,0.3)$ ,

$(\alpha(W), \alpha(0))=(0.03,0.01)$ ,

$(k(W), k(0))=(3,1)$ ,  $(\rho c(W), \rho c(0))=(1,1)$

در جدول (۴-۵)، نتایج در حالت پایا با نتایج منتشرشده مقایسه شده است که تطابق قابل-

قبولی بین آنها دیده می‌شود.

جدول ۴-۵- مقایسه ضریب شدت تنش حرارتی پایا در صفحه مرکب با نتایج منتشرشده

طول ترک	نوع تحلیل	کیسی و کیم [۱۰۷]	نتایج	
			EDI	DCT
۰/۱	کرنش صفحه‌ای	۰/۸۷۱۳	۰/۸۸۴۶	۰/۹۱۰۱
۰/۱	تنش صفحه‌ای	۰/۷۸۴۱	۰/۷۹۷۱	۰/۸۲۰۰
۰/۲	کرنش صفحه‌ای	۱/۱۷۰۰	۱/۱۳۵۱	۱/۱۵۷۳

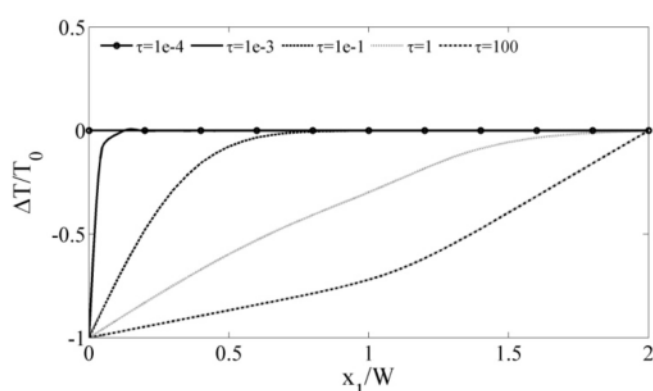
برای حالت گذرا و اعمال شوک حرارتی، فرض می‌شود دمای لبه حاوی ترک،  $T_1=0$  بطور

ناگهانی کاهش می‌یابد؛ در حالیکه دمای لبه دیگر در دمای مرجع  $T_0=T_2=0$  باقی می‌ماند. توزیع دمای

گذرا در صفحه بر حسب زمان نرمالیزه شده در شکل (۴۲-۴) آمده است. توزیع دما در حالت پایا

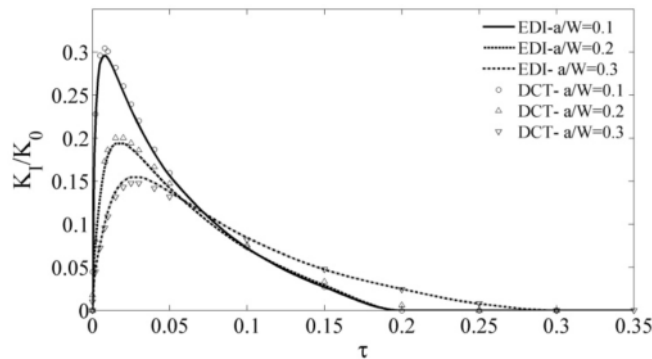
بخوبی اختلاف ضریب هدایت گرمایی در دو لایه طرفینی صفحه را نشان می‌دهد. علاوه بر این، در

نواحی همگن این دو لایه، توزیع دمای پایا خطی می‌باشد؛ که مورد انتظار نیز می‌باشد.

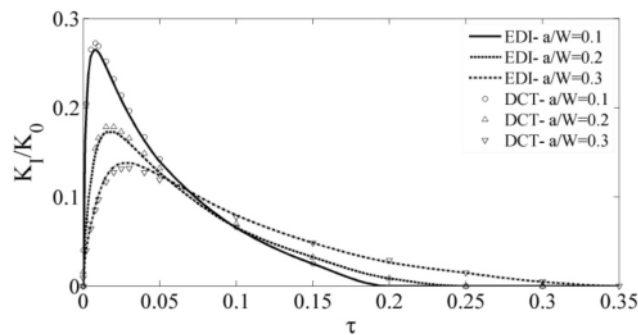


شکل ۴-۴- توزیع دمای گذرا در صفحه مرکب

تغییرات ضریب شدت تنش بر حسب زمان برای طولهای مختلف ترک و حالت‌های کرنش صفحه‌ای و تنش صفحه‌ای به ترتیب در شکل‌های (۴۳-۴) و (۴۴-۴) نشان داده شده است. طبق این نتایج، ضریب شدت تنش تا یک مقدار بیشینه افزایش یافته و سپس کاهش می‌یابد تا نهایتاً ترک بسته شود. بسته شدن ترک برای تمام طولهای ترک اتفاق می‌افتد. زمان متناظر با بسته شدن ترک با افزایش طول ترک افزایش می‌یابد.



شکل ۴۳-۴- تغییرات ضریب شدت تنش بر حسب زمان برای طولهای مختلف ترک و حالت کرنش صفحه‌ای



شکل ۴۴-۴- تغییرات ضریب شدت تنش بر حسب زمان برای طولهای مختلف ترک و حالت تنش صفحه‌ای

#### ۴-۴-۵- تعیین خصوصیات صفحه با مدل میکرومکانیک

تخمین خصوصیات موثر و ماکروسکوپی مواد مرکب همواره یکی از مسایل مورد توجه در این حوزه بوده است. برای FGM نیز بعنوان مواد مرکب مدرج تعدادی از مدل‌های میکرومکانیک مواد مرکب توسعه یافته‌اند. در این مثال، از مدل خودسازگار<sup>۱</sup> برای تعیین خصوصیات ماده استفاده می‌شود. زوکر<sup>۲</sup> اشاره می‌کند؛ مدل خودسازگار یک تخمین ساده برای خصوصیات موثر را بدست می‌دهد؛ که در مسایل بهینه‌سازی مربوط به توزیع ماده بکار می‌رود. علاوه براین، در این روش خصوصیات ماده طوری محاسبه می‌شوند که از اینکه کدام فاز بعنوان ماتریس و کدام فاز بعنوان ماده حل شونده باشند؛ مستقل می‌باشند [۱۰۸]. این نکته بخصوص برای FGM اهمیت دارد. چون کسر حجمی مواد تشکیل‌دهنده آن در محدوده وسیعی تغییر می‌کند.

برای FGM متتشکل از دو فاز، معمولاً تغییر کسر حجمی سرامیک بصورت تابع توانی در نظر گرفته می‌شود.

$$V_c = I - (x_I/W)^p \quad (47-4)$$

که در آن،  $W$  طول تغییر خصوصیات ماده است و  $p$  پارامتر تعیین پروفیل گرادیان است. در اینجا لبه  $x_I=0$  متناظر با سرامیک خالص و  $x_I=W$  لبه متناظر با فلز خالص است. برای مواد مرکب دو فازی، خصوصیات موثر ماده از روابط زیر بدست می‌آید [۱۰۹ و ۱۰۸].

$$\frac{1}{\kappa + 4\mu/3} = \frac{V_c}{\kappa_c + 4\mu/3} + \frac{V_m}{\kappa_m + 4\mu/3} \quad (48-4)$$

$$\left( \frac{V_c \kappa_c}{\kappa_c + 4\mu/3} + \frac{V_m \kappa_m}{\kappa_m + 4\mu/3} \right) + 5 \left( \frac{V_c \mu_m}{\mu - \mu_m} + \frac{V_m \mu_c}{\mu - \mu_c} \right) + 2 = 0 \quad (49-4)$$

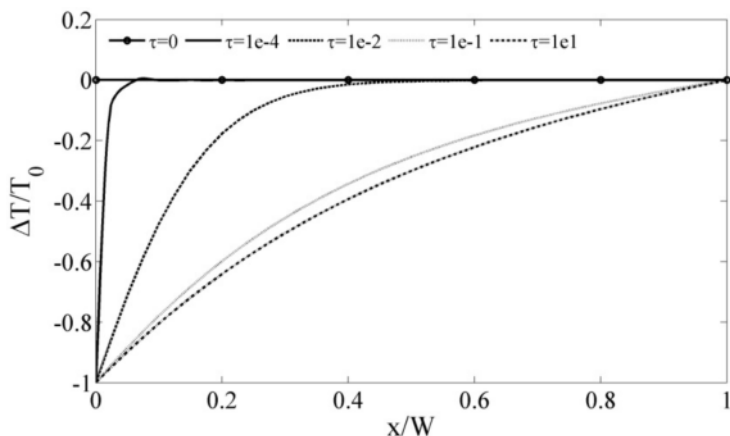
$$\alpha = \alpha_m + \frac{(\alpha_c - \alpha_m)(1/\kappa - 1/\kappa_m)}{(1/\kappa_c - 1/\kappa_m)} \quad (50-4)$$

$$c = c_c V_c + c_m V_m, \rho = \rho_c V_c + \rho_m V_m \quad (51-4)$$

<sup>1</sup> - self-consistent

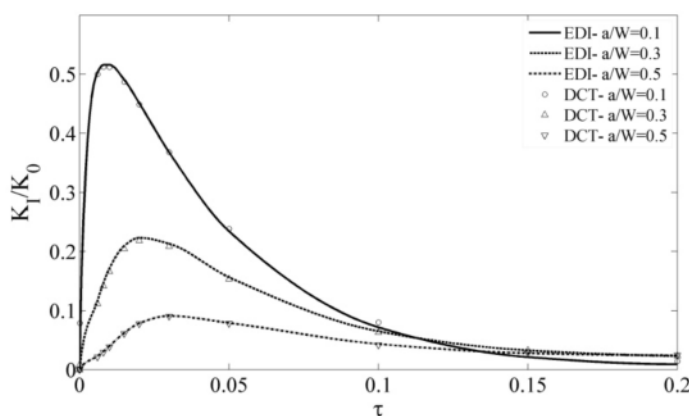
<sup>2</sup> - Zuiker

برای مثال عددی، صفحه‌ای از FGM به عرض  $W$  و ارتفاع  $H=8W$  در نظر گرفته می‌شود که حاوی یک ترک است. شرایط مرزی دمایی بصورت کاهش ناگهانی دمای لبه حاوی ترک از دمای مرجع  $T_0$  و حفظ دمای مرجع در لبه دیگر در نظر گرفته شده است. شکل (۴۵-۴) توزیع دمای گذرا در صفحه تحت شرایط مرزی و اولیه ذکر شده را نشان می‌دهد.



شکل ۴-۴۵- توزیع دمای گذرا در FGP با مدل خودسازگار

تغییرات زمانی ضریب شدت تنش متناظر با توزیع دمای فوق در شکل (۴۶-۴) برای طولهای مختلف ترک و حالت کرنش صفحه‌ای نشان داده شده است.



شکل ۴-۴۶- تغییرات زمانی SIF برای طولهای مختلف ترک و حالت کرنش صفحه‌ای

طبق نتایج بدستآمده، در ابتدای اعمال شوک مقدار ضریب شدت تنش تا یک مقدار بیشینه سریعاً افزایش یافته و سپس بتدریج کاهش می‌یابد. البته برای طولهای کوتاهتر ترک، مقدار بیشینه

بطور قابل ملاحظه‌ای بزرگتر از طولهای بزرگتر ترک است و همینطور نرخ زمانی تغییرات نیز بیشتر است. اما در حالت پایا ضریب شدت تنش برای طولهای بزرگتر بیشتر است.

## فصل پنجم

**انتگرال برهم‌کنش برای تحلیل شکست**

**حرارتی مواد مرکب تابعی**

## ۱-۵ - مقدمه

در تئوریهای مرسوم مکانیک شکست، میدان‌های تنش و کرنش حوزه نوک ترک با یک پارامتر مثل انتگرال  $L$  ضریب شدت تنش و یا بازشدگی سطح ترک تعیین می‌گردد. از طرف دیگر، عملأً یک ناحیه پلاستیک در نوک ترک بوجود می‌آید که کاربرد پارامترهای ذکر شده، به اندازه نسبی این ناحیه بستگی دارد. با فرض برقراری شرایط ناحیه تسلیم کوچک<sup>۱</sup>- که بصورت کوچک بودن ناحیه پلاستیک در مقایسه با طولهای مشخصه سازه دارای ترک، مثل طول ترک، طول سازه در راستای ترک و ضخامت تعريف می‌شود- یکی از پارامترهای ذکر شده بعنوان یک خصوصیت ماده را می‌توان برای توصیف میدانهای حوزه نوک ترک بکار برد [۱۰۷]. اما با فرض بزرگ بودن ناحیه پلاستیک نوک ترک، برای تعیین میدانهای حوزه نوک ترک یک پارامتر کافی نیست. از اینرو، مطالعات تجربی و عددی برای توصیف این میدانها با دو پارامتر انجام شده است. یکی از کمیتهایی که بعنوان پارامتر دوم شکست مطرح است؛ تنش الاستیک  $T$  می‌باشد.

تنش  $T$  مولفه‌ای از تنش با مقدار ثابت است که در جبهه ترک و موازی با سطح ترک اعمال می‌شود و شکل و اندازه ناحیه پلاستیک نوک ترک و چقرمگی را کنترل می‌کند. بعلاوه، روی پایداری مسیر رشد ترک اثر قابل توجهی دارد. بدیهی است که تحلیل شکست با دو پارامتر اطلاعات کاملتری در مورد نحوه گسیختگی سازه را بدست می‌دهد.

میدان تنش در حوزه نوک ترک در یک پیوستار جامد بصورت زیر است.

$$= K_I (2\pi r)^{-1/2} f_{ij}^I(\theta) + K_{II} (2\pi r)^{-1/2} f_{ij}^{II}(\theta) + T \delta_{li} \delta_{lj} \quad (1-5)$$

<sup>1</sup> - small-scale yielding (SSY)

<sup>2</sup> - large-scale yielding

که در آن،  $K_1$  و  $K_{II}$  ضرایب شدت تنش مود ۱ و ۲ و  $T$ ، مولفه تنش غیرتکین است. تنش  $T$  روی زاویه شروع و رشد ترک در بارگذاری مود مختلط تأثیر دارد [۱۱۰ و ۱۱۱]. همچنین پایداری مسیر ترک در بارگذاری مود ۱ تحت تأثیر تنش  $T$  قرار می‌گیرد [۱۱۲]. مطالعات نشان می‌دهد<sup>۱</sup>، چرمگی سازه در حالت کرنش صفحه‌ای به تنش  $T$  بستگی دارد [۱۱۳]. لارسون<sup>۲</sup> و کارلسون<sup>۳</sup> دریافتند؛ شکل و اندازه ناحیه پلاستیک نوک ترک به مقدار تنش  $T$  وابسته است [۱۱۴]. پس از آن، بتگن<sup>۴</sup> و هنک<sup>۵</sup> میدانهای الاستیک-پلاستیک دو پارامتری حوزه نوک ترک را بررسی نمودند [۱۱۵]. دو<sup>۶</sup> و هنک<sup>۷</sup> اثر تنش  $T$  روی میدانهای حوزه نوک ترک در مواد الاستیک-پلاستیک کامل را مطالعه کردند [۱۱۶]. بعدها ادد<sup>۸</sup> و شی<sup>۹</sup> تئوری  $Q-J$  را ارائه کردند که بعنوان شاخصی برای ناحیه تسلیم کوچک و مرز تبدیل آن به ناحیه تسلیم بزرگ در نظر گرفته شد [۱۱۷]. همچنین ادد و شی نشان دادند در تئوری  $Q-J$  می‌توان چرمگی را اندازه گرفت و در کاربردهای مهندسی بکار برد [۱۱۸]. مطالعات فوق در حیطه مواد همگن انجام شده است. برای مواد همگن، آیت الهی و همکارانش نیز با استفاده از روش‌های مستقیم در میدانهای تنش و تغییرمکان، تنش  $T$  را برای بارگذاریهای مود ۱ و مود مختلط محاسبه کردند [۱۱۹]. روش‌های مستقیم مثل روش فوق بر پایه استفاده از کمیتهای محاسبه شده حوزه نوک ترک و بخصوص در راستای ترک، در عبارتهای تحلیلی میدانهای تنش و تغییرمکان حوزه نوک ترک بنا نهاده شده است و طبیعتاً به مقادیر محاسبه شده تنش و تغییرمکان حساسیت زیادی دارد. از این‌رو

<sup>2</sup> - Larsson<sup>3</sup> - Carlson<sup>4</sup> - Betegon<sup>5</sup> - Hancock<sup>6</sup> - Du<sup>7</sup> - O'Dowd<sup>8</sup> - Shih

روشهای انرژی بر پایه انتگرهای پایستار مورد توجه قرار گرفتند. لیورز<sup>۱</sup> و رادون<sup>۲</sup> از فرم وردشی انتگرهای پایستار برای محاسبه تنش T استفاده کردند [۱۲۰]. فوری<sup>۳</sup> از انتگرال پایستار L که توسط کیشیموتو<sup>۴</sup> و همکارانش ارائه شده است [۱۲۱] و کاردو<sup>۵</sup> و همکارانش از انتگرال مستقل از مسیر L برای محاسبه تنش T تحت بار مکانیکی مود ۱ استفاده نمودند [۱۲۲]. چن و همکارانش با استفاده از انتگرال L و قضیه بتی-ریلی<sup>۶</sup> تنش T را تحت مود ۱ بارگذاری محاسبه نمودند [۱۲۳].

پس از اینکه کاربردهای FGM بسرعت گسترش یافت و شکست بعنوان رایج‌ترین مود گسیختگی این مواد معرفی شد؛ مطالعات گسترده‌ای روی مکانیک شکست FGM آغاز شد. ویلیامز و اوینگ<sup>۷</sup> [۱۱۰] و یوکیو<sup>۸</sup> و همکارانش [۱۲۴] روی یک نمونه حاوی ترک مایل از جنس پلی‌متیل- متاکریل<sup>۹</sup> (PMMA) آزمایش‌هایی انجام دادند. اما نتایج آزمایشها برای زاویه شروع ترک با نتایج حاصل از تئوری ماکزیمم تنش محیطی اختلاف داشت. طبق نتایج این تحقیقات، تنش T اثر قابل توجهی روی زاویه شروع ترک دارد. لحاظ شدن اثر تنش T در زاویه رشد ترک منجر به توسعه تئوری ماکزیمم تنش محیطی بصورت معیار ماکزیمم تنش محیطی تعمیم‌یافته<sup>۱۰</sup> شده است. برای شکست ترد مواد

<sup>۱</sup> - Leevers

<sup>۲</sup> - Radon

<sup>۳</sup> - Kfouri

<sup>۴</sup> - Kishimoto

<sup>۵</sup> - Cardew

<sup>۶</sup> - Betti-Rayleigh reciprocal theorem

<sup>۷</sup> - Ewing

<sup>۸</sup> - Yukio

<sup>۹</sup> - polymethyl-methacrylate

<sup>۱۰</sup> - generalized maximum hoop stress criterion

الاستیک خطی، معیار مذکور شامل ضرایب شدت تنش، تنش  $T$  و اندازه ناحیه شکست<sup>۱</sup><sup>۲</sup> می‌باشد. البته در مقایسه با طول ترک و ابعاد قطعه، کوچک فرض می‌شود. مطابق نتایج آزمایشگاهی چو<sup>۳</sup> و ژنگ<sup>۴</sup> [۱۲۵] برای نمونه‌های استاندارد PMMA - با خصوصیات فیزیکی مدول الاستیسیته  $E=2.76$  GPa، تنش تسلیم  $\sigma_y=55.2$  MPa، چقرمگی  $K_c=1.02$  MPam<sup>۱/۲</sup> و ضریب پواسون  $\nu=0.33$ - اندازه ناحیه شکست برای آزمایش شکست با کنترل تنش<sup>۵</sup>،  $r_c \approx 0.5$  mm و برای آزمایش شکست با کنترل کرنش<sup>۶</sup>،  $r_c \approx 0.03$  mm بدست آمده است. نکته قابل توجه، بزرگتر بودن<sup>۷</sup> در هر دو حالت، از اندازه کرنش<sup>۸</sup>، ناحیه پلاستیک نوک ترک برای شکست ترد و تحت شرایط کرنش صفحه‌ای است؛ که بصورت  $r_p=(K_c/\sigma_y)^2/8\pi \approx 0.0187$  mm تعریف می‌شود.

تاکنون روش‌های تحلیلی و عددی برای بدست آوردن پارامترهای شکست و بخصوص ضریب شدت تنش در FGM گسترش یافته است. در این مطالعات علاوه بر ضریب شدت تنش، تنش  $T$  نیز تا حدی در نظر گرفته شده است. بکر<sup>۹</sup> تنش  $T$  را با استفاده از اختلاف تنش‌های عمودی ( $\sigma_{xx}-\sigma_{yy}$ ) در راستای ترک ( $\theta=0$ ) محاسبه کرد [۱۲۶]. کیم و پائولینو با کاربرد انتگرال برهمکنش تنش  $T$  را برای بارگذاری مکانیکی محاسبه و اثر آن را روی زاویه شروع رشد ترک بررسی نمودند [۱۲۷ و ۱۲۸]. کیم<sup>۱۰</sup> و کیم<sup>۱۱</sup> نیز فرمولبندی نامتعادل انتگرال برهمکنش را برای محاسبه تنش  $T$  برای بارگذاری حرارتی پایا در FGM بکار برdenد [۱۲۹ و ۱۰۷]. دگ<sup>۱۲</sup> از انتگرالهای<sup>۱۳</sup> برای محاسبه ضرایب شدت تنش و تنش  $T$  در FGM تحت بارگذاری مود مختلط استفاده کرد [۱۳۰ و ۱۳۱]. اما این روش نیاز به محاسبه

<sup>۱</sup> - fracture process zone size

<sup>۲</sup> - Chao

<sup>۳</sup> - Zhang

<sup>۴</sup> - stress-controlled fracture

<sup>۵</sup> - strain-controlled fracture

<sup>۶</sup> - Becker

چگالی انرژی کرنشی روی سطوح ترک دارد و همچنین باید میدان تغییرمکان نوک ترک نیز در نظر گرفته شود. اسلامدک<sup>۱</sup> و همکارانش نیز از روش فوری برای تعیین تنش T در FGM تحت بار مکانیکی استفاده نمودند [۱۳۲]. در روش مذکور انتگرال پایستاری بکار رفته است که شامل یک انتگرال سطحی و یک انتگرال روی کانتوری است که به نوک ترک میل می‌کند. محاسبه انتگرال پایستار مذکور با روش‌های عددی ناحیه‌ای و مرزی با مشکلات عددی همراه است. برای حالت مود a، نسبت b =  $T\sqrt{\pi a}/K_1$ - که biaxiality ratio نامیده می‌شود- بعنوان یک پارامتر بدون بعد تعریف می‌شود که مستقل از اندازه بارگذاری است؛ اما به هندسه و نوع بارگذاری بستگی دارد. علاوه بر این، گرادیان خصوصیات فیزیکی FGM نیز روی اندازه B موثر است.

انتگرال برهم کنش یک روش کارآمد برای محاسبه پارامترهای شکست (ضریب شدت تنش و تنش T) در سیستمهای خطی می‌باشد؛ که برای مواد مرکب هدفمند نیز قابل کاربرد است. در این فصل، روش انتگرال برهم کنش برای مواد مرکب هدفمند و انتخابهای مختلف میدانهای کمکی، با یک رهیافت واحد و قابل توسعه برای برهم کنش خطی میدانهای دیگر فرمولبندی می‌گردد.

این روش برپایه انتگرالهای پایستار همراه با کاربرد میدانهای کمکی توسعه یافته است و شامل روابط اساسی مکانیک جامدات زیر می‌باشد:

۱- رابطه تعادل

۲- روابط سازگاری

۳- رابطه ساختاری

---

<sup>۱</sup> - Sladek

محاسبه پارامترهای ضرایب شدت تنش و تنش  $T$  با استفاده از انتگرال برهم‌کنش نیازمند استفاده از میدانهای کمکی نظری میدان جابجایی، میدان کرنش و میدان تنش است. در تحلیل مکانیک شکست FGM، معمولاً از میدانهای کمکی مواد همگن استفاده می‌شود. اما همانطور که بعداً اشاره می‌شود، نقض یکی از قوانین مکانیک جامدات نقض شود؛ یک فرمولبندی مستقل برای انتگرال برهم‌کنش بدست می‌آید.

شكل کلی فرمولبندیهای مذکور نسبت به انتگرال برهم‌کنش مورد کاربرد برای مواد همگن، شامل دو ترم اضافی -یکی ناشی از گرادیان خصوصیات ماده و دیگری بدلیل نقض یکی از قوانین اساسی مکانیک جامدات- می‌باشد. در جدول (۱-۵) چگونگی انتخاب میدانهای کمکی برای فرمولبندیهای مذکور نشان داده شده است. سطر آخر جدول نیز قانون نقض شده را نمایش می‌دهد.

جدول ۱-۵- چگونگی انتخاب میدانهای کمکی برای فرمولبندیهای مختلف

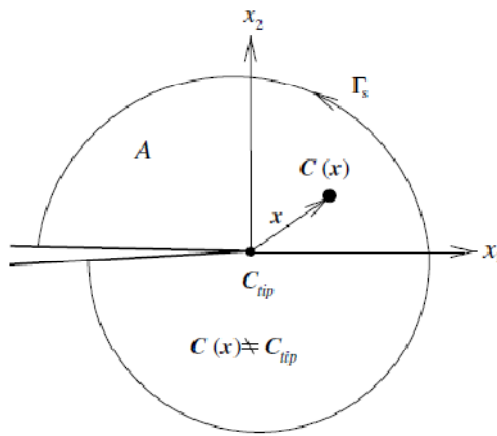
فرمولبندی تانسور ثابت ساختاری <sup>۳</sup>	فرمولبندی غیرسازگار <sup>۲</sup>	فرمولبندی نامتعادل <sup>۱</sup>
$u^{aux}$	$u^{aux}$	$u^{aux}$
$\epsilon^{aux}$	$\sigma^{aux}$	$\epsilon^{aux}$
$\sigma^{aux} = \mathbf{C}_{tip} \epsilon^{aux}$	$\epsilon^{aux} = \mathbf{S}(\mathbf{x}) \sigma^{aux}$	$\sigma^{aux} = \mathbf{C}(\mathbf{x}) \epsilon^{aux}$
$\mathbf{C}(\mathbf{x}) \neq \mathbf{C}_{tip}$	$\epsilon^{aux} \neq \nabla_{sym} u^{aux}$	$\nabla \cdot \sigma^{aux} \neq 0$

$\mathbf{C}_{tip}$  تانسور ساختاری است که با در نظر گرفتن خصوصیات ماده در نوک ترک بدست می‌آید. تفاوت  $\mathbf{C}(\mathbf{x})$  و  $\mathbf{C}_{tip}$  در شکل (۱-۵) نشان داده شده است.

<sup>1</sup> - non-equilibrium formulation

<sup>2</sup> - incompatibility formulation

<sup>3</sup> - constant-constitutive-tensor formulation

شکل ۱-۵- تفاوت تانسورهای ساختاری  $C(x)$  و  $C_{tip}$ 

ترمehای اضافی حین عملیات بدست آوردن انتگرالهای برهم‌کنش بطور طبیعی در فرمولبندی ظاهر

می‌شوند و نباید حذف شوند. فرمولبندی نامتعادل، روابط سازگاری ( $\varepsilon^{aux} = \nabla_{sym} u^{aux}$ ) و ساختاری (

$\sigma^{aux} = C(x)\varepsilon^{aux}$ ) را ارضاء می‌کند؛ ولی رابطه تعادل ( $0 \neq \nabla \cdot \sigma^{aux}$ ) را نقض می‌کند. فرمولبندی

غیرسازگار رابطه تعادل و ساختاری را ارضاء می‌کند؛ اما رابطه سازگاری ( $\varepsilon^{aux} \neq \nabla_{sym} u^{aux}$ ) نقض می-

شود. بطور مشابه، فرمولبندی تانسور ثابت ساختاری، روابط تعادل و سازگاری را ارضاء می‌نماید؛ اما

رابطه ساختاری FGM نقض می‌شود. انتگرالهای پایستار و مستقل از مسیری که بر مبنای فرضیات بالا

بدست می‌آیند و کاربرد آنها برای محاسبه ضریب شدت تنش و تنش T، موضوع این فصل است.

## ۲-۵- میدانهای کمکی

بکارگیری انتگرال برهم‌کنش نیازمند کاربرد میدانهای کمکی جابجایی  $u^{aux}$ ، کرنش  $\varepsilon^{aux}$  و تنش

$\sigma^{aux}$  است. میدانهای کمکی مذکور بر حسب نوع کمیت مورد محاسبه - ضریب شدت تنش و یا تنش

T- تعریف می‌شود.

انتخابهای مختلفی برای میدانهای کمکی وجود دارد. میدانهای کمکی را می‌توان بصورت

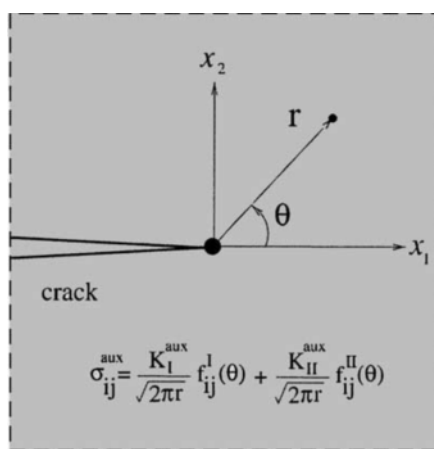
تحلیلی و یا عددی در نظر گرفت. بطور معمول میدانهای کمکی انتخابی هر سه قانون مکانیک

جامدات را ارضاء می‌نمایند. در حال حاضر، میدانهای کمکی با این خصوصیت، بطور عددی برای FGM

با پروفیل خاص بدست می‌آیند و کاربرد چندانی ندارند. برای FGM نیز معمولاً از میدانهای تحلیلی حوزه نوک ترک استفاده می‌شود که برای مواد همگن تحت بار مکانیکی بدست آمده است. اما کاربرد میدانهای کمکی مواد همگن که بطور تحلیلی بدست می‌آیند؛ منجر به نقض حداقل یکی از قوانین مکانیک جامدات می‌شود. میدانهای انتخابی مذکور برای باگذاریهای مکانیکی و حرارتی بصورت استاتیکی و دینامیکی قابل کاربرد می‌باشند.

### ۱-۲-۵- میدانهای کمکی ضریب شدت تنش

بمنظور محاسبه ضرایب شدت تنش، معمولاً از حل تحلیلی ویلیامز<sup>۱</sup> برای یک ترک تیز در مواد همگن استفاده می‌شود. میدانهای مذکور برای FGM با در نظر گرفتن خصوصیات ماده در نوک ترک بدست می‌آیند. شکل (۲-۵) ترکی در یک پیوستار دو بعدی FGM و دستگاههای مختصات دکارتی و قطبی نوک ترک را نشان می‌دهد.



شکل ۲-۵- پیوستار دو بعدی FGM شامل ترک و دستگاههای مختصات دکارتی و قطبی نوک ترک و میدانهای کمکی ضریب شدت تنش

میدانهای کمکی جابجایی، کرنش و تنش بصورت زیر در نظر گرفته می‌شوند:

<sup>1</sup> - Williams

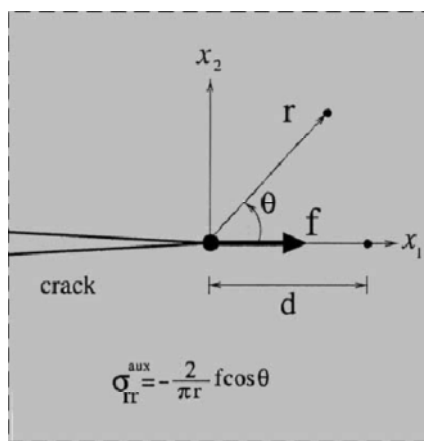
$$\sigma_{ij}^{aux} = \frac{K_I^{aux}}{\sqrt{2\pi r}} f_{ij}^I(\theta) + \frac{K_{II}^{aux}}{\sqrt{2\pi r}} f_{ij}^{II}(\theta) \quad (1-5)$$

$$u_i^{aux} = K_I^{aux} \sqrt{\frac{r}{2\pi}} g_i^I(\theta) + K_{II}^{aux} \sqrt{\frac{r}{2\pi}} g_i^{II}(\theta) \quad (2-5)$$

که در آن  $K_{II}^{aux}, K_I^{aux}$  ضرایب شدت تنش مودهای I و II می‌باشند. توابع زاویه‌ای  $f^-(\theta)$  و  $g^-(\theta)$  که در آن ضرایب شدت تنش مودهای I و II می‌باشند. در ضمیمه (ب) بیان شده‌اند.

## ۲-۲-۵- میدان‌های کمکی تنش T

برای محاسبه تنش T، میدان‌های حاصل از اعمال یک بار نقطه‌ای به نوک یک ترک نیمه بی-نهایت واقع در محیط بینهایت همگن بعنوان میدان‌های کمکی جابجایی، کرنش و تنش در نظر گرفته می‌شوند [۱۲۸].



شکل ۳-۵- میدان‌های حاصل از اعمال یک بار نقطه‌ای به نوک یک ترک نیمه بینهایت واقع در محیط بینهایت همگن (میدان‌های کمکی تنش T)

حل مذکور بطور تحلیلی و بصورت زیر قابل بیان است [۱۲۷].

$$u_1^{aux} = -\frac{f(1+\kappa_{tip})}{8\pi\mu_{tip}} \ln \frac{r}{d} - \frac{f}{4\pi\mu_{tip}} \sin^2 \theta \quad (3-5)$$

$$u_2^{aux} = -\frac{f(\kappa_{tip} - 1)}{8\pi\mu_{tip}}\theta + \frac{f}{4\pi\mu_{tip}}\sin\theta\cos\theta \quad (4-5)$$

$$\sigma_{11}^{aux} = -\frac{f}{\pi r}\cos^3\theta \quad (5-5)$$

$$\sigma_{12}^{aux} = -\frac{f}{\pi r}\cos^2\theta\sin\theta \quad (6-5)$$

$$\sigma_{22}^{aux} = -\frac{f}{\pi r}\cos\theta\sin^2\theta \quad (7-5)$$

که در آن،  $f$  نیروی متغیرکری است که به نوک ترک و در راستای آن اعمال می‌گردد.  $d$  نیز مختصه  $x_1$  نقطه‌ای است که در راستای این محور مقید شده است.

### ۳-۵- فرمولبندی انتگرال برهم‌کنش

انتگرال برهم‌کنش در واقع عبارت برهم‌کنش دو حالت بارگذاری مستقل و قابل قبول برای سازه حاوی ترک است که در انتگرال‌های پایستار الاستیسیته پدید می‌آید. در این بخش روند بدست آوردن انتگرال مذکور برای بارگذاری حرارتی بررسی می‌شود.

فرم معمول انتگرال ۱ برای یک ترک بدون اعمال نیرو به سطوح آن، بصورت زیر است.

$$J = \lim_{\Gamma_s \rightarrow 0} \int_{\Gamma_s} (W\delta_{ij} - \sigma_{ij}u_{i,1})n_j d\Gamma_s \quad (8-5)$$

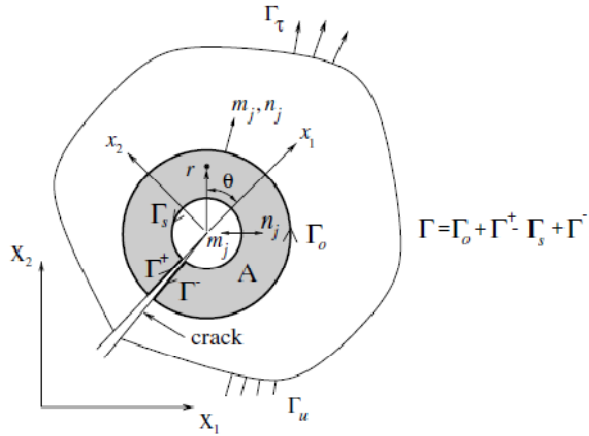
در این رابطه،  $\mathbf{n}$  مولفه‌های بردار تغییرمکان،  $W$  بردار یکه و عمود رو به خارج منحنی و چگالی انرژی کرنشی مکانیکی بصورت زیر است.

$$W = \frac{1}{2}\sigma_{ij}\varepsilon_{ij}^m = \frac{1}{2}\sigma_{ij}(\varepsilon_{ij} - \varepsilon_{ij}^{th}) \quad (9-5)$$

که در آن،  $\varepsilon_{ij}$  مولفه‌های کرنش کل و  $\varepsilon_{ij}^{th}$  مولفه‌های کرنش حرارتی می‌باشند.

بدلیل محاسبه آسان‌تر و دقیق‌تر انتگرال‌های سطح بصورت عددی، مناسب است انتگرال خطی

فوق بصورت یک انتگرال ناحیه‌ای معادل نوشته شود.



شکل ۴-۵- تبدیل فرم کانتوری انتگرال به فرم ناحیه‌ای

برای تبدیل فرم کانتوری انتگرال به یک فرم ناحیه‌ای معادل انتگرال کانتوری زیر تعریف می-

شود.

$$I = \oint_{\Gamma} (W\delta_{ij} - \sigma_{ij}u_{i,1})m_j q d\Gamma \quad (10-5)$$

که در آن،  $\Gamma = \Gamma_0 + \Gamma^+ + \Gamma^- - \Gamma_s$  و  $m_i = n_i$  بردار یکه و عمود رو به خارج کانتور  $\Gamma$  می‌باشد (یعنی  $m_i = n_i$  روی  $\Gamma_0$  و  $\Gamma$  روی  $\Gamma_s$  در این رابطه،  $q$  تابع وزنی دلخواه و همواری است که از  $q=1$  روی  $\Gamma$  تا  $q=0$  روی  $\Gamma_s$  تغییر می‌کند. با حدگیری  $0 \rightarrow \Gamma_s$  داریم:

$$\begin{aligned} \lim_{\Gamma_s \rightarrow 0} I &= \lim_{\Gamma_s \rightarrow 0} \oint_{\Gamma} (W\delta_{1j} - \sigma_{ij}u_{i,1})m_j q d\Gamma \\ &= \lim_{\Gamma_s \rightarrow 0} \oint_{\Gamma_0 + \Gamma^+ + \Gamma^- - \Gamma_s} (W\delta_{1j} - \sigma_{ij}u_{i,1})m_j q d\Gamma \\ &= \lim_{\Gamma_s \rightarrow 0} \left[ \oint_{\Gamma_0 + \Gamma^+ + \Gamma^-} (W\delta_{1j} - \sigma_{ij}u_{i,1})m_j q d\Gamma + \oint_{-\Gamma_s} (W\delta_{1j} - \sigma_{ij}u_{i,1})m_j q d\Gamma \right] \\ &= \lim_{\Gamma_s \rightarrow 0} \left[ \oint_{\Gamma_0 + \Gamma^+ + \Gamma^-} (W\delta_{1j} - \sigma_{ij}u_{i,1})m_j q d\Gamma - \oint_{\Gamma_s} (W\delta_{1j} - \sigma_{ij}u_{i,1})n_j q d\Gamma \right] \end{aligned} \quad (11-5)$$

با توجه به اینکه  $q=0$  روی مرز  $\Gamma_s$  و فرض بدون تنش بودن سطوح ترک، رابطه فوق بصورت زیر ساده می‌شود.

$$J = -\lim_{\Gamma_s \rightarrow 0} I = -\lim_{\Gamma_s \rightarrow 0} \oint_{\Gamma} (W\delta_{1j} - \sigma_{ij}u_{i,1})m_j q d\Gamma \quad (12-5)$$

با کاربرد قضیه دیورژانس و با توجه تغییرات تابع وزنی  $q$ ، انتگرال ناحیه‌ای معادل بصورت زیر بدست می‌آید.

$$J = \int_A (\sigma_{ij}u_{i,1} - W\delta_{1j})q_{,j} dA + \int_A (\sigma_{ij}u_{i,1} - W\delta_{1j})_{,j} q dA \quad (12-5)$$

که در آن،  $A$  ناحیه محصور به منحنی است. برای یک سیستم خطی، انتگرال  $J$  برای اعمال همزمان با رگذاری‌های اصلی و کمکی بصورت زیر قابل بیان است.

$$\begin{aligned} &= \int_A \left[ (\sigma_{ij} + \sigma_{ij}^{aux})(u_{i,1} + u_{i,1}^{aux}) - \frac{1}{2}(\sigma_{ik} + \sigma_{ik}^{aux})(\varepsilon_{ik} + \varepsilon_{ik}^{aux})\delta_{1j} \right] q_{,j} dA \\ &\quad + \int_A \left[ (\sigma_{ij} + \sigma_{ij}^{aux})(u_{i,1} + u_{i,1}^{aux}) - \frac{1}{2}(\sigma_{ik} + \sigma_{ik}^{aux})(\varepsilon_{ik} + \varepsilon_{ik}^{aux})\delta_{1j} \right]_{,j} q dA \end{aligned} \quad (13-5)$$

انتگرال فوق را می‌توان بصورت زیر تجزیه نمود.

$$J^s = J + J^{aux} + M \quad (14-5)$$

که در آن  $J^{aux}$  بصورت زیر تعریف می‌گردد.

$$J^{aux} = \int_A (\sigma_{ij}^{aux}u_{i,1}^{aux} - W^{aux}\delta_{1j})q_{,j} dA + \int_A (\sigma_{ij}^{aux}u_{i,1}^{aux} - W^{aux}\delta_{1j})_{,j} q dA \quad (15-5)$$

که در آن،

$$W^{aux} = \frac{1}{2}\sigma_{ik}^{aux}\varepsilon_{ik}^{aux} \quad (16-5)$$

انتگرال برهمنش  $M$  نیز بصورت زیر حاصل می‌شود.

$$\begin{aligned} M &= \int_A (\sigma_{ij} u_{i,1}^{aux} + \sigma_{ij}^{aux} u_{i,1} - W^{int} \delta_{1j}) q_j dA \\ &\quad + \int_A (\sigma_{ij} u_{i,1}^{aux} + \sigma_{ij}^{aux} u_{i,1} - W^{int} \delta_{1j})_j q dA \\ &= M_1 + M_2 \end{aligned} \quad (17-5)$$

که در آن،  $W^{int}$  تابع چگالی انرژی کرنشی مکانیکی برهمنش است و بصورت زیر تعریف می‌شود.

$$W^{int} = \frac{1}{2} (\sigma_{ij} \varepsilon_{ij}^{aux} + \sigma_{ij}^{aux} \varepsilon_{ij}^m) \quad (18-5)$$

بسته به انتخاب میدان‌های کمکی، فرم عمومی انتگرال برهمنش را می‌توان بصورت عبارت‌های ساده‌تر و قابل تفسیر بیان نمود.

### ۱-۳-۵- فرمولبندی نامتعادل

فرم نهایی انتگرال برهمنش براساس فرمولبندی نامتعادل در این بخش بدست می‌آید. این روش بر این اساس نامگذاری شده است که شرایط تعادل برای میدان کمکی انتخابی در حالت کلی برقرار نیست. میدان تنش کمکی انتخابی با استفاده از تانسور ساختاری FGM بصورت زیر بدست می‌آید.

$$\sigma_{ij}^{aux} = C_{ijkl}(x) \varepsilon_{kl}^{aux} \quad (19-5)$$

در حالی که میدان تنش کمکی همگن با استفاده از تانسور ساختاری همگن نوک ترک بدست می‌آید و با رابطه فوق تفاوت دارد.

$$\sigma_{ij}^{aux} = \left( C_{ijkl} \right)_{tip} \varepsilon_{kl}^{aux} \quad (20-5)$$

مشتق‌های میدان تنش کمکی انتخابی بصورت زیر بدست می‌آید.

$$\begin{aligned}\sigma_{ij,j}^{aux} &= C_{ijkl,j}(\mathbf{x})\varepsilon_{kl}^{aux} + C_{ijkl}(\mathbf{x})\varepsilon_{kl,j}^{aux} \\ &= \left(C_{ijkl}\right)_{tip}\varepsilon_{kl,j}^{aux} + C_{ijkl,j}(\mathbf{x})\varepsilon_{kl}^{aux} \\ &\quad + \left(C_{ijkl}(\mathbf{x}) - \left(C_{ijkl}\right)_{tip}\right)\varepsilon_{kl,j}^{aux} \\ &\neq 0\end{aligned}\tag{21-5}$$

در این رابطه، عبارت اول صفر است. اما عبارت‌های دیگر غیرصفر می‌باشند. در ادامه، رابطه (۱۷-۵) براساس فرمولبندی نامتعادل ساده می‌شود.

رابطه ساختاری برای بارگذاری واقعی و کمکی بصورت زیر است.

$$\sigma_{ij} = 2\mu\varepsilon_{ij} + \lambda\varepsilon_{kk}\delta_{ij} - \beta\Delta T\delta_{ij}\tag{22-5}$$

$$\sigma_{ij}^{aux} = 2\mu\varepsilon_{ij}^{aux} + \lambda\varepsilon_{kk}^{aux}\delta_{ij}\tag{23-5}$$

که در آن، پارامتر  $\beta$  بصورت زیر تعریف می‌شود.

$$\beta = (3\lambda + 2\mu)\alpha\tag{24-5}$$

تابع چگالی انرژی کرنشی مکانیکی بصورت زیر قابل بیان است.

$$W^{int} = 2\mu\varepsilon_{ij}\varepsilon_{ij}^{aux} + \lambda\varepsilon_{kk}\varepsilon_{ll}^{aux} - \beta\Delta T\varepsilon_{ll}^{aux}\tag{25-5}$$

فرم عمومی انتگرال برهمن کنش را می‌توان بصورت جمع دو انتگرال بیان نمود.

$$\begin{aligned}M &= \int_A (\sigma_{ij}u_{i,1}^{aux} + \sigma_{ij}^{aux}u_{i,1} - W^{int}\delta_{1j})q_j dA \\ &\quad + \int_A (\sigma_{ij,j}u_{i,1}^{aux} + \sigma_{ij}u_{i,1j}^{aux} + \sigma_{ij,j}^{aux}u_{i,1} + \sigma_{ij}^{aux}u_{i,1j} - W_{,1}^{int})q dA \\ &= M_1 + M_2\end{aligned}\tag{26-5}$$

که در آن، انتگرال  $M_2$  شامل  $W_{,1}^{int}$  مشتق  $W^{int}$  نسبت به  $x_1$  می‌باشد. این نکته قابل ذکر است که در FGM خصوصیات ماده و توزیع دما تابع مختصه‌های مکانی هستند. مشتق  $W^{int}$  نسبت به  $x_1$  بصورت زیر قابل بیان است.

$$W_{,1}^{int} = \frac{\partial W^{int}}{\partial \varepsilon_{ij}} \frac{\partial \varepsilon_{ij}}{\partial x_1} + \frac{\partial W^{int}}{\partial \varepsilon_{ij}^{aux}} \frac{\partial \varepsilon_{ij}^{aux}}{\partial x_1} + \left( \frac{\partial W^{int}}{\partial x_1} \right)_{expl} \quad (27-\Delta)$$

در این رابطه،  $\left( \frac{\partial W^{int}}{\partial x_1} \right)_{expl}$  مشتق صریح  $W^{int}$  نسبت به  $x_1$  است و به صورت زیر نوشته می‌شود.

$$\begin{aligned} \left( \frac{\partial W^{int}}{\partial x_1} \right)_{expl} &= \frac{\partial W^{int}}{\partial \mu} \frac{\partial \mu}{\partial x_1} + \frac{\partial W^{int}}{\partial \lambda} \frac{\partial \lambda}{\partial x_1} \\ &+ \frac{\partial W^{int}}{\partial \beta} \frac{\partial \beta}{\partial x_1} + \frac{\partial W^{int}}{\partial (\Delta T)} \frac{\partial (\Delta T)}{\partial x_1} \end{aligned} \quad (28-\Delta)$$

در این رابطه،  $\left( \frac{\partial W^{int}}{\partial (\cdot)} \right)_{expl}$  مشتق  $W^{int}$  نسبت به خصوصیات ماده و تغییر دما است و به صورت زیر

بیان می‌شود.

$$- = 2\varepsilon_{ij}\varepsilon_{ij}^{aux} + (2\mu\varepsilon_{ij}^{aux} + \lambda\varepsilon_{kk}^{aux}) \frac{\partial \varepsilon_{33}}{\partial \mu} + (2\mu\varepsilon_{ij} + \lambda\varepsilon_{kk} - \beta\Delta T) \frac{\partial \varepsilon_{33}^{aux}}{\partial \mu} \quad (29-\Delta)$$

$$\downarrow = \varepsilon_{kk}\varepsilon_{ll}^{aux} + (\lambda\varepsilon_{ll}^{aux} + 2\mu\varepsilon_{33}^{aux}) \frac{\partial \varepsilon_{33}}{\partial \lambda} + (\lambda\varepsilon_{ll} + 2\mu\varepsilon_{33} - \beta\Delta T) \frac{\partial \varepsilon_{33}^{aux}}{\partial \lambda} \quad (30-\Delta)$$

$$\frac{\partial W^{int}}{\partial \beta} = -\varepsilon_{kk}^{aux} \Delta T + (2\mu\varepsilon_{33}^{aux} + \lambda\varepsilon_{kk}^{aux}) \frac{\partial \varepsilon_{33}}{\partial \beta} \quad (31-\Delta)$$

$$\frac{\partial W^{int}}{\partial \Delta T} = -\varepsilon_{kk}^{aux} \beta + (2\mu\varepsilon_{33}^{aux} + \lambda\varepsilon_{kk}^{aux}) \frac{\partial \varepsilon_{33}}{\partial \Delta T} \quad (32-\Delta)$$

برای حالت کرنش صفحه‌ای:

$$\frac{\partial \varepsilon_{33}}{\partial \mu} = \frac{\partial \varepsilon_{33}}{\partial \lambda} = \frac{\partial \varepsilon_{33}}{\partial \beta} = \frac{\partial \varepsilon_{33}}{\partial \Delta T} = 0 \quad (33-\Delta)$$

برای حالت تنش صفحه‌ای:

$$\frac{\partial \varepsilon_{33}}{\partial \mu} = \frac{-2}{2\mu + \lambda} \varepsilon_{33} \quad (34-\Delta)$$

$$\frac{\partial \varepsilon_{33}}{\partial \lambda} = \frac{-1}{2\mu + \lambda} \varepsilon_{kk} \quad (35-\Delta)$$

$$\frac{\partial \varepsilon_{33}}{\partial \beta} = \frac{1}{2\mu + \lambda} \Delta T \quad (36-\Delta)$$

$$\frac{\partial \varepsilon_{33}}{\partial \Delta T} = \frac{1}{2\mu + \lambda} \beta \quad (37-\Delta)$$

$$\frac{\partial \varepsilon_{33}^{aux}}{\partial \mu} = \frac{-2}{2\mu + \lambda} \varepsilon_{33}^{aux} \quad (38-\Delta)$$

$$\frac{\partial \varepsilon_{33}^{aux}}{\partial \lambda} = \frac{-1}{2\mu + \lambda} \varepsilon_{kk}^{aux} \quad (39-\Delta)$$

از طرفی، با توجه به روابط (۲۲-۵) و (۲۳-۵)، می‌توان روابط زیر را استخراج نمود.

$$\frac{\partial W^{int}}{\partial \varepsilon_{ij}} = \sigma_{ij}^{aux} \quad (40-\Delta)$$

$$\frac{\partial W^{int}}{\partial \varepsilon_{ij}^{aux}} = \sigma_{ij} \quad (41-\Delta)$$

جایگزینی روابط (۲۹-۵) و (۳۰-۵) در رابطه (۲۷-۵) منجر به رابطه زیر می‌گردد.

$$\frac{\partial W}{\partial x_1} = \sigma_{ij}^{aux} \varepsilon_{ij,1} + \sigma_{ij} \varepsilon_{ij,1}^{aux} + (W_{,1})_{expl} \quad (42-\Delta)$$

با جایگزینی رابطه فوق و اعمال روابط سازگاری میدانهای اصلی و کمکی و همچنین رابطه تعادل میدان اصلی، فرم نهایی انتگرال ناحیه‌ای معادل بصورت زیر بدست می‌آید.

$$\begin{aligned}
 M = & \int_A (\sigma_{ij}^{aux} u_{i,1} + \sigma_{ij} u_{i,1}^{aux} - W^{int} \delta_{1j}) q_j dA \\
 & - \int_A (W_{,1}^{int})_{expl} q dA \\
 & + \int_A \sigma_{ij,j}^{aux} u_{i,1} q dA
 \end{aligned} \tag{43-5}$$

رابطه فوق شامل سه عبارت مشخص است. انتگرال اول معادل انتگرال برهم‌کنش برای مواد همگن است. عبارت دوم شامل مشتقات صریح  $W^{int}$  نسبت به مختصه مکانی است. این عبارت در فرم ناحیه‌ای انتگرال ۱ برای FGM نیز بوجود می‌آید.

عبارت سوم، ناشی از کاربرد میدان کمکی تغییرمکان و کرنش مواد همگن برای مواد غیرهمگن است. عبارتهای دوم و سوم بطور طبیعی در فرمولبندی انتگرال برهم‌کنش ظاهر می‌شوند و برای حفظ استقلال از سطح و همگرایی انتگرال باید درنظر گرفته شوند.

با انتخاب میدان‌های کمکی به ترتیب فوق، انتگرال برهم‌کنش توسط کیسی و کیم [۱۰۷] ارائه شده است. از این انتگرال برای محاسبه ضرایب شدت تنش و تنش  $T$  در FGM تحت بارگذاری حرارتی پایا استفاده شده است. در تحلیل مذکور از اثر ترک روی تکینی شار حرارتی صرف‌نظر شده است.

$$\begin{aligned}
 M = & \int_A (\sigma_{ij}^{aux} u_{i,1} + \sigma_{ij} u_{i,1}^{aux} - \sigma_{ik} \varepsilon_{ik}^{aux} \delta_{1j}) q_j dA \\
 & + \int_A \left\{ \sigma_{ij,j}^{aux} u_{i,1} q dA - C_{ijkl,1} \varepsilon_{kl}^m \varepsilon_{ij}^{aux} + \sigma_{ij}^{aux} (\alpha_{,1} (\Delta T) + \alpha (\Delta T)_{,1}) \delta_{ij} \right\} q dA
 \end{aligned} \tag{44-5}$$

در انتگرال دوم، عبارت دوم و سوم متناظر با مشتق صریح  $W^{int}$  (انتگرال دوم) در رابطه (۴۳-۵) است. در رابطه اخیر، محاسبه مولفه‌های کرنش مکانیکی با استفاده از مولفه‌های کرنش کل لازم است.

عبارت انتگرال برهم‌کنش فوق که شامل ترم نامتعادل باشد: برای  $r \rightarrow 0$  در ادامه ثابت می‌گردد. تانسور الاستیک  $C_{ijkl}(x)$  شامل توابع خصوصیات ماده از جمله  $E(r,\theta)$  و  $\nu(r,\theta)$  هستند که فرض می‌شود

توابعی پیوسته و مشتق‌پذیر باشند. بنابراین تانسور الاستیک را می‌توان با استفاده از بسط مکلورن بصورت زیر نمایش داد.

$$C_{ijkl}(r, \theta) = \left( C_{ijkl} \right)_{tip} + r C_{ijkl}^{(1)}(\theta) + \frac{r^2}{2} C_{ijkl}^{(2)}(\theta) + O(r^3) + \dots \quad (44-5)$$

که در آن،  $C_{ijkl}^{(n)}(\theta)$  توابع زاویه‌ای هستند. در رابطه (۲۱-۵) عبارت اول بخاطر تعادل میدان همگن صفر می‌شود. بنابراین، عبارت سوم مورد بررسی قرار می‌گیرد. با توجه به اینکه میدانهای جابجایی و کرنش کمکی برای محاسبه ضریب شدت تنش به ترتیب بصورت  $(\sqrt{r}, \theta)$  و  $\varepsilon_{ij}^{aux}(r^{-1/2}, \theta)$  قابل

بیان است. اثر عبارت سوم برای  $r \rightarrow 0$  عبارت است از:

$$\begin{aligned} \lim_{A \rightarrow 0} \int_A \sigma_{ij,j}^{aux} u_{i,1} q dA &= \lim_{r \rightarrow 0} \int_{\theta} \int_r \sigma_{ij,j}^{aux} u_{i,1} q r dr d\theta \\ &= \lim_{r \rightarrow 0} \int_{\theta} \int_r \left( C_{ijkl}(r, \theta) - \left( C_{ijkl} \right)_{tip} \right) \varepsilon_{kl,j}^{aux} u_{i,1} q r dr d\theta \\ &= \lim_{r \rightarrow 0} \int_{\theta} \int_r O(r) O(r^{-3/2}) O(r^{-1/2}) q r dr d\theta \\ &= \lim_{r \rightarrow 0} O(r) \end{aligned} \quad (45-5)$$

برای تنش  $T$  میدانهای جابجایی و کرنش کمکی بصورت  $(\ln r, \theta)$  و  $u_i^{aux}(\ln r, \theta)$  قابل بیان است. اثر عبارت سوم برای  $r \rightarrow 0$  بصورت زیر است.

$$\begin{aligned} \lim_{A \rightarrow 0} \int_A \sigma_{ij,j}^{aux} u_{i,1} q dA &= \lim_{r \rightarrow 0} \int_{\theta} \int_r \sigma_{ij,j}^{aux} u_{i,1} q r dr d\theta \\ &= \lim_{r \rightarrow 0} \int_{\theta} \int_r \left( C_{ijkl}(r, \theta) - \left( C_{ijkl} \right)_{tip} \right) \varepsilon_{kl,j}^{aux} u_{i,1} q r dr d\theta \\ &= \lim_{r \rightarrow 0} \int_{\theta} \int_r O(r) O(r^{-2}) O(r^{-1/2}) q r dr d\theta \\ &= \lim_{r \rightarrow 0} O(r^{1/2}) \end{aligned} \quad (46-5)$$

### ۲-۳-۵- فرمولبندی غیرسازگار

در فرمولبندی غیرسازگار، روابط تعادل  $\sigma_{ij,j}^{aux} = 0$  با فرض عدم وجود نیروهای کالبدی) و رابطه ساختاری  $(\varepsilon_{ij}^{aux} = S_{ijkl}(x) \sigma_{kl}^{aux})$  در میدان کمکی برقرار است. ولی رابطه سینماتیک

تغییر شکل دیگر برقرار نیست ( $\varepsilon_{ij}^{aux} \neq (u_{i,j}^{aux} + u_{j,i}^{aux})/2$ ). روابط (۲۳ و ۲۴) و (۲۵) برای فرمولبندی غیرسازگار نیز برقرار می‌باشد. با توجه به روابط فوق، انتگرال  $M_2$  در رابطه (۲۶) به شکل زیر قابل بیان است.

$$M_2 = \int_A (\sigma_{ij,j} u_{i,1}^{aux} + \sigma_{ij} u_{i,1j}^{aux} + \sigma_{ij,j}^{aux} u_{i,1} + \sigma_{ij}^{aux} u_{i,1j}) q dA - \int (W_{,1}^{int} + \sigma_{ij}^{aux} \varepsilon_{ij,1} + \sigma_{ij} \varepsilon_{ij,1}^{aux}) q dA \quad (47-5)$$

با توجه به برقراری تعادل میدانهای اصلی و کمکی و رابطه سازگاری برای میدان اصلی، انتگرال  $M_2$  بصورت زیر ساده می‌شود.

$$M_2 = \int_A (\sigma_{ij} (u_{i,1j}^{aux} - \varepsilon_{ij,1}^{aux}) - W_{,1}^{int}) q dA \quad (48-5)$$

بنابراین، انتگرال برهمنش برای فرمولبندی غیرسازگار بصورت زیر قابل بیان است.

$$M = \int_A (\sigma_{ij}^{aux} u_{i,1} + \sigma_{ij} u_{i,1}^{aux} - W_{,1}^{int} \delta_{1j}) q_j dA - \int_A (W_{,1}^{int})_{expl} q dA + \int_A \sigma_{ij} (u_{i,1j}^{aux} - \varepsilon_{ij,1}^{aux}) q dA \quad (49-5)$$

در این رابطه،  $(W_{,1}^{int})_{expl}$  مشتق صریح  $W^{int}$  نسبت به  $x_1$  است و بصورت زیر نوشته می‌شود.

$$\begin{aligned} \left( \frac{\partial W^{int}}{\partial x_1} \right)_{expl} &= \frac{\partial W^{int}}{\partial \mu} \frac{\partial \mu}{\partial x_1} + \frac{\partial W^{int}}{\partial \lambda} \frac{\partial \lambda}{\partial x_1} \\ &+ \frac{\partial W^{int}}{\partial \beta} \frac{\partial \beta}{\partial x_1} + \frac{\partial W^{int}}{\partial (\Delta T)} \frac{\partial (\Delta T)}{\partial x_1} \end{aligned} \quad (50-5)$$

در این رابطه،  $\partial W^{int}/\partial(\cdot)$  مشتق  $W^{int}$  نسبت به خصوصیات ماده و تغییر دما شامل عبارتهای زیر است.

$$= 2\varepsilon_{ij} \varepsilon_{ij}^{aux} + (2\mu \varepsilon_{ij}^{aux} + \lambda \varepsilon_{kk}^{aux}) \frac{\partial \varepsilon_{33}}{\partial \mu} + (2\mu \varepsilon_{ij} + \lambda \varepsilon_{kk} - \beta \Delta T) \frac{\partial \varepsilon_{33}^{aux}}{\partial \mu} \quad (51-5)$$

$$\frac{V^{int}}{\lambda} = \varepsilon_{kk}\varepsilon_{ll}^{aux} + (\lambda\varepsilon_{ll}^{aux} + 2\mu\varepsilon_{33}^{aux})\frac{\partial\varepsilon_{33}}{\partial\lambda} + (\lambda\varepsilon_{ll} + 2\mu\varepsilon_{33} - \beta\Delta T)\frac{\partial\varepsilon_{33}^{aux}}{\partial\lambda} \quad (52-5)$$

$$\frac{\partial W^{int}}{\partial\beta} = -\varepsilon_{kk}^{aux}\Delta T + (2\mu\varepsilon_{33}^{aux} + \lambda\varepsilon_{kk}^{aux})\frac{\partial\varepsilon_{33}}{\partial\beta} \quad (53-5)$$

$$\frac{\partial W^{int}}{\partial\Delta T} = -\varepsilon_{kk}^{aux}\beta + (2\mu\varepsilon_{33}^{aux} + \lambda\varepsilon_{kk}^{aux})\frac{\partial\varepsilon_{33}}{\partial\Delta T} \quad (54-5)$$

برای حالت کرنش صفحه‌ای:

$$\frac{\partial\varepsilon_{33}}{\partial\mu} = \frac{\partial\varepsilon_{33}}{\partial\lambda} = \frac{\partial\varepsilon_{33}}{\partial\beta} = \frac{\partial\varepsilon_{33}}{\partial\Delta T} = 0 \quad (55-5)$$

برای حالت تنش صفحه‌ای:

$$\frac{\partial\varepsilon_{33}}{\partial\mu} = \frac{-2}{2\mu + \lambda}\varepsilon_{33} \quad (56-5)$$

$$\frac{\partial\varepsilon_{33}}{\partial\lambda} = \frac{-1}{2\mu + \lambda}\varepsilon_{kk} \quad (57-5)$$

$$\frac{\partial\varepsilon_{33}}{\partial\beta} = \frac{1}{2\mu + \lambda}\Delta T \quad (58-5)$$

$$\frac{\partial\varepsilon_{33}}{\partial\Delta T} = \frac{1}{2\mu + \lambda}\beta \quad (59-5)$$

$$\frac{\partial\varepsilon_{33}^{aux}}{\partial\mu} = \frac{-2}{2\mu + \lambda}\varepsilon_{33}^{aux} \quad (60-5)$$

$$\frac{\partial \varepsilon_{33}^{aux}}{\partial \lambda} = \frac{-1}{2\mu + \lambda} \varepsilon_{kk}^{aux} \quad (61-5)$$

عبارت سوم بخاطر غیرسازگار بودن میدان کرنش کمکی بوجود می‌آید. وجود انتگرال برهم-

کنش شامل عبارت غیرسازگار برای  $r \rightarrow 0$  در ادامه اثبات می‌گردد. عبارت  $\sigma_{ij} \varepsilon_{ij,1}^{aux}$  را می‌توان بصورت زیر نوشت.

$$\begin{aligned} \sigma_{ij} \varepsilon_{ij,1}^{aux} &= \sigma_{ij} \left( S_{ijkl}(x) \sigma_{kl,1}^{aux} + S_{ijkl,1}(x) \sigma_{kl}^{aux} \right) \\ &= \sigma_{ij} \left( S_{ijkl} \right)_{tip} \sigma_{kl,1}^{aux} + \sigma_{ij} S_{ijkl,1}(x) \sigma_{kl}^{aux} + \sigma_{ij} \left( S_{ijkl}(x) - \left( S_{ijkl} \right)_{tip} \right) \sigma_{kl,1}^{aux} \\ &= \sigma_{ij} u_{i1,j}^{aux} + W_{,1}^{int} + \sigma_{ij} \left( S_{ijkl}(x) - \left( S_{ijkl} \right)_{tip} \right) \sigma_{kl,1}^{aux} \end{aligned} \quad (62-5)$$

بنابراین،

$$\sigma_{ij} \left( u_{i1,j}^{aux} - \varepsilon_{ij,1}^{aux} \right) = -W_{,1}^{int} - \sigma_{ij} \left( S_{ijkl}(x) - \left( S_{ijkl} \right)_{tip} \right) \sigma_{kl,1}^{aux} \quad (63-5)$$

تانسور  $S(x)$  شامل توابع خصوصیات ماده از جمله  $E(r,\theta)$  و  $v(r,\theta)$  هستند که بنابر فرضیات اولیه توابعی پیوسته و مشتق‌پذیر در حوزه نوک ترک می‌باشند. بنابراین می‌توان بسط این تانسور حول نقطه نوک

ترک را بصورت زیر نوشت:

$$S_{ijkl}(r,\theta) = \left( S_{ijkl} \right)_{tip} + r S_{ijkl}^{(1)}(\theta) + \frac{r^2}{2} S_{ijkl}^{(2)}(\theta) + O(r^3) + \dots \quad (64-5)$$

که  $S_{ijkl}^{(n)}(\theta)$  صرفاً توابع زاویه‌ای می‌باشند. میدانهای جابجایی و کرنش ضریب شدت تنش به ترتیب به صورت  $(\sqrt{r}, \theta)$  و  $(u_i^{aux}(r^{-1/2}, \theta), \varepsilon_{ij}^{aux}(r^{-1/2}, \theta))$  قابل بیان است که با توجه به آن، اثر عبارت سوم برای  $r \rightarrow 0$  عبارت است از:

$$\begin{aligned}
 \lim_{A \rightarrow 0} \int_A \sigma_{ij} (u_{i1,j}^{aux} - \varepsilon_{ij,1}^{aux}) q dA &= \lim_{r \rightarrow 0} \int_\theta \int_r \sigma_{ij} (u_{i1,j}^{aux} - \varepsilon_{ij,1}^{aux}) q r dr d\theta \\
 &= \lim_{r \rightarrow 0} \int_\theta \int_r \sigma_{ij} \left( S_{ijkl}(r, \theta) - (S_{ijkl})_{tip} \right) \sigma_{kl,1}^{aux} q r dr d\theta \\
 &= \lim_{r \rightarrow 0} \int_\theta \int_r O(r) O(r^{-3/2}) O(r^{-1/2}) q r dr d\theta \\
 &= \lim_{r \rightarrow 0} O(r) = 0
 \end{aligned} \tag{65-5}$$

برای تنش  $T$  میدانهای جابجایی و کرنش کمکی بصورت  $(\ln r, \theta)$  و  $u_i^{aux}$  قابل بیان است. اثر عبارت سوم برای  $r \rightarrow 0$  بصورت زیر است.

$$\begin{aligned}
 \lim_{A \rightarrow 0} \int_A \sigma_{ij} (u_{i1,j}^{aux} - \varepsilon_{ij,1}^{aux}) q dA &= \lim_{r \rightarrow 0} \int_\theta \int_r \sigma_{ij} (u_{i1,j}^{aux} - \varepsilon_{ij,1}^{aux}) q r dr d\theta \\
 &= \lim_{r \rightarrow 0} \int_\theta \int_r \sigma_{ij} \left( S_{ijkl}(r, \theta) - (S_{ijkl})_{tip} \right) \sigma_{kl,1}^{aux} q r dr d\theta \\
 &= \lim_{r \rightarrow 0} \int_\theta \int_r O(r) O(r^{-2}) O(r^{-1/2}) q r dr d\theta \\
 &= \lim_{r \rightarrow 0} O(r^{1/2})
 \end{aligned} \tag{66-5}$$

### ۳-۳-۵- فرمولبندی تانسور ساختاری ثابت

فرمولبندی تانسور ساختاری ثابت، رابطه تعادل  $\sigma_{ij,j}^{aux} = 0$  با فرض عدم وجود نیروی کالبدی) و شرایط سازگاری  $(\varepsilon_{ij}^{aux} = (u_{i,j}^{aux} + u_{j,i}^{aux})/2)$  را ارضا می‌کند. اما رابطه ساختاری پیوستار FGM نقض می‌شود؛ یعنی  $\sigma_{ij}^{aux} \neq C_{ijkl}(x) \varepsilon_{kl}^{aux}$  رابطه  $\varepsilon_{ij}^{aux} \neq \sigma_{ij}^{aux} \varepsilon_{ij}$  برقرار می‌شود. چون در حالت کلی برای پیوستار FGM رابطه  $C_{ijkl}(x)_{tip} \neq C_{ijkl}(x)$  برقرار است. با توجه به توضیح فوق، رابطه بنابراین، رابطه انتگرال برهم کنش براساس فرمولبندی تانسور ساختاری ثابت بصورت زیر است.

$$\begin{aligned}
 M &= \int_A (\sigma_{ij}^{aux} u_{i,1} + \sigma_{ij} u_{i,1}^{aux} - W_{,1}^{int} \delta_{1,j}) q_j dA \\
 &\quad - \int_A (W_{,1}^{int})_{expl} q dA \\
 &\quad + \int_A \frac{1}{2} \left\{ (\sigma_{ij} - \sigma_{ij}^{tip}) \varepsilon_{ij,1}^{aux} - (\sigma_{ij}^{aux}(x) - \sigma_{ij}^{aux}) \varepsilon_{ij,1} \right\} q dA
 \end{aligned} \tag{67-5}$$

رابطه فوق با اعمال رابطه تعادل و رابطه ساختاری میدانهای اصلی و کمکی بدست آمده است. انتگرال برهم کنش فوق شامل گرادیان میدانهای تنش و کرنش اصلی است که بخاطر استفاده از میدان کمکی همگن برای پیوستار FGM بوجود می‌آید و باعث کاهش دقت محاسبه انتگرال برهم کنش و نهایتاً پارامتر شکست می‌شود. جملات عبارت مذکور بصورت زیر قابل توضیح است.

$\sigma_{ij}^{tip}$  حاصل از کاربرد میدان کرنش اصلی و تانسور ساختاری همگن نوک ترک است؛ یعنی  $(\sigma_{ij} - \sigma_{ij}^{tip})$  بیان کننده اختلاف میدان تنش اصلی و میدان تنش همگن فوق می‌باشد. از طرف دیگر،  $\sigma_{ij}^{aux}$  حاصل از کاربرد میدان کرنش کمکی و تانسور ساختاری FGM است؛ یعنی  $(\sigma_{ij}^{aux} - \sigma_{ij}^{aux})$  بیان کننده اختلاف میدان تنش کمکی و میدان تنش FGM کمکی می‌باشد.

در رابطه (۶۷-۵)، مشتق صریح  $W^{int}$  نسبت به  $x_1$  است و بصورت زیر نوشته می‌شود.

$$\begin{aligned} \left( \frac{\partial W^{int}}{\partial x_1} \right)_{expl} &= \frac{\partial W^{int}}{\partial \mu} \frac{\partial \mu}{\partial x_1} + \frac{\partial W^{int}}{\partial \lambda} \frac{\partial \lambda}{\partial x_1} \\ &+ \frac{\partial W^{int}}{\partial \beta} \frac{\partial \beta}{\partial x_1} + \frac{\partial W^{int}}{\partial (\Delta T)} \frac{\partial (\Delta T)}{\partial x_1} \end{aligned} \quad (68-5)$$

تابع چگالی انرژی کرنشی مکانیکی بصورت زیر قابل بیان است.

$$\begin{aligned} W^{int} &= \frac{1}{2} (2\mu \varepsilon_{ij} \varepsilon_{ij}^{aux} + \lambda \varepsilon_{kk} \varepsilon_{ll}^{aux} - \beta \Delta T \varepsilon_{ll}^{aux} + \\ &+ 2\mu^{tip} \varepsilon_{ij} \varepsilon_{ij}^{aux} + \lambda^{tip} \varepsilon_{kk} \varepsilon_{ll}^{aux} - \beta^{tip} \Delta T \varepsilon_{ll}^{aux}) \end{aligned} \quad (69-5)$$

که در آن، پارامتر  $\beta^{tip}$  بصورت زیر تعریف می‌شود.

$$\beta^{tip} = (3\lambda^{tip} + 2\mu^{tip})\alpha \quad (70-5)$$

در این رابطه،  $(\cdot)$  مشتق  $W^{int}$  نسبت به خصوصیات ماده و تغییر دما شامل عبارتهای زیر است.

$$\frac{\partial W^{int}}{\partial \mu} = \varepsilon_{ij} \varepsilon_{ij}^{aux} + \frac{\beta^{tip}}{2\mu + 3\lambda} + \left( (\mu + \mu^{tip}) \varepsilon_{33}^{aux} + \frac{1}{2} (\lambda + \lambda^{tip}) \varepsilon_{kk}^{aux} \right) \frac{\partial \varepsilon_{33}}{\partial \mu} \quad (71-\Delta)$$

$$\frac{W^{int}}{\partial \lambda} = \frac{1}{2} \left( \varepsilon_{kk} \varepsilon_{ll}^{aux} + 3 \frac{\beta^{tip}}{2\mu + 3\lambda} + \frac{1}{2} \left( (\lambda + \lambda^{tip}) \varepsilon_{ll}^{aux} + 2(\mu + \mu^{tip}) \varepsilon_{33}^{aux} \right) \frac{\partial \varepsilon_{33}}{\partial \lambda} \right) \quad (72-\Delta)$$

$$\frac{\partial W^{int}}{\partial \beta} = \frac{1}{2} \left( -\varepsilon_{kk}^{aux} \Delta T - \frac{3\lambda^{tip} + 2\mu^{tip}}{3\lambda + 2\mu} + (2\mu \varepsilon_{33}^{aux} + \lambda \varepsilon_{kk}^{aux}) \frac{\partial \varepsilon_{33}}{\partial \beta} \right) \quad (73-\Delta)$$

$$\frac{\partial W^{int}}{\partial \Delta T} = \frac{1}{2} \left( -\varepsilon_{kk}^{aux} (\beta + \beta^{tip}) + (2(\mu + \mu^{tip}) \varepsilon_{33}^{aux} + (\lambda + \lambda^{tip}) \varepsilon_{kk}^{aux}) \frac{\partial \varepsilon_{33}}{\partial \Delta T} \right) \quad (74-\Delta)$$

برای حالت کرنش صفحه‌ای:

$$\frac{\partial \varepsilon_{33}}{\partial \mu} = \frac{\partial \varepsilon_{33}}{\partial \lambda} = \frac{\partial \varepsilon_{33}}{\partial \beta} = \frac{\partial \varepsilon_{33}}{\partial \Delta T} = 0 \quad (75-\Delta)$$

برای حالت تنش صفحه‌ای:

$$\frac{\partial \varepsilon_{33}}{\partial \mu} = \frac{-2}{2\mu + \lambda} \varepsilon_{33} \quad (76-\Delta)$$

$$\frac{\partial \varepsilon_{33}}{\partial \lambda} = \frac{-1}{2\mu + \lambda} \varepsilon_{kk} \quad (77-\Delta)$$

$$\frac{\partial \varepsilon_{33}}{\partial \beta} = \frac{1}{2\mu + \lambda} \Delta T \quad (78-\Delta)$$

$$\frac{\partial \varepsilon_{33}}{\partial \Delta T} = \frac{1}{2\mu + \lambda} \beta \quad (79-\Delta)$$

با انتخاب میدانهای کمکی به ترتیب فوق، انتگرال برهم کنش توسط چن [۳۲] ارائه شده است.

از این انتگرال بمنظور محاسبه ضرایب شدت تنش برای یک ترک در فصل مشترک هسته همگن و پوشش FGM ارتوتروپیک تحت بارگذاری حرارتی پایا استفاده شده است. در تحلیل مذکور از اثر ترک روی تکینی شار حرارتی صرفنظر شده است.

$$\begin{aligned} & \int_A (\sigma_{ij}^{aux} u_{i,1} + \sigma_{ij} u_{i,1}^{aux} - \frac{1}{2} (\sigma_{ij} \varepsilon_{ij}^{aux} + \sigma_{ij}^{aux} \varepsilon_{ij}^m) \delta_{1j}) q_j dA \\ & + \frac{1}{2} \int_A \left\{ \left[ C_{ijkl} \varepsilon_{ij}^{aux} + \sigma_{ij}^{aux} \right] \alpha_{ij,1} \Delta T + \alpha_{ij} (\Delta T)_{,1} \right] - C_{ijkl,1} \varepsilon_{ij}^{aux} \varepsilon_{kl}^m \right\} q dA \quad (80-5) \end{aligned}$$

با در نظر گرفتن تانسور ساختاری مواد همگن و رابطه زیر، انتگرال (۸۰-۵) برای مواد همگن قابل کاربرد است.

$$\alpha_{ij} = \alpha \delta_{ij} \quad (81-5)$$

مشتق صریح  $W^{int}$  به صورت زیر بیان می‌شود.

$$W_{,1}^{int} = \frac{1}{2} \left( C_{ijkl,1} \varepsilon_{kl}^m \varepsilon_{ij}^{aux} - C_{ijkl} (\alpha \Delta T)_{,1} \delta_{kl} \varepsilon_{ij}^{aux} - C_{ijkl}^{tip} \varepsilon_{kl}^{aux} (\alpha \Delta T)_{,1} \delta_{ij} \right) \quad (82-5)$$

با توجه به روابط (۸۱-۵) و (۸۲-۵)، عبارتهای اول و دوم (خط اول) از انتگرال دوم در رابطه (۸۰-۵)، معادل مشتق صریح  $W^{int}$  و برابر با انتگرال دوم در رابطه (۶۷-۵) است. همچنین، عبارتهای سوم و چهارم (خط دوم) از انتگرال دوم در رابطه (۸۰-۵)، معادل انتگرال سوم در رابطه (۶۷-۵) است. بنابراین، انتگرال بدست آمده در این بخش، معادل انتگرال ارائه شده توسط چن می‌باشد.

وجود عبارت انتگرال سوم در رابطه فوق، برای  $r \rightarrow 0$  در ادامه ثابت می‌شود. برای میدانهای کمکی ضریب شدت تنش  $\varepsilon_{ij}^{aux}(r^{-1/2}, \theta)$  و  $u_i^{aux}(\sqrt{r}, \theta)$  بصورت زیر نوشتہ می‌شود.

$$\begin{aligned}
 \lim_{A \rightarrow 0} \int_A (\sigma_{ij} - \sigma_{ij}^{tip}) \varepsilon_{ij,1}^{aux} q dA &= \lim_{r \rightarrow 0} \int_r \int_\theta (\sigma_{ij} - \sigma_{ij}^{tip}) \varepsilon_{ij,1}^{aux} q r dr d\theta \\
 &= \lim_{r \rightarrow 0} \int_r \int_\theta \left( C_{ijkl}(x) - (C_{ijkl})_{tip} \right) \varepsilon_{kl} \varepsilon_{ij,1}^{aux} q r dr d\theta \\
 &= \lim_{r \rightarrow 0} \int_r \int_\theta O(r) O(r^{-1/2}) O(r^{-3/2}) q r dr d\theta \\
 &= \lim_{r \rightarrow 0} O(r) = 0
 \end{aligned} \tag{83-5}$$

برای تنش  $\tau$  میدانهای جابجایی و کرنش کمکی بصورت  $(u_i^{aux}(ln r, \theta)$  و  $\varepsilon_{ij}^{aux}(r^{-1}, \theta)$  قابل

بیان است. اثر ترم اول از انتگرال دوم برای  $\tau$  بصورت زیر است.

$$\begin{aligned}
 \lim_{A \rightarrow 0} \int_A (\sigma_{ij} - \sigma_{ij}^{tip}) \varepsilon_{ij,1}^{aux} q dA &= \lim_{r \rightarrow 0} \int_r \int_\theta (\sigma_{ij} - \sigma_{ij}^{tip}) \varepsilon_{ij,1}^{aux} q r dr d\theta \\
 &= \lim_{r \rightarrow 0} \int_r \int_\theta \left( C_{ijkl}(x) - (C_{ijkl})_{tip} \right) \varepsilon_{kl} \varepsilon_{ij,1}^{aux} q r dr d\theta \\
 &= \lim_{r \rightarrow 0} \int_r \int_\theta O(r) O(r^{-1/2}) O(r^{-2}) q r dr d\theta \\
 &= \lim_{r \rightarrow 0} O(r^{1/2}) = 0
 \end{aligned} \tag{84-5}$$

#### ۴-۵- استخراج ضرایب شدت تنش

رابطه بین انتگرال  $\tau$  و ضرایب شدت تنش  $K_I$  و  $K_{II}$  بصورت زیر قابل بیان است.

$$J = \frac{K_I^2 + K_{II}^2}{E_{tip}^*} \tag{85-5}$$

با توجه به رابطه (۱۴-۵)، انتگرال بر هم کنش  $M$  بر حسب ضرایب شدت تنش  $K_I$  و  $K_{II}$  بصورت است.

$$M = \frac{2}{E_{tip}^*} (K_I K_I^{aux} + K_{II} K_{II}^{aux}) \tag{86-5}$$

با انتخاب صحیح میدانهای کمکی (مودهای خالص I و II)، ضرایب شدت تنش  $K_I$  و  $K_{II}$  از انتگرال بر هم کنش  $M$  بصورت زیر بدست می‌آید.

$$\begin{aligned} K_I &= \frac{E_{tip}^*}{2} M^{(1)}, (K_I^{aux} = 1, K_{II}^{aux} = 0.) \\ K_{II} &= \frac{E_{tip}^*}{2} M^{(2)}, (K_I^{aux} = 0, K_{II}^{aux} = 1.) \end{aligned} \quad (87-5)$$

### ۵-۵- استخراج تنش $T$

با فرض میل کردن سطح A به نوک ترک، تنش T از انتگرال برهمنش قابل استخراج است.

فرض  $A \rightarrow 0$  باعث حذف اثر جملات مرتبه بالا (مرتبه  $1/2$  و بالاتر) و جملات تکین (مرتبه  $-1/2$ ) در محاسبه تنش T می‌شود.

با فرض فوق، همانطور که در رابطه (43-5) نشان داده شد؛ عبارتهای نامتعادل، غیرسازگار و اختلاف تنشها در انتگرالهای برهمنش صفر می‌شوند. علاوه براین، عبارت شامل مشتقات صریحتابع چگالی انرژی کرنشی نیز حذف می‌گردد [۱۰۴]. طبق فرضیات اولیه، مدول الاستیسیته در نوک ترک کراندار و مشتق‌پذیر است. بنابراین، ضرایب لامه  $\lambda$  و  $\mu$  از مرتبه مثبت  $r$  می‌باشند؛ یعنی  $O(r^\alpha)$  که  $\alpha \geq 0$ . با توجه به اینکه  $\epsilon_{ij}$  و  $\epsilon_{ij}^{aux}$  از مرتبه  $-1/2$  و  $-1$  از  $r$  هستند؛ برای  $A \rightarrow 0$  عبارت شامل مشتقات صریحتابع چگالی انرژی کرنشی مکانیکی بصورت زیر است.

$$\begin{aligned} \int_A C_{ijkl,l} \epsilon_{kl} \epsilon_{ij}^{aux} q dA &= \int_{-\pi}^{\pi} \int_0^r C_{ijkl,l} \epsilon_{kl} \epsilon_{ij}^{aux} q r dr d\theta \\ &\propto \int_{-\pi}^{\pi} \int_0^r O(r^\alpha) O(r^{-1/2}) O(r^{-1}) q r dr d\theta \\ &\propto O(r^{\alpha+1/2}) \end{aligned} \quad (88-5)$$

بنابراین،

$$M = \int_A (\sigma_{ij}^{aux} u_{i,1} + \sigma_{ij} u_{i,1}^{aux} - W^{int} \delta_{1j}) q_j dA \quad (89-5)$$

که معادل عبارت انتگرال برهم‌کنش برای مواد همگن می‌باشد و به صورت زیر نیز قابل نمایش است.

$$M = \int_A (\sigma_{ij}^{aux} u_{i,1} + \sigma_{ij} u_{i,1}^{aux} - W^{int} \delta_{1j}) q_j dA \quad (90-5)$$

بسط انتگرال فوق بصورت دو انتگرال قابل بیان است.

$$\begin{aligned} M = & \int_A (\sigma_{ij}^{aux} u_{i,1} + \sigma_{ij} u_{i,1}^{aux} - W^{int} \delta_{1j}) q_j dA + \\ & + \int_A (\sigma_{ij}^{aux} u_{i,1} + \sigma_{ij} u_{i,1}^{aux} - W^{int} \delta_{1j})_{,j} q dA \end{aligned} \quad (91-5)$$

انتگرال دوم با فرض  $A \rightarrow 0$  حذف می‌شود. با استفاده از قضیه دیورژانس می‌توان فرم کانتوری رابطه (91-5) را بصورت زیر بیان کرد.

$$M = \lim_{\Gamma_s \rightarrow 0} \oint_{\Gamma_s} (\sigma_{ij}^{aux} u_{i,1} + \sigma_{ij} u_{i,1}^{aux} - W^{int} \delta_{1j}) n_j q d\Gamma \quad (92-5)$$

با توجه به اینکه  $n_j = -n_i$  و  $m_i = n_i$  و  $m_j = n_j$  و  $q = 0$  روی مرز  $\Gamma$  برقرار است و سطوح ترک نیز عاری از تنش فرض می‌شوند، انتگرال  $M$  را می‌توان فقط روی مرز  $\Gamma$  نمایش داد.

$$M = \lim_{\Gamma_s \rightarrow 0} \oint_{\Gamma_s} \left( \frac{1}{2} (\sigma_{ik}^{aux} \varepsilon_{ik} + \sigma_{ik} \varepsilon_{ik}^{aux}) - \sigma_{ij}^{aux} u_{i,1} - \sigma_{ij} u_{i,1}^{aux} \right) n_j q dA \quad (93-5)$$

با توجه به یکسان بودن تانسور ساختاری میدانهای اصلی و کمکی در نوک ترک، رابطه (93-5) می‌شود.

$$M = \lim_{\Gamma_s \rightarrow 0} \oint_{\Gamma_s} \left( \sigma_{ik} \varepsilon_{ik}^{aux} - \sigma_{ij}^{aux} u_{i,1} - \sigma_{ij} u_{i,1}^{aux} \right) n_j d\Gamma \quad (94-5)$$

فرم کلی میدان تنش اصلی بصورت زیر است.

$$\sigma_{ij} = K_I (2\pi r)^{-1/2} f_{ij}^I(\theta) + K_{II} (2\pi r)^{-1/2} f_{ij}^{II}(\theta) + T \delta_{li} \delta_{lj} + O(r^{1/2}) \quad (95-5)$$

که در آن، توابع زاویه‌ای  $f_{ij}^I(\theta)$  و  $f_{ij}^{II}(\theta)$  در ضمیمه (ب) آورده شده‌اند. از میدان تنش فوق، فقط اثر ترم ثابت باقی می‌ماند.

$$\sigma_{ij} = T \delta_{li} \delta_{lj} \quad (96-5)$$

از طرف دیگر،

$$u_{i,1} = \varepsilon_{11}^{th} \delta_{i1} = \left( \frac{\sigma_{11}}{E_{tip}^*} + C_{tip} \alpha_{tip} \Delta \theta_{tip} \right) \delta_{i1} \quad (97-5)$$

که در آن، برای حالت کرنش صفحه‌ای  $C^{tip}=1+v^{tip}$  و برای حالت تنش صفحه‌ای  $C^{tip}=1+v^{tip}$ . وقتی کانتور  $\Gamma$  به نوک ترک میل می‌کند؛ اثر ترم‌های مرتبه بالا (مثبت) حذف می‌شود و فقط جمله شامل تنش  $T$  باقی می‌ماند. از طرف دیگر، چون انتگرال‌گیری از  $\pi - \tau \pi +$  انجام می‌گیرد؛ اثر جملات تکین نیز که شامل توابع زاویه‌ای سینوسی می‌باشد؛ صفر می‌گردد. بنابراین، از جملات میدان تنش اصلی فقط عبارت شامل تنش  $T$  در محاسبه انتگرال برهمنش باقی می‌ماند. با جایگزینی عبارت فوق در رابطه انتگرال برهمنش، می‌توان نوشت.

$$M = - \lim_{\Gamma_s \rightarrow 0} \oint_{\Gamma_s} \sigma_{ij}^{aux} u_{i,1} n_j d\Gamma = - \left( \frac{\sigma_{11}}{E_{tip}^*} + C_{tip} \alpha_{tip} \Delta \theta_{tip} \right) \lim_{\Gamma_s \rightarrow 0} \int_{\Gamma_s} \sigma_{ij}^{aux} n_j d\Gamma \quad (98-5)$$

در میدان کمکی، نیروی  $f$  موازی با سطوح ترک و به نوک ترک اعمال می‌شود. بنابراین، رابطه تعادل میدان کمکی بصورت زیر قابل بیان است.

$$f = - \lim_{\Gamma_s \rightarrow 0} \oint_{\Gamma_s} \sigma_{ij}^{aux} n_j d\Gamma \quad (99-5)$$

با جایگزینی رابطه فوق در انتگرال برهمنش (۳-۶۱)، رابطه نهایی تنش  $T$  و انتگرال  $M$  بدست می‌آید.

$$T = \frac{ME_{tip}^*}{f} + C_{tip} \alpha_{tip} \Delta \theta_{tip} E_{tip}^* \quad (100-5)$$

که در آن،  $E_{tip}^* = E_{tip} / (1 - v_{tip}^2)$  برای حالت کرنش صفحه‌ای و  $E_{tip}^* = E_{tip}$  برای حالت تنش صفحه‌ای است.

#### ۶-۵- مدلسازی ترک در هدایت گرمایی

همانطور که در بخش (۲-۵) اشاره شد؛ علاوه بر میدانهای تنش و کرنش، شار حرارتی نیز در نوک ترک تکین است و باید در مدلسازی عددی لحاظ شود. تکینی شار حرارتی برای ترکی با سطوح عایق و برای ترکی با سطوح همدما برقرار است. هرچند که توزیع زاویه‌ای دما و شار حرارتی حوزه نوک ترک در این دو حالت متفاوت است؛ مانند مدلسازی ترک در الاستیسیته، برای مدلسازی دقیقتر میدان دما از توابع غنی‌سازی زیر استفاده می‌شود [۱۳۲]. برای یک ترک با سطوح همدما تابع غنی‌سازی میدان دما بصورت زیر است.

$$p_{enr}^{th} = \sqrt{r} \cos\left(\frac{\theta}{2}\right) \quad (98-5)$$

برای ترک عایق، تابع غنی‌سازی زیر استفاده می‌شود.

$$p_{enr}^{th} = \sqrt{r} \sin\left(\frac{\theta}{2}\right) \quad (99-5)$$

با توجه به خصوصیت بازتولید تابع شکل MLS و شرایط شوک حرارتی، هر دو تابع فوق در غنی‌سازی میدان دما بکار می‌روند.

#### ۷-۵- مدلهای میکرومکانیک توسعه یافته برای FGM

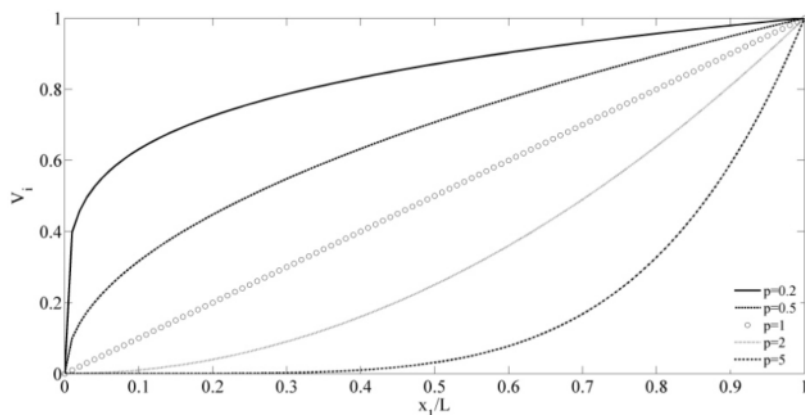
با وجود اینکه کسر حجمی اجزای تشکیل دهنده FGM در محدوده وسیعی (بین صفر و یک) تغییر می‌کند؛ خصوصیات فیزیکی مؤثر این مواد را می‌توان با استفاده از مدلهای میکرومکانیک پیش-

بینی نمود. البته برای کاربرد خصوصیات حاصل شده در مسایل مکانیک شکست نیاز به فرآیندهای مشتق‌گیری عددی می‌باشد.

در FGM دو فازی، معمولاً فرض می‌شود؛ کسر حجمی اجزای تشکیل‌دهنده مطابق یک تابع توانی تغییر می‌کند.

$$V_i = (x_1/L)^p \quad (100-5)$$

که در آن، اندیس آ نشان‌دهنده جزء اضافه شده<sup>۱</sup> است و پارامتر L نیز طول منطقه گرادیان ماده را مشخص می‌کند. طبق رابطه  $x=0$  معادل فاز ماتریس خالص و  $x=L$  معادل فاز اضافه شده خالص است. همچنین p پارامتر تعیین پروفیل گرادیان می‌باشد. شکل (۵-۵) تغییرات کسر حجمی فاز اضافه شده را برای مقادیر مختلف توان p نشان می‌دهد.



شکل ۵-۵- تغییرات کسر حجمی فاز اضافه شده بر حسب توان p

توان p پروفیل کسر حجمی را کنترل می‌کند. برای مثال، مقدار بهینه p برای TiC/Ni بین ۰/۵ تا ۰/۷ گزارش شده است [۱۳۳]. البته در مواردی نیز کسر حجمی اجزای تشکیل‌دهنده ماده با یک تابع مشخص پیوسته و صریح مثل تابع نمایی تغییر می‌کند. به همین خاطر، معمولاً خصوصیات

<sup>۱</sup> - inclusion

فیزیکی ماده با فرض کسر حجمی گستته محاسبه می‌شوند که منجر به کاربرد مشتق‌گیری عددی برای محاسبه مشتق خصوصیات فیزیکی مذکور نیز می‌گردد.

#### ۸-۵- مدل‌های میکرومکانیک انتخابی

مدل‌های میکرومکانیک مختلفی برای پیش‌بینی خصوصیات فیزیکی مؤثر در FGM بکار گرفته شده‌اند که هم بر اساس رهیافت کلاسیک [۱۳۴] و هم بر اساس رهیافتهای دیگر [۱۳۵] توسعه یافته‌اند. البته فرض اصلی در کاربرد مدل‌های میکرومکانیک کلاسیک برای محاسبه خصوصیات مؤثر در FGM مواد مرکب، وجود المان حجمی نمونه<sup>۱</sup> (RVE) است. اما مبنای تئوری کاربرد این مدلها برای RVE دقیقاً مشخص نیست! در FGM خصوصیات فیزیکی بطور پیوسته تغییر می‌کند؛ بنابر این مفهوم برای یک پیوستار FGM، یکتا نیست. در میان مدل‌های مرسوم برای مواد مرکب، مدل‌های موری-تاناکا و خودسازگار قابلیت تخمین خصوصیات مؤثر FGM را با دقت قابل قبولی دارند. بنابراین، در این بخش، از مدل موری-تاناکا، مدل سه‌فازی -که تعمیم‌یافته مدل خودسازگار است و کرانهای هاشین- اشتريکمن -تخمین واقعی از مدول الاستیستیه مواد مرکب بدست می‌دهد- استفاده شده است. توضیح مختصری راجع به این روشها و روابط کلی آنها در ضمیمه (الف) آورده شده است.

#### ۸-۵-۱- کران‌های هاشین- اشتريکمن

هاشین و اشتريکمن، کران‌های بالا و پایین مدول الاستیک مؤثر مواد چند فازی را بدست آورده‌اند که از چند فاز همگن تشکیل شده‌اند [۱۳۶]. نتایج فوق با کاربرد اصول تغییراتی برای الاستیستیه همگن و غیرهمگن حاصل شده است.

برای مواد دو فازی، کران‌های مدول حجمی و مدول برشی بصورت زیر ارائه شده است.

---

<sup>۱</sup> - Representative Volume Element

$$\mu_i^e = \mu_i + V_j \left/ \left( \frac{1}{(\kappa_j - \kappa_i)} + \frac{6(\kappa_i + 2\mu_i)V_i}{5\mu_i(3\kappa_i + 4\mu_i)} \right) \right. \quad (101-5)$$

$$\kappa_i^e = \kappa_i + V_j \left/ \left( \frac{1}{(\kappa_j - \kappa_i)} + \frac{3V_i}{(3\kappa_i + 4\mu_i)} \right) \right., \quad i \neq j \quad (102-5)$$

که در آن، اندیس  $e$  مربوط به کمیت مؤثر،  $V_i$  کسر حجمی فاز  $i$ ،  $\mu_i$  مدول برشی فاز  $i$ ،  $\kappa_i$  مدول حجمی فاز  $i$  است. بعلاوه  $\mu_2^e > \kappa_1^e$  و  $\mu_1^e > \kappa_2^e$

### ۲-۸-۵- مدل سه‌فاز

مدل سه‌فاز، حاصل تعمیم مدل خودسازگار [۱۳۷] است و بهمین دلیل مدل خود سازگار

تعمیم یافته<sup>۱</sup> نیز نامیده می‌شود. در این مدل، فرض می‌شود؛ ذره در یک محیط بینهایت با خصوصیات نامعلوم قرار دارد. مدول برشی از حل معادله درجه دوم زیر حاصل می‌شود [۱۳۸].

$$A(\mu/\mu_1)^2 + 2B(\mu/\mu_1) + C = 0 \quad (103-5)$$

که در آن، ثابت‌های  $A$ ،  $B$  و  $C$  بر حسب خصوصیات فازهای ذره اضافه شده  $(\mu_1, v_1)$  و ماتریس  $(\mu_2, v_2)$  بیان می‌شود. مدول حجمی مؤثر نیز با استفاده از رابطه زیر بدست می‌آید.

$$\kappa = \kappa_1 + V_2 \left/ \left( \frac{V_2(\kappa_2 - \kappa_1)}{\left( 1 + V_1 \left( \frac{(\kappa_2 - \kappa_1)}{\kappa_1} + 4\mu_1/3 \right) \right)} \right) \right. \quad (104-5)$$

### ۳-۸-۵- مدل موری-تاناکا

<sup>۱</sup> - generalized self-consistent

در مدل موری-تاناکا نیز مانند روش خودسازگار، میدانهای میانگین محلی تنش و کرنش مربوط به اجزای تشکیل‌دهنده ماده مرکب برای تخمین خصوصیات مؤثر ماده بکار می‌رود. ایده اصلی این مدل کاملاً ریاضی است و برای منظور کردن بر هم کنش ذرات نیز قابل توسعه است. نتایج کاربرد مدل موری-تاناکا با در نظر گرفتن ذرات کروی و بدون برهم کنش بصورت زیر است [۱۳۹].

$$\mu = \mu_1 + V_2(\mu_2 - \mu_1) \left/ \left( 1 + V_1 \left( \frac{\mu_2 - \mu_1}{\mu_1 + \frac{\mu_1(9\kappa_1 + 8\mu_1)}{6(\kappa_1 + 2\mu_1)}} \right) \right) \right. \quad (10.5-5)$$

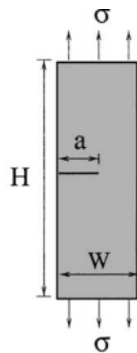
$$\kappa = \kappa_1 + V_2(\kappa_2 - \kappa_1) \left/ \left( 1 + V_1 \left( \frac{\kappa_2 - \kappa_1}{\kappa_1 + \frac{4\mu_1}{3}} \right) \right) \right. \quad (10.6-5)$$

### ۹-۵- مثالهای عددی

روش بدونالمان گلرکین برای ارزیابی ضرایب شدت تنش و تنش  $T$  در صفحات حاوی ترک و تحت بار مکانیکی یا حرارتی در چند مثال بکار گرفته شده است. در مثالهای شامل FGM، تغییر خصوصیات فیزیکی مطابق یک تابع پیوسته و یا یک مدل میکرومکانیک فرض می‌شود. برای مدلسازی ترک از هر دو روش پراش بهمراه غنی‌سازی کامل پایه‌ها و روش مبتنی بر LSM استفاده می‌شود.

### ۱۰-۷- صفحه همگن تحت بار کششی

صفحه‌ای از FGM بطول ۸ واحد و عرض ۱ واحد شامل یک ترک لبه‌ای بطول  $a$  در نظر گرفته می‌شود. ترک وسط صفحه و عمود بر لبه آن است. بارگذاری مکانیکی بصورت تنش کششی ثابت اعمال می‌گردد. هندسه و بارگذاری مذکور در شکل (۱۰-۵) نشان داده شده است.



شکل ۵-۵- هندسه و بارگذاری صفحه ایزوتروپیک حاوی ترک لبه‌ای

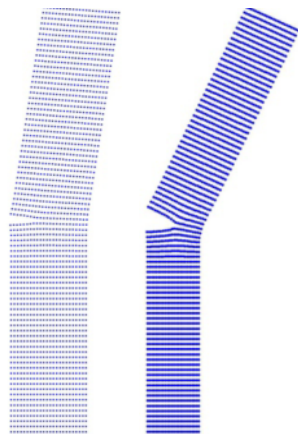
نتایج حاصل با نتایج منتشر شده در مراجع مختلف در جدول (۲-۵) مقایسه شده است. ضرایب شدت تنش مود ۱ و تنش T با استفاده از انتگرال برهم کنش محاسبه شده‌اند. نتایج برای حالت کرنش صفحه‌ای و مقادیر  $H/W=8$  و  $W=1$  و با کاربرد روش LSM بدست آمده‌اند.

جدول ۲-۵- مقایسه نتایج صفحه ایزوتروپیک با مقادیر گزارش شده

	$K_I / \sqrt{\pi a}$	$T/\sigma$	$B = T\sqrt{\pi a} / K_I$
$a/W=0.3$			
نتایج محاسبه شده	۱/۶۰۷۱	-۰/۶۱۲۹	-۰/۳۸۱۳
Sutradhar & Paulino [102]	۱/۶۵۹۷	-۰/۶۱۰۵	-۰/۳۶۷۹
Fett [140]	-	-۰/۶۱۴۱	-۰/۳۶۶۴
Sham [141]	۱/۶۵۷۰	-۰/۶۱۴۲	-۰/۳۶۰۷
$a/W=0.5$			
نتایج محاسبه شده	۲/۶۷۸۸	-۰/۳۸۹۵	-۰/۱۴۵۴
Sutradhar & Paulino [102]	۲/۸۲۴۱	-۰/۴۱۸۴	-۰/۱۴۸۱
Fett [140]	-	-۰/۴۱۸۲	-۰/۱۴۸۱
Sham [141]	۲/۸۲۱۰	-۰/۴۳۱۴	-۰/۱۵۲۹

در شکل (۶-۵) تغییرشکل صفحات حاوی ترک با طولهای مختلف تحت کشش یکنواخت نشان

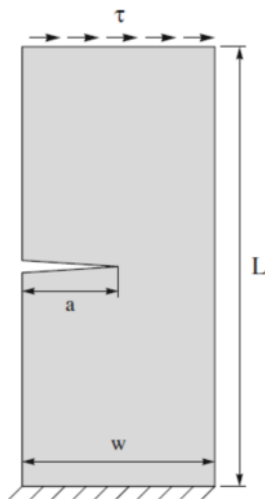
داده شده است.



شکل ۶-۵- صفحه ایزوتروپیک تغییرشکل یافته تحت کشش یکنواخت. راست:  $a/W=0.5$  چپ:  $a/W=0.3$

## ۲-۷-۵- صفحه همگن تحت بار برشی

صفحه‌ای شامل یک ترک لبه‌ای و عمود بر لبه در نظر گرفته شده است. لبه پایینی صفحه به زمین متصل و ثابت شده است. همچنین، لبه بالایی تحت بار برشی یکنواخت  $\tau = 1 \text{ unit}$  قرار دارد. طول صفحه  $L = 16 \text{ units}$ ، عرض آن  $W = 7 \text{ units}$  و طول ترک  $a = W/2 = 3.5 \text{ units}$  در نظر گرفته شده است. در شکل (۷-۵) هندسه و بارگذاری صفحه نشان داده شده است. علاوه بر این، مساله در حالت کرنش صفحه‌ای و با در نظر گرفتن  $E = 3 \times 10^7 \text{ units}$  و  $v = 0.25$  حل شده است.



شکل ۷-۵- هندسه و بارگذاری صفحه همگن تحت برش.

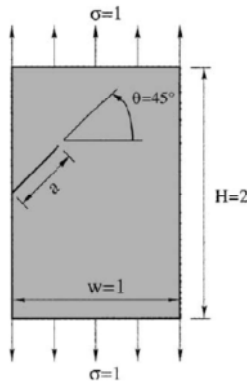
مقادیر ضریب شدت تنش مود  $\alpha$ ، تنش  $T$  و پارامتر  $B$  برای گرهبندیهای مختلف در جدول (۳-۵) آمده است.

جدول ۳-۵- نتایج ضریب شدت تنش و تنش  $T$  در یک صفحه ایزوتropیک تحت برش

	$K_I / \sqrt{\pi a}$	$T/\tau$	$B = T\sqrt{\pi a} / K_I$
نتایج (گرهبندی $40 \times 40$ )	۱۰/۰۴۶۶	۳/۱۹۸۵	۰/۳۱۸۴
نتایج (گرهبندی $36 \times 36$ )	۹/۹۷۸۶	۳/۱۳۸۲	۰/۳۱۴۵

### ۳-۷-۵- صفحه‌ای از FGM حاوی یک ترک زاویه‌دار تحت بار مکانیکی

یک ترک مایل در یک پیوستار الاستیک دو بعدی، شرایط بارگذاری مختلط را مهیا می‌کند. در شکل (۸-۵) یک صفحه محدود حاوی یک ترک مایل را نشان می‌دهد.



شکل ۸-۵- هندسه و بارگذاری صفحه محدود FGM حاوی یک ترک مایل

بار اعمالی در راستای عمودی و به لبه بالایی بصورت کشش یکنواخت اعمال می‌گردد. شرایط مرزی تغییرمکان به لبه پایینی اعمال می‌شود. بطوريکه برای تمام گره‌ها روی این لبه تغییرمکان عمودی صفر است. علاوه بر این، تغییرمکان افقی گره سمت راست نیز صفر است. مدول الاستیسیته بطور نمایی تغییر می‌کند. بطوريکه  $E(0)=1$ . ضریب پواسون نیز ثابت فرض می‌شود. داده‌های دیگر

بصورت زیر است:

$$\text{حالات تنفس صفحه‌ای، } v = 0.3 \quad \text{و} \quad \frac{L}{W} = 2, \quad \frac{a}{W} = 0.4\sqrt{2}$$

جدول ۴-۵- مقایسه نتایج صفحه ایزوتروپیک حاوی یک ترک مایل با مقادیر گزارش شده

نتایج محاسبه شده	$K_I / \sqrt{\pi a}$	T stress	$B = T \sqrt{\pi a} / K_I$
	۱/۴۲۵۷	۰/۷۸۱۸	۰/۵۴۸۴
روش المان مرزی (سوترادهار و پائولینو [۱۰۲])	۱/۴۴۶	۰/۷۷۵	-
روش انتگرال $\mathbb{I}$ (کیم و پائولینو [۱۰۳])	۱/۴۵۱	۰/۷۸۷	-
روش انتگرال M در FEM (کیم و پائولینو [۱۰۴])	۱/۴۴۶	۰/۷۶۴	-

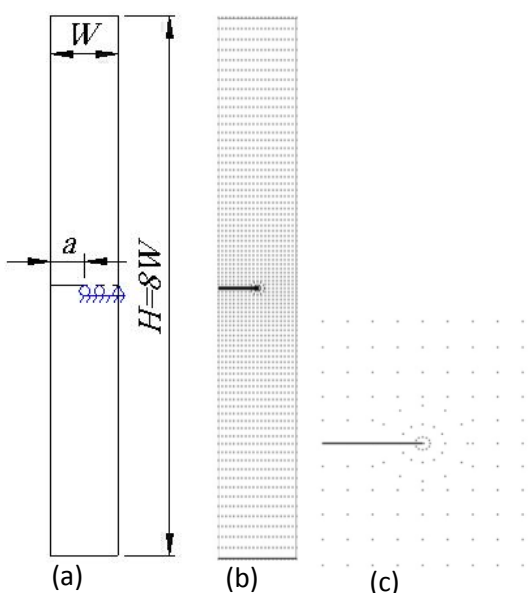
در جدول (۵) پارامترهای شکست برای تغییر نمایی مدول الاستیسیته و دو فرمولبندی نامتعادل و غیرسازگار باهم مقایسه شده است.

جدول ۵-۵- نتایج ضرایب شدت تنش برای FGP حاوی یک ترک مایل با تغییر نمایی مدول الاستیسیته

روش	$K_I / \sqrt{\pi a}$	T stress	$B = T \sqrt{\pi a} / K_I$
$E(W)/E(0)=0.5$	فرمولیندی نامتعادل	۱/۵۱۸۶	۰/۸۴۸۶
	فرمولیندی غیرسازگار	۱/۵۰۸۱	۰/۷۹۴۷
$E(W)/E(0)=2$	فرمولیندی نامتعادل	۱/۳۲۴۰	۰/۷۴۶۰
	فرمولیندی غیرسازگار	۱/۳۴۰۵	۰/۷۵۳۷

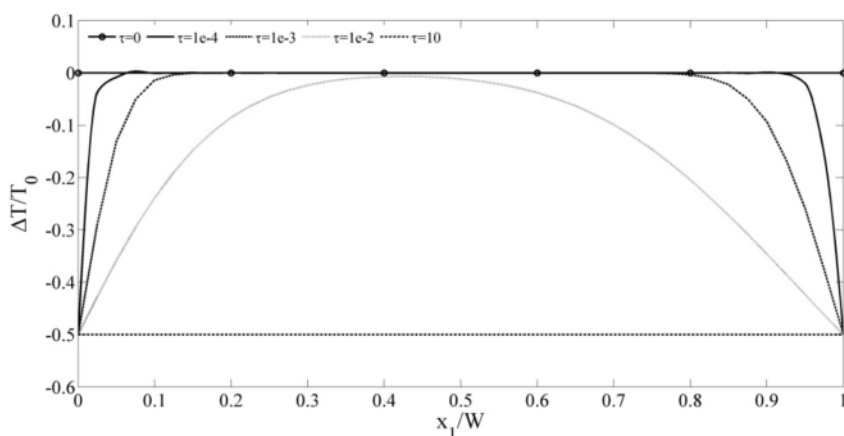
#### ۴-۷-۵- صفحه FGM با ترک لبه‌ای و خصوصیات نمایی تحت شوک حرارتی

یک صفحه از مواد مرکب هدفمند شامل ترک لبه‌ای به طول  $a$  مطابق شکل (۹-۵) در نظر گرفته می‌شود. در شکل (۹-۵ وسط) گرهبندی کامل ناحیه حل نمایش داده شده است که شامل ۱۶۹۵ گره منظم و ۴۰ گره ستاره‌ای می‌شود. گرهبندی ستاره‌ای نوک ترک در شکل (۹-۵ چپ) آمده است.



شکل ۹-۵- نمای کلی از FGP حاوی ترک عمود بر لبه. (a): هندسه صفحه تحت بارگذاری. (b): گرهبندی کل ناحیه. (c): گرهبندی نوک ترک.

در ابتدا صفحه در دمای ساخت و بدون تنش  $T_0$  قرار دارد که شرایط مرزی دمایی به سطوح اعمال می‌گردد. سطوح دیگر از جمله سطوح ترک عایق فرض می‌شوند. شوک حرارتی بصورت کاهش ناگهانی دمای سطوح جانبی صفحه از دمای مرجع تا دمای  $T(x_1=0)=0.5$  و  $T(x_1=W)=0.5$  اعمال می‌شود. توزیع دمای گذرا در صفحه بر حسب زمان نرمالیزه شده در شکل (۱۰-۵) رسم شده است.



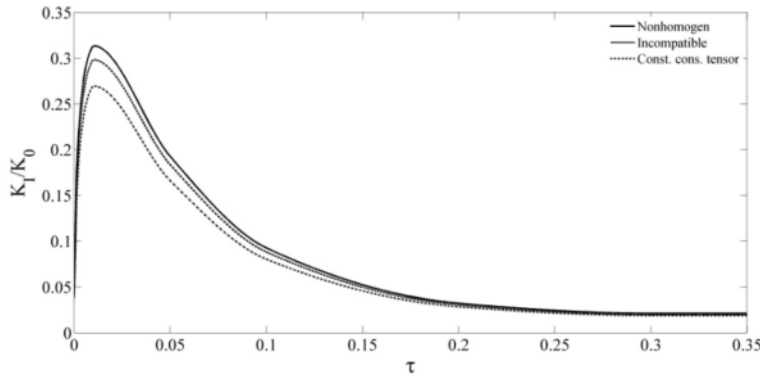
شکل ۱۰-۵- توزیع دمای گذرا در صفحه FGM بر حسب زمان نرمالیزه شده

مقادیر ضریب شدت تنش و تنش  $T$  برای حالت پایا و طول ترک  $a/W=0.5$  در جدول (۹-۵) با مقادیر گزارش شده توسط کیسی و کیم [۱۰۷]، مقایسه گردیده است. نتایج کیسی و کیم با تحلیل دو بعدی- با استفاده از نرم افزار FRANC2D- و تحلیل سه بعدی- با استفاده از کد شخصی در نرم افزار MATLAB- بدست آمده است. البته نتایج مذکور با صرف نظر از اثر ترک روی میدان دما بدست آمده است [۱۰۷].

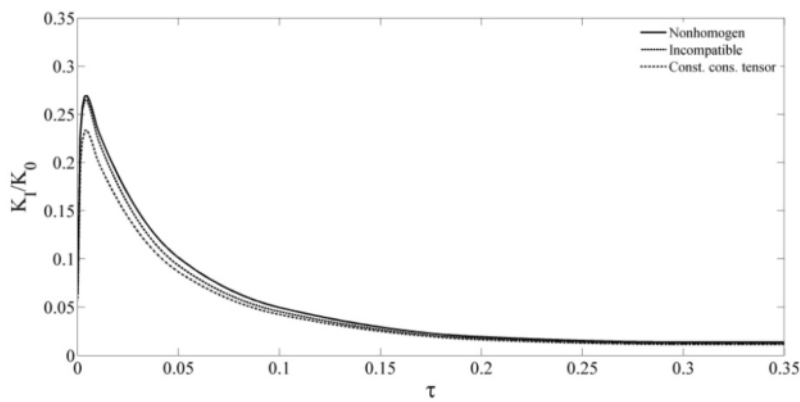
جدول ۵-۶- مقایسه نتایج ضرایب شدت تنش و تنش  $T$  برای FGP حاوی یک ترک عمود بر لبه با تغییر نمایی مدول الاستیسیته

روش	$K_I / K_0$	$T$ stress	$B = T\sqrt{\pi a} / K_I$
نتایج محاسبه شده			
فرمولیندی نامتعادل	۰/۰ ۱۲۵	۰/۰ ۵۹۳	۳/۳۱۶۶
کرنش صفحه‌ای	فرمولیندی غیرسازگار	۰/۰ ۱۱۳	۳/۷۸۹۲
	فرمولیندی تانسور ثابت	۰/۰ ۱۰۷	۳/۶۹۰۱
فرمولیندی نامتعادل			
تنش صفحه‌ای	فرمولیندی غیرسازگار	۰/۰ ۰۷۸	۴/۲۲۸۴
	فرمولیندی تانسور ثابت	۰/۰ ۰۸۰	۳/۶۳۸۲
نتایج گزارش شده			
کرنش صفحه‌ای	FRANC2D	۰/۰ ۱۲۸	۳/۶۶
	FEA 3D	۰/۰ ۱۲۹	۳/۲۵
تنش صفحه‌ای	FRANC2D	۰/۰ ۰۹۰	۳/۵۸
	FEA 3D	-	-

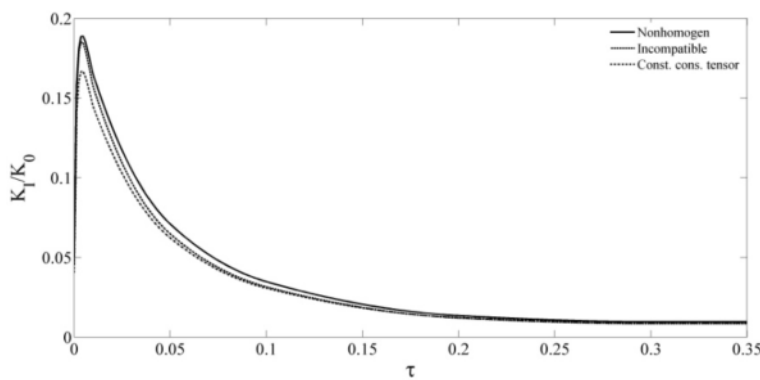
تغییرات زمانی ضریب شدت تنش مود ۱ برای طولهای مختلف ترک در شکلهای (۱۱-۵) تا (۱۳) نشان داده شده است که با کاربرد فرمولیندیهای نامتعادل، غیرسازگار و تانسور تنش ثابت انتگرال برهمن کنش برای حالت کرنش و تنش صفحه‌ای بدست آمده‌اند. اختلاف ضریب شدت تنش محاسبه شده با فرمولیندیهای فوق در نزدیکی مقدار بیشینه بیشتر از زمانهای دیگر است. بطوریکه این مقدار برای فرمولیندی تانسور تنش ثابت کمتر از مقادیر متناظر فرمولیندیهای نامتعادل و غیرسازگار است. ولی در حالت پایا مقادیر ضریب شدت تنش به یک مقدار همگرا می‌شود. البته مقدار پایایی ضریب شدت تنش برای فرمولیندی نامتعادل نزدیکتر به مقادیر گزارش شده است.



شکل ۱۱-۵- تغییرات زمانی ضریب شدت تنش مود ۱ برای فرمولبندیهای مختلف انتگرال برهم کنش، حالت تنش صفحه‌ای و  $a/W=0.2$

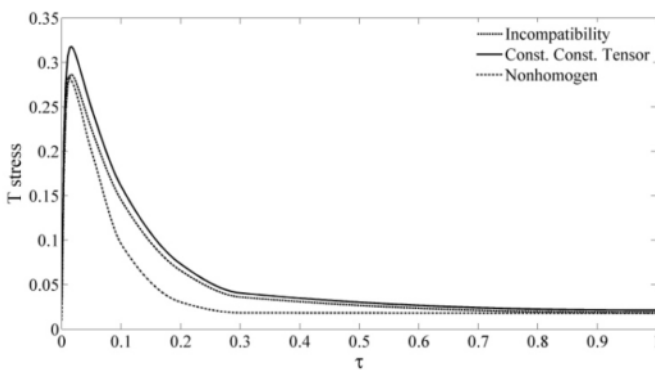


شکل ۱۲-۵- تغییرات زمانی ضریب شدت تنش مود ۱ برای فرمولبندیهای مختلف انتگرال برهم کنش، حالت کرنش صفحه‌ای و  $a/W=0.5$



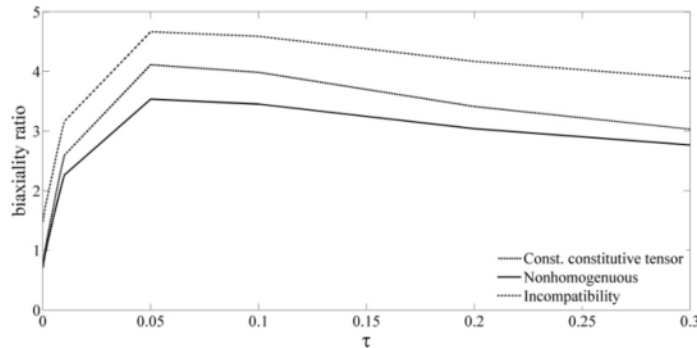
شکل ۱۳-۵- تغییرات زمانی ضریب شدت تنش مود ۱ برای فرمولبندیهای مختلف انتگرال برهم کنش، حالت تنش صفحه‌ای و  $a/W=0.5$

تغییرات تنش  $T$  نسبت به زمان در شکل (۱۴-۵) آمده است. مطابق این نتایج، در ابتداء مقدار تنش  $T$  تا یک مقدار بیشینه افزایش یافته و سپس به سرعت تا مقدار حالت پایا کاهش می‌یابد. تغییرات زمانی تنش  $T$  مشابه تغییرات ضریب شدت تنش مود ۱ است. روند تغییرات تنش  $T$  شبیه ضریب شدت تنش است. اما زمان رسیدن به مقدار بیشینه آنها با هم متفاوت است. مطابق این نتایج، اگر رشد ترک در مقادیر نزدیک به بیشینه ضریب شدت تنش اتفاق بیفتد؛ تنش  $T$  روی زاویه رشد و حتی پایداری آن اثر بیشتری خواهد داشت.



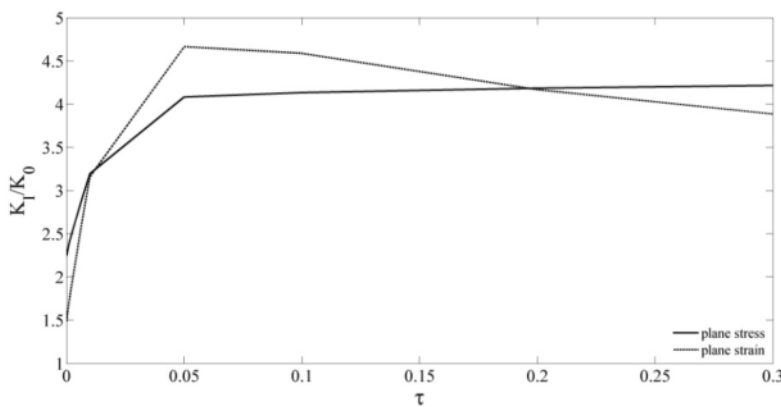
شکل ۱۴-۵ - تغییرات زمانی تنش  $T$  برای فرمولبندیهای مختلف انтگرال برهم کنش، حالت کرنش صفحه‌ای و  $a/W=0.3$

تغییرات پارامتر  $B$  نسبت به زمان برای طول ترک  $a/W=0.3$  و حالت کرنش صفحه‌ای در شکل (۱۵-۵) نشان داده شده است. مطابق این نتایج، با شروع اعمال شوک حرارتی مقدار پارامتر  $B$  تا یک مقدار بیشینه افزایش یافته و سپس بتدريج به مقدار حالت پایا می‌رسد. تغییرات زمانی پارامتر  $B$ ، نسبت نرخ تغییرات تنش  $T$  نسبت به نرخ تغییرات ضریب شدت تنش را نشان می‌دهد. طبق این نتایج، در ابتدای اعمال شوک حرارتی مقدار تنش  $T$  در مقایسه با ضریب شدت تنش کوچک است. ولی نرخ رشد آن بسیار بیشتر از ضریب شدت تنش است و با گذشت زمان، اندازه تنش  $T$  بیشتر از اندازه ضریب شدت تنش می‌باشد.



شکل ۱۵-۵- تغییرات زمانی پارامتر B برای فرمولبندیهای مختلف انتگرال برهم کنش، حالت کرنش صفحه‌ای و  $a/W=0.3$

تغییرات زمانی پارامتر B برای حالت‌های کرنش صفحه‌ای و تنش صفحه‌ای در شکل (۱۶-۵) نشان داده شده است. مقادیر برای طول ترک  $a/W=0.3$  و فرمولبندی غیرسازگار بدست آمده‌اند. طبق این نتایج، علاوه بر مقدار پارامتر B، روند تغییرات پارامتر مذکور نیز برای هر دو حالت تنش بهم نزدیک است. با توجه به کمتر بودن مقدار ضریب شدت تنش برای حالت تنش صفحه‌ای، نزدیک بودن مقدار پارامتر B برای دو حالت نشان می‌دهد مقدار تنش T برای حالت تنش صفحه‌ای نیز بهمان نسبت کمتر از حالت کرنش صفحه‌ای است.



شکل ۱۶-۵- تغییرات زمانی پارامتر B برای حالت‌های تنش و کرنش صفحه‌ای، فرمولبندیهای غیرسازگار و  $a/W=0.3$

## ۵-۷-۵- صفحه‌ای از FGM حاوی یک ترک زاویه‌دار تحت شوک حرارتی

در این مثال، یک صفحه از FGM که مطابق شکل (۸-۵) حاوی یک ترک مایل است؛ تحت شوک حرارتی قرار می‌گیرد. در ابتدا صفحه در دمای ساخت و بدون تنش  $T_0$  قرار دارد و شوک حرارتی بصورت کاهش دمای لبه‌های راست و چپ صفحه تا دماهای ثابت  $T(x_1=0)=0.5$  و  $T(x_1=W)=0.2$  اعمال می‌شود. برای یک صفحه همگن با خصوصیات زیر و برای حالت کرنش صفحه‌ای، مقادیر پارامترهای شکست در جدول (۷-۵) آمده است.

$$E = 1e3, \nu = 0.3,$$

$$\alpha = 0.01,$$

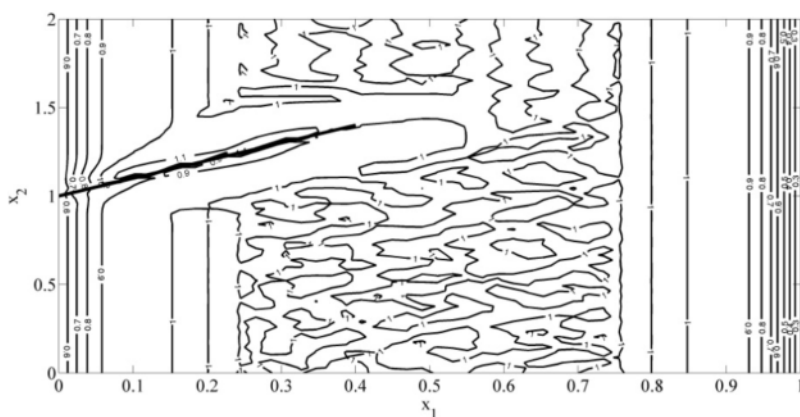
$$k = 1, \rho c = 1.$$

جدول ۷-۵- پارامترهای شکست برای صفحه همگن حاوی ترک مایل تحت شوک حرارتی

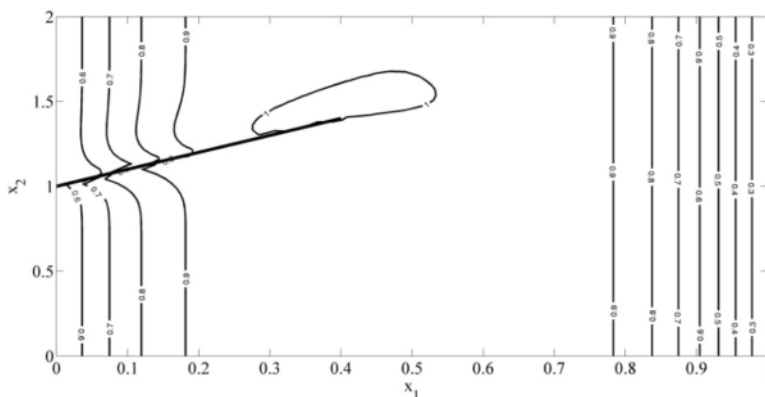
زمان نرمالیزه	فرمولیندی نامتعادل				فرمولیندی غیرسازگار			
	$K_I$	$K_{II}$	$T$ stress	B	$K_I$	$K_{II}$	$T$ stress	B
$10^{-4}$	۰/۰۷۷۷	-۰/۰۷۳۱	۱/۲۱۷۳	۸/۲۲۰۸	۰/۰۷۷۷	-۰/۰۷۳۱	۱/۲۱۵۸	۸/۲۱۰۳
$10^{-3}$	۰/۱۹۰۹	۰/۰۰۱۴	۱/۰۴۷۹	۲/۸۷۹۴	۰/۱۹۰۹	۰/۰۰۱۴	۱/۰۴۷۰	۲/۸۷۷۰
$10^{-2}$	۰/۴۲۸۶	۰/۰۸۷۲	۱/۹۵۰۶	۲/۳۸۶۹	۰/۴۲۸۶	۰/۰۸۷۲	۱/۹۴۸۶	۲/۳۸۴۶
$10^{-1}$	۰/۲۴۴۵	۰/۰۸۱۸	۰/۵۶۷۱	۱/۲۱۶۷	۰/۲۴۴۵	۰/۰۸۱۸	۰/۵۶۶۲	۱/۲۱۴۹

مطابق این نتایج، روند کلی تغییرات ضرایب شدت تنش در زمانهای مندرج در جدول شبیه هم و بصورت افزایش ابتدایی و سپس کاهش است. تغییرات تنش  $T$  بصورت نوسان بین بیشینه و کمینه محلی در زمانهای مذکور است. اما پارامتر  $B$  با گذشت زمان کاهش می‌یابد. بطوریکه مقدار تنش  $T$  در زمان  $10^{-3}$  حدود ۷۵٪ مقدار آن در زمان  $10^{-4}$  است. روند تغییرات پارامتر  $B$  نشان می‌دهد نرخ رشد تنش  $T$  نسبت به نرخ رشد ضریب شدت تنش به مرور زمان کاهش می‌یابد. علاوه بر این، در لحظات

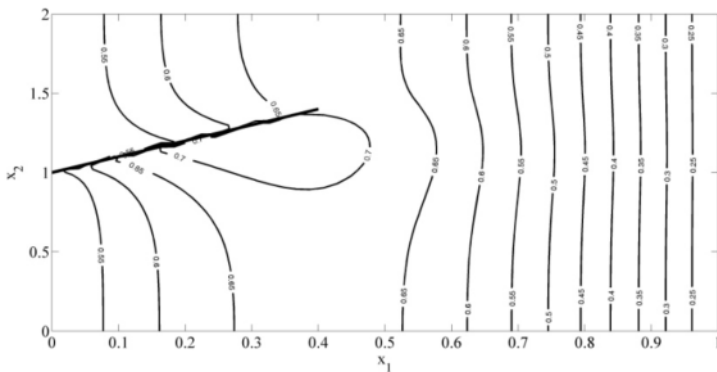
اولیه ضریب شدت تنش مود  $\parallel$  منفی است و پس از آن مثبت می‌گردد. به عبارت دیگر، جهت حرکت سطوح ترک رویهم در زمانهای ابتدایی اعمال شوک حرارتی عوض می‌شود. برای هر دو فرمولبندی، مقادیر ضرایب شدت تنش با حداقل دقت  $10^{-3}$  انطباق دارند. مقادیر تنش  $T$  نیز حداقل دقت  $10^{-2}$  را نشان می‌دهند. در شکل‌های (۱۷-۵) تا (۱۹-۵) توزیع دمای گذرا در صفحه همگن برای زمانهای نرمالیزه  $10^{-4}$  تا  $10^{-1}$  آمده است. اثر وجود ترک عایق در توزیع محلی دما در حوزه نوک ترک بخوبی مشهود است.



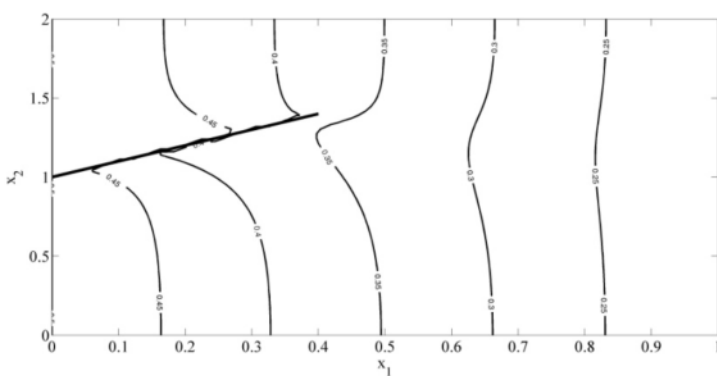
شکل ۱۷-۵- توزیع دمای گذرا در صفحه همگن در زمان نرمالیزه  $10^{-4}$  تا  $10^{-1}$



شکل ۱۸-۵- توزیع دمای گذرا در صفحه همگن در زمان نرمالیزه  $10^{-4}$  تا  $10^{-1}$



شکل ۱۹-۵- توزیع دمای گذرا در صفحه همگن در زمان نرمالیزه  $10^{-1}$



شکل ۲۰-۵- توزیع دمای گذرا در صفحه همگن در حالت پایا

با فرض تغییرات نمایی مدول الاستیسیته در صفحه FGM، تغییرات ضریب شدت تنش و تنش

$T$  در زمانهای مختلف با خصوصیات زیر و برای حالت کرش کرنش صفحه‌ای، در جدولهای (۸-۵) و (۹-۵)

آمده است. تفاوت خصوصیات فیزیکی در این دو مثال، ضریب تغییرات مدول الاستیسیته است. در

حالت اول  $K_E=2$  فرض شده است. روند کلی تغییرات پارامترهای شکست در این حالت نیز شبیه صفحه

همگن می‌باشد.

$$(E(W), E(0)) = (1, 2) \text{ } 1\text{e}3,$$

$$(\nu(W), \nu(0)) = (0.3, 0.3),$$

$$(\alpha(W), \alpha(0)) = (0.01, 0.009),$$

$$(k(W), k(0)) = (2, 1),$$

$$(\rho c(W), \rho c(0)) = (1, 1).$$

جدول ۵-۸- پارامترهای شکست برای صفحه FGM حاوی ترک مایل و تحت شوک حرارتی

زمان نرمالیزه	فرمولیندی نامتعادل				فرمولیندی غیرسازگار			
	K <sub>I</sub>	K <sub>II</sub>	T stress	B	K <sub>I</sub>	K <sub>II</sub>	T stress	B
10 <sup>-4</sup>	0/1301	-0/0536	1/4103	5/6881	0/1363	-0/0585	1/4307	5/5066
10 <sup>-3</sup>	0/3100	0/0845	1/5407	2/6068	0/3292	0/0803	1/5708	2/5026
10 <sup>-2</sup>	0/5516	0/1670	2/5397	2/4154	0/5960	0/1552	2/5983	2/2867
10 <sup>-1</sup>	0/1537	0/0285	0/0095	0/0325	0/1686	0/0245	0/0287	0/0894

در حالت دوم  $K_E=0.5$  در نظر گرفته شده است.

$$(E(W), E(0)) = (1, 0.5) 10e3,$$

$$(v(W), v(0)) = (0.3, 0.3),$$

$$(\alpha(W), \alpha(0)) = (0.01, 0.009),$$

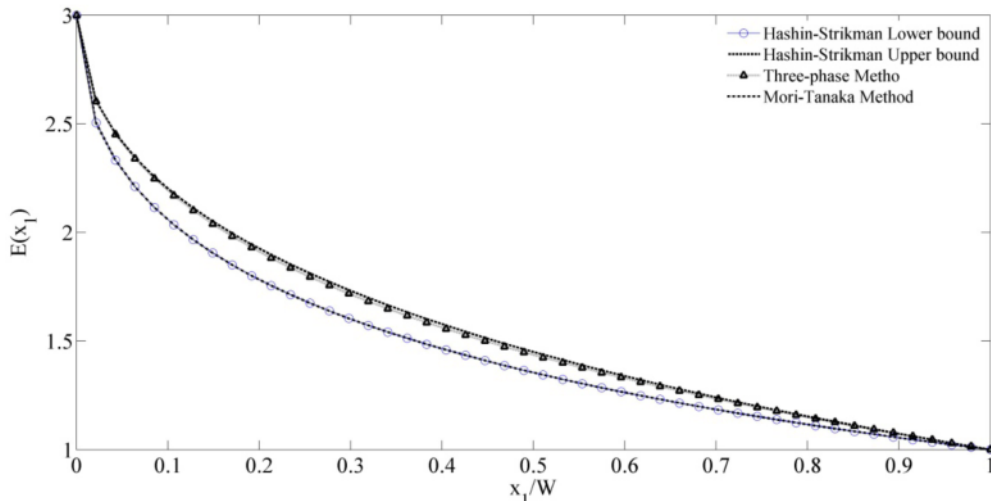
$$(k(W), k(0)) = (2, 1),$$

$$(\rho c(W), \rho c(0)) = (1, 1).$$

جدول ۵-۹- پارامترهای شکست برای صفحه FGM حاوی ترک مایل و تحت شوک حرارتی

زمان نرمالیزه	فرمولیندی نامتعادل				فرمولیندی غیرسازگار			
	K <sub>I</sub>	K <sub>II</sub>	T stress	B	K <sub>I</sub>	K <sub>II</sub>	T stress	B
10 <sup>-4</sup>	0/0611	-0/0591	0/7848	6/7367	0/0598	-0/0513	0/7785	6/8305
10 <sup>-3</sup>	0/1534	-0/0085	0/8547	2/9220	0/1470	-0/0065	0/8430	3/0077
10 <sup>-2</sup>	0/3192	0/0207	1/4908	2/4502	0/3006	0/0182	1/4570	2/5426
10 <sup>-1</sup>	0/0992	0/0044	0/0281	0/1486	0/0929	0/0032	0/0268	0/1512



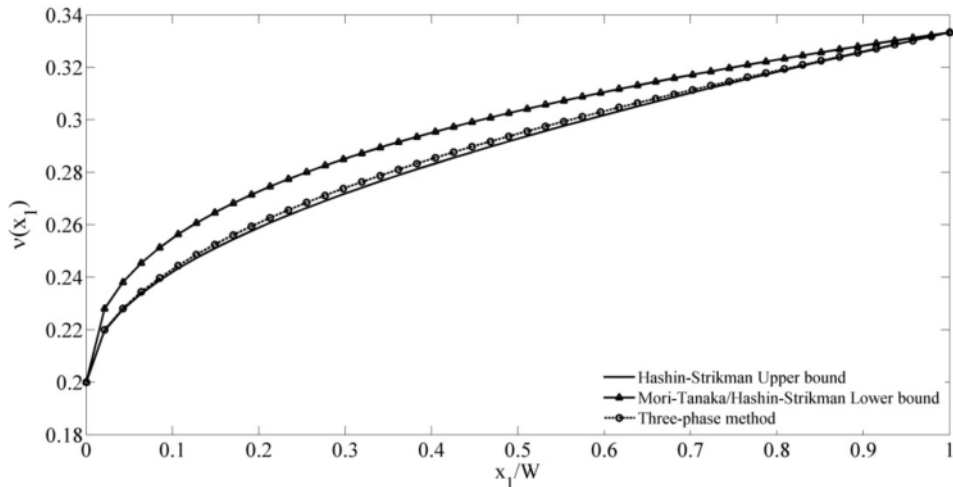


شکل ۲۱-۵- تغییرات ضریب الاستیسیته در صفحه FGM براساس مدل‌های مختلف میکرومکانیک

مطابق شکل مذکور، تغییرات ضریب الاستیسیته در کل صفحه برای مدل‌های موری-تاناکا و سه‌فاز در محدوده کرانهای بالا و پایین هاشین-اشتریکمن قرار دارد. علاوه بر این، تغییرات ضریب الاستیسیته حاصل از مدل موری-تاناکا بر کران پایین هاشین-اشتریکمن منطبق است. تغییرات ضریب پواسون نیز به کرانهای هاشین-اشتریکمن محدود می‌شود. اما در این مورد کران پایین مقادیر بیشتری را نسبت به کران بالا می‌دهد. در واقع کرانهای مذکور بعنوان حدود بالا و پایین مدول برشی و مدول حجمی تعریف شده‌اند. مدول الاستیسیته و ضریب پواسون با استفاده از روابط زیر حاصل می‌شوند.

$$E = \frac{9\mu\kappa}{\mu+3\kappa} \quad (1\cdot 7-5)$$

$$\nu = \frac{3\kappa-2\mu}{2(\mu+3\kappa)} \quad (1\cdot 8-5)$$



شکل ۲۲-۵- تغییرات ضریب پواسون در صفحه FGM براساس مدل‌های مختلف میکرومکانیک

برای این صفحه، پارامترهای شکست در جدول (۱۰-۵) آمده است. طبق نتایج زیر، مقادیر ضرایب شدت تنش و تنش  $T$  برای مدل‌های مختلف بهم نزدیک است. علت این امر، اختلاف ناچیز پروفیل مدول الاستیسیته و ضریب پواسون برای مدل‌های مختلف می‌باشد. علاوه بر این، ضریب شدت تنش مود I برای فرمولبندیهای مختلف با هم انطباق قابل قبولی دارند. اما ضریب شدت تنش مود II حدود ۵٪ و تنش  $T$  حدود ۸٪ با هم اختلاف دارند.

جدول ۵-۱- پارامترهای شکست برای صفحه FGM حاوی ترک مایل و مدل‌های میکرومکانیک

مدلهای میکرومکانیک	فرمولبندی نامتعادل				فرمولبندی غیرسازگار			
	$K_I$	$K_{II}$	$T$ stress	B	$K_I$	$K_{II}$	$T$ stress	B
هاشین-اشتریکمن کران بالا	۱/۵۳۵۵	۰/۶۵۵۱	۰/۸۵۹۹	۰/۵۶۰۰	۱/۵۲۴۲	۰/۷۰۲۳	۰/۷۸۴۹	۰/۵۱۵۰
هاشین-اشتریکمن کران پایین	۱/۵۲۶۳	۰/۶۵۰۷	۰/۸۵۰۲	۰/۵۵۷۰	۱/۵۱۴۷	۰/۶۹۵۴	۰/۷۸۲۲	۰/۵۱۶۴
موری-تاناكا	۱/۵۲۶۳	۰/۶۵۰۷	۰/۸۵۰۲	۰/۵۵۷۰	۱/۵۱۴۷	۰/۶۹۵۴	۰/۷۸۲۲	۰/۵۱۶۴
سدهفاز	۱/۵۳۴۴	۰/۶۵۴۵	۰/۸۵۸۶	۰/۵۵۹۵	۱/۵۲۲۹	۰/۷۰۱۷	۰/۷۸۳۹	۰/۵۱۴۸



## فصل ششم

نتیجه‌گیری و پیشنهادها

## ۱-۶ - مقدمه

در این پایان نامه، شکست مواد مرکب هدفمند بصورت محاسبه ضرایب شدت تنش و تنش  $T$  بررسی شده است. مسائل در حالت دو بعدی و تحت بارگذاری مکانیکی و حرارتی در نظر گرفته شده است. پارامترهای شکست نیز با کاربرد روش انتگرال برهم کنش در مسائل شامل مود مختلط و علاوه بر آن، روش انتگرال L و همبستگی تغییرمکانها در مسائل شامل مود A شکست محاسبه شده است.

مدل گسسته مسئله الاستیک/ترموالاستیک با کاربرد روش بدون المان گلرکین فقط در بعدهای مکانی حاصل شده است. مدلسازی ترک شامل فرآیند غنی‌سازی حوزه نوک ترک برای رصد مناسب تکینی میدانهای ترموالاستیک در این ناحیه و اعمال ناپیوستگی متغیر میدان در سطح ترک با روشهای مرسوم در EFG و با استفاده از مجموعه بردارهای مرتبه‌ای انجام شده است. البته در روشهای مرسوم EFG نیز از پارامترهای مجموعه بردارهای مرتبه‌ای برای اعمال روش استفاده شده است. در مسائل ترموالاستیک که بصورت خطی در نظر گرفته شده؛ معادله هدایت گرمایی گذرا بصورت نیمه-تحلیلی حل شده است. ابتدا این معادله با اعمال روش بدون المان گلرکین بصورت یک دستگاه معادلات دیفرانسیل مرتبه اول خطی در فضا در آمده است. سپس با استفاده از روش تحلیلی تجزیه مودی، حل دستگاه مذکور نسبت به زمان بدست آمده است.

محاسبه پارامترهای شکست با روشهای مختلفی انجام شده است. از روش انرژی انتگرال L و روش مستقیم همبستگی تغییرمکانها بمنظور بدست آوردن ضریب شدت تنش مود A استفاده شده است. برای محاسبه پارامترهای شکست در حالت مود مختلط نیز روش انتگرال برهم کنش برای بارگذاری حرارتی FGM توسعه یافته است که حاصل آن سه فرمولبندی مستقل از هم نامتعادل، ناسازگار و تانسور ثابت الاستیک می‌باشد. فرمولبندیهای مذکور ناشی از انتخابهای متفاوت میدانهای کمکی هستند و هر یک نسبت به انتگرال برهم کنش مواد همگن دارای دو ترم اضافی می‌باشند؛ یک ترم بخاطر گرادیان خصوصیات ماده -که شبیه آن یک ترم در انتگرال L نیز بوجود می‌آید- و ترم دیگر

بدلیل کاربرد بخشی از میدان کمکی همگن برای FGM است. البته ترمهای اضافی مذکور بطور طبیعی در جریان بدست آوردن روابط انتگرال برهم کنش ایجاد می‌شوند و برای حفظ استقلال از سطح/مسیر انتگرال برهم کنش باید در نظر گرفته شوند.

تغییر خصوصیات فیزیکی FGM هم با استفاده از توابع پیوسته مثل تابع نمایی مدل شده است و هم با استفاده از چند مدل میکرومکانیک مواد مرکب بیان شده که در مراجع مختلف برای FGM توسعه یافته‌اند. همچنین اثر تغییر خصوصیات فیزیکی، روی ضریب شدت تنش مود ۱ حرارتی برای توابع پیوسته مورد بحث قرار گرفته است.

## ۶- نتایج

- ۱- مدلسازی ترک در مواد مرکب هدفمند تحت بار حرارتی با استفاده از روش بدون المان گلرکین با گرهبندی نسبتاً درشت (نسبت به روش FEM و XFEM) منجر به نتایج با دقت قابل قبول می‌گردد.
- ۲- با کاربرد غنی‌سازی نوک ترک، روش مستقیم همبستگی تغییرمکانها نیز مانند روش‌های انرژی انتگرال ۱ و انتگرال برهم کنش برای محاسبه ضریب شدت تنش قابل استفاده می‌باشد.
- ۳- اعمال بار حرارتی گذرا بصورت شوک سرمایشی، باعث افزایش قابل توجه پارامترهای شکست می‌گردد. علی‌رغم اینکه ممکن است این پارامترها در حالت پایا صفر و یا منفی باشند. بنابراین برای سازه‌هایی که تحت بار حرارتی گذرا قرار دارند؛ تحلیل مسئله در حالت گذرا لازم است.
- ۴- گرادیان خصوصیات فیزیکی ماده بخصوص خصوصیات حرارتی روی مقادیر ضریب شدت تنش اثر قابل توجهی دارند. از این مسئله می‌توان برای طراحی FGM و یا حتی موادی که از نظر الاستیک همگن و از نظر خصوصیات حرارتی متغیر می‌باشند؛ در برابر شکست حرارتی استفاده نمود.

۵- انتگرال برهم کنش یک ابزار کارآمد برای محاسبه ضرایب شدت تنش و تنش  $T$  می‌باشد.

بطوریکه در حالت مود ۱ شکست، نتایج حاصل از انتگرال برهم کنش دقیق‌تری نسبت به نتایج انتگرال ۱ دارند (با کاربرد میدان اصلی مود ۱ عنوان میدان کمکی، انتگرال برهم کنش تبدیل به انتگرال ۱ می‌گردد).

۶- با توجه به بزرگ‌تر بودن تنش  $T$  در FGM نسبت به مواد همگن، منظور نمودن آن در تحلیل ترک مثل محاسبه زاویه رشد ترک اهمیت بیشتری دارد.

۷- نتایج محاسبه ضرایب شدت تنش و تنش  $T$  نشان می‌دهد؛ دقیق ضرایب شدت تنش محاسبه شده با فرمول‌بندی‌های مختلف بیشتر از دقیق تنش  $T$  است.

### ۳-۶- پیشنهادات

۱- در حوزه ترموموادسیک خطی می‌توان اثر ترم اینرسی را روی پارامترهای شکست محاسبه نمود. حل معادله الاستودینامیک با روش تجزیه مودی بسادگی امکان‌پذیر است. برای ترکهای ساکن، نیز انتگرال برهم کنش شامل یک ترم اضافی می‌باشد.

۲- روش مورد استفاده بمنظور توسعه انتگرال برهم کنش برای بارگذاری حرارتی FGM برای مواد پیزوالکتریک<sup>۱</sup>، مگنتوالکتروالاستیک<sup>۲</sup> و فروالکتریک<sup>۳</sup> و بطور کلی برهم کنش میدانهای خطی و همچنین برای حالت‌های ساده شکست الاستیک-پلاستیک نیز قابل توسعه می‌باشد.

۳- رشد ترک در FGM با محاسبه ضرایب شدت تنش و تنش  $T$  با استفاده از قوانین تعمیم یافته رشد ترک در FGM (شامل تنش  $T$ ) امکان‌پذیر است.

---

<sup>1</sup> - piezoelectric

<sup>2</sup> - magnetoelectroelastic

<sup>3</sup> - ferroelectric

## ضمائن

## ضمیمه الف

مروور چند مدل میکرومکانیک FGM

## ضالف-۱- مقدمه

تخمین خصوصیات مؤثر و قابل اندازه‌گیری، یکی از مباحث مورد توجه در تئوری مواد مرکب می‌باشد؛ که معمولاً بر حسب خصوصیات و کسر حجمی فازهای تشکیل‌دهنده ماده مرکب بیان می-گردد. مدل‌های تئوری میکرومکانیک متنوعی برای پیش‌بینی خصوصیات الاستیک مواد مرکب پایه-گذاری و بکار گرفته شده‌اند. در این بخش، چند مدل میکرومکانیک مواد مرکب -که توسط محققین برای FGMs بکار گرفته شده‌اند- بطور اجمالی معرفی می‌شود.

روش دیفرانسیلی<sup>۱</sup> توسط بروگمن<sup>۲</sup> معرفی شد و توسط روسکو<sup>۳</sup> تصحیح شد [۱۴۱]. ایده اصلی روش مذکور، در نظر گرفتن ماده مرکب بعنوان یک مخلوط رقیق است که ذرات اضافه‌شونده در آن روی یکدیگر کنشی ندارند. کرانهای بالا و پایین خصوصیات مؤثر یک ماده مرکب همگن توسط هشین<sup>۴</sup> و اشتريکمن<sup>۵</sup> ارائه شد [۱۳۶]. والپل<sup>۶</sup> نیز علاوه بر توسعه کاربرد روابط مذکور، آنها را تصحیح نمود [۱۴۲]. روش خودسازگار<sup>۷</sup> توسط هرشی<sup>۸</sup> معرفی شد [۱۴۳]. کرونر<sup>۹</sup> از این روش برای مدلسازی مدلسازی رفتار مواد چندکریستالی<sup>۱۰</sup> استفاده نمود. همچنین روش خودسازگار برای پیوستارهای

<sup>۱</sup> - differential method

<sup>۲</sup> - Bruggeman

<sup>۳</sup> - Roscoe

<sup>۴</sup> - Hashin

<sup>۵</sup> - Shtrikman

<sup>۶</sup> - Walpole

<sup>۷</sup> - self-consistent method

<sup>۸</sup> - Hershey

<sup>۹</sup> - kroner

<sup>۱۰</sup> - polycrystalline

چندفازی نیز توسط بودیانسکی<sup>۱</sup> [۱۴۴] و هیل<sup>۲</sup> [۱۰۹ و ۱۴۵] گسترش یافته است. مدل سه‌فازی<sup>۳</sup> فازی<sup>۴</sup> بعنوان تعمیم مدل خودسازگار توسط کریستنسن<sup>۴</sup> و لو<sup>۵</sup> فرمولیندی شده است [۱۳۷]. روش موری- تاناکا<sup>۶</sup> نیز توسط موری و تاناکا معرفی [۱۳۸] و توسط بنونیست<sup>۷</sup> بازنگری شده است. علاوه بر بر این، هوانگ<sup>۸</sup> و همکارانش مدل‌های میکرومکانیک فوق را مورد بررسی قرار داده و با هم مقایسه نموده‌اند. هوانگ و ونگ<sup>۹</sup> نیز مدل‌های فوق را برای پیوستارهای شامل ترک گسترش داده‌اند [۱۴۶].

اما موضوع مواد مرکب هدفمند متفاوت است. این مواد شامل یک یا چند فاز می‌باشند که دارای کسر حجمی متغیر (نسبت به مختصه‌های مکانی) هستند. در حوزه میکرومکانیک/ماکرومکانیک، معمولاً پاسخ یک سیستم ماکروسکوپی همگن -که از همگنسازی سیستم میکرومکانیک اصلی بدست آمده است- بحسب پارامترهای ترموالاستیک توصیف می‌شود که برای یک المان حجمی نمونه<sup>۱۰</sup> تحت میدانهای ترموالاستیک یکنواخت ارزیابی می‌گردد. اما المانهای حجمی مذکور برای سیستمهای شامل کسر حجمی متغیر و تحت میدانهای غیریکنواخت ترموالاستیک، براحتی قابل تعریف نیست.

<sup>۱</sup> - Budiansky

<sup>۲</sup> - Hill

<sup>۳</sup> - three phase model

<sup>۴</sup> - Christensen

<sup>۵</sup> - Lo

<sup>۶</sup> - Mori-Tanaka method

<sup>۷</sup> - Benveniste

<sup>۸</sup> - Huang

<sup>۹</sup> - Hwang

<sup>۱۰</sup> - Representative Volume Element

علی‌رغم مشکلات مذکور، تعدادی از روش‌هایی که برای توصیف خصوصیات ماکروسکوپی مواد مرکب همگن بنا شده‌اند؛ برای تحلیل ترمومالاستیک FGMs نیز بکار رفته‌اند! در تحلیلهای مقدماتی، رهیافت‌های مبتنی بر قانون اختلاط<sup>۱</sup> بکار گرفته شده‌اند. فوکویی<sup>۲</sup> و همکارانش [۱۴۷]، لی<sup>۳</sup> و اردگن اردگن [۱۴۸] و مارکورث<sup>۴</sup> و ساندرز<sup>۵</sup> [۱۴۹] از قانون اختلاط در سیستمهای الاستیک استفاده کردند. جیاناکوپولوس<sup>۶</sup> و همکارانش [۱۵۰] و فینات<sup>۷</sup> و سورش<sup>۸</sup> [۱۵۱] رهیافت مشابه را در سیستمهای الاستیک-پلاستیک بکار برdenد. میلر<sup>۹</sup> و لانوتی<sup>۱۰</sup> [۱۵۲] پارامترهای الاستیک و متوسط کرانه‌ای هشین-اشتریکمن را برای سیستمهایی تخمین زده‌اند که می‌توان آنها را بطور آماری همگن در نظر گرفت. البته مدل‌سازی میکرومکانیک FGMs دارای جنبه‌های مختلف و قابل بحثی است [۱۴۹]. روش‌های مرتبه بالاتر با تعمیم رهیافت سلولی<sup>۱۱</sup> [۱۳۵ و ۱۵۳] و تعمیم روش صرفاً ریاضی موری-تاناکا [۱۵۴ و ۱۵۵] در مدل‌های میکرومکانیک FGMs بکار گرفته شده‌اند. علاوه بر این، زوکر<sup>۱۲</sup> روش‌های استاندارد میکرومکانیک را بررسی کرد و با هم مقایسه نمود. ریتر<sup>۱۳</sup> و وراک<sup>۱</sup> اعتبار روش‌های

<sup>1</sup> - rule of mixture

<sup>2</sup> - Fukui

<sup>3</sup> - Lee

<sup>4</sup> - Markworth

<sup>5</sup> - Saunders

<sup>6</sup> - Giannakopoulos

<sup>7</sup> - Finot

<sup>8</sup> - Suresh

<sup>9</sup> - Miller

<sup>10</sup> - Lannutti

<sup>11</sup> - cell approach

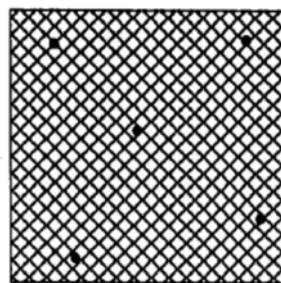
<sup>12</sup> - Zuiker

<sup>13</sup> - Reiter

میانگین‌یابی در میکرومکانیک را برای کاربرد در حوزه FGMs بررسی نمودند که تحت بارگذاری مکانیکی و حرارتی قرار گرفتند [۱۵۶ و ۱۵۷]. یین<sup>۲</sup> و همکارانش مدل‌های چندمقیاسی<sup>۳</sup> و برهمنش ذرات را ارائه نمودند که برای مواد مركب هدفمند قابل کاربرد است [۱۵۸].

### ضالف-۲- تقریب رقیق (بدون برهمنش ذرات)

در مخلوط رقیق فرض می‌شود؛ یک ذره اضافه‌شونده در یک پیوستار بی‌نهایت قرار دارد. تعبیر فیزیکی این فرض آنست که ذرات اضافه‌شونده آنقدر کوچک و فاصله آنها از یکدیگر بحدی زیاد است که هیچ کنشی روی یکدیگر ندارند. در این مورد، اندازه المان حجمی منظور شده، RVE اختیاری است.



شکل ضالف-۱- ذرات اضافه‌شده و بدون برهمنش در یک مخلوط رقیق

### مدول حجمی

برای یک ذره کروی به شعاع  $a$  که در یک پیوستار بی‌نهایت تحت فشار هیدرواستاتیک و دوردست<sup>۰</sup> قرار دارد، رابطه تعادل با خاطر وجود تقارن کروی بصورت زیر است.

$$\frac{\partial \sigma_{rr}}{\partial r} + \frac{2}{r} (\sigma_{rr} - \sigma_{\theta\theta}) = 0 \quad (\text{ضالف-۱})$$

<sup>۱</sup> - Dvorak

<sup>۲</sup> - Yin

<sup>۳</sup> - multiscale

که در آن،  $\sigma_{\theta\theta} = \sigma_{\phi\phi}$  لحاظ شده است. معادله تعادل فوق بر حسب مؤلفه‌های میدان تغییرمکان

بصورت زیر قابل نمایش است:

$$\frac{\partial^2}{\partial r^2} u_r + \frac{2}{r} \frac{\partial}{\partial r} u_r - \frac{2}{r^2} u_r = 0 \quad (\text{ضالف-۲})$$

در این رابطه،  $r$  فاصله شعاعی از مرکز کره و  $u_r$  مؤلفه شعاعی تغییرمکان است. فرم کلی حل معادله تعادل فوق بصورت زیر است.

$$u_r = Ar + \frac{B}{r^2} \quad (\text{ضالف-۳})$$

$$\varepsilon_{kk} = 3A \quad (\text{ضالف-۴})$$

با توجه به حل فوق، مؤلفه تنش شعاعی بر حسب مجموع مؤلفه‌های عمودی کرنش بصورت زیر است.

$$\sigma_{rr} = \lambda \varepsilon_{kk} + 2\mu \frac{\partial}{\partial r} u_r \quad (\text{ضالف-۵})$$

در این رابطه،  $\lambda$  و  $\mu$  ثابت‌های لامه می‌باشند. با توجه به رابطه بدست آمده، برای مؤلفه تغییرمکان شعاعی می‌توان با در نظر گرفتن ماتریس  $m$  به عنوان کره توخالی و ذره به عنوان یک کره به شعاع  $a$  روابط زیر را برای ماتریس (با اندیس  $m$ ) و ذره (با اندیس  $i$ ) بیان نمود.

$$u_r^m = Ar + \frac{B}{r^2} \quad (\text{ضالف-۶})$$

$$u_r^i = Cr$$

ثابت‌های  $A$ ,  $B$  و  $C$  با اعمال شرایط پیوستگی روی سطح ذره محاسبه می‌شوند.

$$u_r^m = u_r^i \quad \text{at } r = a \quad (\text{ضالف-۷})$$

$$\sigma_{rr}^m = \sigma_{rr}^i \quad \text{at } r = a$$

با توجه به مقادیر ثابت‌های محاسبه شده، می‌توان نوشت:

$$\frac{\varepsilon_{kk}^i}{\varepsilon_{kk}^m} = \frac{3C}{3A} = \frac{3(\lambda_m + 2\mu_m)}{3\lambda_i + 2\mu_i + 4\mu_m} \quad (\text{ضalf-7})$$

از طرفی،

$$C_{ijkl}^* \varepsilon_{kl}^0 = C_{ijkl}^m \varepsilon_{kl}^0 + c \left( C_{ijkl}^i - C_{ijkl}^m \right) \varepsilon_{kl}^i \quad (\text{ضalf-8})$$

که در آن،  $c$  کسر حجمی ذره است. در نهایت، مدول حجمی بصورت زیر قابل محاسبه است.

$$\kappa = \kappa_m + \frac{c(\kappa_i - \kappa_m)}{1 + (1 - c)(\kappa_i - \kappa_m)/\left(\kappa_m + \frac{4}{3}\mu_m\right)} \quad (\text{ضalf-9})$$

### مدول برشی

در یک پیوستار همگن تحت تغییر شکل برشی، میدان تغییرمکان در مختصات دکارتی بصورت زیر قابل نمایش است.

$$\begin{aligned} u_x &= sx \\ u_y &= -sy \\ u_z &= 0 \end{aligned} \quad (\text{ضalf-10})$$

که در آن،  $s$  بیشترین مقدار کرنش برشی است. با تبدیل مختصات، می‌توان میدان تغییرمکان را در دستگاه کروی به صورت زیر نمایش داد:

$$\begin{aligned} u_r &= sr \sin^2 \theta \cos z\phi \\ u_\theta &= sr \sin \theta \cos \theta \cos 2\phi \\ u_\phi &= -sr \sin \phi \sin 2\phi \end{aligned} \quad (\text{ضalf-11})$$

در سیستم غیرهمگن ماتریس-ذره، شکل کلی حل بصورت زیر فرض می‌شود.

$$\begin{aligned} u_r &= U_r(r) \sin^2 \theta \cos^2 \phi \\ u_\theta &= U_\theta(r) \sin \theta \cos \theta \cos^2 \theta \\ u_\phi &= U_\phi(r) \sin \theta \sin^2 \phi \end{aligned} \quad (\text{ضالف-12})$$

در این روابط  $U_r$ ,  $U_\theta$  و  $U_\phi$  توابع مجھولی از  $r$  هستند که با اعمال شرایط تعادل در مختصات کروی مشخص می‌شوند.

$$\begin{aligned} U_r^m &= B_1 r + \frac{3B_3}{r^4} - \frac{5 - 4\nu_m}{(1 - 2\nu_m)} \frac{B_4}{r^2} \\ U_\theta^m &= B_1 r - \frac{2B_3}{r^4} + \frac{2B_4}{r^2} \\ U_r^i &= A_1 r - \frac{6\nu_i}{(1 - 2\nu_i)} A_2 r^3 \\ U_\theta^i &= A_1 r - \frac{7 - 4\nu_i}{1 - 2\nu_i} A_2 r^3 \\ U_\theta + U_\phi &= 0 \end{aligned} \quad (\text{ضالف-13})$$

با اعمال شرایط پیوستگی تغییرمکان  $U$  و نیروها در فصل مشترک  $r=a$ , رابطه زیر حاصل می‌گردد.

$$\frac{\varepsilon_{12}^i}{\varepsilon_{12}^o} = \frac{15(1-\nu_m)}{(7-5\nu_m)\mu_m + 2(4-5\nu_m)\mu_i} \quad (\text{ضالف-14})$$

با توجه به رابطه (ضالف-۸) مدول برشی مؤثر بصورت زیر قابل بیان است.

$$\frac{\mu}{\mu_m} = 1 - \frac{15(1-\nu_m) \left( 1 - \frac{\mu_i}{\mu_m} \right) c_i}{(7-5\nu_m) + 2(4-5\nu_m) \frac{\mu_i}{\mu_m}} \quad (\text{ضالف-15})$$

### ضالف-۳- مدل هشین-اشتریکمن

هشین و اشتريكمون کران بالا و پایین مدول الاستیسیته را برای مواد چندفازی با هندسه فازی دلخواه و شامل فازهای همگن محاسبه نمودند [۵۳]. آنها از اصول تغییرات در الاستیسیته خطی و تغییرمکان سطحی معین استفاده کردند که خلاصه آن در زیر می‌آید.

فرض می‌شود  $\sigma_{ij}^0$  و  $\epsilon_{ij}^0$  به ترتیب میدانهای معلوم تنش و کرنش یک پیوستار الاستیک تغییرشکل یافته با حجم  $V$  و سطح  $S$  باشند. با فرض عدم وجود نیروهای کالبدی، رابطه ساختاری بصورت زیر بیان می‌شود.

$$\sigma_{ij}^0 = \lambda_0 \epsilon_{kk}^0 \delta_{ij} + 2\mu \epsilon_{ij}^0 = L_0(\epsilon_{ij}^0) \quad (\text{ضالف-16})$$

که در آن،  $\lambda_0$  و  $\mu$  به ترتیب ثابت‌های لامه می‌باشند. برای سادگی فرض می‌شود؛ مقدار آنها در تمام پیوستار ثابت است. از طرفی، با توجه به رابطه سینماتیک خطی تانسور کرنش بر حسب مؤلفه‌های میدان تغییرمکان قابل بیان می‌باشد.

$$\epsilon_{ij}^0 = \frac{1}{2} (u_{i,j}^0 + u_{j,i}^0) \quad (\text{ضالف-17})$$

حال فرض می‌شود، تمام یا قسمتی از پیوستار با ماده‌ای دارای مدولهای متفاوت  $\lambda$  و  $\mu$  جایگزین گردد. ممکن است  $\lambda$  و  $\mu$  تابع موقعیت باشند.

میدانهای مجھول تنش و کرنش در پیوستار جدید به ترتیب با  $\sigma_{ij}$  و  $\epsilon_{ij}$  نمایش داده می‌شوند. تانسور پلاریزه تنش بصورت زیر تعریف می‌شود.

$$\sigma_{ij} = L_0(\epsilon_{ij}) + p_{ij} \quad (\text{ضالف-18})$$

همچنین تعاریف زیر در مورد مؤلفه‌های میدانهای تغییرمکان و کرنش در نظر گرفته می‌شود.

$$u'_i = u_i - u_i^0 \quad (\text{ضالف-19})$$

$$\varepsilon'_i = \varepsilon_i - \varepsilon_i^0 \quad (\text{ضالف-}20)$$

اگر پارامترهای  $\varepsilon'_{ij}$  و  $p_{ij}$  مشخص شوند؛ میدانهای تنش  $\sigma_{ij}$  و کرنش  $\varepsilon_{ij}$  نیز معلوم می‌گردند.  
رابطه انرژی داخلی پیوستار تغییریافته بر حسب انرژی داخلی پیوستار اول و با کاربرد اصول تغییرات  
بصورت زیر قابل نمایش است.

$$U_p = U_0 - \frac{1}{2} \int [p_{ij} H(p_{ij}) - p_{ij} \varepsilon'_{ij} - 2p_{ij} \varepsilon_{ij}^0] dV \quad (\text{ضالف-}21)$$

که در آن:

$$U_0 = \frac{1}{2} \int \sigma_{ij}^0 \varepsilon_{ij}^0 dV \quad (\text{ضالف-}22)$$

چون در حالت دوم نیز تعادل برقرار است؛ می‌توان نوشت:

$$L_0(\varepsilon_{ij})_{,j} + p_{ij,j} = 0 \quad (\text{ضالف-}23)$$

در این حالت مرزها ثابت باقی می‌مانند.

$$u'_i(S) = 0 \quad (\text{ضالف-}24)$$

ثابت می‌شود؛ انتگرال حجمی رابطه (ضالف-21) دارای مقدار اکسٹرمم است. اگر:

$$p_{ij} = L(\varepsilon_{ij}) - L_0(\varepsilon_{ij}) \quad (\text{ضالف-}25)$$

که در آن:

$$L(\varepsilon_{ij}) = \lambda \varepsilon_{kk} \delta_{ij} + 2\mu \varepsilon_{ij} \quad (\text{ضالف-}26)$$

عملگر  $H$  در رابطه (ضالف-21) بصورت زیر تعریف می‌شود.

$$H = (L - L_0)^{-1} \quad (\text{ضالف-}27)$$

با جایگزینی مقدار  $p_{ij}$  می‌توان مقدار  $H(p_{ij})$  در رابطه (ضالف-۲۱) را بصورت زیر محاسبه نمود.

$$p_{ij}H(p_{ij}) = \frac{\lambda - \lambda_0}{6(\mu - \mu_0)(\kappa - \kappa_0)} p_{kk}^0 + \frac{1}{2(\mu - \mu_0)} p_{ij} p_{ij} \quad (\text{ضالف-۲۸})$$

که در آن،

$$\kappa = \lambda + \frac{2}{3}\mu \quad (\text{ضالف-۲۹})$$

$K$  معرف مدول حجمی است. با کاربرد رابطه سینماتیک خطی و بسط عملگر  $L$ ، می‌توان رابطه تعادل را بر حسب مؤلفه‌های تغییرمکان در حالت دوم بیان کرد.

$$(\lambda_0 + \mu_0)u'_{j,ij} + \mu_0 u'_{i,jj} + p_{ij,j} = 0 \quad (\text{ضالف-۳۰})$$

مقدار اکسترمم  $U$ - انرژی کرنشی ذخیره شده در جسم تغییرشکل یافته-بهازای مقادیر زیر دارای بیشینه مطلق است

$$\begin{aligned} \lambda &> \lambda_0 \\ \mu &> \mu_0 \end{aligned} \quad (\text{ضالف-۳۱})$$

و برای مقادیر زیر دارای مقدار کمینه مطلق می‌باشد.

$$\begin{aligned} \lambda &< \lambda_0 \\ \mu &< \mu_0 \end{aligned} \quad (\text{ضالف-۳۲})$$

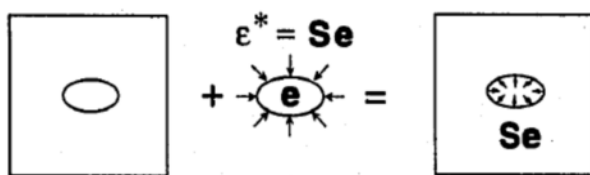
مشابه فرآیند فوق، کران بالا و پایین خصوصیات مؤثر مواد چندفازی بدست آمده است. برای مواد دو فازی، کرانهای مدول برشی و مدول حجمی بصورت زیر است.

$$\begin{aligned} \mu_i^e &= \mu_i + V_j \left/ \left\{ \frac{1}{\mu_j - \mu_i} + \frac{6(\kappa_i + 2\mu_i)V_i}{5\mu_i(3\kappa_i + 4\mu_i)} \right\} \right., \\ \kappa_i^e &= \kappa_i + V_j \left/ \left\{ \frac{1}{\kappa_j - \kappa_i} + \frac{3V_i}{(3\kappa_i + 4\mu_i)} \right\} \right., (i \neq j) \end{aligned} \quad (\text{ضالف-۳۳})$$

که در آن، اندیس  $\epsilon$  نشانگر مقدار مؤثر است. همچنین،  $\nu_i$  کسر حجمی فاز  $i$  و  $\mu_i$  مدول برشی فاز  $i$  و  $\kappa_i$  مدول حجمی فاز  $i$  می‌باشد. علاوه بر این، روابط  $\mu_1^e > \mu_2^e$  و  $\kappa_1^e > \kappa_2^e$  برقرار است.

#### ضalf-۴- روش خودسازگار

این روش بعنوان ابزاری برای مدلسازی رفتار پیوستارهای یک فازی از مواد چندکریستالی معرفی شده است. در این پیوستارها، جهت‌گیری کاملاً یا تقریباً تصادفی کریستالها ممکن است موجب ناپیوستگی خصوصیات در فصل مشترک آنها گردد. در تحلیل مواد چندکریستالی با روش خودسازگار، یک کریستال غیرهمگن بعنوان یک ذره کروی شکل یا بیضوی در یک پیوستار بی‌نهایت با خصوصیات همگن مجھول مدل می‌شود.



شکل ضalf-۲- نمای کلی روش خودسازگار

فرض می‌شود، این سیستم تحت شرایط تنش یا کرنش یکنواخت در فاصله دور از ذره قرار می‌گیرد. سپس متوسط تنش یا کرنش جهت‌گیری شده در ذره برابر مقادیر متناظر تنش یا کرنش اعمال شده، فرض می‌شود. بدین جهت، این فرآیند خودسازگار نامیده شده است. در ادامه، روش ارائه شده توسط هیل بطور خلاصه آمده است. فرض می‌شود یک ذره با شکل اختیاری بیضوی در میان توده همگنی از ماده دیگری قرار دارد (مطابق شکل ضalf-۲). تانسورهای مدول الاستیک به ترتیب با  $L$  و  $M$  و معکوس آنها با  $L_1$  و  $M_1$  نمایش داده می‌شود. جابجایی در بی‌نهایت با کرنش یکنواخت  $\bar{\epsilon}$  متناظر با آن، توصیف می‌شود. پیوستگی جابجایی و نیرو در فصل مشترک فازها ضروری است. نکته اصلی این است که ذره بصورت یکنواخت تغییرشکل می‌دهد. تانسور مقید  $L$  که برای فاز  $L$  معرفی شده و

معکوس M است، بعنوان بارگذاری روی فصل مشترک منظور می‌شود. میدان یکنواخت تنش<sup>\*</sup> σ با این بارگذاری سازگار در نظر گرفته می‌شود. اگر<sup>\*</sup> ε کرنش یکنواخت متناظر باشد، روابط برقرار است.

$$\begin{aligned}\sigma^* &= -L^* \varepsilon^* \\ \varepsilon^* &= -M^* \sigma^*\end{aligned}\quad (\text{ضالف-}34)$$

می‌توان حل میدان کمکی مسأله را با اعمال مجموع میدانهای  $\bar{\sigma}$  و  $\bar{\varepsilon}$  بدست آورد. میدانهای تنش<sup>\*</sup> σ با  $\bar{\sigma}_1$  و کرنش<sup>\*</sup> ε با  $\bar{\varepsilon}_1$  تعریف می‌شوند. در این روابط، σ<sub>1</sub> و ε<sub>1</sub> میدانهای واقعی حاکم بر ذره می‌باشند.

$$\begin{aligned}\sigma_1 - \bar{\sigma} &= L^* (\bar{\varepsilon} - \varepsilon_1) \\ \varepsilon_1 - \bar{\varepsilon} &= M^* (\bar{\sigma} - \sigma_1)\end{aligned}\quad (\text{ضالف-}35)$$

اگر e کرنش یکنواخت اعمالی به ذره بیضوی در نظر گرفته شود، می‌توان روابط زیر را نوشت. مؤلفه‌های تانسور بی‌بعد S توابعی از نسبت مدولهای الاستیک و نسبت قطرهای بیضوی و جهت آن در دستگاه مختصات اولیه می‌باشند. با برقراری روابط زیر می‌توان رابطه‌ای بین تانسورهای L و M یافت

.[۵۷]

$$\begin{aligned}\varepsilon^* &= Se \\ \sigma^* &= L(\varepsilon^* - e)\end{aligned}\quad (\text{ضالف-}36)$$

با ترکیب روابط (ضالف-34) و (ضالف-36) داریم:

$$\begin{aligned}L^* S &= L(I - S) \\ (I - S)M^* &= SM\end{aligned}\quad (\text{ضالف-}37)$$

که در آن L تانسور واحد است. T تانسور بدون بعد دیگری است که دوگانه‌ای با تانسور S تشکیل می‌دهند و در روابط زیر صدق می‌کند.

$$\begin{aligned} M^*T &= MS = P \\ TL &= L^*S = Q \end{aligned} \quad (\text{ضالف-}38)$$

با توجه به روابط فوق می‌توان نوشت:

$$\begin{aligned} M^*T &= M(I - T) \\ (I - T)L^* &= TL \\ T &= L^*(L^* + L)^{-1} = (M + M^*)^{-1}M \end{aligned} \quad (\text{ضالف-}39)$$

با توجه به این روابط می‌توان تنش  $\sigma^*$  را در ناحیه تبدیل یافته بصورت  $Ts$  بیان نمود که  $S$  تنش مورد نیاز برای از بین بردن کرنش  $e$  می‌باشد. تانسورهای  $P$  و  $Q$  بصورت زیر تعریف می‌شوند [۵۷].

$$\begin{aligned} PL + MQ &= I \\ P &= M(I - T) \\ Q &= L(I - S) \\ P^{-1} &= L^* + L \\ Q^{-1} &= M^* + M \end{aligned} \quad (\text{ضالف-}40)$$

اگر خصوصیات فازها با اندیس‌های ۱ و ۲ مشخص شوند و  $c_1$  و  $c_2$  کسر حجمی فازها باشند؛ روابط بین تنش فازها و متوسط تنش و کرنش (برای کل ماده) بصورت زیر است [۵۷].

$$\begin{aligned} c_1(\bar{\sigma}_1 - \bar{\sigma}) + c_2(\bar{\sigma}_2 - \bar{\sigma}) &= 0 \\ c_1(\bar{\varepsilon}_1 - \bar{\varepsilon}) + c_2(\bar{\varepsilon}_2 - \bar{\varepsilon}) &= 0 \end{aligned} \quad (\text{ضالف-}41)$$

شرایط خودسازگاری نیز با روابط زیر بیان می‌گردد.

$$\begin{aligned} \bar{\sigma}_1 - \bar{\sigma} &= L^*(\bar{\varepsilon} - \bar{\varepsilon}_1) \\ \bar{\sigma}_2 - \bar{\sigma} &= L^*(\bar{\varepsilon} - \bar{\varepsilon}_2) \end{aligned} \quad (\text{ضالف-}42)$$

روابط فوق را می‌توان بصورت زیر مرتب کرد.

(ضالف-۴۳) ف

$$(L^* + L_1)\bar{\varepsilon}_1 = (L^* + L_2)\bar{\varepsilon}_2 = (L^* + L)\bar{\varepsilon}$$

$$(M^* + M_1)\bar{\sigma}_1 = (M^* + M_2)\bar{\sigma}_2 = (M^* + M)\bar{\sigma}$$

با ترکیب روابط (ضالف-۴۲) و (ضالف-۴۳) با (ضالف-۴۰) می‌توان دستگاه معادلاتی را برحسب تانسورهای سفتی  $L$  و نرمی  $M$  برای کل ماده استخراج نمود.

$$c_1(L^* + L_1)^{-1} + c_2(L^* + L_2)^{-1} = (L^* + L)^{-1} = P \quad (\text{ضالف-۴۴})$$

$$c_1(M^* + M_1)^{-1} + c_2(M^* + M_2)^{-1} = (M^* + M)^{-1} = Q$$

با جایگزینی تعریف تانسورهای  $P$  و  $Q$ -رابطه (الف ۴۵)-در رابطه (الف ۴۰)، این رابطه بصورت زیر قابل نمایش است.

$$c_1(L^* - L_2)^{-1} + c_2(L^* - L_1)^{-1} = P \quad (\text{ضالف-۴۵})$$

$$c_1(M^* - M_2)^{-1} + c_2(M^* - M_1)^{-1} = Q$$

روابط فوق برحسب تانسورهای  $L$  و  $M$  نیز قابل بیان است.

$$c_1(L - L_2)^{-1} + c_2(L - L_1)^{-1} = P \quad (\text{ضالف-۴۶})$$

$$c_1(M - M_2)^{-1} + c_2(M - M_1)^{-1} = Q$$

در نهایت، فاكتورهای تانسوری متمرکز  $A_1$  و  $A_2$  برای کرنش و  $B_1$  و  $B_2$  برای تنش با توجه به روابط (ضالف-۴۲) بصورت زیر تعریف می‌شوند.

$$A_1^{-1}\bar{\varepsilon}_1 = A_2^{-1}\bar{\varepsilon}_2 = \bar{\varepsilon} \quad (\text{ضالف-۴۷})$$

$$B_1^{-1}\bar{\sigma}_1 = B_2^{-1}\bar{\sigma}_2 = \bar{\sigma}$$

با در نظر گرفتن روابط تانسورهای  $A$  و  $B$  با تانسورهای  $P$  و  $Q$  رابطه زیر بدست می‌آید.

$$c_1A_1 + c_2A_2 = I = c_1B_1 + c_2B_2 \quad (\text{ضالف-۴۸})$$

اگر فرض شود، ذرات دارای شکل کروی باشند و بصورتی در ماتریس توزیع شده باشند که کل ماده مرکب را بتوان ایزوتropیک در نظر گرفت، تansور همگن مرتبه چهارم را بصورت زیر می‌توان تعریف نمود.

$$L_{ijkl} = \kappa \delta_{ij} \delta_{kl} + \mu \left( \delta_{ij} \delta_{kl} + \delta_{il} \delta_{jk} - \frac{2}{3} \delta_{ij} \delta_{kl} \right) \quad (\text{ضalf-49})$$

البته تansور L بر حسب پارامترهای هیدرواستاتیک و دیویاتریک دارای شکل ساده‌تری است.

$$L = (3\kappa, 2\mu) \quad (\text{ضalf-50})$$

ماتریس M معکوس ماتریس L است و بصورت زیر قابل نمایش است.

$$M = \left( \frac{1}{3\kappa}, \frac{1}{2\mu} \right) \quad (\text{ضalf-51})$$

با توجه به تعریف فوق، دستگاه معادلات (ضalf-46) بر حسب مدولهای حجمی و برشی مؤثر K و  $\mu$  بصورت زیر بیان می‌شود [۵۷].

$$\begin{aligned} \frac{c_1}{\kappa - \kappa_2} + \frac{c_2}{\kappa - \kappa_1} &= \frac{\alpha}{\kappa} \\ \frac{c_1}{\mu - \mu_2} + \frac{c_2}{\mu - \mu_1} &= \frac{\alpha}{\mu} \end{aligned} \quad (\text{ضalf-52})$$

که در آن،

$$\begin{aligned} \alpha &= 3 - 5\beta = \frac{\kappa}{\kappa + \frac{4}{3}\mu} \\ \beta &= \frac{6(\kappa + 2\mu)}{5(3\kappa + 4\mu)} \end{aligned} \quad (\text{ضalf-53})$$

با فرض کروی بودن شکل ذرات، پارامترهای بدون بعد  $\alpha$  و  $\beta$  بر حسب تانسور  $S$  نمایش داده می-

شوند.

$$S_{ijkl} = \frac{1}{3}(\alpha - \beta)\delta_{ij}\delta_{kl} + \frac{1}{2}\beta(\delta_{il}\delta_{jk} + \delta_{ik}\delta_{jl}) \quad (\text{ضalf-54})$$

با استفاده از دستگاه معادلات (ضalf-53) می‌توان رابطه‌ای برای مدول حجمی استخراج نمود.

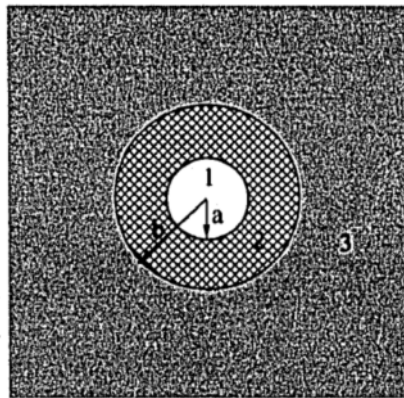
$$\frac{1}{\kappa + \frac{4}{3}\mu} = \frac{c_1}{\kappa_1 + \frac{4}{3}\mu} + \frac{c_2}{\kappa_2 + \frac{4}{3}\mu} \quad (\text{ضalf-55})$$

با جایگزینی این رابطه در یکی از معادلات دستگاه (ضalf-46)، رابطه‌ای برای مدول برشی  $\mu$  حاصل می‌شود.

$$\left( \frac{c_1\kappa_1}{\kappa_1 + \frac{4}{3}\mu} + \frac{c_2\kappa_2}{\kappa_2 + \frac{4}{3}\mu} \right) + 5\left( \frac{c_1\mu_2}{\mu - \mu_2} + \frac{c_2\mu_1}{\mu - \mu_1} \right) + 2 = 0 \quad (\text{ضalf-56})$$

### ضalf-5- مدل سه‌فاز

مدل سه‌فاز بعنوان تعیین روش خودسازگار ارائه گردیده است. در این روش نیز مانند روش خودسازگار، فرض می‌شود یک محیط بی‌نهایت با خواص مؤثر مجهول، فاز ذره را دربرگرفته است. در ادامه، روش محاسبه خصوصیات مؤثر با کاربرد این مدل بطور خلاصه آمده است [۲۴]. فرض می‌شود، یک محیط بی‌نهایت تحت شرایط تغییر مکان همگن، در فاصله به اندازه کافی دور از مرکز مختصات قرار گرفته است. مطابق شکل (ضalf-3) لایه بیرونی بعنوان فاز همگن معادل در نظر گرفته شود و دارای خصوصیات مؤثر مجهول است. فرم کلی رابطه (ضalf-12) بعنوان حل برای اعمال تغییر شکل برشی ساده در فاصله دور از مرکز در نظر گرفته می‌شود.



شکل ضalf-۳- مدل میکرومکانیک سه‌فاز: ۱- ذره اضافه شده کروی. ۲- فاز ماتریس. ۳- پیوستار همگن معادل

توابع  $U_r(r)$ ,  $U_\theta(r)$  و  $U_\phi(r)$  بصورت زیر محاسبه می‌شوند [۲۴].

$$U_r^m = B_1 r - \frac{6\nu_m B_2 r^3}{1-2\nu_m} + \frac{3B_3}{r^4} + \frac{(5-4\nu_m)}{(1-2\nu_m)} \frac{B_4}{r^2} \quad (\text{ضalf-57})$$

$$U_\theta^m = B_1 r - \frac{(7-4\nu_m) B_2 r^3}{1-2\nu_m} - \frac{2B_3}{r^4} + 2 \frac{B_4}{r^2} \quad (\text{ضalf-58})$$

$$U_r^i = A_1 r - \frac{6\nu_i A_2 r^3}{1-2\nu_i} \quad (\text{ضalf-59})$$

$$U_\theta^i = A_1 r - \frac{7-4\nu_i}{1-2\nu_i} A_2 r^3 \quad (\text{ضalf-60})$$

$$U_r^e = D_1 r + \frac{3D_3}{r^4} + \frac{(5-4\nu)}{(1-2\nu)} \frac{B_4}{r^2} \quad (\text{ضalf-61})$$

$$U_\theta^e = D_1 r - \frac{2D_3}{r^4} + 2 \frac{D_4}{r^2} \quad (\text{ضalf-62})$$

$$U_\theta + U_\phi = 0 \quad (\text{ضalf-63})$$

که در آن،  $m$ ،  $i$  و  $e$  به ترتیب نشانگر ماتریس، ذره اضافه شده و محیط مؤثر می‌باشند. با اعمال شرایط

پیوند کامل در فصلهای مشترک  $r=a$  و  $r=b$ ، مدول برشی  $\mu$  با استفاده از رابطه زیر بدست می‌آید.

$$A \left( \frac{\mu_i}{\mu_m} - 1 \right)^2 + 2B \left( \frac{\mu_i}{\mu_m} \right) + C = 0 \quad (\text{ضالف-64})$$

که در آن،

(ضالف-65)

$$\begin{aligned} A = & 8 \left( \frac{\mu_i}{\mu_m} - 1 \right) (4 - 5\nu_m) \eta_1 V_f^{10/3} - 2 \left[ 63 \left( \frac{\mu_i}{\mu_m} - 1 \right) \eta_2 + 2\eta_1\eta_3 \right] V_f^{7/3} \\ & + 252 \left( \frac{\mu_i}{\mu_m} - 1 \right) \eta_2 V_f^{5/3} - 50 \left( \frac{\mu_i}{\mu_m} - 1 \right) (7 - 12\nu_m + 8\nu_m^2) \eta_2 V_f \\ & + 4(7 - 10\nu_m) \eta_2 \eta_3 \end{aligned}$$

(ضالف-66)

$$\begin{aligned} B = & -2 \left( \frac{\mu_i}{\mu_m} - 1 \right) (1 - 5\nu_m) \eta_1 V_f^{10/3} + 2 \left[ 63 \left( \frac{\mu_i}{\mu_m} - 1 \right) \eta_2 + 2\eta_1\eta_3 \right] V_f^{7/3} \\ & - 252 \left( \frac{\mu_i}{\mu_m} - 1 \right) \eta_2 V_f^{5/3} + 75 \left( \frac{\mu_i}{\mu_m} - 1 \right) (3 - \nu_m) \nu_m \eta_2 V_f \\ & + \frac{3}{2} (15\nu_m - 7) \eta_2 \eta_3 \end{aligned}$$

(ضالف-67)

$$\begin{aligned} C = & 4 \left( \frac{\mu_i}{\mu_m} - 1 \right) (5 - 7\nu_m) \eta_1 V_f^{10/3} - 2 \left[ 63 \left( \frac{\mu_i}{\mu_m} - 1 \right) \eta_2 + 2\eta_1\eta_3 \right] V_f^{7/3} \\ & + 252 \left( \frac{\mu_i}{\mu_m} - 1 \right) \eta_2 V_f^{5/3} + 25 \left( \frac{\mu_i}{\mu_m} - 1 \right) (\nu_m^2 - 7) \eta_2 V_f \\ & - (7 + 5\nu_m) \eta_2 \eta_3 \end{aligned}$$

با

(ضالف-68)

$$\eta_1 = (49 - 50\nu_i\nu_m) \left( \frac{\mu_i}{\mu_m} - 1 \right) + 35 \frac{\mu_i}{\mu_m} (\nu_i - 2\nu_m) + 35 (2\nu_i - \nu_m)$$

$$\eta_2 = 5\nu_i \left( \frac{\mu_i}{\mu_m} - 8 \right) + 7 \left( \frac{\mu_i}{\mu_m} + 4 \right) \quad (\text{ضالف-69})$$

$$\eta_3 = \frac{\mu_i}{\mu_m} (8 - 10\nu_m) + (7 - 5\nu_m) \quad (\text{ضالف-70})$$

در روابط فوق،  $\nu_f$  کسر حجمی ذرات اضافه شده و اندیس  $\alpha$  و  $m$  نشانگر فازهای همگن ذره و ماتریس می‌باشند. مدول حجمی مؤثر برای محیط (فاز سوم در شکل (ضالف-۳)) بصورت زیر محاسبه می‌شود

[۲۵ و ۲۶].

$$K = K_m + \frac{V_f (K_i - K_m)}{1 + (1 - V_f)(K_i - K_m) / \left( K_m + \frac{4}{3}\mu_m \right)} \quad (\text{ضالف-71})$$

#### ضالف-۶-روش موری-تاناکا

این روش با دیدگاه ریاضی محض حاصل شده و در پی‌ریزی تئوری آن کمتر به پارامترهای فیزیکی مثل کرنش متوسط، تنش متوسط، تانسورهای تمرکز برای شرایط رقیق و غیر رقیق توجه شده است.

روش موری-تاناکا شامل مراحل پیچیده محاسباتی و مفاهیم کرنش ویژه و backstress است [۱۰۲]. البته فرآیندهای ساده‌تری نیز برای این روش ارائه شده است [۱۱]. برای تشریح روش مذکور، سیستمی از ماده مرکب شامل دو فاز در نظر گرفته می‌شود. این سیستم تحت میدان دوردست کرنش یکنواخت و قرار دارد. برای این سیستم دو فازی، کرنش متوسط بصورت زیر بیان می‌شود.

$$\bar{\varepsilon} = c_1 \bar{\varepsilon}_1 + c_2 \bar{\varepsilon}_2 \quad (\text{ضالف-72})$$

تانسور سفتی مؤثر  $C$  بصورت زیر تعریف می‌شود.

$$\bar{\sigma} = C \bar{\varepsilon}$$

(ضالف-۷۳)

رابطه فوق را می‌توان بر حسب روابط ساختاری تک تک فازها بیان نمود. با توجه به روابط ساختاری فازها، رابطه (ضالف-۷۲) بصورت زیر قابل بیان است.

$$C \bar{\varepsilon} = C_1 \bar{\varepsilon} + c_2 [\bar{\sigma}_2 - C_1 \bar{\varepsilon}_2]$$

(ضالف-۷۴)

در این رابطه،

$$\bar{\sigma}_2 = C_2 \bar{\varepsilon}_2$$

(ضالف-۷۵)

علاوه بر این،  $C_1$  و  $C_2$  تانسورهای سفتی فازها می‌باشند. اگر فاز ۲ بعنوان فاز ذره در نظر گرفته شود، با برقراری شرایط مخلوط رقیق می‌توان نوشت.

$$\bar{\varepsilon}_2 = T \bar{\varepsilon}$$

(ضالف-۷۶)

که در آن  $T$  تانسور مرکز کرنش است. با ترکیب روابط (ضالف-۷۲) و (ضالف-۷۶)، رابطه زیر بدست می‌آید.

$$C = C_1 + c_2 (C_2 - C_1) T$$

(ضالف-۷۷)

حال می‌توان روابط روش موری-تاناکا برای شرایط مخلوط رقیق را با تعمیم حل بالا برای شرایط مخلوط غیررقیق (با برهمنش ذرات) بدست آورد. تانسور  $A$  بصورت زیر تعریف می‌شود.

$$\bar{\varepsilon}_2 = A \bar{\varepsilon}$$

(ضالف-۷۸)

برای محاسبه تانسور  $A$ ، تانسور جدید  $G$  بصورت زیر تعریف می‌شود.

$$\bar{\varepsilon}_2 = G \bar{\varepsilon}_1$$

(ضالف-۷۹)

تانسور G به تمرکز فاز ذره بستگی دارد. با توجه به روابط (ضالف-۷۸) و (ضالف-۷۹) تانسور A تانسور را می‌توان بر حسب تانسور G بیان نمود.

$$A = [c_1 I - c_2 G]^{-1} G \quad (\text{ضالف-۸۰})$$

با کاربرد روش موری-تاناکا برای یک ذره کروی تحت شرایط غیررقيق، می‌توان مدول برشی و حجمی را بصورت زیر محاسبه کرد [۱۰۲]:

$$\mu = \mu_m + c_2 (\mu_i - \mu_m) \frac{1}{1 + (1 - c_2)(\mu_i - \mu_m)/[\mu_m + \mu_m (6\kappa_m + 8\mu_m) 6(\kappa_m + 2\mu_m)]} \quad (\text{ضالف-۸۱})$$

$$\kappa = \kappa_m + c_2 (\kappa_i - \kappa_m) \frac{1}{1 + (1 - c_2)(\kappa_i - \kappa_m)/\left(\kappa_m + \frac{4}{3}\mu_m\right)} \quad (\text{ضالف-۸۲})$$

نتایج حاصل از روش موری-تاناکا با کران پایین هشین-اشتریکمن انطباق دارد.

### ضالف-۷- مقایسه مدلهای میکرومکانیک

در این بخش مدلهایی از میکرومکانیک با هم مقایسه می‌شوند؛ که در بخش‌های قبل شرح داده شده‌اند. خصوصیات فیزیکی سیستم ماده مرکب هدفمند کربید سیلیکن-کربن (SiC/C) با مدل‌های مذکور محاسبه و سپس مقایسه می‌شوند. خصوصیات الاستیک عناصر ماده مرکب هدفمند فوق بصورت زیر است.

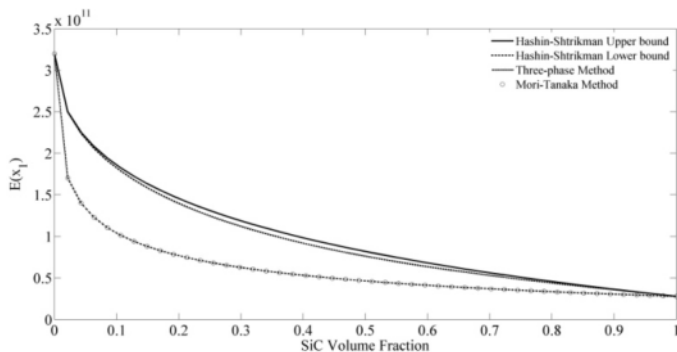
$$E_{\text{SiC}}=320 \text{ GPa}$$

$$E_c=28 \text{ GPa}$$

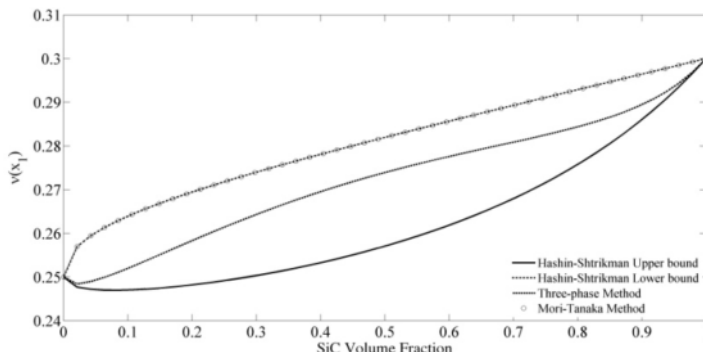
$$v_{\text{SiC}}=0.25$$

$$v_c=0.3$$

در شکلهای (ضالف-۴) و (ضالف-۵) مدل‌های حجمی و برشی مؤثر برای مدل‌های مختلف میکرومکانیک ماده مذکور با یکدیگر مقایسه شده است. در این مدلها، ماده بصورت یک ماتریس پیوسته شامل ذرات کروی در نظر گرفته شده است.



شکل ضالف-۴- تقریب ضریب الاستیسیته با چند مدل میکرومکانیک برای  $\text{SiC}/\text{C}$



شکل ضالف-۵- تقریب ضریب پواسون با چند مدل میکرومکانیک برای  $\text{SiC}/\text{C}$

زوکر تعدادی از مدل‌های استاندارد میکرومکانیک را مورد بحث و بررسی قرار داد و ظرفیت و نیازهای هر روش را برای مدلسازی مواد مرکب هدفمند بیان نمود [۱۵۴]. اولین مشخصه هر مدل ارائه تخمین خصوصیات الاستیک مؤثر بین کرانهای بالا و پایین هشین - اشتريکمن می‌باشد. دومین مشخصه، انطباق خصوصیات مؤثر تخمینی این مدلها با نتایج حاصل از تقریب مخلوط رقیق است. در تقریب مخلوط رقیق در محدوده کران پایین، کسر حجمی عناصر بدست آمده و به ارضای فرضیات این تقریب نزدیکتر است. روش خودسازگار تخمینی از خصوصیات فیزیکی مؤثر منطبق بر نتایج تقریب مخلوط رقیق را ارائه می‌نماید.



## ضمیمه ب

**توابع زاویه‌ای میدانهای الاستیک حوزه نوک ترک**

توابع زاویه‌ای میدانهای تحلیلی حوزه نوک ترک در این ضمیمه مطرح می‌شود. شکل کلی میدان تنش بصورت زیر است.

$$\sigma_{ij}^{aux} = \frac{K_I^{aux}}{\sqrt{2\pi r}} f_{ij}^I(\theta) + \frac{K_{II}^{aux}}{\sqrt{2\pi r}} f_{ij}^{II}(\theta) \quad (\text{ضب-۱})$$

توابع زاویه‌ای میدان تنش بصورت زیر است.

$$f_{11}'(\theta) = \cos \frac{\theta}{2} \left( 1 - \sin \frac{\theta}{2} \sin \frac{3\theta}{2} \right) \quad (\text{ضب-۲})$$

$$f_{11}''(\theta) = -\sin \frac{\theta}{2} \left( 2 + \cos \frac{\theta}{2} \cos \frac{3\theta}{2} \right) \quad (\text{ضب-۳})$$

$$f_{22}'(\theta) = \cos \frac{\theta}{2} \left( 1 + \sin \frac{\theta}{2} \sin \frac{3\theta}{2} \right) \quad (\text{ضب-۴})$$

$$f_{22}''(\theta) = \sin \frac{\theta}{2} \cos \frac{\theta}{2} \cos \frac{3\theta}{2} \quad (\text{ضب-۵})$$

$$f_{12}'(\theta) = \sin \frac{\theta}{2} \cos \frac{\theta}{2} \cos \frac{3\theta}{2} \quad (\text{ضب-۶})$$

$$f_{12}''(\theta) = \cos \frac{\theta}{2} \left( 1 - \sin \frac{\theta}{2} \sin \frac{3\theta}{2} \right) \quad (\text{ضب-۷})$$

فرم کلی میدان تغییرمکان بصورت زیر است.

$$u_i^{aux} = K_I^{aux} \sqrt{\frac{r}{2\pi}} g_i^I(\theta) + K_{II}^{aux} \sqrt{\frac{r}{2\pi}} g_i^{II}(\theta) \quad (\text{ضب-۸})$$

توابع زاویه‌ای میدان تغییرمکان بصورت زیر است.

$$g_i'(\theta) = \frac{1}{4} \left[ (2\kappa - 1) \cos \frac{\theta}{2} - \cos \frac{3\theta}{2} \right] \quad (\text{ضب-۹})$$

$$g_1''(\theta) = \frac{1}{4} \left[ (2\kappa + 3) \sin \frac{\theta}{2} + \sin \frac{3\theta}{2} \right] \quad (\text{ضب-10})$$

$$g_2'(\theta) = \frac{1}{4} \left[ (2\kappa + 1) \sin \frac{\theta}{2} - \sin \frac{3\theta}{2} \right] \quad (\text{ضب-11})$$

$$g_2''(\theta) = -\frac{1}{4} \left[ (2\kappa - 3) \cos \frac{\theta}{2} + \cos \frac{3\theta}{2} \right] \quad (\text{ضب-12})$$

## مراجع

1. Steinberg M. A. (**1986**) "Materials for aerospace" **Sci. America**, **255**, 4, pp **59**.
2. Noda N. (**1999**) "Thermal stresses in functionally graded materials" **J. Thermal Stresses**, **22**, pp **477**.
3. Erdogan F, Wu B.H. (**1997**) "The surface crack problem for a plate with functionally graded properties" **J. Appl. Mech., Trans ASME**, **64**, pp **449**.
4. Kawasaki A. and Watanabe R. (**1993**) "Thermal shock fracture mechanism of metal/ceramic functionally gradient materials" **NATO ASI, Ser. E**, **241**, pp **509**.
5. Watanabe R., Kawasaki A. and Mukaida Y. (**1996**) "Fabrication of AlN<sub>x</sub>W thermal barrier type of functionally gradient material and its thermal shock behavior" **Adv. Powder Metal Part Mater**, **5**, pp **1651**.
6. Kawasaki A., Watanabe R., Yuki M., Nakanishi, Y. and Onabe H. (**1996**) "Effect of microstructure on thermal shock cracking of functionally graded thermal barrier coatings studied by burner heating Test" **Mater. Trans. JIM**, **37**, 4, pp **788**.
7. Kawasaki R., Watanabe R. and Yeh C.-H. (**1996**) "Effect of Graded compositional profile on thermal shock cracking of functionally graded materials as studied by burner heating test" **Bull. Function Graded Materials**, **8**, pp **19**.
8. Kawasaki A. and Watanabe R. (**1996**) "Effect of gradient microstructure on thermal shock crack extension in metal/ceramic functionally graded materials" **Function Graded Material**, pp **143**.
9. Wakamatsu Y., Saito T., Ueda S. and Niino M. (**1993**) "Development of a thermal shock evaluation device for functionally gradient materials for aerospace applications" **NATO ASI, Ser. E**, **241**, pp **555**.
10. Liu G. R. and Gu Y. T. (**2005**) "**An Introduction to Meshfree Methods and Their Programming**", Springer, Netherlands.
11. Noda N. and Jin Z. -H. (**1993**) "Steady thermal stresses in an infinite non-homogeneous elastic solid containing a crack" **J. Thermal Stresses**, **16**, 2, pp **181**.
12. Jin Z.-H. and Noda N. (**1994**) "Edge crack in a nonhomogeneous half plane under thermal loading" **J. Thermal Stresses**, **17**, 4, pp **591**.
13. Noda N. and Jin Z.-H. (**1994**) "A crack in a functionally gradient material under thermal shock" **Arch. Appl. Mech.**, **64**, 2, pp **99**.
14. Jin Z. -H. and Batra R. C. (**1996**) "Stress intensity relaxation at the tip of an edge crack in a functionally graded material subjected to a thermal shock" **J. Thermal Stresses**, **19**, 4, pp **317**.
15. Nemat-Alla M. and Noda N. (**1996**) "Study of an edge crack problem in a semi-infinite functionally graded medium with two dimensionally nonhomogeneous coefficients of thermal expansion under thermal load" **J. Thermal Stresses**, **19**, 9, pp **863**.
16. Nemat-Alla M. and Noda N. (**1996**) "Thermal Stress Intensity Factor for Functionally Gradient Half Space with an Edge Crack under Thermal Load" **Arch. Appl. Mech.**, **66**, 8, pp **569**.

17. Nemat-Alla M. and Noda N. (**1996**) "Edge crack problem in a semi-infinite FGM plate with a bi-directional coefficient of thermal expansion under two-dimensional thermal loading" **Acta Mech.**, **144**, pp 211.
18. Erdogan F. and Wu B. H. (**1996**) "Crack Problems in FGM Layers under Thermal Stresses" **J. Thermal Stresses**, **19**, 3, pp 237.
19. Erdogan F. and Wu B. H. (**1997**) "The Surface Crack Problem for a Plate with Functionally Graded Properties" **J. Appl. Mech., Trans ASME**, **64**, 3, pp 449.
20. Noda N. and Guo L. C. (**2008**) "Thermal shock analysis for a functionally graded plate with a surface crack" **Acta Mech.**, **195**, 1-4, pp 157.
21. Jin Z.-H. and Paulino G. H. (**2001**) "Transient thermal stress analysis of an edge crack in a functionally graded material" **Int. J. Frac.**, **107**, pp 73.
22. Wang B. L., Han J. C. and Du S. Y. (**2000**) "Thermoelastic fracture mechanics for nonhomogeneous material subjected to unsteady thermal load" **J. Appl. Mech., Trans ASME**, **67**, pp 87.
23. Noda N. and Wang B. L. (**2002**) "The collinear cracks in an inhomogeneous medium subjected to transient load" **Acta Mech.**, **153**, pp 1.
24. Wang B. L., Mai Y. -W. and Noda N. (**2002**) "Fracture mechanics analysis model for functionally graded materials with arbitrarily distributed properties" **Int. J. Frac.**, **116**, pp 161.
25. Guo L. -C. and Noda N. (**2007**) "Modeling method for a crack problem of functionally graded materials with arbitrary properties—piecewise-exponential model" **Int. J. Solids Struct.**, **44**, 21 , pp 6768.
26. Walters M. C. and Paulino G. H. and Dodds Jr. R. H. (**2004**) "Stress-intensity factors for surface cracks in functionally graded materials under mode-I thermomechanical loading" **Int. J. Solids Struct.**, **41**, pp 1081.
27. Yildirim B. and Erdogan F. (**2004**) "Edge crack problems in homogeneous and functionally graded material thermal barrier coatings under uniform thermal load" **J. Thermal Stresses**, **27**, pp 311.
28. Yildirim B., Dag S. and Erdogan F. (**2005**) "Three dimensional fracture analysis of FGM coatings under thermomechanical loading" **Int. J. Frac.**, **132**, pp 369.
29. Yildirim B. (**2006**) "An equivalent domain integral method for fracture analysis of functionally graded materials under thermal stresses" **J. Thermal Stresses**, **29**, pp 371.
30. Dag S. (**2007**) "Mixed mode fracture analysis of functionally graded materials under thermal stresses" **J. Thermal Stresses**, **30**, pp 269.
31. Dag S. (**2006**) "Thermal fracture analysis of orthotropic functionally graded materials using an equivalent domain integral approach" **Eng. Frac. Mech.**, **73**, pp 2802.
32. Chen J. (**2005**) "Determination of thermal stress intensity factors for an interface crack in a graded orthotropic coating-substrate structure" **Int. J. Frac.**, **133**, pp 303.
33. Fujimoto T. and Noda N. (**2000**) "Crack propagation in a functionally graded plate under thermal shock" **Arch. Appl. Mech.**, **70**, pp 377.

34. Fujimoto T. and Noda N. (**2001**) "Two crack growth in a functionally graded plate under thermal shock" **J. Thermal Stresses**, **24**, 3, pp 237.
35. Abanto-Bueno J. and Lambros J. (**2006**) "An experimental study of mixed mode crack initiation and growth in functionally graded materials" **Expr. Mech.**, **46**, pp 179.
36. Nayroles B., Touzot G. and Villon P. (**1992**) "Generalizing the finite element method, diffuse approximation and diffuse elements" **Comput. Mech.**, **10**, pp 307.
37. Belytschko T., Lu Y. Y. and Gu L. (**1994**) "Element-free Galerkin methods" **Int. J. for Num. Meth. Eng.**, **37**, pp 229.
38. Belytschko T., Krongauz Y., Organ D., Fleming M. and Krysl P. (**1996**) "Meshless Method, an overview and recent development" **Comput. Meth. Appl. Mech. Eng.**, **139**, pp 3.
39. Lu Y. Y., Belytschko T. and Gu L. (**1994**) "New implementation of the element free Galerkin method" **Comput. Meth. Appl. Mech. Eng.**, **113**, pp 397.
40. Belytschko T., Krysl P. and Krongauz Y. (**1997**) "A three-dimensional explicit element-free Galerkin method" **Int. J. Num. Meth. Fluids**, **24**, pp 1253.
41. Jun S. (**1996**) "A. Meshless method for nonlinear solid mechanics" **RIKEN Review**, **14**, pp 33.
42. Chen W. H. and Guo X. M. (**2001**) "Element Free Galerkin Method for three-dimensional structural analysis" **CMES – Comput. Model. Eng. Sci.**, **20**, 2, pp 497.
43. Belytschko T., Gu L. and Lu Y. Y. (**1994**) "Fracture and crack growth by element free Galerkin methods" **Model. Simu. Mater. Sci. Eng.**, **2**, pp 519.
44. Belytschko T., Lu Y. Y., Gu L. and Tabbara M. (**1995**) "Element-free galerkin methods for static and dynamic fracture" **Int. J. Solids Struct.**, **32**, pp 2547.
45. Krysl PP and Belytschko T. (**1999**) "The element free Galerkin method for dynamic propagation of arbitrary 3-D cracks" **Int. J. Numer. Meth. Eng.**, **44**, pp 767.
46. Lu Y.Y., Belytschko T. and Tabbara M. (**1995**) "Element-free Galerkin method for wave propagation and dynamic fracture" **Comput. Meth. Appl. Mech. Eng.**, **126**, pp 131.
47. Krysl P. and Belytschko T. (**1995**) "Analysis of thin plates by the element-free Galerkin method" **Comput. Mech.**, **17**, pp 26.
48. Krysl P. and Belytschko T. (**1996**) "Analysis of thin shells by the element-free Galerkin method" **Int. J. Solids Struct.**, **33**, pp 3057.
49. Chen X. L., Liu G. R. and Lim S. P. (**2003**) "An element free Galerkin method for the free vibration analysis of composite laminates of complicated shape" **Compos. Struct.**, **59**, pp 279.
50. Liu G. R., Dai K.Y., Lim K. M. and Guo Y. T. (**2003**) "A radial point interpolation method for simulation of two-dimensional piezoelectric structures" **Smart Mater. Struct.**, **12**, pp 171.
51. Belytschko T., Organ D. and Krongauz Y. (**1995**) "A coupled finite element-element-free Galerkin method" **Comput. Mech.**, **17**, pp 186.

52. Hegen D. (**1996**) Element-free Galerkin methods in combination with finite element approaches" **Comput. Meth. Appl. Mech. Eng.**, **135**, pp 143.
53. Liu G. R. and Gu Y. T. (**2000**) "Coupling of element free Galerkin and hybrid boundary element methods using modified variational formulation" **Comput. Mech.**, **26**, **1**, pp 66.
54. Gu Y. T. and Liu G. R. (**2003**) "Hybrid boundary point interpolation methods and their coupling with the element free Galerkin method" **Eng. Analy. Bound. Elem.**, **27**, pp 905.
55. Gu Y. T., Liu G. R. (**2001**) "A coupled element free Galerkin/boundary element method for stress analysis of two-dimensional solids" **Comput. Meth. Appl. Mech. Eng.**, **190**, pp 4405.
56. Beissel S. and Belytschko T. (**1996**) "Nodal integration of the element-free Galerkin method" **Comput. Meth. Appl. Mech. Eng.**, **139**, pp 49.
57. Dolbow J. and Belytschko T. (**1999**) "Numerical integration of the Galerkin weak form in meshfree methods" **Comput. Mech.**, **23**, pp 219.
58. Liu G. R. (**2002**) "**Mesh Free Methods, Moving Beyond the Finite Element Method**", CRC Press, Boca Raton.
59. Liu G. R. and Yan L. (**1999**) "A study on numerical integrations in element free methods" APCOM '99, pp 979, Singapore.
60. Zienkiewicz O. C. and Taylor R. L. (**2000**) "**The Finite Element Method**" Butterworth-Heinenmann, Oxford.
61. Zhu T. and Atluri S. N. (**1998**) "A modified collocation method and a penalty formulation for enforcing the essential boundary conditions in the element free Galerkin method" **Comput. Mech.**, **21**, pp 211.
62. Atluri S. N., Kim H. G. and Cho J. Y. (**1999**) "Critical assessment of the truly Meshless Local Petrov-Galerkin (MLPG) and Local Boundary Integral Equation (LBIE) methods" **Comput. Mech.**, **24**, pp 348.
63. Krongauz Y. and Belytschko T. (**1996**) "Enforcement of essential boundary conditions in meshless approximations using finite elements" **Comput. Meth. Appl. Mech. Eng.**, **131**, pp 133.
64. Yang K. Y. (**1999**), MSc Thesis, "**Development of meshfree techniques for stress analysis**" National University of Singapore.
65. Lancaster P. P. (**1986**) "**Curve and surface fitting, an introduction**" Academic Press,
66. Cleveland W. (**1993**) "**Visualizing Data**" AT&T Bell Laboratories, Murray Hill, NJ.
67. Liu G. R. and Liu M. B. (**2003**) "**Smoothed particle hydrodynamics – a meshfree particle method**", World Scientific, Singapore.
68. Eslami M. R. (**2003**) "**A first Course in Finite Element Analysis**", Amirkabir University, Iran.
69. Arpaci V.S. (**1966**) "**Conduction Heat Transfer**" Addison-Wesley, MA.
70. Kantrovich L. V. and Krylov V. I. (**1964**) "**Approximate Methods for Higher Analysis**" Noordhoff, Netherlands.

71. Akin J. E. (**1976**) "The Generation of Elements with Singularities" **Int. J. Numer. Meth. Eng.**, **10**, pp 1249.
72. Benzley S. E. (**1974**) "Representation of singularities with isoparametric finite elements" **Int. J. Numer. Meth. Eng.**, **8**, pp 537.
73. Fleming M., Chu Y. A., Moran B. and Belytschko T. (**1997**) "Enriched element-free galerkin methods for crack tip fields" **Int. J. Numer. Meth. Eng.**, **40**, pp 1483.
74. Belytschko T., Krongauz Y., Fleming M., Organ D. and Liu W. K. S. (**1996**) "Smoothing and accelerated computations in the element free Galerkin method" **J. Comput. Appl. Math.**, **74**, pp 111.
75. Belytschko T. and Fleming M. (**1999**) "Smoothing, enrichment and contact in the element-free Galerkin method" **Comput. Struct.** **71**, pp 173.
76. Krysl P. and Belytschko T. (**1997**) "Element-free Galerkin method, Convergence of the continuous and discontinuous shape functions" **Comput. Meth. Appl. Mech. Eng.**, **148**, 3-4, pp 257.
77. Organ D., Fleming M., Terry T., and Belytschko T. (**1996**) "Continuous meshless approximations for nonconvex bodies by diffraction and transparency" **Comput. Mech.**, **18**, 3, pp 225.
78. Stolarska M., Chopp D. L., Moes N. and Belytschko T. (**2001**) "Modelling crack growth by level sets in the extended finite element method" **Int. J. Numer. Meth. Eng.**, **51**, 8, pp 943.
79. Osher S. and Sethian J. A. (**1988**) "Fronts propagating with curvature-dependent speed, Algorithms based on Hamilton-Jacobi formulations" **J. Comput. Phys.**, **79**, 1, pp 12.
80. Sethian J. A. (**1999**) "**Level set methods and fast marching methods**" Cambridge University Press, Cambridge, MA.
81. Duflot M. (**2007**) "A study of the representation of cracks with level sets" **Int. J. Numer. Meth. Eng.**, **70**, 11, pp 1261.
82. Shih C. F., deLorenzi H. G. and German M. D. (**1976**) "Crack extension modeling with singular quadratic isoparametric elements" **Int. J. Frac.**, **12**, pp 647.
83. Parks D. M. (**1974**) "Stiffness Derivative Finite Element Technique for Determination of Crack-tip Stress Intensity Factors" **Int. J. Frac.**, **10**, pp 487.
84. Hellen T. K. (**1975**) "On the method of virtual crack extensions" **Int. J. Numer. Meth. Eng.**, **9**, pp 187.
85. Parks D. M. (**1977**) "The Virtual crack extention method for nonlinear material behavior" **Comput. Meth. Appl. Mech. Eng.**, **12**, pp 353.
86. Anderson T. L. (**2005**) "**Fracture Mechanics, Fundamental and Applications**", CRC Press,.
87. Haber R. B., Koh H. M. (**1985**) "Explicit expressions for energy release rates using virtual crack extensions" **Int. J. Numer. Meth. Eng.**, **21**, pp 301.
88. deLorenzi H. G. (**1982**) "On the energy release rate and the J-integral for 3-D crack configurations" **Int. J. Frac.**, **19**, pp 183.

89. deLorenzi H. G. (**1985**) "Energy release rate calculations by the finite element method" **Eng. Frac. Mech.**, **21**, pp 129.
90. Banks-Sills L. and Sherman D. (**1992**) "On the computation of stress intensity factors for three-dimensional geometries by means of the stiffness derivative and J-integral methods" **Int. J. Frac.**, **53**, pp 1.
91. Li F. Z., Shih C. F. and Needleman A. (**1985**) "A comparison of methods for calculating energy release rates" **Eng. Frac. Mech.**, **21**, pp 405.
92. Eischen J. W. (**1987**) "Fracture of nonhomogeneous materials" **Int. J. Frac.**, **34**, pp 3.
93. Erdogan F. (**1985**) "Crack problem for bonded nonhomogeneous materials under antiplane shear loading" **Amer. Soc. Mech. Eng.**, **41**, pp 12.
94. Delale F. and Erdogan F. (**1983**) "Crack problem for a nonhomogeneous plane" **J. Appl. Mech., Trans ASME**, **50**, pp 609.
95. Erdogan F. (**1983**) "Stress intensity factors" **J. of Appl. Mech, Trans ASME**, **50**, pp 992.
96. Jin Z. -H and Noda N. (**1994**) "Crack-tip singular fields in nonhomogeneous materials" **J. Appl. Mech., Trans ASME**, **61**, 738.
97. Jain N., Rousseau C. E. and Shukla A. (**2004**) "Crack-tip stress fields in functionally graded materials with linearly varying properties" **Theo. Appl. Frac. Mech.**, **42**, pp 155.
98. Jin Z. -H and Batra R. C. (**1996**) "Some basic fracture mechanics concepts in functionally graded materials" **J. Mech. Phys. Solids**, **44**, pp 1221.
99. Gu PP, Dao M. and Asaro R. J. (**1999**) "A simplified method for calculating the crack-tip field of functionally graded materials using the domain integral" **J. Appl. Mech, Trans ASME**, **66**, pp 101.
100. Anlas G., Santare M. H. and Lambros J. (**2000**) "Numerical calculation of stress intensity factors in functionally graded materials" **Int. J. Frac.**, **104**, pp 131.
101. Wilson, W. K. (**1969**) PhD thesis, "**Combined-Mode Fracture Mechanics**" University of Pittsburg.
102. Sutradhar A. and Paulino G. H. (**2004**) "Symmetric Galerkin boundary element computation of T-stress and stress intensity factors for mixed-mode cracks by the interaction integral method" **Eng. Anal. Bound. Elem.**, **28**, **11**, pp 1335.
103. Kim J. H. and Paulino G. H. (**2002**) "Finite element evaluation of mixed mode stress intensity factors in functionally graded materials" **Int. J. Numer. Meth. Eng.**, **53**, **8**, pp 1903.
104. Kim J. H. and Paulino G. H. (**2003**) "T-stress, mixed-mode stress intensity factors, and crack initiation angles in functionally graded materials, A unified approach using the interaction integral method" **Compp Meth. Appl. Mech. Eng.**, **192**, **11-12**, pp 1463.
105. Sih C. G. (**1962**) "On singular character of thermal stress near a crack tip" **J. Appl. Mech., Trans ASME**, **51**, pp 587.
106. Chen J., Wu L. and Du S. (**2000**) "A modified J integral for functionally graded materials" **Mech. Res. Commun.**, **27**, **3**, pp 301.

107. KC A. and Kim J. H. (**2008**) "Interaction integrals for thermal fracture of functionally graded materials" **Eng. Frac. Mech.** **75**, **8**, pp 2542.
108. Zuiker J. R. (**1995**) "Functionally graded materials, Choice of micromechanics model and limitations in property variation" **Compos. Eng.** **5**, **7**, pp 807.
109. Hill R. (**1965**) "A self-consistent mechanics of composite materials" **J. Mech. Phys. Solids**, **13**, **4**, pp 213.
110. Williams J. G. and Ewing PP D. (1972) "Fracture under complex stress - The angled crack problem" **Int. J. Frac.**, **8**, **4**, pp 441.
111. Smith, D. J., Ayatollahi M. R. and Pavier M. J. (**2001**) "The role of T-stress in brittle fracture for linear elastic materials under mixed-mode loading" **Fatigue Frac. Eng. Mater. Struct.**, **24**, **2**, pp 137.
112. Cotterell B. and Rice J. R. (**1980**) "Slightly curved or kinked cracks" **Int. J. Frac.**, **16**, **2**, pp 155.
113. O'Dowd N. P., Shih C. F. and Dodds Jr. R. H. (**1995**) "**Role of geometry and crack growth on constraint and implications for ductile/brittle fracture**" ASTM Special Tech. Pub.
114. Larsson S. G. and Carlsson A. J. (**1973**) "Influence of non-singular stress terms and specimen geometry on small-scale yielding at crack tips in elastic-plastic materials" **J. Mech. Phys. Solids**, **21**, **4**, pp 263.
115. Betegon C. and Hancock J. W. (**1991**) "Two-parameter characterization of elastic-plastic crack-tip fields" **J. Appl. Mech, Trans ASME**, **58**, **1**, pp 104.
116. Du Z. Z. and Hancock J. W. (**1991**) "The effect of non-singular stresses on crack-tip constraint" **J. Mech. Phys. Solids**, **39**, **4**, pp 555.
117. O'Dowd N. P. and Shih C. F. (**1991**) "Family of crack-tip fields characterized by a triaxiality parameter-I. Structure of fields" **J. Mech. Phys. Solids**, **39**, **8**, pp 989.
118. O'Dowd N. P. and Shih C. F. (**1992**) "Family of crack-tip fields characterized by a triaxiality parameter-II. Fracture applications" **J. Mech. Phys. Solids**, **40**, **5**, pp 939.
119. Ayatollahi, M. R., Pavier M. J. and Smith D. J. (**1998**) "Determination of T -stress from finite element analysis for mode I and mixed mode I/II loading" **Int. J. Frac.**, **91**, **3**, pp 283.
120. Leevors P. S. and Radon J. C. (**1982**) "Inherent stress biaxiality in various fracture specimen geometries" **Int. J. Frac.**, **19**, **4**, pp 311.
121. Kfouri A. P. (**1986**) "Some evaluations of the elastic T-term using Eshelby's method" **Int. J. Frac.**, **30**, **4**, pp 301.
122. Cardew G. E., Goldthorpe M. R., Howard I. C. and Kfouri A. P. (**1985**) "On the elastic T-term" **Fundamentals of Deformation and Fracture, Eshelby memorial Symposium**.
123. Chen, C. S. (**2001**) "Numerical assessment of T-stress computation using a p-version finite element method" **Int. J. Frac.**, **107**, **2**, pp 177.

124. Yukio U. (1983) "Characteristics of brittle fracture under general combined modes including those under bi-axial tensile loads" *Eng. Frac. Mech.*, **18**, 6, pp 1131.
125. Chao Y. J. and Zhang X. (1997) "Constraint effect in brittle fracture" *Fatig. Frac. Mech.*, pp 41.
126. Becker T. L., Cannon R. M. and Ritchie R. O. (2001) "Finite crack kinking and T-stresses in functionally graded materials" *Int. J. Solids Struct.*, **38**, 32-33, pp 5545.
127. Kim J. H. and Paulino G. H. (2004) "T-stress in orthotropic functionally graded materials, Lekhnitskii and Stroh formalisms" *Int. J. Frac.*, **126**, 4, pp 345.
128. Kim J. H. and KC A. (2008) "A generalized interaction integral method for the evaluation of the T-stress in orthotropic functionally graded materials under thermal loading" *J. of Appl. Mech, Trans ASME*, **75**, 5, pp 051121.
129. Dag S. (2007) "Mixed-mode fracture analysis of functionally graded materials under thermal stresses, A new approach using Jk-integral" *J. Thermal Stresses*, **30**, 3, pp 269.
130. Dag S. Erhan Arman E. and Yildirim B. (2009) "Computation of thermal fracture parameters for orthotropic functionally graded materials using Jk-integral" *Int. J. Solids Struct.*, **47**, 25-26, pp 3480.
131. Sladek J. and Sladek V. (2006) "Evaluation of fracture parameters for crack problems in FGM by a meshless method" *J. Theo. Appl. Mech.*, **44**, pp 603.
132. Duflot M. (2008) "The extended finite element method in thermoelastic fracture mechanics" *Int. J. Numer. Meth. Eng.*, **74**, 5, pp 827.
133. Kim J. H. and Paulino G. H. (2003) "An accurate scheme for mixed-mode fracture analysis of functionally graded materials using the interaction integral and micromechanics models" *Int. J. Numer. Meth. Eng.*, **58**, 10, pp 1457.
134. Zuiker J. R. (1995) "Functionally graded materials, Choice of micromechanics model and limitations in property variation" *Compos. Eng.*, **5**, 7, pp 807.
135. Aboudi J., Pindera M. J. and Arnold S. M. (1999) "Higher-order theory for functionally graded materials" *Compos. Eng.*, **30**, 8, pp 777.
136. Hashin Z. and Shtrikman S. (1963) "A variational approach to the theory of the elastic behaviour of multiphase materials" *J. Mech. Phys. Solids*, **11**, 2, pp 127.
137. Christensen R. M. and Lo K. H. (1979) "Solutions for effective shear properties in three phase sphere and cylinder models" *J. Mech. Phys. Solids*, **27**, 4, pp 315.
138. Mori T. and Tanaka K. (1973) "Average stress in matrix and average elastic energy of materials with misfitting inclusions" *Acta Metal.*, **21**, 5, pp 571.
139. Sham T. L. (1991) "The determination of the elastic T-term using higher-order weight functions" *Int. J. Frac.*, **48**, 2, pp 81.
140. Fett T. (1998) "T-stresses in rectangular plates and circular disks" *Eng. Frac. Mech.*, **60**, 5–6, pp 631.

141. Roscoe R. (1952) "The viscosity of suspensions of rigid spheres" **Brit. J. of Appl. Phys.**, **3**, pp 267.
142. Walpole L. J. (1969) "On the overall elastic moduli of composite materials" **J. of Appl. Mech., Trans ASME**, **17**, **4**, pp 235.
143. Hershey A. V. (1954) "The elasticity of an isotropic aggregate of anisotropic cubic crystals" **J. of Appl. Mech., Trans ASME**, **21**, **2**, pp 236.
144. Budiansky B. (1965) "On the elastic moduli of some heterogeneous materials" **J. Mech. Phys. Solids**, **13**, **4**, pp 223.
145. Hill R. (1965) "Continuum micro-mechanics of elastoplastic polycrystals" **J. Mech. Phys. Solids**, **13**, **2**, pp 89.
146. Huang Y. and Hwang K. C. (1995) "A unified energy approach to a class of micromechanics models for microcracked solids" **Acta Mech. Sinica**, **11**, **1**, pp 59.
147. Fukui Y. and Takashima K. (1994) "Measurement of Young's modulus and internal friction in situ Al-Al<sub>3</sub>Ni functionally graded material" **J. Mater. Sci.**, **29**, **9**, pp 2281.
148. Lee Y. D. and Erdogan F. (1998) "Interface cracking of FGM coatings under steady-state heat flow" **Eng. Frac. Mech.**, **59**, **3**, pp 361.
149. Markworth A. J. and Saunders J. H. (1995) "A model of structure optimization for a functionally graded material" **Mater. Letters**, **22**, **1-2**, pp 103.
150. Giannakopoulos A. E., Suresh S., Finot M. and Olsson M. (1995) "Elastoplastic analysis of thermal cycling, layered materials with compositional gradients" **Acta Metallur. Et Mater.**, **43**, **4**, pp 1335.
151. Finot M. and Suresh S. (1996) "Small and large deformation of thick and thin-film multi-layers , Effects of layer geometry, plasticity and compositional gradients" **J. Mech. Phys. Solids**, **44**, **5**, pp 683.
152. Miller D. P., Lannutti J. J. and Noebe R. D. (1993) "Fabrication and properties of functionally graded NiAl/Al<sub>2</sub>O<sub>3</sub> composites" **J. Mater. Res.**, **8**, **8**, pp 2004.
153. Pindera M. J. and Dunn P. P. (1997) "Evaluation of the higher-order theory for functionally graded materials via the finite-element method" **Compos. Eng.**, **28**, **1-2**, pp 109.
154. Zuiker J. R. and Dvorak G. J. (1994) "Coupling in the mechanical response of functionally graded composite materials" **Appl. Mech. Div., AMD.**, **193**, pp 73.
155. Zuiker J. and Dvorak G. (1994) "The effective properties of functionally graded composites-I. Extension of the mori-tanaka method to linearly varying fields" **Compos. Eng.**, **4**, **1**, pp 19.
156. Reiter T. and Dvorak G. J. (1998) "Micromechanical models for graded composite materials, II. thermomechanical loading" **J. Mech. Phys. Solids**, **46**, **9**, pp 1655.
157. Reiter T., Dvorak G. J. and Tvergaard V. (1997) "Micromechanical models for graded composite materials" **J. Mech. Phys. Solids**, **45**, **8**, pp 1281.

158. Yin H. M., Paulino G. H. and Sun L. Z. (2008) "Effective elasticity of functionally graded composites, A micromechanics framework with particle interactions" **AIP Conference Proceedings**.



**Shahrood University of Technology**

Mechanical Engineering Department

# **Fracture Parameters for Rectangular Plates Made of Functionally Graded Materials under Thermomechanical Loading**

**Mohammad Bagher Nazari**

Supervisors

**Associate Professor Mahmoud Shariati**

**Professor Mohammad Reza Eslami**

Associate Supervisor

**Associate Professor Behrooz Hassani**

**Feb 2011**

## Abstract

Thermal stress analysis is one of the most important subjects in engineering, since many structures are subjected to elevated temperature. According to numerous studies, the thermal fracture is commonly and complicated failure mode of structures. The main objective of the current study is the evaluation of fracture parameters (stress intensity factors and T stress) for functionally graded materials using element-free Galerkin method. An interaction integral is developed for calculation of thermal fracture parameters. In addition, the J-integral and the displacement correlation technique are implemented.

The level set method is used to model the discontinuities of a crack. Furthermore, the crack-tip enrichment facilitates the capture of crack-tip singularities for thermoelastic fields. In linear thermoelastic governing equations, the semi-analytical mode decomposition method which is the convenient technique for thermal shock analysis is used to obtain the transient temperature distribution. The profile of material characteristics are determined by continuous functions such as exponential function as well as micromechanics models. At last, a few parametric analyses are performed to study the influence of material properties on the thermal stress intensity factor.

**Keywords:** Functionally graded materials, Element-free Galerkin method, Stress intensity factors, T stress, Conservation integrals and thermal stresses.